

621.01/075
Г90

МІНІСТЕРСТВО ОСВІТИ УКРАЇНИ
НАВЧАЛЬНО-МЕТОДИЧНИЙ КАБІНЕТ ВИЩОЇ ОСВІТИ
ХАРКІВСЬКИЙ ПОЛІТЕХНІЧНИЙ ІНСТИТУТ

О. А. Грунауер, І. Д. Долгих

ТЕОРІЯ МЕХАНІЗМІВ І МАШИН
[системний підхід]

Київ НМК ВО 1992

МІНІСТЕРСТВО ОСВІТИ УКРАЇНИ
НАВЧАЛЬНО-МЕТОДИЧНИЙ КАБІНЕТ ВИЩОЇ ОСВІТИ
ХАРКІВСЬКИЙ ПОЛІТЕХНІЧНИЙ ІНСТИТУТ

О.А.Грунауер, І.Д.Долгих

ТЕОРІЯ МЕХАНІЗМІВ І МАШИН
/СИСТЕМНИЙ ПІДХІД/

Затверджено Міністерством освіти України
як навчальний посібник
для студентів машинобудівних спеціальностей

ASSIMENT-2

НТБ ВНТУ



376105

621.01(075) Г 90 1992

р. О.А. Теорія механізмів і машин (системний підхід)

Київ НМК ВО 1992

УДК 621.01

Теорія механізмів і машин /системний підхід/: Навч. посібник /
О.А.Грунауер, І.Д.Долгих. - К.: НМК ВО, 1992. - 376 с.

У даному навчальному посібнику викладено розв'язання завдань курсового проектування з теорії механізмів і машин в оптимізаційній постановці із застосуванням відомостей із суміжних дисциплін, що наближає розв'язання завдань до сучасних інженерних методів проектування на основі системного підходу. Усі завдання проекту орієнтовані на використання аналітичних або чисельних методів, які ґрунтуються на застосуванні ЕОМ. У більшості розділів проекту наведено оригінальні розв'язування. Поряд із цим викладено також традиційні методи, що дають можливість проконтролювати отримані результати. Деякі розділи проекту виконані стосовно організації ділової гри, яка дає змогу активізувати мислення студентів.

Призначений для студентів машинобудівних спеціальностей та інженерно-технічних працівників, які проектують складні машинні агрегати.

Іл. 134. Табл. 44. Бібліogr.: 43 назви.

376105

ISBN - 5-7763-0911-5



Навчально-методичний кабінет вищої освіти, 1992

НТБ СПИ
г. ВІнниця

ВВЕДЕНИЯ

Курсовий проект з теорії механізмів і машин – перший проект у ході підготовки інженера-механіка, що потребує від студента значної самостійності. Цей проект має особливості, які необхідно враховувати в процесі його виконання.

Розділи проекту пов'язані між собою, тому на наступних етапах використовуються дані, отримані на попередніх етапах. Студент самостійно вибирає частину необхідних величин із довідкової літератури. Цим проект суттєво відрізняється від різних розрахункових завдань, де всі необхідні дані внесені до умови.

Проектування можна організувати так, щоб у ньому використовувались відомості, отримані під час вивчення курсів вищої математики, теоретичної механіки, опору матеріалів, обчислювальної техніки та програмування, деталей машин і загальної електротехніки. Така постановка робить можливим розв'язання комплексних завдань проектування, що наближаються до сучасної інженерної постановки, яка суттєво розширяє традиційну "навчальну" постановку курсового проекту.

Завдання проектування механізмів, як і більшість інших інженерних завдань, є оптимізаційними. У курсовому проекті на найпростіших прикладах можна показати використання методів оптимізації, проаналізувавши вибір критеріїв оптимальності, та поясити необхідність компромісних розв'язувань, сформулювати типові функціональні, міцнісні та технологічні обмеження. Найбільш яскравий приклад такого постановки – завдання синтезу кулачка, описане в підрозд. 5.7 і [1].

У разі такого переходу до завдання проектування розв'язання не може ґрунтуватись лише на традиційних графоаналітичних методах. Необхідно широко застосовувати аналітичні методи, проте це різко збільшує обсяг обчислень, які можна буде виконати лише за допомогою ЕОМ. Останнім часом найбільшого поширення набули персональні ЕОМ, техніка

роботи з якими досягти прости і доступна для студентів, які мають
ще мало практичного досвіду роботи на ЕОМ.

Розв'язання завдань курсового проекту на ЕОМ дає змогу закріпіти відомості, отримані в курсі "Обчислювальна техніка і програмування", розвинуті навички практичної роботи з машиною.

Завдання проектування можна розв'язувати на ЕОМ будь-яких типів аж до програмованих мікрокалькуляторів, можливості яких часто дають змогу отримати розв'язок навіть швидше, ніж на персональній ЕОМ завдяки простоті програмування [14; 25; 40].

Тому основну увагу приділено формулюванню завдання, описанню алгоритму його розв'язування /у додатках наводяться приклади програм як для ПМК, так і для персональних ЕОМ, написаних мовою БЕМСІК[®]/.

Завдання проектування описані в даному посібнику у найбільш повному обсягу. У кожному конкретному випадку керівник проекту може скоротити їх до обсягу, який він вважає необхідним для підготовки студента з певної спеціальності.

Усі описані методи і програми пройшли багаторічну практичну перевірку в процесі навчання студентів машинобудівних спеціальностей.

I. ЕТАПИ ПРОЕКТУВАННЯ МЕХАНИЗМІВ ТА ІХ ОСОБЛИВОСТІ

I.1. Системний підхід до розв'язання завдань проектування

Проектування - це процес виконання комплексу робіт дослідницького, розрахункового, конструкторського характеру, мета якого - описати технічний об'єкт для його реалізації згідно з вимогами технології та умовами експлуатації.

Системний підхід до завдання проектування складається з такого планування виконання завдань, за якого окремі етапи проектування /підзавдання/ здійснюються би у взаємному погодженні за часом і результатами.

Системний підхід характеризується більш повним урахуванням технологічних, функціональних та експлуатаційних вимог до об'єкта проектування і мінімальними затратами засобів на їх реалізацію.

* у процесі роботи на ПЕОМ рекомендується користуватись до-
відниками [15; 42]; студентам, які працюють на ПМК, - [14; 25].

Системний підхід різною мірою завдає зумовлює проектування технічних об'єктів. Наприклад, синтез кулачкового механізму можна виконати вгідно з умовами обмеження кута тиску, радіусів кривизни його випуклих ділянок. Проте у цьому разі умови роботи механізму будуть ураховані лише приблизно, а деякі фактори /як, наприклад, можливість проковзування ролика/ не будуть ураховані зовсім.

У курсі "Теорія механізмів і машин" вивчається три основні типи механізмів, що входять до складу машинного агрегату: плоскі шарнірно-важільні та кулачкові механізми, зубчасті передачі.

У процесі курсового проектування розглядаються задачі аналізу чи синтезу механізмів, що входять до складу машинного агрегату. Зв'язки між розділами та етапами проекту показані на його структурно-логічній схемі /рис. I.1/. З рис. I.1 випливає, що розрахунки шарнірно-важільного механізму та зубчастої передачі взаємопов'язані, оскільки навантаження на передачу обчислюються з розрахунку приведеного моменту технологічних сил і на цій основі визначається модуль зубчастих пар. Після цього можна знайти приведений момент інерції редуктора, який, у свою чергу, використовується під час розрахунку нерівномірності обертання головного вала машинного агрегату.

Розділ "Міцнісний розрахунок коліс редуктора" зображеній на рис. I.1 пунктиром, оскільки звичайно виконується в курсі "Деталі машин", а модуль зубчастих пар задається у завданні на проектування. Проте така постановка призводить до того, що студент не отримує повного уявлення про хід реального інженерного проектування. Тому вважається логічним як домашне завдання з курсу "Деталі машин" розрахувати зубчасті пари редуктора, що проектується в курсовому проекті з ТМ. У цьому разі розміри передаті стають обґрунтованими.

Проектування кулачкового механізму також можна значно наблизити до реального, якщо після визначення зусиль, що навантажують кінематичні пари механізму, розрахувати вал на міцність, визначити контактні напруження у вищій парі, перевірити умову відсутності ковзання ролика.

Проектування шарнірно-важільного механізму виконується звичайно як завдання аналізу схеми із заданими геометричними параметрами.

У більшості випадків розглядається усталений рух машинного агрегату. У разі використання електродвигуна умовою отримання вірогідних результатів служить обов'язкове урахування його характеристики. Це питання докладніше розглянуто в пп. 3.4.4 і 3.4.5.

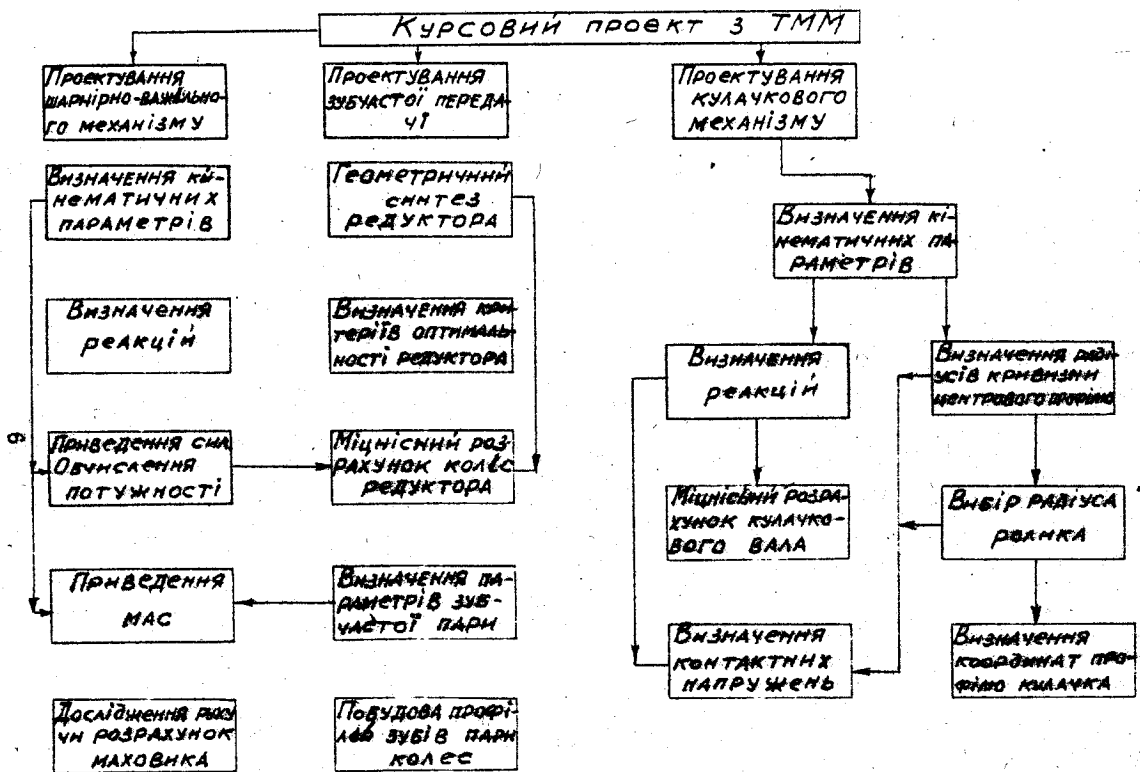


Рис. I.1

Проте для ряду механізмів характерним є неусталений рух. Як приклад у підрозд. 2.10 розглянуто рух механізму крана та маніпуляційної системи за оптимальним за швидкодією законом руху.

Реакції в кінематичних парах шарнірно-важільного механізму визначають методом кінетостатики. Розрахунок виконують для кількох положень /за вказівкою керівника/ з числа тих, що розглянуті в розділі кінематики. У цьому разі треба врахувати сили тертя та виконати необхідну кількість уточнюючих розрахунків.

У процесі розв'язування завдання силового розрахунку на ЕОМ може бути розглянута досить велика кількість положень, щоб знайти приведений момент тертя і визначити ККД шарнірного механізму як одного з найважливіших технічних показників.

Отримані в результаті силового розрахунку значення реакцій в кінематичних парах є вихідними для розрахунку на міцність зубчастих пар, валів і вибору підшипників /ці розрахунки виконують звичайно в курсовому проекті за деталями машин/.

У процесі роботи шарнірно-важільних механізмів виникають шкідливі динамічні явища - нерівномірність обертання головного вала та вібрація корпуса машини через незрівноваженість !! мас. У ході курсового проектування студент має дослідити нерівномірність обертання чи розрахувати маховик, що знижує цю нерівномірність до припустимих значень.

1.2. Особливості проектування в разі використання ЕОМ

1.2.1. Використання ЕОМ дає змогу розв'язувати в процесі курсового проектування принципово нові завдання, розширити коло фактів, що враховуються, та скоротити час на обчислення.

Проте розв'язання будь-якого завдання з використанням ЕОМ потребує чіткого формулювання всіх дій, які має виконати машина.

Набір правил, що дають змогу отримати з вихідних даних шуканий результат, називається алгоритмом розв'язання завдання.

Для більшої наочності алгоритм можна описати за допомогою схеми, яка слугує його компактним графічним уявленням.

Групи схожих операторів на схемі об'єднуються в блоки, що зображені різними геометричними фігурами.

Умовні зображення на схемі алгоритму ре. ламентовані ГОСТ 19.002-80 і ГОСТ 19.003-80. Найчастіше в програмах використовуються блоки, зображені на рис. I.2.

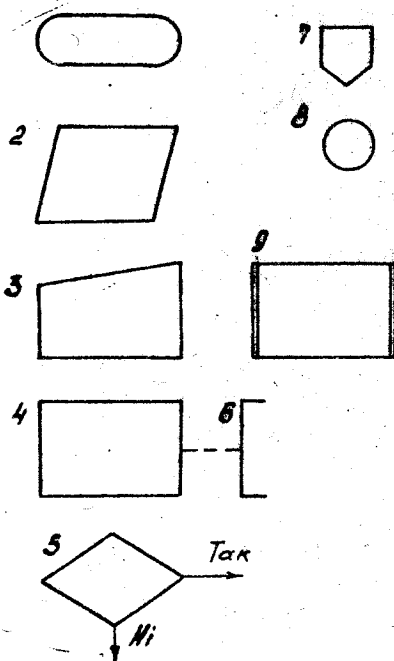


Рис. I.2

тій версії алгоритмічної мови, яку введено до операційної системи даної машини.

Потужні сучасні ЕОМ дають змогу працювати з кількома алгоритмічними мовами за вибором оператора.

Оскільки різні користувачі можуть працювати на різних алгоритмічних мовах, подальше викладення буде здійснено описанням схем алгоритмів.

1.2.2. Із структурно-логічної схеми проекту випливає, що його розділи пов'язані між собою і можуть бути розбиті на ряд послідовних етапів, причому вихідні дані наступних етапів – результати попередніх.

Складання окремих програм для кожного етапу недопільне, оскільки потребує введення численних вихідних даних. Програму треба будувати так, щоб результати попереднього етапу зберігались у пам'яті ЕОМ та автоматично використовувалися нею на наступних етапах. Проте прак-

Позначення блоків: 1 – пуск або зупинка програми; 2 – виведення результатів; 3 – введення вихідних даних вручну; 4 – арифметичний блок; 5 – логічний блок; 6 – коментар; 7 – з'єднувач; 8 – міжсторінковий з'єднувач; 9 – підпрограма.

У блоку 4 використовуються головним чином оператори присвоювання. Блок 5 перевіряє записану в ньому умову і передає керування за зазначеною адресою залежно від виконання чи невиконання умови, що перевірялась.

Схема алгоритму встановлює послідовність і умови виконання машинною окремих операцій, тому природно, що схема алгоритму не залежить від типу машини, що використовується.

Для практичного виконання обчислень на основі схеми алгоритму складається програма на

тика показує, що складання й особливо налагодження^{*} складної програми, що складається з ряду етапів, викликає суттєві утруднення, а ефективним виявляється метод поступового ускладнювання чи "нашарування" програм.

Початково до пам'яті машини вводять лише оператори, необхідні для першого етапу /рис. I.3,a/. На другий надходять отримані результати. Їх аналізують /звичайно побудовою графіків/, і в разі позитивної оцінки програму доповнюють групою операторів, що використовуються на другому етапі. Оператори виводу замінюють. Це ускладнену програму /рис. I.3,b/ вводять до пам'яті ЕОМ, яка виконує тепер перший і другий етапи розв'язуваного завдання. Знову аналізують результати і оператори доповнюють операторами третього етапу. Потім обчислюють перший - третій етапи /рис. I.3,c/. Програма ускладнюється доти, поки не буде розв'язано все завдання.

Згідно з наведеним описанням можуть бути, наприклад, виконані три етапи кінематичного дослідження шарнірно-важільного механізму.

Переваги методу "нашарування": дає можливість аналізувати проміжні результати, використовувати значення величин, отриманих на попередніх етапах і які зберігаються в пам'яті машини, що звільнняє від необхідності введення цих величин вручну та від помилок, що супроводжують такий процес; обмежує область пошуку помилок у програмі останнім введенням етапом.

Зміни в тексті програми легко реалізуються на сучасних ЕОМ, що працюють у режимі діалогу. Недолік описаного методу - повторення попередніх етапів у процесі виконання наступних. Проте затрати часу на повторний рахунок компенсуються скороченням затрат часу на пошуки помилок.

Якщо використана ЕОМ допускає двосторонній обмін числовою інформацією із зовнішніми носіями /магнітними дисками чи магнітною стрічкою/, обчислювальний процес можна побудувати інакше. Результати виконаного етапу після їх перевірки та аналізу виводяться на зовнішній носій і читаються з нього програмою наступного розділу, яка тепер є самостійною. У разі такого розв'язання попередні етапи не повторюються, що скорочує затрати машинного часу. Проте така організація обчислень потребує більшого обсягу оперативної пам'яті ЕОМ. Тому

* Налагодженням програми називається усунення синтаксичних і логічних помилок програми, технічних помилок, допущених при введенні програми та вихідних даних.

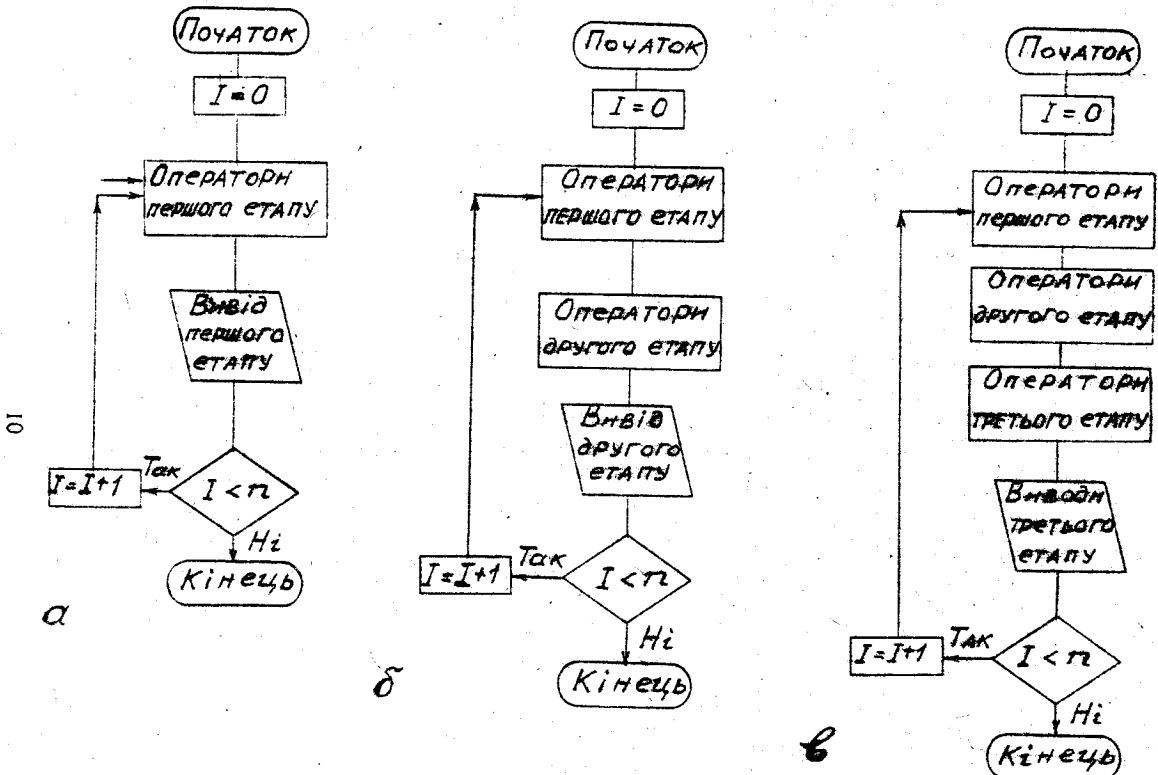


Рис. I.3

незалежні обчислення треба комбінувати з методом "нашарування", тобто виводити на зовнішній носій результати кількох послідовних етапів, відлагоджених за методом "нашарування". Наприклад, у процесі дослідження шарнірно-важільного механізму доцільно методом "нашарування" отримати масиви значень приведеного моменту сили опору та приведеного моменту інерції і вивести їх у вигляді файла даних на зовнішній носій. Тоді, досліджуючи рух і розрахунок машина, немає необхідності повторювати всі попередні розрахунки, що для складних механізмів займають суттєво багато часу.

У разі використання ПМК виведення інформації на зовнішній носій виключене, тому треба застосовувати метод "нашарування" в межах, що допускає обсяг оперативної та програмної пам'яті.

І.2.3. Використовуваний алгоритм має суверо відповідати завданню, що розв'язується, та працювати за всіх можливих значень величин, які входять до використовуваних операторів. Тому, вибираючи розрахункові формулі, треба користуватись тими, що дають можливість уникати аварійних зупинок ЕОМ /авостів/, або так змінювати процес обчислень, щоб уникати некоректних операцій.

Прикладом може служити визначення кута φ за значеннями його тригонометричних функцій $\sin \varphi$ і $\cos \varphi$:

$$\varphi = 2 \arctg \left(\frac{\sin \varphi}{1 + \cos \varphi} \right), \quad /1.1/$$

що є коректним при $\cos \varphi \neq -1$. Якщо $\cos \varphi = -1$, що відповідає $\varphi = \pi$, обчислення за /1.1/ призводять до зупинки. Тому алгоритм обчислення φ повинен мати вигляд, зображений на рис. I.4.

Деякі з використовуваних рівнянь мають кілька коренів, і алгоритм має передбачити вибір того з них, який відповідає фізичному смыслу завдання, що розв'язується. Така ситуація виникає у разі визначення координат робочого профілю кулачка чи перехідної кривої зубчастого колеса. Вибір корня в цих випадках описаний в пп.4.7.2 і 5.3.2.

Ще одним прикладом може служити визначення кутів повороту ланок у разі кінематичного дослідження. Тригонометричні рівняння, що при цьому використовуються, звичайно мають на відрізку $0 - 2\pi$ два корені, але лише один із них – розв'язок для розглядуваного варіанта складання механізму. Це питання розглянуте в підрозд. 2.5.

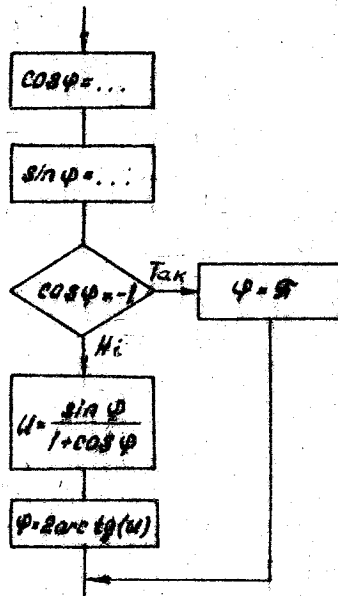


Рис. I.4

1.3. Основні типи алгоритмів, що використовуються

1.3.1. У більшості задач з теорії механізмів і машин обчислюються різні кінематичні та динамічні параметри у разі зміни положення початкової ланки.

Найпростіше розвіти повний оберт на n^2 однакових частин і всі обчислення виконати для отримання $n^2 + 1$ положень. Алгоритм розв'язування такої задачі в циклічному із наперед заданим числом повторень. Як параметр циклу найкраще використовувати номер відповідного положення механізму. Нумерацію положень у більшості випадків зручно починати з нуля*. Початок відліку краще помістити в одне з крайніх положень шарнірно-важільного механізму або на початок віддалення веденої ланки в кулачковому механізмі.

Найпростіший циклічний алго-

ритм із заданим числом повторень найкраще реалізується в програмі за допомогою оператора циклу.

У деяких випадках зручіше виконати обчислення з двома різними значеннями кроку, наприклад, розглядаючи кінематику кулісного механізму (див. рис. 2.8), доцільно, щоб обидва крайніх положення потрапили до числа досліджуваних. Тоді

$$\Delta \varphi_n = \frac{\varphi_2 - \varphi_1}{n}, \quad \Delta \varphi_2 = \frac{\varphi_2}{n_2},$$

де φ_1, φ_2 — кут відповідно робочого та холостого /х.х/ходу;
 n_1, n_2 — число ділянок, на які розбито вказані кути. На рис. I.5, а

* Від цього правила доводиться відступати, якщо програмування ведеться алгоритмічною мовою ФОРТРАН, оскільки нумерація елементів масивів у цьому разі починається з одиниці.

зображені нумерацію положень при $\tau_1 = 6$ і $\tau_2 = 4$. У цьому разі схема алгоритму має вигляд, показаний на рис. I.5.б. Її зручніше реалізувати за допомогою двох операторів умовного переходу, що перевіряють умови блоків 4 і 5.

Аналогічною постановка задачі буде при розгляданні ділянок віддалення та зближення веденої ланки кулачкового механізму /див. п.5.2.3/.

У разі використання методу чисельного диференціювання в задачах кінематики виникає необхідність чергування розрахунку з "дрібними" та "крупними" кроками /див. підрозд. 2.9/. У цьому разі цикл зміни φ з "дрібним" кроком утворює внутрішній цикл, а зміна φ з "крупним" кроком виконується у зовнішньому циклі. Таким чином, алгоритм цієї задачі складається з двох вкладених циклів.

I.3.2. Серед завдань курсового проектування окрім описаних цикліческих алгоритмів із заданим числом повторень є такі, в яких число повторних обчислень наперед невідоме та припинити їх треба за досягнення заданої точності.

Алгоритм, в якому вихід із циклу відбувається за досягнення заданої точності обчислень, називається ітераційним.

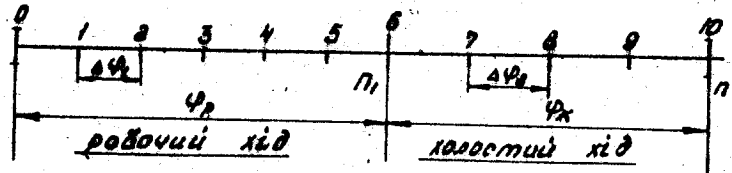
Прикладами ітераційних алгоритмів, що зустрічаються в курсовому проектуванні, можуть служити силовий розрахунок з урахуванням сил тертя, описаний у п. 3.2.7, та дослідження нерівномірності обертання машинного агрегату з урахуванням характеристики електродвигуна /див. п. 3.4.3/. Найпростішим прикладом ітераційного алгоритму є алгоритм розв'язання нелінійного рівняння за методом Ньютона /використаний у п. 4.6.3/ для визначення кута α_w зачеплення передачі із зміщенням. У загальному вигляді задача формулюється так.

Необхідно знайти корінь нелінійного рівняння $F(x) = 0$ з такою точністю, щоб різниця між двома послідовними наближеннями /з номерами i та $i+1$ / не перевищувала заданого значення ε .

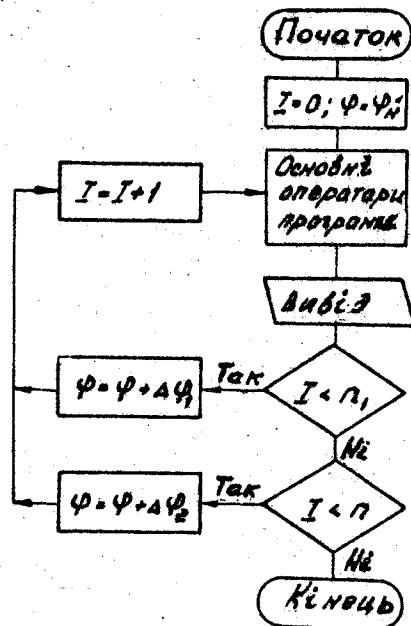
Якщо використовується метод Ньютона [20], то розрахункова формула має вигляд

$$x_{i+1} = x_i - \frac{F(x_i)}{F'(x_i)}, \quad /I.2/$$

де $F(x_i)$, $F'(x_i)$ – значення лівої частини вихідного рівняння та її похідної в точці x_i ; x_i , x_{i+1} – значення кореня під час ітерації з номером відповідно i та $i+1$.



a



б

Рис. I.5

Схему алгоритму розв'язання нелінійного рівняння за методом Ньютона зображенено на рис. I.6.

I.3.3. Ефективний засіб отримання компактних програм - використання підпрограм [25].

Якщо в ході розв'язання задачі необхідно виконати кілька обчислень за одними тими самими формулами, але з різними наборами вихідних даних, ці обчисленин можна винести до підпрограми.

Наприклад, у п. 3.2.9 другий і третій етапи кінематичного дослідження групи Ассура зводяться до розв'язання системи двох лінійних алгебраїчних рівнянь. Тоді, обчисливши всі вихідні дані для розв'язання системи на другому етапі, треба звернутись до підпрограми й отримати шукані значення швидкості /або кутової швидкості/. Потім підготувати аналогічні коефіцієнти для обчислення прискорень і вдруге звернутись до підпрограми для отримання шуканих /кутових/ прискорень.

Програмне забезпечення сучасних ЕОМ містить у собі стандарти підпрограми для реалізації основних чисельних методів /наприклад, підпрограми розкриття визначників, перемноження матриць, обчислення деяких інтегралів, інтегрування диференціальних рівнянь і т.д./, які можна застосовувати в різних завданнях курсового проекту.

У процесі обчислень на ПМК "Електроника МК-52" можна використовувати типові програми, що зберігаються в блоку розширення пам'яті БРП-З.

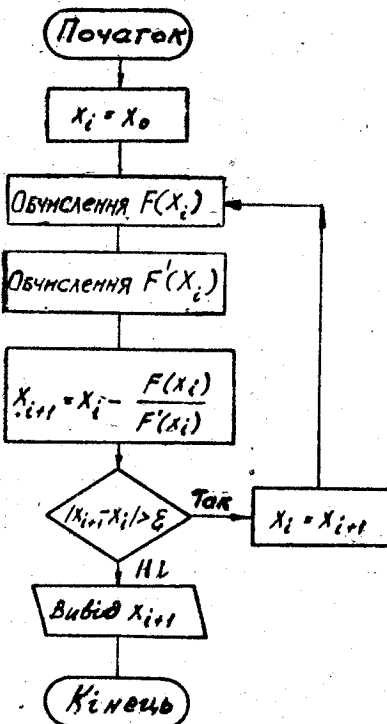


Рис. I.6

Відзначимо ще одну можливість застосування підпрограм [12], які зручно використовувати тоді, коли в програмі можна виділити дві групи операторів: загальні для певного типу механізмів і характерні для даного конкретного механізму. Тоді першу групу операторів оформлюють у вигляді основної програми, а другу виносять до підпрограм. У цьому разі розрахунки для різних механізмів вимагатимуть лише внести зміни до змісту підпрограми. Основна програма буде універсальною, придатною для дослідження всіх механізмів даного типу.

Таке розв'язання можливе, наприклад, у разі використання чистельного диференціювання для кінематичного дослідження шарнірно-важільних механізмів.

2. КІНЕМАТИЧНЕ ДОСЛІДЖЕННЯ ШАРНИРНО-ВАЖІЛЬНИХ МЕХАНІЗМІВ ІЗ ДВОЛАНКОВИМИ ГРУПАМИ АССУРА

2.1. Постановка задачі кінематичного дослідження

Мета кінематичного дослідження – визначити координати, швидкості та прискорення осей шарнірів, кути повороту, кутові швидкості та прискорення ланок для ряду положень початкової ланки.

Для розв'язання задачі кінематичного аналізу необхідно, щоб були задані постійні геометричні параметри, які визначають його кінематичну схему. Цей набір параметрів будемо називати метрикою механізму. Метрику складають довжини ланок, координати нерухомих точок і параметри, що визначають положення напрямників.

Наприклад, кінематичну схему стругального верстата зображенено на рис. 2.1. Його метрику складають довжини ланок l_1, l_2, l_3 , ординати y_1, y_2 . Усі параметри, що входять до метрики, – геометричні, тобто від закону руху не залежать.

Крім метрики механізму для виконання кінематичного аналізу має бути вказано закон руху початкової ланки, тобто його кут повороту φ , кутова швидкість ω та кутове прискорення ϵ . Для більшості механізмів найважливішим є дослідження усталеного руху механізму, за якого $\omega = \text{const}$. У цьому разі розглядається ряд положень механізму, що відповідають зміні φ з постійним інтервалом.

Іноді, наприклад, у процесі вивчення кінематики маніпуляційних систем, треба розглянути рух механізму між його зупинками у заданих положеннях. При цьому розглядаються положення механізму через однакові проміжки часу. Неусталений рух механізму буде розглянуто окремо в підрозд. 2.10.

Більшість плоских механізмів, що використовуються в техніці, складаються з кількох дволанкових груп Ассура. У подальшому розглядаються механізми цього класу. Кінематичне дослідження механізму будь-якої складності можна виконувати у разі послідовного розглядання груп Ассура, що входять до нього. Попередньо в складі механізму треба виділити групи Ассура, тобто здійснити його структурний аналіз.

ЗНЧ-105

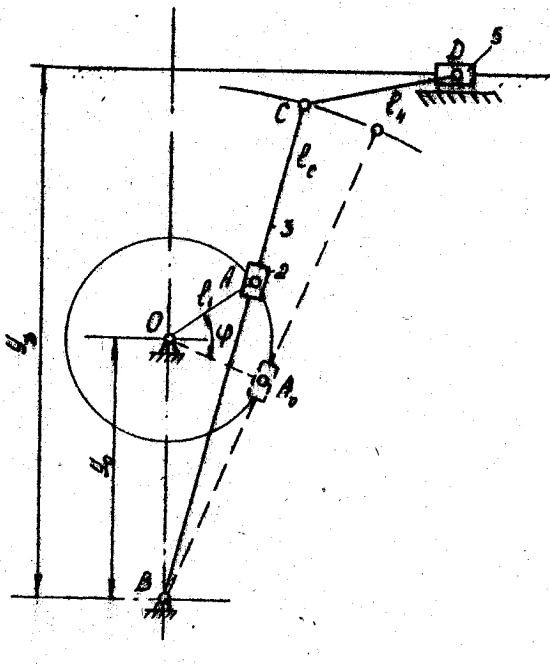


Рис. 2.1

2.2. Структурний аналіз плоских механізмів

Щоб розв'язати завдання структурного аналізу, використовуємо структурну схему механізму [3].

Структурна схема механізму – це його спрощене зображення, яке відбиває лише зв'язки між ланками. Поступальні та обертові кінематичні пари зображуються на структурній схемі однаково – у вигляді шарнірів.

Ланка на структурній схемі зображується у вигляді многокутника з довільно розташованими сторонами. Число вершин многокутника дорівнює числу пар, до яких входить ця ланка.

Покажемо на прикладі механізму двигуна з компресором побудову структурної схеми та видлення на ній груп Ассура. Кінематичну схему механізму відображені на рис. 2.2, а, з якого видно, що ланки 2 і 5 входять до трьох груп, тому на структурній схемі /рис. 2.2, б/ вони зображені у вигляді трикутників. Решта ланок входять до двох пар і тому зображені у вигляді відрізків.

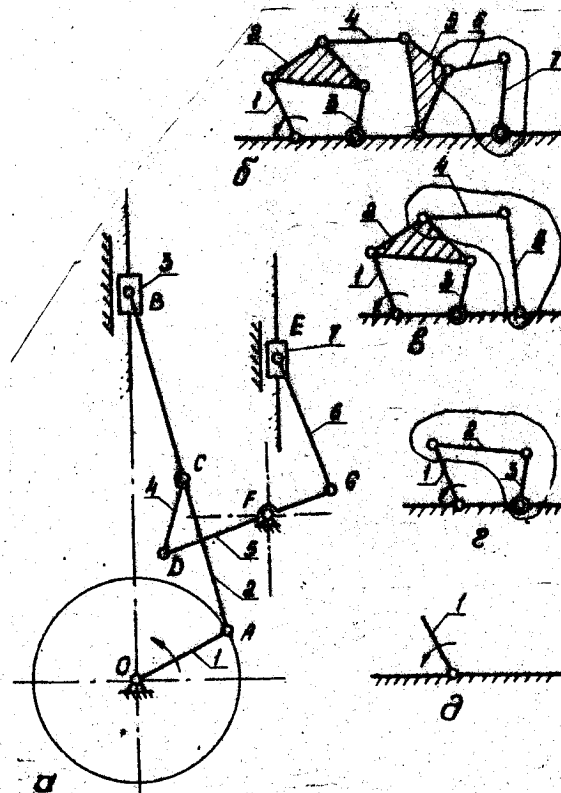


Рис.2.2

На структурній схемі показано десять кінематичних пар, утворених тими самими ланками, що й на кінематичній схемі.

У процесі визначення груп Ассура на структурній схемі необхідно мати на увазі, що стояк і початкову ланку не треба включати до груп.

Крім того, після виділення групи частини, що залишилась, має зберігати властивості механізму.

Першою виділим групу /6, 7/. Тоді кінематичний ланцюг, що залишився, задовільне вимогам вимозі /рис. 2.2, в/. Після цього можна виділити групу /4, 5/ і, нарешті, групу /2, 3/. Таким чином, встановлено, що механізм було утворено послідовним під'єднанням до стояка та початкової ланки трьох дволанкових груп Ассура.

Дволанкові групи Ассура містять три кінематичні пари. За розташуванням у групі будемо розподіляти їх на середні та крайні. Наприклад, у групі /6, 7/ розглянутого механізму пари 5, 6 і 0, 7 є крайніми, а пари 6, 7 - середніми.

Залежно від числа та розташування поступальних пар дволанкові групи Ассура можна розподілити на п'ять видів [3].

У розглядуваному прикладі в групах /6, 7/ і /2, 3/ крайня пара є поступальною. Група /4, 5/ складається з трьох обертальних пар /див. рис. 2.2, б/.

Введемо поняття вихідного кінематичного ланцюга для кожної з груп, що утворюють механізм. На рис. 2.3, б для групи /2, 3/ вихідний ланцюг - це стояк та початкова ланка, для групи /4, 5/ - механізм, що складається з ланок 0, 1, 2, 3, а для групи /6, 7/ - механізм із ланок 0, 1, 2, 3, 4, 5. З цього прикладу випливає, що вихідний ланцюг для групи утворює механізм, що складається із стояка, початкової ланки та груп, приєднаних раніше /табл. 2.1/.

Таблиця 2.1

Група Ассура	Вихідний ланцюг	Точки приєднання
/2, 3/	0, 1	A, B
/4, 5/	0, 1, 2, 3	C, F
/6, 7/	0, 1, 2, 3, 4, 5	G, E

Виділимо на кінематичній схемі точки приєднання груп до вихідного ланцюга /див. табл. 2.1/. Якщо група приєднується до вихідного ланцюга поступальною парою, то точкою приєднання беремо точку вихід-

ного ланцюга, що збігається в даний момент з віссю обертальної пари. У розглядуваному прикладі точкою приєднання ланки 3 до стояка вважаємо точку B_o , а в групі /6, 7/ точкою приєднання ланки 7 до стояка - точку E_o .

2.3. Етапи кінематичного дослідження груп Ассура

Задачу кінематичного дослідження розв'язують послідовним розгляданням груп Ассура, що утворюють механізм. Першою розглядають групу, приєднану до початкової ланки. Потім вивчають групи в порядку їх приєднання при утворенні механізму. Отже, дослідження кожного механізму можна поділити на стільки частин, скільки груп входить до його складу. У свою чергу, дослідження окремої групи складається в ряду послідовних етапів.

На підготовчому етапі визначають координати, швидкості та прискорення точок приєднання групи. Для цього використовують заданий закон руху початкової ланки, якщо розглядають першу приєднану групу, чи кути повороту, кутові швидкості та кутові прискорення ланок, знайдені у процесі дослідження попередньої групи. В окремому випадку, якщо точка приєднання групи є нерухомою, її координати входять до числа вихідних даних, а швидкість та прискорення дорівнюють нулю.

У розглядуваному прикладі /див. рис. 2.2/ на підготовчому етапі дослідження групи /4, 5/ визначають координати, швидкість і прискорення точки C .

Друга точка приєднання цієї групи - точка F_o - є нерухомою, її координати задані, а швидкість і прискорення дорівнюють нулю.

На першому етапі визначають координати осей шарнірів і кути повороту ланок, що утворюють групу, на другому етапі - швидкості осей шарнірів і кутові швидкості ланок, на третьому - прискорення осей шарнірів і кутові прискорення ланок.

Виконуючи підготовчий етап, використовують залежності для ланок вихідного ланцюга, на першому та наступних етапах - для ланок розглядуваної групи.

Наприклад, досліджуючи групу /4, 5/ механізму, схему якого зображенено на рис. 2.2, на підготовчому етапі знаходять координати, проекції швидкості та прискорення точки приєднання C ; при цьому використовуються знайденими раніше значеннями $\vartheta, \omega, \varepsilon$, що характеризують рух вихідного ланцюга. На першому - третьому етапах записують рівняння кінематики для ланок 4 і 5, що утворюють досліджувану групу Ассура.

Якщо одна чи обидві крайні групи є поступальними, то координати точок приєднання визначаються на першому етапі дослідження групи. У розглядуваному прикладі координати точки B_1 приєднання групи /2, B/ визначаються на першому етапі II дослідження. Для цього треба записати рівняння для ланок 2 і 3, що утворюють групу.

8.4. Методи кінематичного дослідження механізмів

Найпростіше перший етап дослідження виконувати графічними побудовами та після цього графічним диференціюванням отриманої функції визначати швидкість потрібної точки, а потім повторним графічним диференціюванням - II прискорення.

Такий метод не характеризується достатньою точністю. Похибка у визначенні прискорення може досягати 50-60 %. Тому в подальшому воно не розглядається.

Графоаналітичний метод планів має помірну трудомісткість, яка є прямо пропорційною числу розглядуваних положень механізму. Точність методу обмежена 2-3 % і значною мірою залежить від акуратності виконання графічних побудов і вдалого вибору масштабів.

Аналітичне розв'язання передбачає використання ЕОМ будь-яких типів, починаючи з ПМК. Основні затрати часу йдуть на складання та відлагодження програми і від кількості розглядуваних положень не залежать. Затрати часу безпосередньо на обчислення є незначними. Точність отримуваного розв'язку навіть перевищує необхідну в процесі технічних розрахунків.

Якщо використовується аналітичний метод, то на першому етапі можна застосувати або метод замкненого векторного контуру, запропонований Винов'євим [17], або метод перетворення координат з використанням апарату матриць [26]. Останній метод розробляється для присторових кінематичних ланцюгів в маніпуляторах, а використання його для плоских механізмів може бути громіздким.

Використовуючи на першому етапі метод Винов'єва, другий і третій етапи можна використовувати по-різному /рис. 8.3/.

Оскільки мова йде про визначення похідних, а аналітичний вираз функції положення $S(t)$ знайдено на першому етапі, цю формулу можна продиференціювати та знайти \dot{S} і \ddot{S} [37; 88]. Принципово такий розв'язок можна знайти завжди, але отримувані формулі дуже громіздкі і їх перевірка можлива лише в разі повторного виведення.

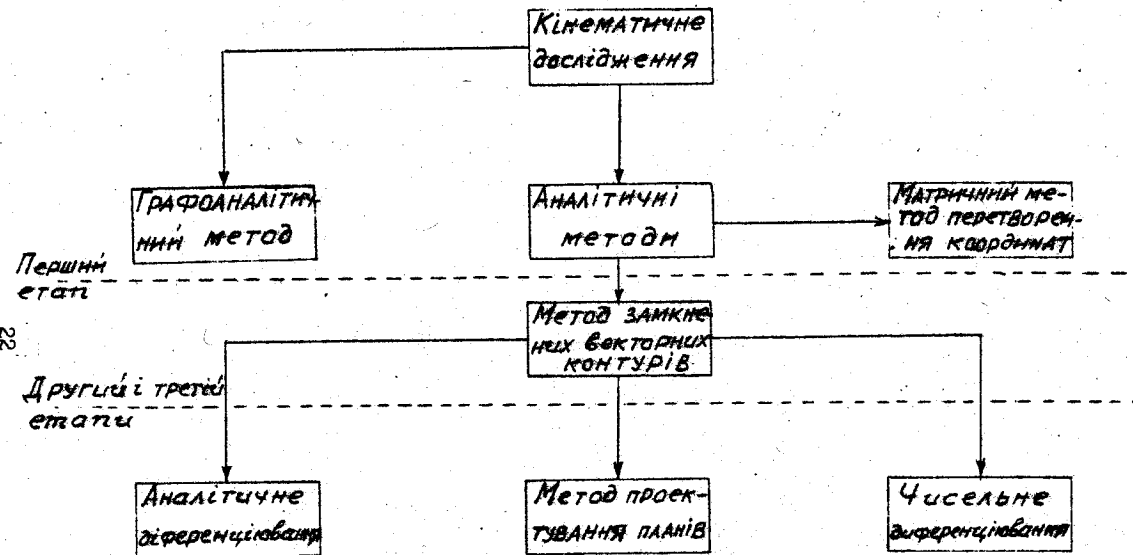


Рис. 2.3

Другим є метод проектування планів швидкостей і прискорень на координатній осі [2]. У цьому разі комбіні доданик отриманих рівнянь має ясно виражений фізичний смысль, тому їх легко контролювати. Проте для конкретного виду групи Ассура треба скласти свій алгоритм розв'язання.

Найпростіше розв'язати завдання другого та третього етапів методом чисельного диференціювання $\Phi(\varphi)$, знайденого на першому етапі [19]. Щоб отримати оптимальну похибку, необхідно дотримуватись таких умов.

1. Значення $\Phi(\varphi)$ треба визначити з точністю до шести знаків після коми.

2. Крок між сусідніми положеннями механізму має бути досить малим.

Практика показує, що його оптимальне значення становить 1,5...
...2,0° кута повороту початкової ланки.

Головні переваги методу - універсальність і простота використовуваних формул. Це дає змогу застосовувати основні блоки програми для будь-яких механізмів, замінюючи лише зміст блоку обчислення $\Phi(\varphi)$.

Недолік розглядуваного методу - необхідність обчислення трьох значень $\Phi(\varphi)$ для того, щоб отримати одне значення швидкості та прискорення. Це подовжує час рахунку. Проте це подовження є суттевим лише в разі використання ПМК.

Розглянемо аналітичні методи, в основі яких лежить метод замкнутого векторного контуру.

3.5. Перший етап кінематичного дослідження.

Варіанти складання

3.5.1. Розглянемо спочатку графічне розв'язання цього етапу задачі на прикладі кривошипно-попуцьного механізму. Нехай треба знайти положення механізму, що відповідає заданому значенню кута φ повороту кривошипа. Цей кут будемо відліковувати проти годинникової стрілки від одного з крайніх положень механізму. Матриця механізму /рис. 2.4/ складається з трьох лінійних розмірів: - довжини кривошипа; - довжини шатуна; - відстані від осі повзуна до осі кривошипа /еконцентризитет/.

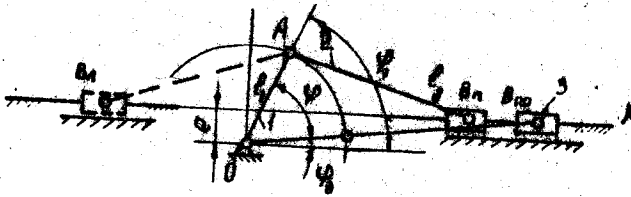


Рис. 2.4

Для графічного розв'язання вибираємо довільну точку O як вісь обертання кривошипа, відкладаємо по вертикалі відстань ϵ і проводимо горизонтальну пряму XX' - напрямку повзунка 3. Методом часточок визначаємо спочатку крайнє положення механізму, а потім решту його положень, що відповідають заданим значеням кута φ .

Для кожного значення φ задача має два розв'язки. Точки B_1 і B_2 відповідають двом варіантам складання механізму. В умові на проектування має бути обумовлено, який із варіантів необхідно розглянути.

Задача може зовсім не мати розв'язків. Наприклад, якщо $\ell_1 + \ell_2 > \ell$, то за деяких значень φ розв'язків немає, тобто механізм не прокручується. Якщо $\ell_1 + \ell_2 < \ell$, то механізм зовсім існувати не може.

2.5.2. У разі аналітичного розв'язання задачі [17] введемо нерухому систему координат /рис. 2.5/, початок якої сумістимо з віссю кривошипа O , а вісь X спрямуємо паралельно осі поступальної пари.

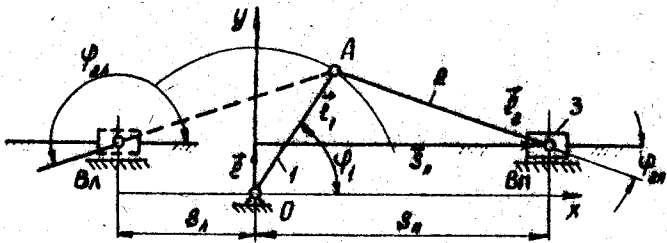


Рис. 2.5

Введемо напрямі вектори ℓ_1 і ℓ_2 ланок 1 і 2, що вбігаються в їх осіми. Крім того, введемо вектори \vec{e} і \vec{s} . Останній задає положення точки B на осі повзуна. Кутом повороту ланки будемо вважати кут між віссю OX і напрямком вектором, що відліковується проти годинникової стрілки. Тому кут φ_{2n} , показаний на рис. 2.5, треба вважати негативним. У разі правого варіанта складання $\pi/2 < \varphi < \pi/2$, у разі лівого $\pi/2 < \varphi < 3\pi/2$.

Складемо рівняння замкненого векторного контуру:

$$\ell_1 + \ell_2 = \vec{e} + \vec{s}. \quad /2.1/$$

Вектори, що входять до цього рівняння, складають в віссю OX кути $\varphi_1, \varphi_2, \pi/2, D$. Тому, проектуючи їх на осі OX і OY , дістаємо

$$\ell_1 \cos \varphi_1 + \ell_2 \cos \varphi_2 = S; \quad /2.2/$$

$$\ell_1 \sin \varphi_1 + \ell_2 \sin \varphi_2 = e. \quad /2.3/$$

У ці рівняння входять два невідомих - кут φ_2 і відрізок S . з /2.3/ визначаємо

$$\sin \varphi_2 = \frac{e - \ell_1 \sin \varphi_1}{\ell_2} = U_2. \quad /2.4/$$

Якщо механізм прокручується, то $|U_2| < 1$ і формула /2.4/ є коректною. Побудуємо графік залежності $\sin \varphi_2$ від φ_2 /рис. 2.6/.

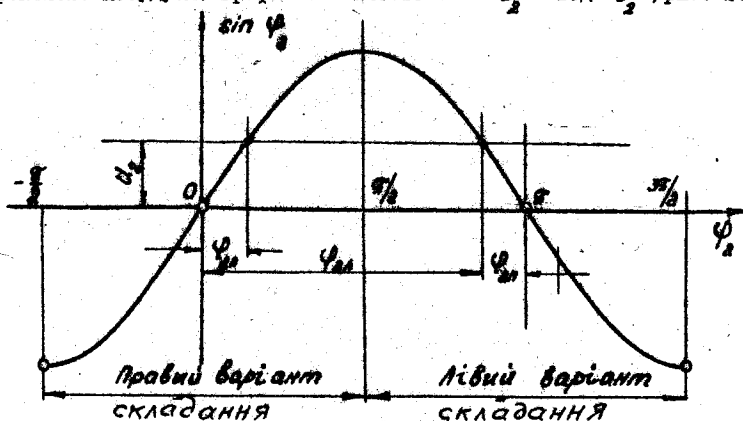


Рис. 2.6

Відзначимо області значень φ , що відповідають правому та лівому варіантам складання. Проводячи лінію $\sin \varphi = u_1$, дістаємо дві точки II перетину її з синусоїдою. З рис. 2.6 випливає, що коли умови прокручування виконуються, то рівняння /2.4/ має два розв'язки:

перший

$$\varphi_{\text{п}} = \arcsin(u_1) \quad /2.5/$$

відповідає правому варіанту складання;

другий

$$\varphi_{\text{д}} = \pi - \arcsin(u_1) \quad /2.6/$$

відповідає лівому.

Після визначення φ знаходимо β за /2.2/.

Якщо за аргумент додатково використовувати кут φ /див. рис. 2.4/ повороту кривошипа, що відрізкується від крайнього положення механізму, треба використовувати формулу

$$\varphi = \varphi + \varphi,$$

де φ — кут, який складає кривошип в віссі OK у крайньому положенні механізму,

$$\varphi = \arcsin\left(\frac{\epsilon_1}{\epsilon_1 + \epsilon_2}\right). \quad /2.7/$$

2.5.3. Значно складніше розв'язання першого етапу для групи Азоура в трьома обертальними парами. Прикладом механізму, що містить таку групу, служить шарнірний чотириланковик /рис. 2.7/.

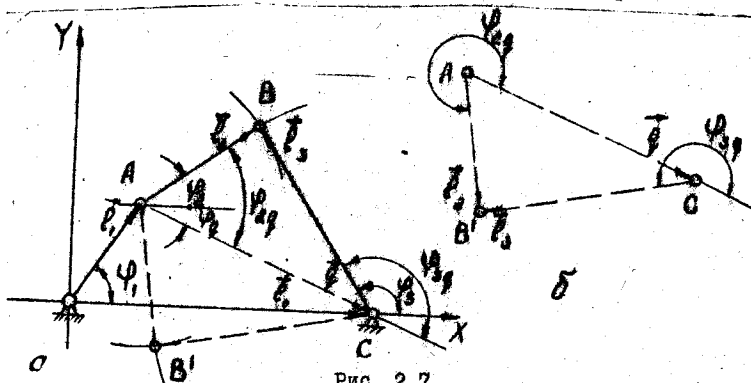


Рис. 2.7

Якщо задано довжини ланок $\ell_1, \ell_2, \ell_3, \ell_4$ і кут φ повороту ланки 1, то можна знайти положення точки A . Положення шарніра B визначається як точка перетину окружностей з радіусами ℓ_2 і ℓ_3 , центри яких лежать у точках A і C . Зазначені окружності або перетинаються в двох точках B і B' , або не перетинаються, що відповідає непротягуваності механізму.

Розглянемо випадок, коли є два розв'язки, що відповідають двом варіантам складання. Введемо допоміжний вектор \vec{q} , що з'єднує точки A і C , і відзначимо кут ϑ між векторами \vec{q} і $\vec{\ell}_2$. Один із варіантів складання характеризується тим, що в нього $\vartheta > 0$ /шарнір у точці B / . Цей варіант складання будемо називати позитивним. Інший варіант /точка B' /, в якого $\vartheta < 0$, будемо називати негативним.

Проекції вектора \vec{q} на координатні осі:

$$q_x = X_c - X_A; \quad q_y = Y_c - Y_A.$$

Тоді модуль вектора

$$q = \sqrt{q_x^2 + q_y^2}, \quad 12.8/$$

а кут ϑ , який цей вектор складає в віссю OX , визначається його тригонометричними функціями

$$\cos \vartheta = \frac{q_x}{q}, \quad \sin \vartheta = \frac{q_y}{q}.$$

Із залежності

$$\operatorname{tg}\left(\frac{\vartheta}{2}\right) = \frac{\sin \vartheta}{1 + \cos \vartheta} = \frac{q_y}{q + q_x}$$

визначимо кут

$$\vartheta = 2 \arctg\left(\frac{q_y}{q + q_x}\right). \quad 12.9/$$

Остання формула є некоректною при $q + q_x = 0$. Тому перед тим, як її використовувати, треба перевірити, чи не перетворюється на нуль $q + q_x$, і якщо так, то привести ϑ значення π . Подальше розв'язання залежить від варіанта складання.

Роаглянемо спочатку позитивний варіант, коли ванки 2 і 3 утворють $\triangle ABC$ /рис. 2.7,а/. У цьому разі

$$0 < \varphi < \pi, \quad 0 < \psi < \pi.$$

Застосуємо дійчі теорему косинусів до $\triangle ABC$:

$$c_3^2 = a^2 + c_2^2 - 2a c_2 \cos \varphi, \quad /2.10/$$

$$c_2^2 = a^2 + c_3^2 - 2a c_3 \cos(\pi - \varphi). \quad /2.11/$$

Звідси

$$\cos \varphi = (c_2^2 - c_3^2 + a^2) / 2a c_2 = Z_2, \quad /2.12/$$

$$\cos \psi = (c_3^2 - c_2^2 + a^2) / 2a c_3 = Z_3. \quad /2.13/$$

У разі негативного варіанта складання /рис. 2.7,б/ можливі межі зміни значень φ і ψ , визначаються на рівностями

$$\pi < \varphi < 2\pi, \quad \pi < \psi < 2\pi$$

Кути $\triangle ABC$, що в протилежними сторонам AB' і BC , відповідно дорівнюють $2\pi - \varphi$ і $\varphi - \pi$. Тому до рівнянь, які є аналогічними /2.12/ і /2.13/, додають тригонометричні функції

$$\cos(2\pi - \varphi) = \cos \varphi, \quad \cos(\varphi - \pi) = -\cos \varphi.$$

Отже, ці рівняння збігаються з рівняннями /2.10/ і /2.11/, а вирази /2.12/ і /2.13/ можна використовувати для обчислення $\cos \varphi$ і $\cos \psi$ за обом варіантів складання.

Відомо, що рівняння

$$\cos \varphi = Z_2 \quad /2.14/$$

на відрізку $[0, 2\pi]$ має два корені, один з яких дорівнює $\arccos(Z_2)$ і відповідає позитивному варіанту складання, а інший дорівнює $2\pi - \arccos(Z_2)$ і відповідає негативному варіанту. Тому в першому випадку

$$\varphi = \arccos(Z_2), \quad \psi = \arccos(Z_3), \quad /2.15/$$

у другому

$$\varphi = 2\pi - \arccos(Z_2), \quad \psi = 2\pi - \arccos(Z_3). \quad /2.16/$$

Із рис. 2.7 випливає, що в обох випадках

$$\varphi = \varphi_1 + \varphi_2 ; \quad \varphi = \varphi_3 + \varphi_4 .$$

Ураховуючи [2.15], [2.16] та відкидаючи у другому випадку 2π , дістаємо

$$\varphi = \varphi_1 \pm \arccos(\zeta_2); \quad \varphi = \varphi_3 \pm \arccos(\zeta_3), \quad [2.17]$$

де верхні знаки відповідають позитивному варіанту, а нижні - негативному.

Розглянемо тепер умову прокручуваності механізму. Відомо [24, с. 24], що цю умову вперше сформулював Ф.Грасгоф. Щоб ланка 1 була кривошипом /тобто могла відіснити повний оберт/, мають виконуватись умови

$$\begin{aligned} l_1 + l_2 &< l_1 + l_3; \\ |l_1 - l_2| &< |l_2 - l_3|, \end{aligned} \quad [2.18]$$

які необхідно перевірити до початку обчислень у циклі. Якщо ці умови не виконуються, треба змінити геометричні параметри механізму.

2.5.4. Розглянемо розв'язання для кулісного механізму, схему якого зображено на рис. 2.8, а.

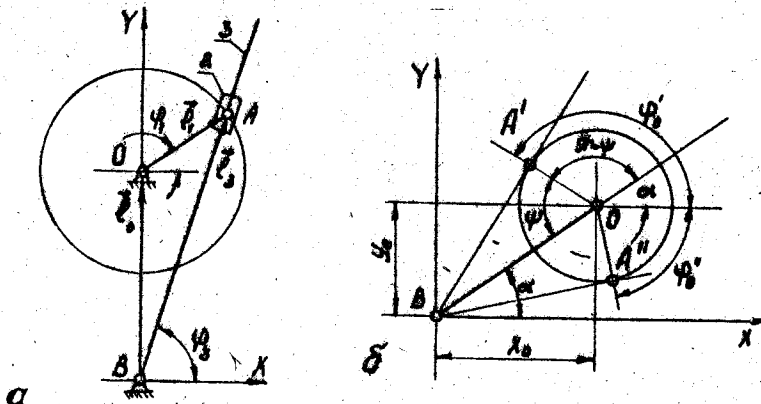


Рис. 2.8

Рівняння замкненого контуру OAB має вигляд

$$\ell_0 + \ell_1 = \ell_3.$$

Вектори ℓ_0, ℓ_1, ℓ_3 складають в віссю X кути $\pi/2, \varphi, \varphi_3$. Тому, проектуючи на осі OX і OY , дістаемо

$$\left\{ \begin{array}{l} \ell_0 \cos \varphi_3 = \ell_3 \cos \varphi_3; \\ \ell_0 + \ell_1 \sin \varphi_3 = \ell_3 \sin \varphi_3. \end{array} \right. \quad /2.19/$$

$$\left\{ \begin{array}{l} \ell_0 \cos \varphi_3 = \ell_3 \cos \varphi_3; \\ \ell_0 + \ell_1 \sin \varphi_3 = \ell_3 \sin \varphi_3. \end{array} \right. \quad /2.20/$$

Підносячі праві та ліві частини рівнянь /2.19/ і /2.20/ до квадрату і склавши їх, отримаємо

$$\ell_3^2 = (\ell_0 \cos \varphi_3)^2 + (\ell_0 + \ell_1 \sin \varphi_3)^2.$$

Тоді

$$\cos \varphi_3 = \ell_0 \cos \varphi_3 / \ell_3; \quad \sin \varphi_3 = (\ell_0 + \ell_1 \sin \varphi_3) / \ell_3.$$

Щоб визначити кут φ_3 , необхідно використати формулу /2.19/. Розглядуваній кулісний механізм має лише один варіант складання і завжди прокручується. Співвідношення $\ell_1 > \ell_0$ або $\ell_1 < \ell_0$ визначає, що буде робити куліс B : коливатись або обертатись. Визначимо кут φ_3 для кулісного механізму у разі довільного положення точки O на площині /рис. 2.8, б/. Нехай O декартовими координатами будуть x_0 і y_0 . Тоді полярні координати цієї точки

$$\ell_0 = \sqrt{x_0^2 + y_0^2},$$

$$\alpha = 2 \operatorname{arctg} \left(\frac{y_0}{x_0 + \ell_0} \right).$$

Покажемо два крайніх положення кулісного механізму, яким відповідають точки A і A' . Із $\triangle BOA$ дістаемо

$$\varphi = \arccos \left(\frac{\ell_0}{\ell_3} \right).$$

Тоді кут $\varphi = \alpha \pm (\pi - \varphi)$ визначає два крайніх положення розглядуваного механізму.

2.5.5. У наведених прикладах досліджувану групу безпосередньо приєднано до криволінія. Тому координати точки приєднання A визначались його кутом повороту.

Якщо розглядається механізм, який складається з кількох груп Ассура, то в першій частині необхідно розв'язати задачу про положення першої приєднаної групи, після чого переходити до розглядання другої та наступних груп.

Як приклад розглянемо перший етап для механізму довбального веротата /рис. 2.9/, що містить групи Ассура /2, 3/ і /4, 5/.

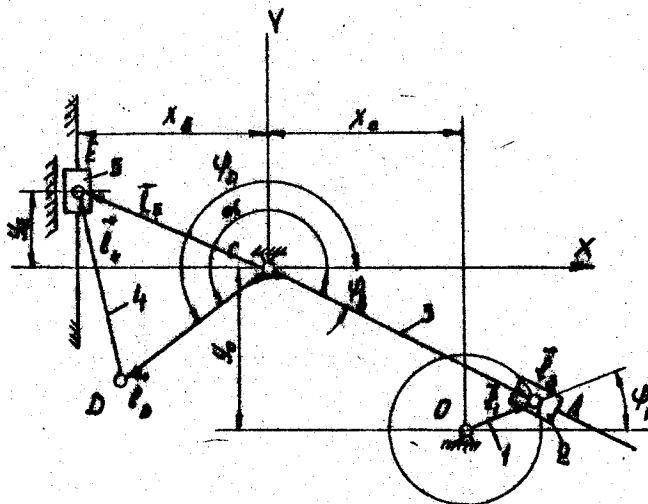


Рис. 2.9

Розв'язання задачі для групи /2, 3/ аналогічне розглянутому. У результаті буде знайдено кут ϑ_2 . На підготовчому етапі досягнення групи /4, 5/ скористаємося знаходженням значенням ϑ_3 для визначення кута ϑ_D , що задає положення вектора ℓ_D :

$$\vartheta = \vartheta + \alpha. \quad /2.21/$$

Координати точки D приєднання групи /4, 5/:

$$x_D = \ell_D \cos \vartheta_D; \quad y_D = \ell_D \sin \vartheta_D. \quad /2.22/$$

Якщо на кресленні виділити контур $CDDE$, то умова замкненості має вигляд

$$\vec{\ell}_D + \vec{\ell}_4 = \vec{\ell}_E;$$

проекції складових векторів контуру на осі X і Y

$$\left\{ \begin{array}{l} x_D + \ell_4 \cos \varphi = x_E; \\ y_D + \ell_4 \sin \varphi = y_E. \end{array} \right. \quad /2.23/$$

$$\left\{ \begin{array}{l} x_D + \ell_4 \cos \varphi = x_E; \\ y_D + \ell_4 \sin \varphi = y_E. \end{array} \right. \quad /2.24/$$

У цій системі шуканими є φ і ℓ_4 . Із /2.23/ випливає, що

$$\cos \varphi = \frac{x_E - x_D}{\ell_4} = \mathcal{Z}_4. \quad /2.25/$$

У розглядуваному механізмі $0 < \varphi < \pi$, тобто лежить в області визначення функції $\arccos \varphi$. Тому

$$\varphi = \arccos(\mathcal{Z}_4). \quad /2.26/$$

Із рівняння /2.24/ визначамо ℓ_4 . Якщо $|x_E - x_D| > \ell_4$, механізм не прокручується і використання формул /2.26/ приводить до автосту.

2.5.6. Якщо осі поступальних пар у розглядуваному механізмі не утворюють кут 90° або є ненапаралельними, необхідно ввести дві системи координат і використовувати формули переходу в разі повороту осей. Як приклад розглянемо перший етап дослідження V -подібного двигуна з привічним шатуном*.

Кінематичну схему механізму зображенено на рис. 2.10. Кут повороту кривошипа φ відраховуємо від нижньої мертвої точки правого циліндра. Тоді $\varphi = \pi$.

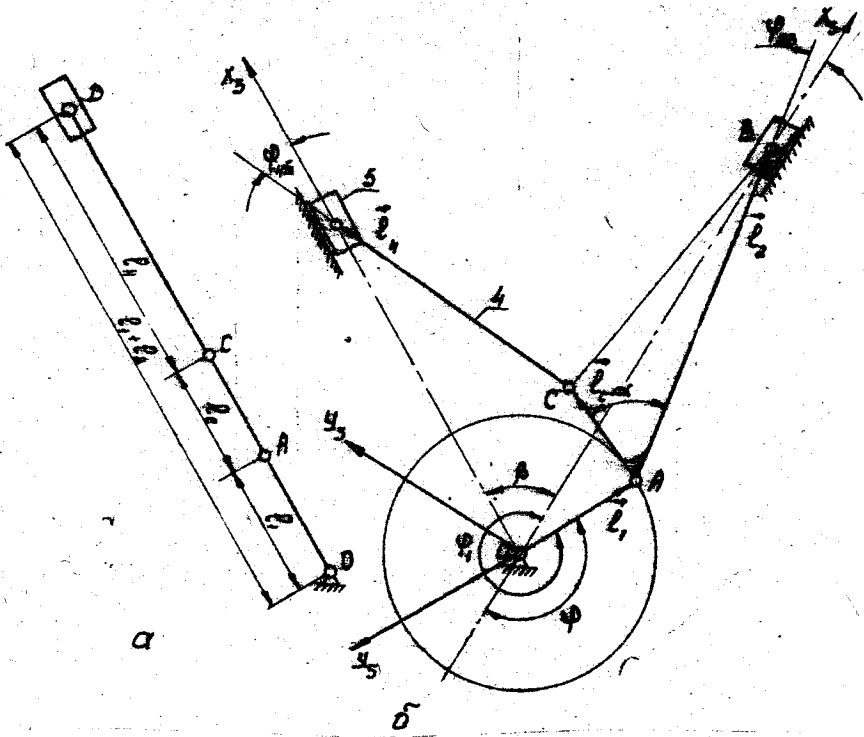
Робочий процес двигуна висуває такі вимоги до метрики групи /4, 5/. По-перше, поршень 5 має приходити до свого крайнього верхнього положення при $\varphi = \beta$. У цей момент відрізки ℓ_1 , ℓ_c , ℓ_4 мають розташовуватись уздовж осі X_5 /рис. 2.10, б/. Для цього кут α має задовільняти умову

$$\alpha = -\varphi (\beta), \quad 2.25$$

де $\varphi (\beta)$ - кут між віссю X_5 і віссю шатуна 2 при $\varphi = \beta$.

По-друге, при $\varphi = \beta$ відстань між точками O і D має дорівнювати відстані між O і B при $\varphi = 0$, тобто $\ell_1 + \ell_4 = \ell_2$. Отже, має виконуватись умова $\ell_1 + \ell_4 = \ell_2$.

* Таку схему мав двигун В-2 танка Т-34.



Pac. 2.10

Переміщення поршня 3 було визначене в п. 2.5.2. Тому розглянемо лише встановлення положення групи /4, 5/. Координати точки **C** приєднання цієї групи

$$X_c = X + \ell \cos(\varphi + \alpha) = \ell \cos \varphi + \ell \cos(\varphi + \alpha); \quad 12.27/$$

$$Y_c = Y + \ell \sin(\varphi + \alpha) = \ell \sin \varphi + \ell \sin(\varphi + \alpha). \quad 12.27/$$

Введемо систему координат $X_5 OY_5$, вісь OX_5 , якої збігається з віссю лівого циліндра і складає кут β з віссю OX_3 . Тому координати точки **C** у системі $X_5 OY_5$

$$X'_c = X_c \cos \beta + Y_c \sin \beta; \quad 12.28/$$

$$Y'_c = -X_c \sin \beta + Y_c \cos \beta.$$

Проектуючи контур OCD на осі OX_5 і OY_5 , дістаємо

$$\varphi = \arcsin\left(-\frac{y_c}{x_c}\right); \quad 12.29/$$

$$X'_D = X'_c + \ell \cos \varphi. \quad 12.30/$$

Щоб визначити переміщення, поршня 5 від його крайнього нижнього положення, необхідно знайти X'_D — найменшу відстань між точками O і D . Цю величину встановлюємо зміною кута φ з малим кроком поблизу точки $\varphi = \pi + \beta$, оскільки крайнє нижнє положення лівого поршня не відповідає розташуванню кривошипа на осі лівого циліндра.

2.6. Векторні рівняння, що використовуються на другому та третьому етапах кінематичного дослідження

2.6.1. Якщо другий і третій етапи кінематичного дослідження виконуються графоаналітичним методом або методом проектування планів, для кожної ланки розглядуваної групи треба записати векторне рівняння, що ґрунтуються на відомих з теоретичної механіки рівняннях, а саме на теоремі про розподіл швидкостей /прискорень/ точок плоскої фігури чи на теоремі про складання швидкостей /прискорень/ у разі відносного руху [43, гл. II, с. 218-273; гл. 14, с. 293-310].

Перша теорема використовується тоді, коли ланка не є повзуном; друга застосовується для повзунів.

Перша теорема діє ємогу пов'язати швидкості /прискорення/ двох точок на одній і тій самій ланці, а друга пов'язує швидкості /прискорення/ двох збіжних у даний момент точок на різних ланках.

Якщо точки A і B /рис. 2.11, а/ лежать на ланці K /ци ланка не служить повзуном/ і точка A - точка приєднання групи Асоура, то, вибравши K як полос, дістанемо залежність між \vec{V}_A і \vec{V}_B :

$$\vec{V}_B = \vec{V}_A + \vec{V}_{BA}, \quad /2.31/$$

де \vec{V}_{BA} - швидкість точки B в обертальному русі навколо точки A . Вектор \vec{V}_{BA} в перп. дікулярним до напрямного вектора \vec{V}_K розглядуваної ланки та

$$\vec{V}_{BA} = C \omega_K,$$

де $C\omega_K$ - кутова швидкість ланки K .

Якщо $\omega_K > 0$, вектор \vec{V}_{BA} спрямовано так, як показано на рис. 2.11, а, і тому становить з віссю X кут $\varphi + \pi/2$.

На третьому етапі дослідження використовувамо теорему про розподіл прискорень. У цьому разі

$$\vec{\alpha}_B = \vec{\alpha}_A + \vec{\alpha}_{BA}^N + \vec{\alpha}_{BA}^T, \quad /2.32/$$

де $\vec{\alpha}_{BA}^N$, $\vec{\alpha}_{BA}^T$ - вектор відповідно нормального і тангенціального прискорень в обертальному русі точки B навколо полоси A . Нормальне прискорення спрямоване до полоси A а тангенціальне /при $C > 0$ / відгається в напрямі швидкості \vec{V}_K /див. рис. 2.10, а/.

Отже, вектор $\vec{\alpha}_{BA}^N$ складає з віссю \vec{V}_K кут $\varphi + \pi/2$, а вектор $\vec{\alpha}_{BA}^T$ - кут $\varphi + \pi/2$.

Модулі цих векторів

$$\alpha_{BA}^N = C \omega_K^2; \quad \alpha_{BA}^T = C \omega_K. \quad /2.33/$$

Якщо ланки K і T утворюють поступальну пару /рис. 2.11, б/, то швидкості двох збіжних точок A_n і A_{n-k} на повзуні n і напрямі K пов'язані рівнянням

$$\vec{V}_{A_n} = \vec{V}_{A_{n-k}} + \vec{V}_{n-k},$$

де \vec{V}_{A_n} - швидкість точки A_n на повзуні n ; $\vec{V}_{A_{n-k}}$ - швидкість точки A_{n-k} на напрямній K ; \vec{V}_{n-k} - відносна швидкість ланок n і K .

88

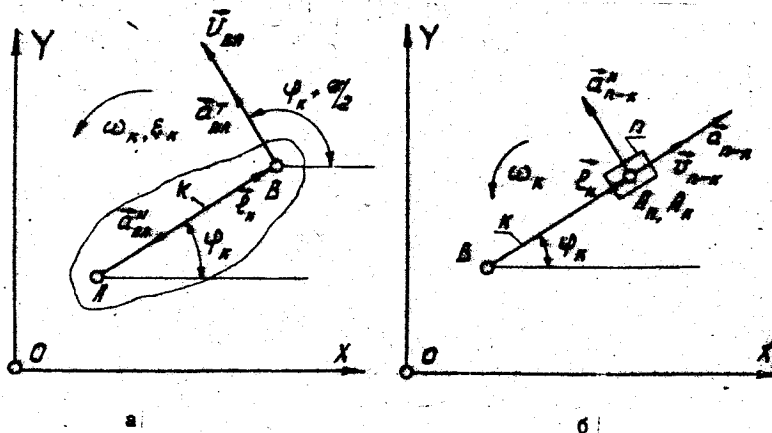


FIG. 2.II

У цьому рівнянні \vec{V}_A відіграє роль абсолютної, а \vec{V}_{n-k} складає в віссю OX переносної швидкості. Відносна швидкість \vec{V}_{n-k} складає в віссю OX кут φ .

Аналогічно на основі теореми про складання прискорень

$$\vec{\alpha}_A = \vec{\alpha}_{A_n} + \vec{\alpha}_{n-k}^* + \vec{\alpha}_{n-k}, \quad /2.34/$$

де $\vec{\alpha}_{A_n}$, $\vec{\alpha}_{n-k}$ - абсолютне та переносне прискорення точки відповідно A_n і $n-k$; $\vec{\alpha}_{n-k}^*$ - відносне прискорення ланки $n-k$ відносно ланки k , спрямоване відовж лінії AB ; $\vec{\alpha}_{n-k}$ - прискорення Коріоліса,

$$\vec{\alpha}_{n-k}^* = 2\omega_k \vec{v}_k \quad /2.35/$$

У плоских механізмах $\vec{\alpha}_{n-k}$ лежить у площині креслення. Щоб визначити його напрям, необхідно скористатись правилом Жуковського: щоб визначити напрям вектора прискорення Коріоліса, треба повернути вектор відносної швидкості на кут 90° за напрямом переносного обертання.

Тому при $\omega_k > 0$ вектор прискорення Коріоліса треба спрямувати так, як показано на рис. 2.11, б, в якого випливає, що цей вектор складає в віссю OX кут $\varphi + \pi/2$.

2.6.2. Запис векторних рівнянь стосовно конкретного механізму розглянемо на прикладі стругального верстата, схему якого зображено на рис. 2.12, а.

Цей механізм складається з двох груп Ассура: 1/2, 3/4, 5/. Першою розглянемо групу 1/2, 3/. Точками 1 і 2 приєднання є A_1 і B_1 . Швидкість і прискорення першої точки відомі, оскільки вони належать до початкової ланки. Швидкість і прискорення другої точки дорівнюють нулю, оскільки вони належать стояку. У групі 1/2, 3/ ланка 2 слугує повзуном, а ланка 3 - напрямною. Згідно з наведеним правилом для ланки 2 записуємо теорему про складання швидкостей /прискорень/: для ланки 3 - теорему про розподіл швидкостей /прискорень/ точок цієї ланки. При цьому полосом вважаємо точку приєднання B_1 . Вихідні відомості та векторні рівняння для групи 1/2, 3/ наведені в перших двох рядках табл. 2.2.

Точками приєднання групи 4/5 є C_3 і D_0 . Швидкість і прискорення другої з них дорівнюють нулю, оскільки ця точка лежить на стояку. Визначення швидкості та прискорення точки C_3 залежить від прийнятого методу дослідження та описане далі.

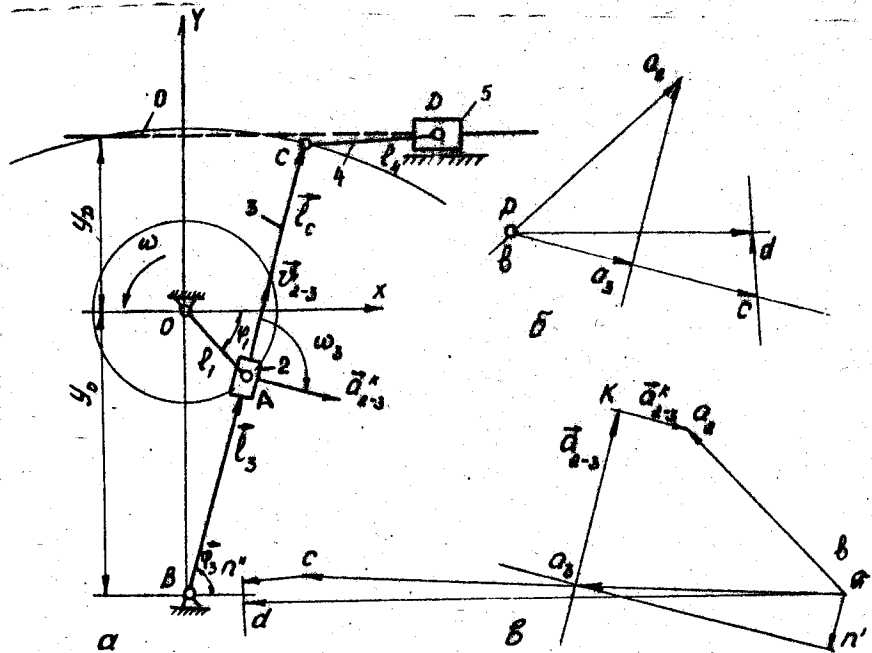


Рис. 2.12

Таблиця 2.2

Векторні рівняння для другого та третього етапів

Група	Лан-ка	Пов-зун 7	Точка при-єднан-ня	Рівняння для етапу	
				другого	третього
2,3	2	+	A ₁	$\vec{V}_{A_2} = \vec{V}_{R_3} + \vec{V}_{e-3}$ (2.36)	$\vec{a}_{A_2} = \vec{a}_{R_3} + \vec{a}_{e-3} + \vec{a}_{e-3}^T$ (2.38)
	3	-	B ₀	$\vec{V}_{B_3} = \vec{V}_B + \vec{V}_{R_3}$ (2.37)	$\vec{a}_{B_3} = \vec{a}_B + \vec{a}_{R_3}^N + \vec{a}_{R_3}^T$ (2.39)
4,5	4	-	C ₃	$\vec{V}_D = \vec{V}_C + \vec{V}_{DC}$ (2.40)	$\vec{a}_D = \vec{a}_C + \vec{a}_{DC}^N + \vec{a}_{DC}^T$ (2.42)
	5	+	D ₀	$\vec{V}_{D_5} = \vec{V}_{D_0} + \vec{V}_{5-0}$ (2.41)	$\vec{a}_{D_5} = \vec{a}_{D_0} + \vec{a}_{5-0}$ (2.43)

Рівняння для дослідження групи /4, 5/ записані в рядках 3 і 4 табл. 2.2. Для ланки 4, що не є повзуном, на основі теореми і записані рівняння /2.40/ і /2.42/, в яких точка приєднання C використана як полюс.

Для ланки 5 використано теорему 2 стосовно швидкостей і прискорень точок D_5 і D_6 . У даному конкретному випадку напрямкою слідить стодж, який є нерухомим, тому його швидкість V_{D_6} і прискорення a_{D_6} дорівнюють нулю. Прискорення Коріоліса a_{D_5} також дорівнює нулю, оскільки опівмножник у формулі, аналогічній /2.35/, дорівнює нулю. За суттю рівняння /2.41/ і /2.42/ відбивається те, що в даному механізмі напрямки швидкості та прискорення точки D_5 відомі.

2.7. Другий і третій етапи дослідження механізму графоаналітичним методом

2.7.1. Вибір масштабів. Оскільки графоаналітичне розв'язання вимагає побудови планів швидкостей і прискорень, необхідно вибрати їх масштаби.

У багатьох випадках зручно будувати плани "в масштабі кривошипа". У цьому разі швидкість і прискорення пальця кривошипа зображені на кресленні відрізком, що дорівнює кривошину. Тоді масштаб плану швидкостей

$$\mu_v = \mu_e \omega \quad /2.44/$$

і масштаб плану прискорень

$$\mu_a = \mu_e \omega^2, \quad /2.45/$$

де μ_e - масштаб довжин, м/мм; ω - кутова швидкість кривошипа, рад/с.

У процесі будування планів "у масштабі кривошипа" відрізки, що зображують прискорення нормальне та Коріоліса, можуть визначатись безпосередньо через відрізки, які зняті з плану швидкостей і схеми механізму.

Покажемо це на прикладі нормальногоприскорення [м/с²]:

$$\frac{a''}{AB} = \frac{v^2}{AB}.$$

Але швидкість $\vec{v}_{AB} = \vec{\alpha}_3 \vec{v}_\mu$, де $\vec{\alpha}_3 \vec{v}$ - відрізок на плані швидкостей /див. рис. 2.12,б/, що зображує швидкість \vec{v}_{AB} . Довжина ланки, м,

$$l_{AB} = AB\mu_c,$$

де AB - відрізок на кінематичній схемі, який зображує ланку 3, мм.

Тому

$$\alpha_{AB}^N = \frac{(\vec{\alpha}_3 \vec{v})^2 \mu_c^2}{AB\mu_c}.$$

Відрізок, що на плані прискорень зображує нормальні прискорення,

$$\bar{P}n' = \frac{\alpha_{AB}^N}{\mu_a} = \frac{(\vec{\alpha}_3 \vec{v})^2 \mu_c^2}{AB\mu_c \mu_a}. \quad 12.46/$$

Якщо виконано умови 12.44/ і 12.45/, то

$$\frac{\mu_v}{\mu_c \mu_a} = \frac{\mu_c \omega}{\mu_c \mu_c \omega^2} = 1.$$

Таким чином, наведене твердження доведене.

2.7.2. Опишемо побудову плану швидкостей групи /2, 3/ стругального верстата на основі рівнянь 12.36/ і 12.37/, наведених у табл. 2.2.

Побудову плану швидкостей починаємо з вибору довільної точки P як полюса плану швидкостей /рис. 2.12,б/. Від точки P відкладаємо відрізок $P\alpha_3$, перпендикулярний до ланки OA на схемі механізму.

Із рівняння 12.36/ випливає, що кінець вектора \vec{v}_{2-3} має знаходитись у точці α_3 . Тому крізь точку α_3 проводимо напрям відносної швидкості \vec{v}_{2-3} паралельно лінії AB на схемі механізму. Щоб скористатися рівнянням 12.37/, відзначимо положення точки B на плані. Оскільки ця точка є нерухомою, вона збігається з полюсом P . Другий доданок рівняння 12.37/ є перпендикулярним до лінії AB . Тому крізь точку B проводимо лінію такого самого напряму. Перетин прямих, проведених крізь точки α_3 і B , визначає точку α_3 плану швидкостей. Рівняння 12.36/ відповідає напрям векторів \vec{v}_{α_3} і \vec{v}_{2-3} , показаний на рис. 2.12,б.

Напрям вектора \vec{v}_{α_3} визначає напрям обертання ланки 3. У розглядуваному положенні $\omega_3 < 0$, тобто спрямовано за годинниковою

стрілкою. Відносну швидкість \vec{v}_{2-3} спрямовано в бік зростання довжини l_3 . Тому вектор прискорення Коріоліса, що визначається за правилом Жуковського, спрямовуємо так, як показано на схемі механізму, зображеній на рис. 2.12, а.

Щоб точно визначити напрям $\vec{\alpha}_{2-3}^K$ на схемі механізму, необхідно показати напрям відносної та переносної кутової швидкостей.

Третій етап дослідження урупі /2, В/ починаємо виконувати з того, що вибираємо полюс \mathcal{P} плану прискорень /рис. 2.12, в/ і відкладаємо від нього вектор прискорення $\vec{\alpha}_A$. Унаслідок прийнятого припущення про рівномірне обертання ланки 1 прискорення $\vec{\alpha}_A$ містить лише нормальну окладову, що спрямована до центра обертання O і дорівнює $\ell\omega$. Цей вектор зображується на плані відрізком $K\alpha_2$, який проведено паралельно OA .

Згідно з рівнянням /2.38/ кінець вектора $\vec{\alpha}_{2-3}^K$ має прийти до точки A_2 . Розрахувавши за /2.35/ довжину відрізка KA_2 , що зображує цей вектор, відкладаємо цей відрізок так, щоб його напрям відповідав знайденому раніше і кінець вектора лежав у точці A_2 /див. рис. 2.12, в/. Крізь початок вектора /точку K / проводимо пряму паралельно AB , яка зображує на плані відносне прискорення $\vec{\alpha}_{2-3}$.

Позначимо на плані точку B , яка збігається з полюсом \mathcal{P} . Користуючись рівнянням /2.39/, відкладаємо від точки B відрізок $K\alpha_1$, що зображує вектор нормального прискорення $\vec{\alpha}_{AB}$. Цей відрізок в паралельним AB і визначається за /2.38/. Із точки B проводимо лінію перпендикулярно до AB , що відповідає тангенціональному прискоренню $\vec{\alpha}_{AB}$. Точка A_3 перетину проведених прямих визначає вектори $\vec{\alpha}_{1B}$ і $\vec{\alpha}_{2-3}$. З еднавши полюс \mathcal{P} з точкою A_3 , дістаємо вектор повного прискорення $\vec{\alpha}_A$. Кожний із відрізків плану швидкостей і прискорень в пропорційному відповідному лінійному кінематичному параметру. Щоб отримати їх дійсні значення, треба зняти з планів відрізки помножити на масштаб швидкості M_v або масштаб прискорення M_a .

Значення величин ω_3 і ϵ_3 , що характеризують обертовий рух ланки 3,

$$\omega_3 = \frac{v_{AB}}{l_{AB}} ; \quad \epsilon_3 = \frac{\alpha_{AB}^T}{l_{AB}} .$$

Напрям величин ω_3 і ϵ_3 визначається напрямом відповідних векторів на планах з урахуванням розташування точки B , що взято за полюс.

2.7.3. Для кінематичного дослідження групи /4, 5/ необхідно знайти швидкість і прискорення точки C , точки приєднання до групи /2, 3/. Найпростіше скористатися для цього правилом подібності фігур на планах і кінематичній схемі.

У розглядуваному окремому випадку точки B, A, C на схемі механізму, яку зображенено на рис. 2.12, а, лежать на одній прямій. Отже, точки B, A, C на планах також мають лежати на одній прямій і відрізки CB і AB мають задовільняти пропорції!

$$\frac{CB}{AB} = \frac{cB}{AB},$$

з якої треба знайти відрізки cB на обох планах.

Лише після цього можна використовувати рівняння /2.40/ - /2.48/ для побудови планів групи /4, 5/.

Спочатку розглянемо побудову плану швидкостей цієї групи. Згідно з /2.40/ крізь точку C проводимо напрям вектора v_{DC} перпендикулярно до відрізка DC на схемі механізму. Швидкість другої точки приєднання $v_{po} = 0$. Тому крізь полюс проводимо горизонтальну в даному разі пряму, що має, як це випливає з /2.39/, напрям v_{5-0} . Точка перетину її з проведеною раніше прямою v_{DC} визначить точку d плану та відрізок pd буде пропорційним v_D .

У процесі побудови плану прискорень /див. рис. 2.12, в/ від точки C відкладаємо відрізок Cn^* , що зображує прискорення $a_{DC} = v_{DC}^2 / l_{DC}$ і спрямований від точки D до точки C /на схемі механізму/. Крізь точку n^* проводимо пряму перпендикулярно до DC , на якій буде лежати кінець вектора a_{DC} .

Оскільки прискорення $a_{DC} = 0$, крізь полюс K проводимо напрям відносного прискорення \ddot{a}_{DC} /у даному разі горизонтальний/. Точка перетину прямих, що відповідають \dot{a}_{DC} і \ddot{a}_{DC} , знаходить точку d плану прискорень. Відрізок Kd пропорційний прискоренню $a_p = Kd \mu_a$. Значення ω_4 і ϵ_4 , що характеризують обертальний рух ланки 4, обчислюємо за допомогою відрізка dc на плані швидкостей і відрізка n^*d на плані прискорень:

$$\omega_4 = \frac{dc \mu_v}{l_4}; \quad \epsilon_4 = \frac{n^*d \mu_a}{l_4}.$$

Напрями \vec{v}_{BC} і \vec{v}_{DC} , що випливають з /2.40/ і /2.42/, показані на планах. Ці напрями визначають також ω_4 і δ_4 .

2.8. Другий і третій етапи кінематичного дослідження.

Метод проектування планів

2.8.1. Розглянемо, як визначаються проекції векторів, що входять до рівняння, які використовуються на другому та третьому етапах, на нерухомі осі координат X і Y . У підрозд. 2.6 показано, що усі вектори, які входять до рівняння кінематики, можуть складати кути φ , $\varphi + \pi/2$ і $\varphi + \pi$ /див. рис. 2.II/. Ці кути і визначають проекції векторів на осі X і Y . Наприклад, проекції швидкості \vec{v}_{BA} будуть виражені так:

$$(\vec{v}_{BA})_X = v \cos(\varphi + \pi/2) = -\ell_k \omega_k \sin \varphi_k; \quad /2.47/$$

$$(\vec{v}_{BA})_Y = v \sin(\varphi + \pi/2) = \ell_k \omega_k \cos \varphi_k.$$

Множники $-\sin \varphi$ і $\cos \varphi$ назовемо проектуючими множниками вектора \vec{v}_{BA} . Такі самі проектуючі множники мають вектори $\vec{\alpha}_{BA}$ і $\vec{\alpha}_{BA}^{n-k}$, оскільки і вони випереджають напрямний вектор \vec{v}_{BA} на $\pi/2$. Вектор нормального прискорення $\vec{\alpha}_{BA}^{n-k}$ складає з напрямним вектором ℓ_k кут π . Тому проекції нормального прискорення

$$(\alpha_{BA}^{n-k})_X = -\ell_k \omega_k^2 \cos \varphi; \quad (\alpha_{BA}^{n-k})_Y = -\ell_k \omega_k^2 \sin \varphi.$$

Напрями відносної швидкості та відносного прискорення вважаємо позитивними, якщо вони збігаються з напрямним вектором \vec{v} , тобто складає з віссю X кут φ . Їх проектуючі множники дорівнюють відповідно $\cos \varphi$ і $\sin \varphi$. До виразів для проекції векторів \vec{v}_{BA} , $\vec{\alpha}_{BA}$, $\vec{\alpha}_{BA}^{n-k}$ величини ω_k , v , ℓ_k входять зі своїми знаками. Тому якщо деякі з цих величин негативні, то відбудеться зміна знаку шуканих проекцій.

Значення проектуючих множників для різних кінематичних величин наведені в табл. 2.3.

2.8.2. Аналітичне розв'язання задачі покажемо на прикладі того самого механізму, для якого було виконано графоаналітичне дослідження /див. рис. 2.II,a/.

Розглядаючи групу /2, 3/ на другому етапі [2], підставимо з /2.37/ до /2.36/, і враховуючи, що $v_B = 0$, дістамо

$$\vec{v}_{A_3} = \vec{v}_{AB} + \vec{v}_{2-3}. \quad /2.48/$$

Таблиця 2.3

Значення проектуючих множників

Вектор	Кут в віссю OX	Проектуючий множник на вісь	
		OX	OY
$\bar{v}_k \cdot \bar{v}_{2-3}$	φ_k	$\cos \varphi_k$	$\sin \varphi_k$
$\bar{v}_{2-3} \cdot \bar{v}_{2-3}$	$\varphi_{2-3}/2$	$-\sin \varphi_{2-3}/2$	$\cos \varphi_{2-3}/2$
\bar{v}_k	$\varphi_k + \pi/2$	$-\cos \varphi_k$	$-\sin \varphi_k$

Щоб спроектувати це рівняння на осі OX і OY , необхідно встановити, які кути складають вектори, що входять до нього, з віссю X .

Із рис. 2.12 випливає, що ці кути дорівнюють відповідно $\varphi + \pi/2$; $\varphi - \pi/2$; φ . Проектуючі множники для перелічених векторів визначаються відповідно в табл. 2.3.

Наприклад, проекції вектора \bar{v}_{AB}

$$(\bar{v}_{AB})_X = l_3 w \sin \varphi_3,$$

$$(\bar{v}_{AB})_Y = l_3 w \cos \varphi_3.$$

Значення модулей векторів, кути з віссю X і проектуючі множники для всіх величин, що використовуються на другому та третьому етапах, для доопідження групи 1/2, 3/1, наведені в табл. 2.4.

Таблиця 2.4

Значення величин на другому та третьому етапах

Вектор	Модуль	Кут з віссю X	Проектуючий множник на вісь	
			X	Y
\bar{v}_{A_2}	$l_1 \omega$	$\varphi_1 + \pi/2$	$-\sin \varphi_1$	$\cos \varphi_1$
\bar{v}_{2-3}	v_{2-3}	φ_3	$\cos \varphi_3$	$\sin \varphi_3$
\bar{v}_{AB}	$l_3 w_3$	$\varphi_3 + \pi/2$	$-\sin \varphi_3$	$\cos \varphi_3$
\bar{v}_{A_2}	$l_1 \omega^2$	$\varphi_1 + \pi$	$-\cos \varphi_1$	$-\sin \varphi_1$
\bar{v}_N	$l_3 w_3^2$	$\varphi_3 + \pi$	$-\cos \varphi_3$	$-\sin \varphi_3$
\bar{v}_{AB}	$l_3 e_3$	$\varphi_3 + \pi/2$	$-\sin \varphi_3$	$\cos \varphi_3$
\bar{v}_{2-3}	e_{2-3}	φ_3	$\cos \varphi_3$	$\sin \varphi_3$
\bar{v}_{2-3}^r	$2\omega_3 v_{2-3}$	$\varphi_3 + \pi/2$	$-\sin \varphi_3$	$\cos \varphi_3$

Якщо врахувати ці значення, то вектори, що входять до /2.38/, набудуть вигляду

$$(\vec{v})_{A_2 X} = -\ell \omega \sin \varphi + v_{2-3} \cos \varphi; \quad /2.49/$$

$$(\vec{v})_{A_2 Y} = \ell \omega \cos \varphi + v_{2-3} \sin \varphi.$$

Невідомими в цій системі є величини ω_3 і v_{2-3} , відносно яких система /2.48/ лінійна. Приведемо її до стандартного вигляду [29] :

$$\begin{cases} -\ell \sin \varphi \omega_3 + \cos \varphi v_{2-3} = (\vec{v})_{A_2 X}; \\ \ell \cos \varphi \omega_3 + \sin \varphi v_{2-3} = (\vec{v})_{A_2 Y}. \end{cases} \quad /2.50/$$

За правилом Крамера,

$$\omega_3 = \frac{\Delta_1}{\Delta}; \quad v_{2-3} = \frac{\Delta_2}{\Delta},$$

де Δ – визначник системи,

$$\Delta = \begin{vmatrix} -\ell \sin \varphi & \cos \varphi \\ \ell \cos \varphi & \sin \varphi \end{vmatrix}; \quad /2.51/$$

Δ_1, Δ_2 – визначники, що отримуються заміною відповідних стовпців у визначнику Δ елементами вектора-стовпця правої частини системи,

$$\Delta_1 = \begin{vmatrix} (\vec{v})_{A_2 X} & \cos \varphi \\ (\vec{v})_{A_2 Y} & \sin \varphi \end{vmatrix}; \quad \Delta_2 = \begin{vmatrix} -\ell \sin \varphi & (\vec{v})_{A_2 X} \\ \ell \cos \varphi & (\vec{v})_{A_2 Y} \end{vmatrix}. \quad /2.52/$$

Оскільки розглядувана група першою приєднана до кривошипа, то

$$(\vec{v})_{A_2 X} = -\ell \sin \varphi; \quad (\vec{v})_{A_2 Y} = \ell \omega \cos \varphi.$$

У загальному випадку проекції швидкості точки приєднання мають бути знайдені в процесі дослідження попередньої групи.

Щоб виконати третій етап дослідження, значення a_{A_3} з /2.39/ надобавимо у /2.38/. У результаті отримаємо

$$\vec{a}_{A_2} = \vec{a}_{AB}^N + \vec{a}_{AB}^T + \vec{a}_{2-3} + \vec{a}_{2-3}^K. \quad /2.53/$$

Модулі векторів, що входять до цього рівняння, кути, які складають з віссю X , і проектуючі множники наведені в табл. 2.4.

Проектування векторів, що входять до /2.50/, на осі X і Y приводить до системи

$$\begin{cases} (\vec{\alpha}_x) = \ell \omega^2 \cos \varphi - \ell \omega \sin \varphi + \alpha_{2-3}'' \cos \varphi - \alpha_{2-3}''' \sin \varphi, \\ (\vec{\alpha}_y) = -\ell \omega^2 \sin \varphi + \ell \omega \cos \varphi + \alpha_{2-3}'' \sin \varphi + \alpha_{2-3}''' \cos \varphi, \end{cases}$$

яка містить шукані величини α_{2-3}'' та α_{2-3}''' і може бути приведена до стандартного вигляду:

$$\begin{cases} -\ell \sin \varphi C + \cos \varphi \alpha_{2-3}''' = C_x, \\ -\ell \cos \varphi C + \sin \varphi \alpha_{2-3}''' = C_y, \end{cases} \quad /2.54/$$

де

$$C = \ell \omega^2 \cos \varphi + \alpha_{2-3}'' \sin \varphi + (\vec{\alpha}_z), \quad /2.55/$$

$$C = \ell \omega^2 \sin \varphi - \alpha_{2-3}'' \cos \varphi + (\vec{\alpha}_z).$$

Оскільки матриці лівих частин систем /2.50/ і /2.54/ однакові, то однаковими є також і визначники цих систем, наведені у вигляді рівняння /2.51/.

Розв'язок системи /2.54/ має вигляд

$$\Delta_3' = \frac{\Delta_1}{\Delta}, \quad \alpha_{2-3}''' = \frac{\Delta_2}{\Delta}, \quad /2.56/$$

де

$$\Delta_1' = \begin{vmatrix} C_x & \cos \varphi \\ C_y & \sin \varphi \end{vmatrix}, \quad \Delta_2' = \begin{vmatrix} -\ell \sin \varphi & C_x \\ \ell \cos \varphi & C_y \end{vmatrix}. \quad /2.57/$$

2.8.3. Для аналітичного дослідження групи /4, 5/ необхідно передньо знайти проекції швидкості та прискорення точки приєднання C цієї групи до вихідного для неї ланцюга /0, 1, 2, 3/. Швидкість і прискорення другої точки приєднання D шукати немає необхідності, оскільки швидкості та прискорення всіх точок оточують нуль.

Швидкість $v_c = \ell_c \omega_3$ складає в віссю X кут $\varphi + \pi/2$.
Тому II проекції на осі X і Y

$$(\vec{v}_c)_x = -\ell_c \omega_3 \sin \varphi; \quad (\vec{v}_c)_y = \ell_c \omega_3 \cos \varphi. \quad /2.58/$$

Прискорення точки C містить дві складові:

$$\alpha_c^T = \ell_c \ddot{\epsilon}_3; \quad \alpha_c^N = \ell_c \omega_3^2,$$

перша з яких складає в віссю X кут $\varphi + \pi/2$, а друга – кут $\varphi + \kappa$.

Тому проекції початкового прискорення

$$(\vec{\alpha}_c)_x = (-\ddot{\epsilon}_3 \sin \varphi - \omega_3^2 \omega_3 \varphi) \ell_c, \quad /2.59/$$

$$(\vec{\alpha}_c)_y = (\ddot{\epsilon}_3 \cos \varphi - \omega_3^2 \sin \varphi) \ell_c.$$

Значення $(v_c)_x$, $(v_c)_y$, $(\alpha_c)_x$, $(\alpha_c)_y$, що визначаються за формулами /2.58/ і /2.59/, увійдуть як відомі величини до рівнянь, що отримуються від проектування залежностей /2.40/ – /2.43/ на осі X і Y .

Аналогічно можна визначити швидкість і прискорення будь-якої точки на ланці, заданої полярними координатами відносно напрямного вектора ланки. Зокрема, така задача виникає тоді, коли необхідно визначити кінематичні параметри центрів ваги ланок.

Складання рівнянь проекцій для групи /4, 5/ виконується аналогічно описаному для групи /2, 3/.

2.8.4. Описаний метод розв'язання систем лінійних рівнянь за правилом Крамера в загальним і може застосовуватися для будь-якої групи Ассура, що входить до механізму.

Якщо розглядається перша приєднана група й одна з точок приєднання є нерухомою, доцільніше застосовувати метод повороту системи координат, запропонований І.І.Артоболевським [3, § 23]. Сутність цього методу полягає в тому, що систему координат повертають на кут φ . Тоді аргументи всіх тригонометричних функцій у /2.50/ і /2.54/ необхідно зменшити на кут φ . Застосовуючи цей прийом до /2.50/ і підставляючи значення $(\vec{v}_{A_2})_x$ і $(\vec{v}_{A_2})_y$, дістаємо

$$v_{2-3} = -\ell_1 \omega \sin(\varphi - \varphi_0); \quad /2.60/$$

$$\omega = \frac{\ell_1}{\ell_2} \omega \cos(\varphi - \varphi_0).$$

Використавши цей самий прийом до системи /2.54/ і підставивши значення $(\dot{\alpha}_1)_x$, $(\dot{\alpha}_1)_y$, дістанемо

$$\alpha_{z-3} = \ell_3 \omega_3 - \ell_1 \omega \cos(\varphi - \varphi_3);$$

$$\delta_3 = -\frac{1}{3} (\alpha''_{z-3} + \ell_1 \omega^2 \sin(\varphi - \varphi_3)).$$

/2.61/

Використання формул /2.60/ і /2.61/ у процесі дослідження групи /2, 3/ значно опрощує програмування цієї частини задачі. Якщо до системи рівнянь, що піддаються розв'язанню, входять тригонометричні функції для двох кутів, наприклад φ і φ_3 , як це має місце в разі дослідження шарнірного чотириланковика, систему координат треба повернути спочатку на кут φ , а потім на кут φ_3 . У результаті система рівнянь розпадається і в кожне з II рівнянь увійде лише одна невідома.

2.8.5. Програмувати задачу кінематичного дослідження методом проектування планів нескладно, оскільки алгоритм у цьому разі є цикличним із заданим числом повторень /див. п. I.I.3/. Оскільки результати попереднього етапу є вихідними даними для наступного, природно, що перший – третій етапи можуть бути виконані в одній програмі.

У процесі розв'язання задачі на ПМК можуть виникнути ускладнення через обмеженість обсягу пам'яті. У цьому разі можливі два варіанти розв'язання. Розглянемо їх на прикладі шарнірного чотириланковика.

Окремо програмується перший етап, і кути φ та φ_3 використовуються як вихідні дані в програмі другого та третього етапів. Проте в цьому разі необхідно ввести до пам'яті $2n$ чисел, що може викликати помилки і отомити оператора. Тому краще використовувати другий варіант, коли складається програма обчислень $\varphi, \varphi_3, \omega_1, \omega_3, \delta_3$. Визначивши значення цих величин для заданого числа положень механізму, замінююмо блок обчислень δ_3 блоком, в якому визначається δ_3 . Команди виводу всіх попередніх величин можуть бути витертими. Незважаючи на повторні обчислення величин $\varphi, \varphi_3, \omega_1, \omega_3$, загальний час роботи двох програм менший, ніж у першому варіанті, і, що найголовніше, виключенні помилки вводу кутів. Програму I.I, що реалізує другий варіант, наведено в дод. I.

Якщо розглядається більш складний (шестиланковий) механізм, уникнути проміжного вводу неможливо. Прикладами можуть бути механізми інерційного транспортера /рис. 2.13/ і стругального верстата /див. рис. 2.12/.

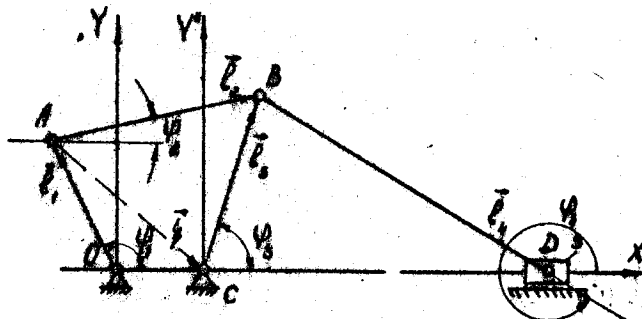


Рис. 2.13

У разі проектування інерційного транспортера перша приєднана група містить три обертальні пари. Тому на першому етапі II кінематичного дослідження використовується програма I.1, другий і третій етапи виконуються за допомогою програми I.2.

Кінематичне дослідження отругального веротата на ПМК не дає можливості обійтися без проміжного вводу чисел; тому його краще виконати на ЕОМ з більшим обсягом пам'яті. Як приклад у дод. I наводиться програма 2.1 мовою БЕЙСІК, що дає змогу виконати не лише кінематичне дослідження, а й наступні розділи. Щоб виконати кінематичне дослідження, треба ввести $P = 1$. Результати розрахунку наведені в дод. 2.

2.9. Метод чисельного диференціювання в разі виконання другого та третього етапів кінематичного дослідження

2.9.1. Функції положення шарніро-важільних механізмів у разі рівномірного обертання початкової ланки - неперервні періодичні залежності від кута φ його повороту. Вони не містять особливих точок і використання чисельного диференціювання за дотримання умов, сформульованих у підрозд. 2.4, забезпечує точність, необхідну для технічних розрахунків. Якщо перший етап дослідження виконано аналітичним методом на ЕОМ, то розв'язання задач другого та третього етапів можна значно спростити за рахунок використання формул чисельного диференціювання [19].

У цьому разі зручно користуватися не похідними за часом, а похідними за кутом повороту кривошипа, які називаються аналогами швидкості та прискорення.

У разі рівномірного обертання кривошипа зв'язок між похідними за часом і за кутом повороту такий: $v = S\omega$; $a = S''\omega$. Значення S і S'' визначають за формулами чисельного диференціювання:

$$S'(\varphi) = \frac{S(\varphi+\theta) - S(\varphi-\theta)}{2\theta}, \quad /2.62/$$

$$S'' = \frac{S(\varphi+\theta) + S(\varphi-\theta) - 2S(\theta)}{\theta^2}, \quad /2.63/$$

де $S(\varphi)$ – значення функції положення точки /або ланки/; φ – задане значення кута повороту початкової ланки, що визначає положення механізму, для якого обчислюються похідні; θ – малий приріст кута повороту початкової ланки.

Формули /2.62/ і /2.63/ залишаються незмінними незалежно від того, для якої групи Ассура вони використовуються та для яких величин /лінійних чи кутових/ застосовуються. Щоб отримати найбільшу точність приросту аргументу, θ має становити $\pi/90\dots\pi/20$ [19].

Умовимось називати основним положенням механізму положення, що відповідає аргументу φ , для якого обчислюються похідні /точки B, E, G на рис. 2.14/. Допоміжні положення відповідають точкам $\varphi - \theta$ і $\varphi + \theta$, розташованим поблизу основного положення /точки A і C, D і F на рис. 2.14/. Відстань $\Delta\varphi$ між сусідніми основними положеннями дістаємо діленням кута 2π на n однакових частин. Звичайно n знаходиться в межах 12...20.

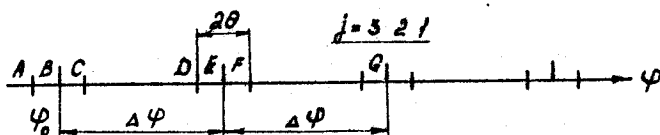


Рис. 2.14

2.9.2. Програмування задачі чисельного диференціювання.

2.9.2.1. Алгоритм розв'язання задачі в циклічним із заданим числом повторень і містить два вкладених цикли /рис. 2.15/. У внутрішньому циклі φ змінюється на величину θ . Обчислення виконуються тричі, і, таким чином, визначаються три значення функції положення /наприклад, у точках A, B, C на рис. 2.14/.

Після виходу з внутрішнього циклу обчислюються значення похідних $S(\varphi)$ і $S''(\varphi)$, після чого функція положення та знайдені похідні виводяться на друк /блок 8/. Логічний блок 9 перевіряє завершення зовнішнього циклу. Якщо воно не досягло значення n - параметр зовнішнього циклу збільшується на одиницю, а значення φ - на $\Delta\varphi = 20$. Такий пріоритет аргументу у зовнішньому циклі зумовлений тим, що в цьому циклі треба перейти, наприклад, від точки C до точки D /див. рис. 2.14/.

Алгоритм обчислень за формулами /2.62/ і /2.63/ є універсальним, придатним для будь-якого механізму, оскільки від виду механізму залежить лише блок З. Тому процедуру організації зовнішнього та внутрішнього циклів можна включити до головного модуля, а блок З оформити у вигляді підпрограми, яку треба буде вводити до пам'яті залежно від конкретного механізму.

Найбільший ефект дає застосування чисельного диференціювання у разі використання ПМК для дослідження шестиданкових механізмів.

2.9.2.2. У дод. I наведено програму I.3, що реалізує організацію циклів, яка необхідна в разі використання чисельного диференціювання.

Застосування цієї програми розглянемо на прикладі довбального верстата, перший етап кінематичного дослідження якого описано в п. 2.5.5. Підпрограму I.4 обчислення функції положення для цього механізму наведено в дод. I.

Порівняння точних результатів, отриманих методом проектування планів, і наближених результатів, знайдених чисельним диференціюванням, показує, що найбільша похибка визначення швидкості становить $8,96 \cdot 10^{-4}$ прискорення дотрівнє $1,73 \cdot 10^{-3}$, середні похибки - $2 \cdot 10^{-4}$ і $4 \cdot 10^{-4}$. І середні, і найбільші похибки допустимі для технічних розрахунків. Як приклад результатів, отриманих методом чисельного диференціювання, на рис. 2.16 зображені графіки безрозмірних кінематичних параметрів для поршня 5 V -подібного двигуна /див. рис. 2.10/, перший етап дослідження якого було описано в

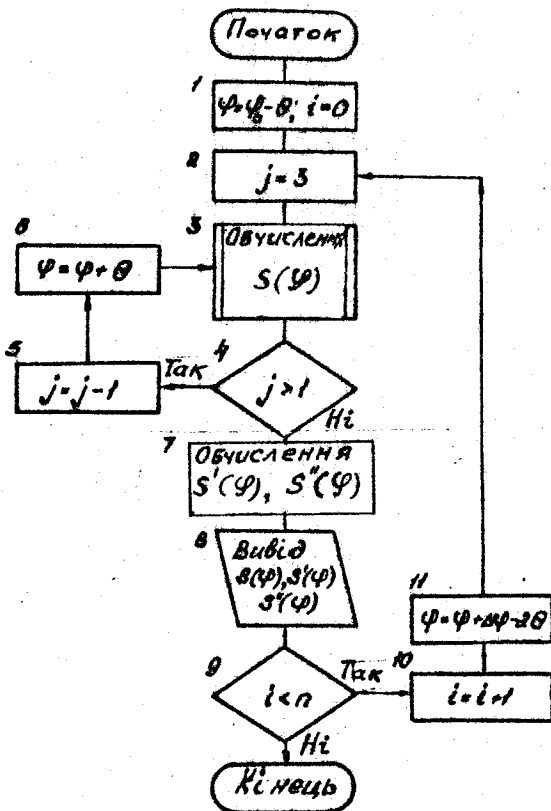


Рис. 2.1б

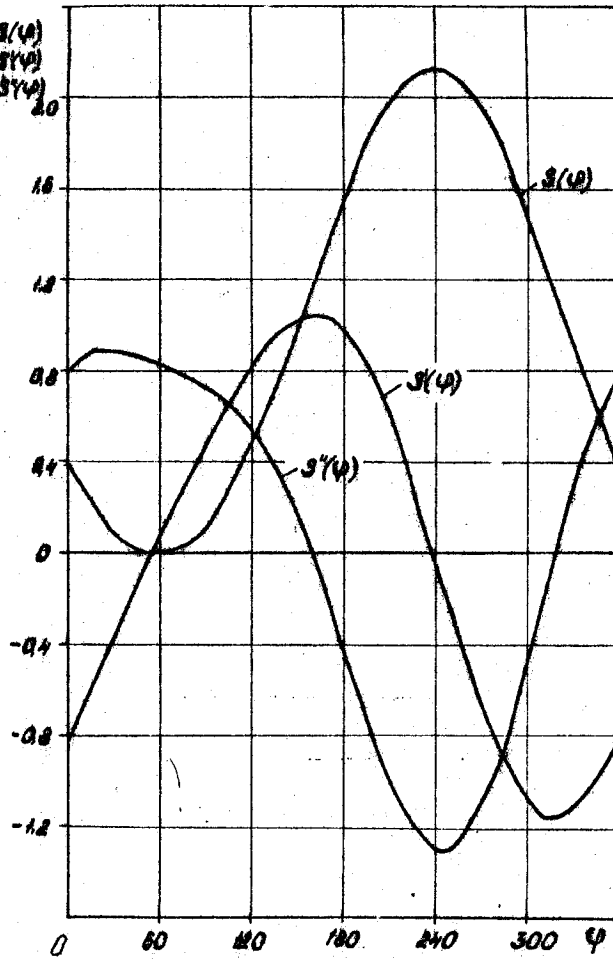


Рис. 2.16

п. 2.5.6. Розрахунок виконувався за допомогою наведеної в дод. 1 програми I.5. за таких значень метрических параметрів: $\ell_1 = 90$ мм; $\ell_2 = 320$ мм; $\ell_3 = 238$ мм; $\ell_c = 82$ мм; $\beta = 60^\circ$; $\alpha = 74,01^\circ$.

Значення α і ℓ_c знайдені за умов, описаних у п. 2.5.6.

Безрозмірні кінематичні параметри, наведені на рис. 2.16, отримані діленням S, v, a відповідно на $\ell_1, \ell_2, \ell_c, \ell_c$.

З рис. 2.16 випливає, що НМТ лівого циліндра відповідає $\varphi = 54^\circ$, безрозмірний хід лівого поршня дорівнює 2,12, а правого - 2,0.

2.10. Кінематичне дослідження неусталеного руху механізмів.

Дослідження маніпуляційних систем роботів

2.10.1. Оптимальний закон руху. Для ряду механізмів періоди усталеного режиму сумірні з періодами розгону та гальмування чи зовсім відсутні. Прикладами можуть бути механізми маніпуляторів, підйомників, бульдозерів та інших машин.

У цих випадках на швидкість і прискорення початкової ланки звичайно накладаються такі обмеження:

$$|v| < v_m, \quad |a| < a_m, \quad /2.64/$$

де v_m, a_m - гранично допустимі значення відповідно швидкості та прискорення починавчої ланки, що несе робочий орган.

Щоб переміщення системи з початкового положення в кінцеве будло виконане за мінімальний час T , розгін має відбуватися з найбільшим допустимим прискоренням доти, поки в точці t_1 швидкість не досягне значення v_m /рис. 2.17, a/. За час розгону початкова ланка пройде шлях S_1 . Після цього вона має рухатись рівномірно зі швидкістю v_m . Гальмування з найбільшим допустимим уповільненням - a_m має починатися тоді, коли до кінцевого положення залишиться відстань S_2 . Тоді

$$t_1 = \frac{v_m}{a_m}; \quad S_1 = \frac{a_m t_1^2}{2}. \quad /2.65/$$

Якщо повне переміщення початкової ланки дорівнює S_m , то переміщення на ділянці рівномірного руху

$$S_2 = S_m - 2S_1, \quad /2.66/$$

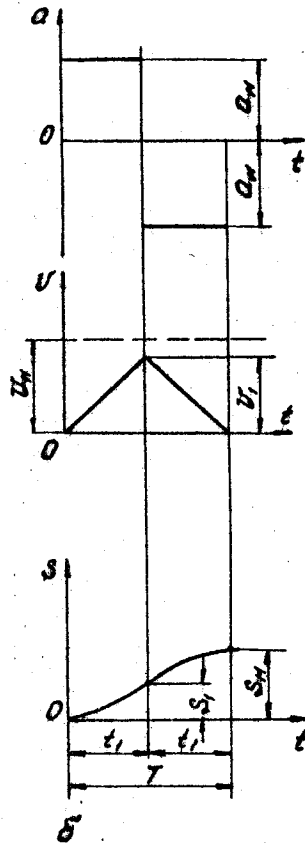
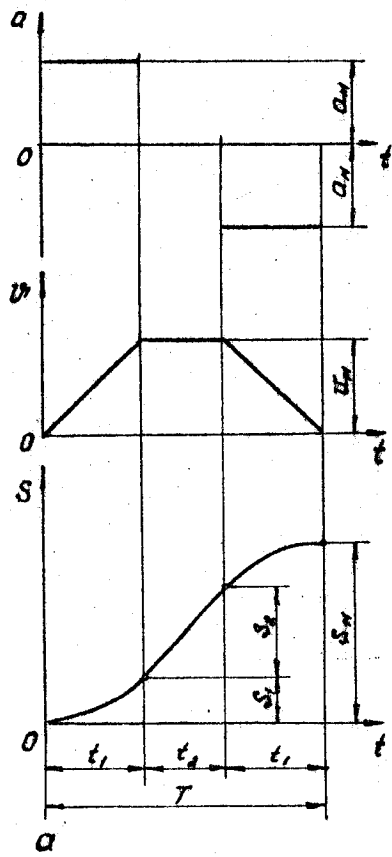


Рис. 2.17

час рівномірного руху

$$t_2 = \frac{S}{v_m}$$

/2.67/

Повний час руху

$$T = 2t_1 + t_2$$

/2.68/

За малих значень S_m система не встигає розігнатися до швидкості v_m . У цих випадках рух містить лише ділянки розгону та гальмування /рис. 2.17, б/. Протяжність кожної з цих ділянок становить $S_m/2$. У цьому випадку час розгону та гальмування

$$t_1 = \sqrt{\frac{S_m}{\alpha_m}}$$

/2.69/

Повний час руху

$$T = 2t_1$$

/2.70/

Таким чином, залежно від заданого значення S_m переміщення містить дві чи три ділянки. При

$$S_m < 2S$$

/2.71/

є лише ділянки розгону та гальмування, за "великих" значень S_m , коли нерівність /2.71/ не виконується, - ділянки розгону, усталено-го руху та гальмування.

На межах між ділянками прискорення розривається. Тому метод чисельного диференціювання в даному разі не застосовується.

2.10.2. Неусталений рух механізму із заданим відносним поступальним рухом ланок.

2.10.2.1. До таких механізмів належать чотириланкові механізми зміни вильоту стріли порталного крану чи механізм підйому кузова автомобіля-самоскида. Розглянемо розв'язання задачі стосовно механізму зміни вильоту стріли.

Кінематичну схему механізму зображену на рис. 2.18, а, де 1 - стріла, 2 - тяга, на якій нарізано зубчасту рейку, що входить у зчеплення з шестернею /рис. 2.18, б/, пов'язаною редуктором з електродвигуном зміни вильоту стріли. У процесі обертання цього двигуна змінюється довжина ℓ_2 , що визначає відстань між точками A і B, а отже, і виліт стріли X_c . Відстанню ℓ_3 будемо нехтувати.

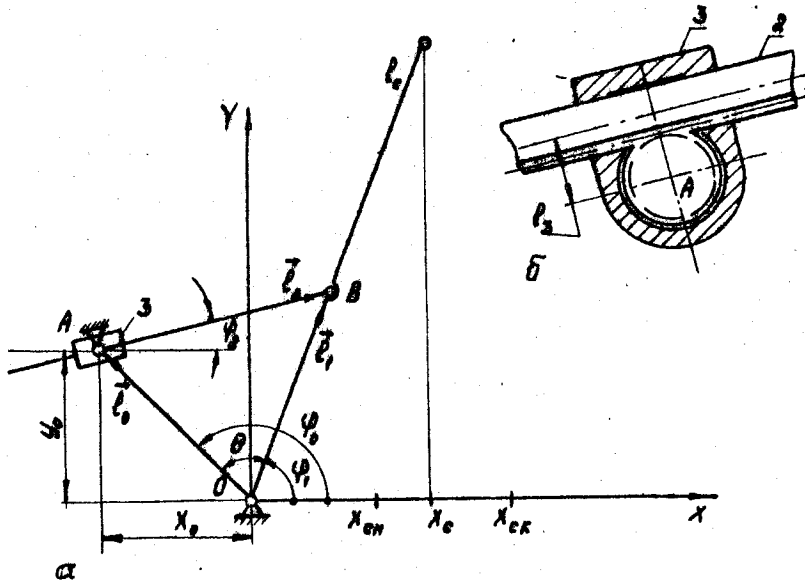


Рис. 2.18

За початкову беремо ланку 2. Для розв'язання задачі мають бути задані найбільша допустима швидкість $v_{2-3} = v_m$; найбільше допустиме прискорення $a_{2-3} = a_m$; початкове x_{c_0} та кінцеве x_{c_k} значення абоциси точки С або початкове значення x_{c_0} та час руху T .

Розглянемо випадок, коли задано x_{c_0} і x_{c_k} . Розвиття задачі на етапи показане на структурно-логічній схемі /рис. 2.19/. Другий - четвертий етапи виконуються в циклі для n рівновіддалених за часом положень.

2.10.2.2. На першому етапі треба знайти граничні значення кута:

$$\begin{aligned}\varphi_{10} &= \arccos(x_{c_0}/\ell_c); \\ \varphi_{1k} &= \arccos(x_{c_k}/\ell_c).\end{aligned}\quad /2.72/$$

З рис. 2.18 випливає, що

$$\theta = \varphi_{10} - \varphi_{1k}. \quad /2.73/$$

Тому, підставивши в /2.73/ граничні значення φ_{10} , дістанемо два граничні значення: θ_{10} і θ_{1k} .

Із $\triangle OAB$ випливає, що

$$l_2 = \sqrt{\ell^2 + \ell^2 - 2\ell\ell \cos\theta}. \quad /2.74/$$

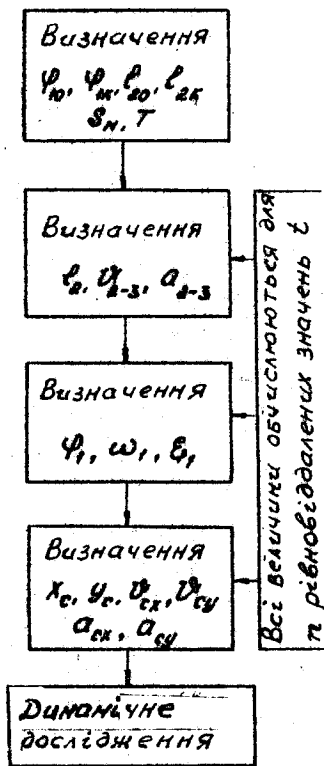
Виконавши обчислення при $\theta_{10} = 1^\circ$ і $\theta_{1k} = 1^\circ$, дістанемо граничні значення l_2 та зміну довжини ланки 2 /хід рейки/:

$$S_2 = l_2 - l_1.$$

За формулою /2.66/ визначаємо S_2^{20} і перевіряємо його знак. При $S_2 < 0$ період усталеного руху відсутній, і значення t_1 необхідно перерахувати за /2.69/. Залежно від розглядуваного випадку час руху визначають за /2.38/ або /2.70/.

Кінематичні параметри на різних ділянках обчислюють за такими формулами:

Розгін	Усталений рух	Гальмування
$a_{2-3} = a_m$;	$a_{2-3} = 0$;	$a_{2-3} = -a_m$;
$V_{2-3} = a_m t$; (2.75)	$V_{2-3} = V_m$; (2.76)	$V_{2-3} = a_m (T-t)$; (2.77)
$\Delta S_2 = \frac{a_m t^2}{2}$;	$\Delta S_2 = S_1 + V_m (t-t_1)$;	$\Delta S_2 = S_m \frac{a_m (T-t)^2}{2}$.



Всі величини обчислюються з
підстановленіх значень

Рис. 2.19

Якщо $S_1 < 0$, ділянка усталеного руху відоутня, але для ділянок розгону та гальмування зберігаються формули /2.75/ і /2.77/.

2.10.2.3. На третьому етапі необхідно скористатись векторними рівняннями

$$\vec{\ell}_1 + \vec{\ell}_2 = \vec{\ell}_3; \quad /2.78/$$

$$\vec{v}_3 = \vec{v}_{2-3} + \vec{v}_{BA}; \quad /2.79/$$

$$\vec{\alpha}_{BC}^N + \vec{\alpha}_{BC}^T = \vec{\alpha}_{2-3} + \vec{\alpha}_{2-3}^K + \vec{\alpha}_{BA}^N + \vec{\alpha}_{BA}^T. \quad /2.80/$$

Проектуючи перше рівняння на осі X і Y , дістаємо

$$\varphi_1 - \varphi_2 = \arccos\left(\frac{\ell_1^2 - \ell_0^2 + \ell_2^2}{2\ell_1\ell_2}\right). \quad /2.81/$$

Із $\triangle OAB$ (див. рис. 2.18) можна визначити кут Θ :

$$\Theta = \arccos\left(\frac{\ell_1^2 + \ell_0^2 - \ell_2^2}{2\ell_0\ell_1}\right). \quad /2.82/$$

Тоді

$$\varphi_1 = \varphi_0 - \Theta;$$

$$\varphi_2 = \varphi_1 - \arccos\left(\frac{\ell_1^2 - \ell_0^2 + \ell_2^2}{2\ell_1\ell_2}\right). \quad /2.83/$$

Проектуючи на осі X і Y вектори, що входять до /2.79/, дістаємо

$$\begin{cases} -\omega_1 l_1 \sin \varphi_1 = v_{2-3} \cos \varphi_2 - \omega_2 l_2 \sin \varphi_2; \\ \omega_1 l_1 \cos \varphi_1 = v_{2-3} \sin \varphi_2 + \omega_2 l_2 \cos \varphi_2. \end{cases}$$

Застосовуючи метод повороту системи на кути $-\varphi_1$ і $-\varphi_2$, знаходимо

$$\omega_2 = v_{2-3} / l_2 \operatorname{tg}(\varphi_2 - \varphi_1); \quad /2.84/$$

$$\omega_1 = v_{2-3} / l_1 \sin(\varphi_2 - \varphi_1).$$

Застосувавши аналогічну методику до рівняння /2.80/, дістанемо

$$\begin{aligned}\mathcal{E}_1 &= \frac{\alpha_{2-3} + \ell_3 \omega_1 \cos(\varphi_2 - \varphi_1) - \ell_2 \omega_2}{\ell_1 \sin(\varphi_1 - \varphi_2)}; \\ \mathcal{E}_2 &= \frac{(\alpha_{2-3} - \ell_2 \omega_2^2) \cos(\varphi_1 - \varphi_2) - \alpha_{2-3}^2 \sin(\varphi_1 - \varphi_2) + \ell_3 \omega_1^2}{\ell_2 \sin(\varphi_1 - \varphi_2)}. \quad /2.85/\end{aligned}$$

Отримані рівняння дають можливість знайти кінематичні параметри механізму за знайденими на другому етапі значеннями $\ell_1, \ell_2, \ell_{2-3}, \alpha_{2-3}$. У свою чергу, за значеннями $\varphi_1, \omega_1, \mathcal{E}_1, \mathcal{E}_2$, визначають відповідно переміщення, проекції швидкості та прискорення точки C :

$$x_c = \ell_c \cos \varphi_1, \quad y_c = \ell_c \sin \varphi_1; \quad /2.86/$$

$$v_{cx} = -\ell_c \omega_1 \sin \varphi_1, \quad v_{cy} = \omega_1 \ell_c \cos \varphi_1; \quad /2.87/$$

$$\alpha_{cx} = -\ell_c (\mathcal{E}_1 \sin \varphi_1 + \omega_1^2 \cos \varphi_1); \quad /2.88/$$

$$\alpha_{cy} = -\ell_c (\mathcal{E}_1 \cos \varphi_1 + \omega_1^2 \sin \varphi_1). \quad /2.89/$$

2.10.2.4. Розглянемо схему алгоритму /рис. 2.20/ розв'язання поставленої задачі. У блоках 2-6 обчислюються значення S_1, t_1, S_2 і перевіряється умова /2.71/. Якщо II не виконано, тобто ділянка усталеного руху відсутня, то S_2 надається значення O , t_1 переобчислюється за /2.69/ і час руху T визначається за /2.70/. Якщо умову /2.71/ виконано, час руху встановлюється за /2.68/.

Блоки 7-17 утворюють цикл, який повторюється доти, поки $t < T$. Час змінюється в цьому разі на значення Δt , яке підраховується виходячи з необхідного числа положень механізму, що треба розглянути за час руху.

Усередині циклу передбачено три розгалуження, на кожному з яких обчислюються кінематичні параметри за /2.75/, /2.76/ або /2.77/.

Якщо $t < t_1$, то незалежно від наявності чи відсутності ділянки усталеного руху обчислення виконують для ділянки розгону. Блок 9 перевіряє умову $S_2 \neq O$. Якщо II не виконано, тобто ділянка усталеного руху відсутня, треба зразу перейти до обчислень для ділянки гальмування /блок 13/. Якщо $S_2 \neq O$, необхідно перевірити умову $t < T - t_1$, яка визначає, чи закінчилась ділянка усталеного руху. Якщо умову блоку 10 виконано, треба користуватись формулами для усталеного руху.

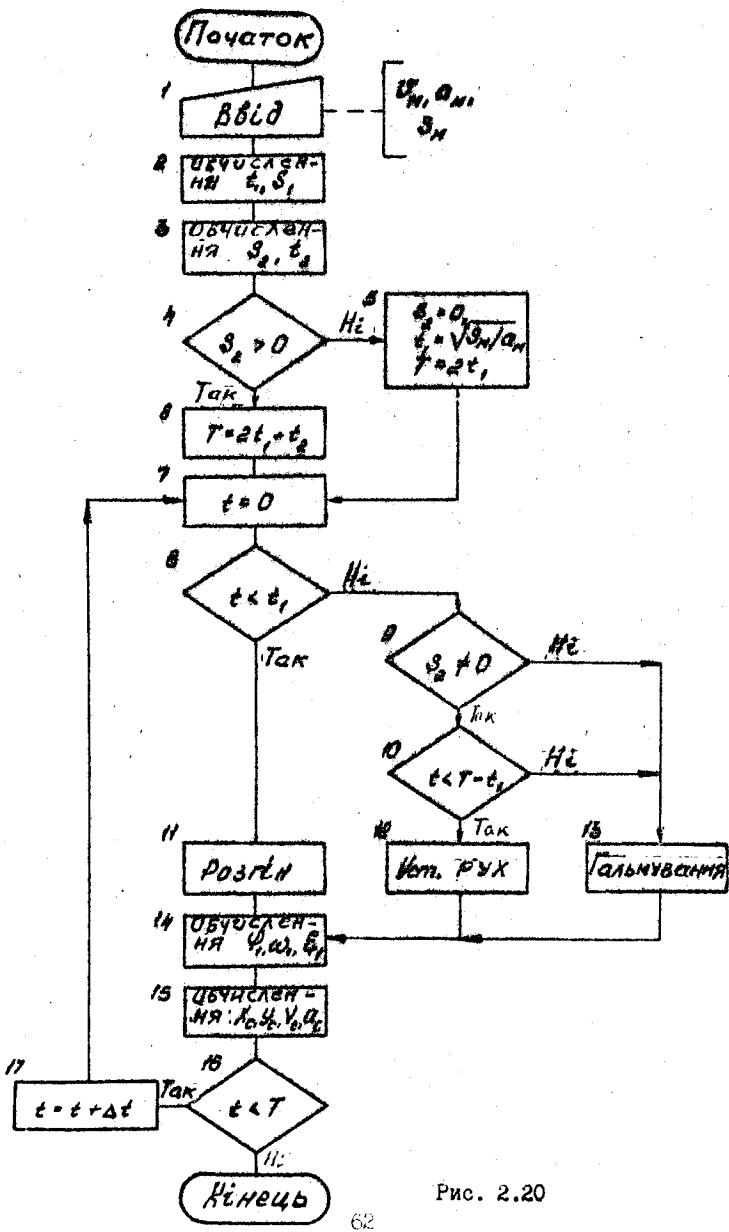


Рис. 2.20

У блоках 14 і 15 виконуються обчислення, що відповідають третьому та четвертому етапам задачі, яка розв'язується. Заключні блоки організації циклу - 16 і 17.

Якщо задачу розв'язують на ПМК, кожний з етапів виконується за допомогою окремої програми, і на третьому та четвертому етапах доводиться в кожному положенні вводити значення $\ell_2, v_{2-3}, \alpha_{2-3}$, знайдені на другому етапі.

Якщо час руху T задано, на першому етапі змінюється послідовність виконання обчислень, оскільки тепер S_M необхідно визначити, а T - величина, яку задано. Решта етапів не відрізняються від описаних.

Як приклад на рис. 2.21 показано значення $\vartheta, \omega, \dot{\ell}_c$, отримані в результаті виконання первого - третього етапів за заданих значень $X_{co} = 3,3 \text{ м}$ і $T = 12 \text{ с}$. Решта параметрів механізму мають такі значення: $\ell_0 = 6,103 \text{ м}$; $\vartheta_0 = 125^\circ$; $\ell_c = 7,0 \text{ м}$; $\ell_{c0} = 17 \text{ м}$. Границю допустимі значення $v_M = 0,2 \text{ м/с}$; $\alpha_M = 0,005 \text{ м/с}^2$.

Із рис. 2.21 видно, що рух механізму містить три характерні ділянки, на межі між якими функція $\dot{\ell}_c(t)$ зазнає розрив I-го роду. З графіка видно, що за 12 с стріла встигає повернутися на кут 16° .

2.10.3. Задачі кінематики маніпуляційних систем.

2.10.3.1. Розглядаючи кінематику маніпуляційних систем роботів [26], розрізняють пряму та обернену задачі.

Пряма задача: відомі узагальнені координати системи та їх перші й другі похідні. Визначити координати, швидкість і прискорення схвату.

Обернена задача: відомі координати, швидкість і прискорення схвату. Знайти узагальнені координати, їх перші та другі похідні.

Закон зміни узагальнених координат у прямій задачі чи закон руху схвату в оберненій задачі треба вибирати оптимальним /див. п. 2.10.1/.

Проектуючи роботи та розробляючи для них керуючі програми, перш за все необхідно розв'язати обернену задачу. Якщо робот працює у сферичній, циліндричній чи кутовій системі координат, рух його маніпуляційної системи складається в обертального руху основи робота навколо вертикальної осі та руху "руки" у вертикальній площині.

Якщо основа не обертається і "рука" рухається у вертикальній площині, рух можна досліджувати описаними методами. Наприклад, нехай схват робота має переміститися з точки A_1 до точки A_2 .

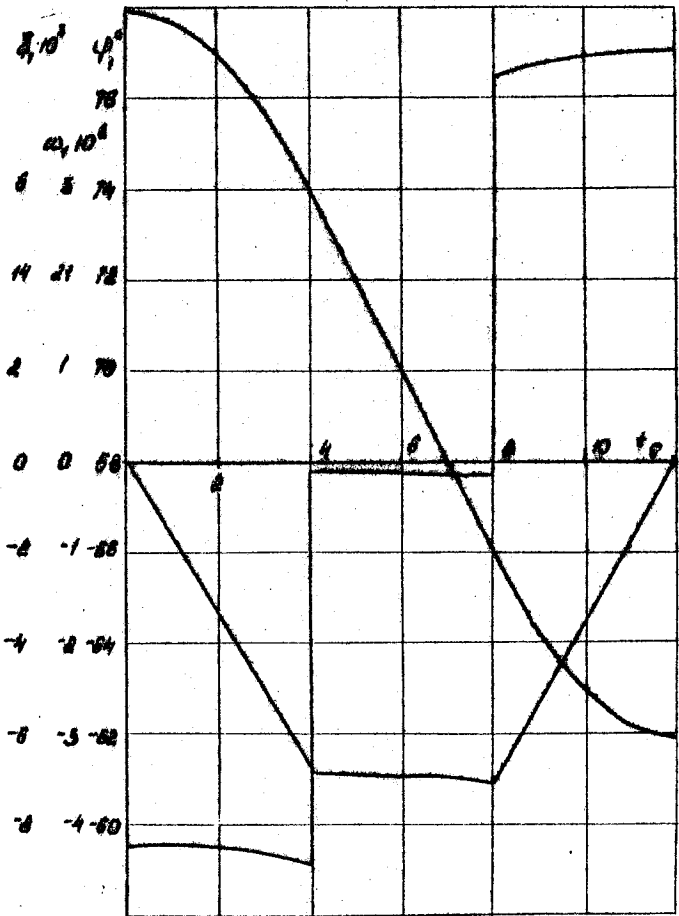


Рис. 2.21

/рис. 2.22, а/, причому на найкоротшому шляху розташовується заборонена зона /на рис. 2.22, а її заштриховано/. Тоді траекторію схвату доцільно вадити у вигляді окружності радіуса R , що визначається з умови обходу забороненої зони, а закон руху по цій траекторії вибрати оптимальним, щоб отримати мінімальний час T переміщення схвату між точками A_1 і A_2 . У цьому разі накладемо обмеження на значення тангенціальної складової прикорення: $|\alpha_a| < \alpha_m$. Оскільки схват рухається по окружності, його нормальнє прикорення

$$\alpha_a = v^2 / R.$$

Якщо задано координати x_1, y_1 і x_2, y_2 точок A_1 і A_2 , то, якщо відомо значення R можна визначити положення центра окружності та полярні кути θ_1 і θ_2 , що відповідають точкам A_1 і A_2 .

Відстань по прямій між точками A_1 і A_2 /рис. 2.23, б/

$$d = \sqrt{(x_1 - x_2)^2 + (y_1 - y_2)^2}.$$

Кут φ , що складає вектор $\overrightarrow{A_1 A_2}$ з віссю OX , визначаємо за формулou

$$\varphi = 2 \operatorname{arctg} \left(\frac{\sin \varphi}{1 + \cos \varphi} \right).$$

У свою чергу,

$$\sin \varphi = \frac{y_2 - y_1}{d}; \quad \cos \varphi = \frac{x_2 - x_1}{d}. \quad /2.90/$$

Кут при основі $\triangle A_1 C A_2$

$$\beta = \arccos(d/2R). \quad /2.91/$$

Тоді кут, що складає вектор $\overrightarrow{A_1 C}$ з віссю OX дорівнює $\varphi \pm \beta$. Два знаки відповідають двом можливим розв'язкам. Випадку, показаному на рис. 2.22, відповідає знак "+", який визначає, що перехід буде обійтися "зверху".

Координати точки C

$$x_c = x_1 + R \cos(\varphi \pm \beta);$$

$$y_c = y_1 + R \sin(\varphi \pm \beta). \quad /2.92/$$

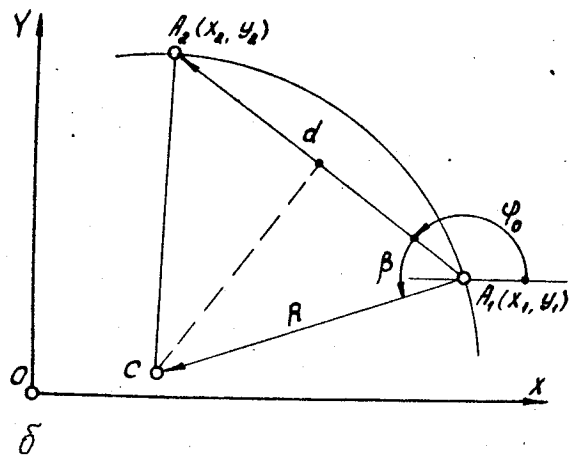
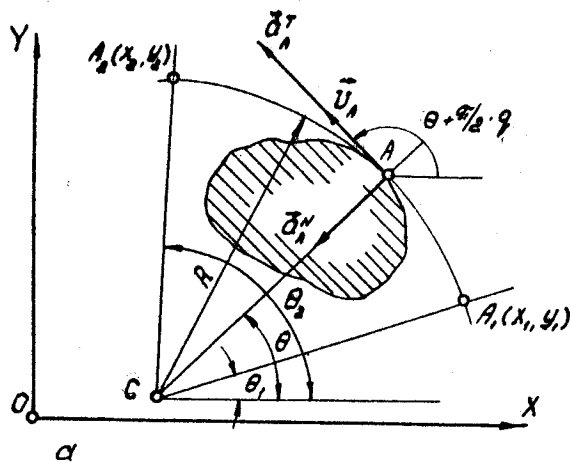


Рис. 2.22

Кути /див. рис. 2.22,а/, які складають радіуси-вектори \vec{CA}_1 і \vec{CA}_2 з віссю OX , відповідно будуть

$$\theta_1 = 2 \operatorname{arctg} \left(\frac{\sin \theta_1}{1 + \cos \theta_1} \right); \quad \theta_2 = 2 \operatorname{arctg} \left(\frac{\sin \theta_2}{1 + \cos \theta_2} \right), \quad /2.93/$$

де $\sin \theta_1 = \frac{y_1 - y_c}{R}; \quad \sin \theta_2 = \frac{y_2 - y_c}{R}$;

$$\cos \theta_1 = \frac{x_1 - x_c}{R}; \quad \cos \theta_2 = \frac{x_2 - x_c}{R}.$$

Шлях, який пройде схват між точками A_1 і A_2 .

$$S = R |\theta_2 - \theta_1|. \quad /2.94/$$

Розглянемо довільне положення точки A на II траєкторії. Якщо від точки A_1 пройдено шлях S , то радіус-вектор \vec{CA} повернеться відносно початкового положення \vec{CA}_1 на кут $\Delta\theta = \frac{S}{R}$. Щоб визначити напрям руху схвата по траєкторії, введемо змінну

$$q = \begin{cases} +1 & \text{при } \theta - \theta_1 > 0; \\ -1 & \text{при } \theta_2 - \theta_1 < 0. \end{cases} \quad /2.95/$$

Тоді

$$\theta = \theta_1 + q \Delta \theta. \quad /2.96/$$

Якщо кут θ зростає і $q = 1$, то швидкість точки A складає з радіусом-вектором \vec{CA} кут $\pi/2$. У разі зворотного напряму руху цей кут дорівнюватиме $-\pi/2$. Тому кут між віссю X і напрямом швидкості дорівнює $\theta + q\pi/2$.

Проекції швидкості на осі координат

$$v_x = -q v_A \sin \theta; \quad v_y = q v_A \cos \theta. \quad /2.97/$$

Напрям вектора тангенціального прискорення збігається з напрямом швидкості /див. рис. 2.22,а/. Тому він має ті самі проектуючі множники на осі OX і OY , тобто,

$$a_x = -q a_A \sin \theta; \quad a_y = q a_A \cos \theta. \quad /2.98/$$

Нормальне прискорення складає з віссю OX кут $\theta + \pi$ незалежно від напряму руху. Тому його проекції

$$a_x = -v^2 \cos \theta / R; \quad a_y = -v^2 \sin \theta / R. \quad /2.99/$$

Проекції повного прискорення точки A визначаємо як суму проекції нормальної та тангенціальної складових.

2.10.3.2. Покажемо розв'язання оберненої задачі кінематики маніпуляційної системи на прикладі робота, що працює у сферичній системі координат /роботи "Універсал-15" і "Різмейт"/. У разі зафіксованого кута φ_2 повороту основи у загальненими координатами будуть x_1 і y_1 /рис. 2.23/. Тоді

$$x_1 = \ell \cos \varphi_2; \quad y_1 = \ell \sin \varphi_2,$$

звідки

$$\ell_3 = \sqrt{x_1^2 + y_1^2}; \quad /2.100/$$

$$\varphi_2 = \arcsin(y_1 / \ell_3). \quad /2.101/$$

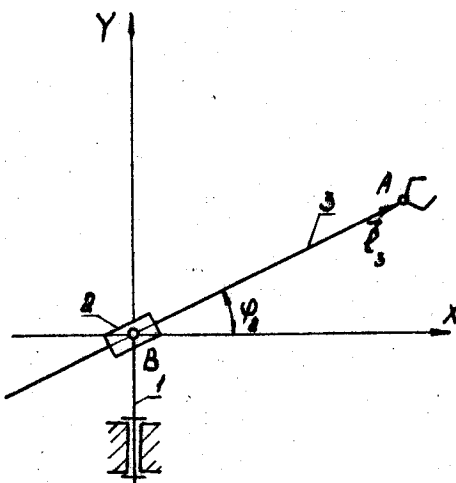


Рис. 2.23

На другому етапі задачі використовуємо векторне рівняння проекції якого на осі X і Y

$$v_x = v_{3-2} + v_{AB},$$

$$v_{1_x} = v_{3-2} \cos \varphi_2 - \ell_3 \omega_2 \sin \varphi_2;$$

$$v_{A_y} = v_{3-2} \sin \varphi_2 + \ell_3 \omega_2 \cos \varphi_2. \quad /2.102/$$

На третьому етапі складаємо векторне рівняння

$$\vec{\alpha} = \vec{\alpha}_{3-2} + \vec{\alpha}_{3-2}^k + \vec{\alpha}_{AB}^N + \vec{\alpha}_{AB}^T,$$

проекції якого на координатні осі

$$\alpha_{A_x} = \alpha_{3-2} \cos\varphi - \alpha_{2}^k \sin\varphi - \ell \omega_2^2 \cos\varphi - \ell E \sin\varphi;$$

$$\alpha_{A_y} = \alpha_{3-2} \sin\varphi + \alpha_{2}^k \cos\varphi - \ell \omega_2^2 \sin\varphi + \ell E \cos\varphi. \quad /2.103/$$

Отримані системи /2.102/ і /2.103/ в лінійними відносно невідомих ν_{3-2} , ω_2 , α_{3-2} , E_2 . Розв'язання аналогічних систем наведене в п. 2.8.2.

Описане розв'язання можна узагальнити на випадок просторового руху маніпуляційної системи. Для цього рух "руки" у вертикальній площині треба розглядати як відносний, а обертальний рух площини навколо вертикальної осі – як переносний.

Програму 2.2 для розв'язання описаної задачі наведено в дод. I. У цій програмі передбачено, що схват має рухатись по окружності заданого радіуса між початковою та кінцевою точками траєкторії.

3. ДИНАМІЧНІ РОЗРАХУНИКИ МАШИН ІЗ ШАРНІРНО-ВАЖІЛЬНИМИ МЕХАНІЗМАМИ

3.1. Задачі динамічного розрахунку машинних агрегатів

Основним режимом більшості машинних агрегатів служить усталений рух, за якого кутова швидкість початкової ланки або залишається постійною, або здійснює невеликі коливання навколо середнього значення.

Для міцнісного розрахунку деталей проектованої машини необхідно визначити динамічні реакції в кінематичних парах механізмів, що входять до неї, врахувати сили тертя, які виникають у цьому разі. Щоб підібрати двигун /або навантажувальний пристрій для машин двигунів/, необхідно підрахувати роботу технологічних сил і сил тертя за цикл, що дасть змогу визначити потужність проектованого агрегату та його ККД.

Періодичні зміни технологічних сил, швидкостей точок їх прикладання та кінематичної енергії механізму приводять до періодичних

коливань кутової швидкості його початкової ланки. Оскільки ці коливання шкідливо впливають на технологічний процес, що виконується машиною, треба визначити коефіцієнт нерівномірності обертання головного вала і, якщо він виходить за дозволимі межі, розрахувати додаткову махову масу, яка дасть можливість звести нерівномірність обертання до допустимого рівня.

Цю задачу можна розв'язати також за допомогою спеціальних розвантажувальних пристроїв, які зумовлюють більш ефективне усунення причин виникнення коливань кутової швидкості на усталеному русі [30; 33].

Описані задачі пов'язані з вивченням режимів розбігу та вибігу для визначення їх тривалості.

Окрема задача – вивчити дію проектованої машини на фундамент і визначити шкідливі вібрації II корпуса в просторі. Ці вібрації небезпечні для самої машини, обслуговуючого персоналу та будівлі, де встановляється машина. Для боротьби з вібрацією використовуються різні схеми зрівноважування мас [41].

У процесі курсового проектування студентові необхідно визначити реакції в кінематичних парах шарнірно-важільного механізму, виконати приведення сил тертя та технологічних сил за усталеного руху, встановити потужність агрегату і підібрати електродвигун /для робочих машин/. Після цього залежно від завдання визначається нерівномірність усталеного руху чи маховик, який забезпечує її зниження до допустимого рівня.

Задача зрівноважування в курсовому проекті – визначити статичний момент і кут закріплення противаги, що знижує шкідливу дію машини на фундамент.

3.2. Силовий розрахунок механізму

3.2.1. Метод кінетостатики. Задача силового розрахунку шарнірно-важільного механізму – визначити реакції в кінематичних парах спочатку без урахування тертя, а потім уточнити їх, і методом послідовних наближень обчислити сили тертя.

Звичайно силовий розрахунок виконується методом кінетостатики, для чого на основі принципу Даламбера [36, § 166, с. 425–426] до сил, що діють на ланки механізму, треба додати сили інерції. Отримана система сил задовільняє вимогам рівноваги, незважаючи на те що

механізм знаходиться у русі. Такий прийом полегшує розв'язання задачі, оскільки дає змогу записувати для ланок механізму або для груп Ассура умови рівноваги, куди як шукані входять динамічні реакції, визначення яких є метою силового розрахунку.

Система елементарних сил інерції кожної ланки може бути приведена до головного вектора та головного моменту. У разі силового розрахунку звичайно робиться припущення, що механізм і його ланки мають площину симетрії, в якій розташуються всі сили, що діють на них. Будемо називати його основною площею механізму. Тоді вектор головного моменту утворений парою сил, що лежать в основній площині, тобто є перпендикулярним до неї.

Щоб визначити головний вектор і головний момент сил інерції ланки, що здійснює площинний рух, треба скористатись формулами, виведеними в курсі "Теоретична механіка" [36, § 167]. Для ланки з номером i

$$\vec{P}_i = -m_i \vec{\alpha}_{si}, \quad \vec{M}_i = -J_{si} \vec{\varepsilon}_i, \quad /3.1/$$

де P_i , M_i - головний вектор і головний момент сил інерції ланки i ; $\vec{\alpha}_{si}$, $\vec{\varepsilon}_i$ - прискорення центра мас ланки та його кутове прискорення; m_i , J_{si} - маса ланки та її момент інерції відносно осі, що проходить крізь центр ваги ланки і перпендикулярна до основної площини.

3.2.2. Шукані величини в задачі силового розрахунку.

3.2.2.1. Силовий розрахунок виконується для тих самих n положень механізму, які розглядаються в процесі його кінематичного дослідження. Тому $\vec{\alpha}_{si}$ і $\vec{\varepsilon}_i$ знайдені в розд. 2; J_{si} та m_i входять до числа вихідних даних. Технологічні сили також задані. Умови можуть позначати реакції буквою R , технологічні сили Q , сили тертя F . Розглянемо детальніше, що відомо про шукані реакції та що треба визначити, припускаючи спочатку, що сили тертя відсутні.

Якщо пара обертальна, то реакція проходить крізь її центр, але напрям реакції наперед невідомий /рис. 3.1, a/. Тому реакцію треба розкласти на дві складові. Рациональніший вибір напрямів, за якими будемо розкладати реакцію в обертальній парі, описано в п. 3.2.4.1.

Кожну реакцію будемо забезпечувати індексом, що складається з двох цифр, перша з яких вказує, до якої ланки прикладено реакцію, а друга - з боку якої ланки вона діє.

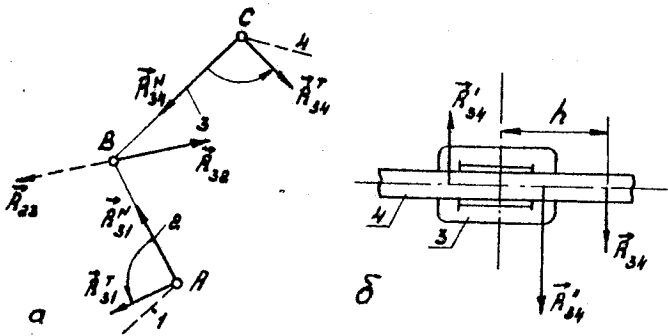


Рис. 3.1

Тому якщо відкинуто ланку 4 /див. рис. 3.1, а/, і розглядається II дія на ланку 3, то реакцію треба позначити R_{34} . Природно, що в разі розглядання рівноваги ланки 4 до неї має прикладатись реакція R_{43} .

Реакція між ланками, що утворюють поступальну пару /рис. 3.1, б/, містить дві паралельні сили R_{34}' і R_{34}'' . За зробленого припущення про відсутність сил тертя вони перпендикулярні до осі напрямної 3. /Ці дві сили можна замінити однією рівнодіючою, паралельною ім і прикладеною на відстані h від середньої точки повзуна 2.

Таким чином, і в поступальній парі є дві невідомі величини - модуль реакції R_{34} і відстань до точки її прикладання h .

3.2.2.2. У розглядуваних дволанкових групах Ассура дві пари утворені ланками групи та ланками вихідного ланцюга. Наприклад, на рис. 3.1, а показано групу, що складається з ланок 2 і 3. У точках A і C вона приєднана до ланок 1 і 4 вихідного ланцюга.

Кінематична пара в точці B утворена ланками групи. У підрозд. 2.2 ми умовились пари /1, 2/ і /3, 4/ називати крайніми парами групи, пару /2, 3/ - середньою. Реакції в крайніх парах служать для групи зовнішніми реакціями. Реакція в середній парі групи - внутрішня для групи сила.

3.2.3. Послідовність виконання силового розрахунку.

3.2.3.1. Силовий розрахунок виконують у разі послідовного розглядання рівноваги груп Ассура починаючи з останньої приєднаної групи [38, гл. 5, с. 180-190; 23, гл. 17, с. 376-393].

Таким чином, у більшості випадків послідовність розглядання груп у процесі силового розрахунку протилежна послідовності їх розглядання в процесі кінематичного дослідження.

У разі такої послідовності визначення реакцій кожна група статично визначена. Доведемо це положення.

Дійсно, для групи Ассура виконується умова

$$3n' = 2\rho'_s, \quad /3.2/$$

де n' - число ланок у групі; ρ'_s - число кінематичних пар 5-го класу. Але для n' ланок у площині можна скласти $3n'$ рівнянь рівноваги. У кожній парі 5-го класу є два шуканих параметри /два проекції на осі координат або модуль і відстань до центра шарніра/. Тому, число невідомих величин у процесі силового розрахунку групи $2\rho'_s$. Отже, рівняння /3.2/ - умова статичної визначеності групи Ассура.

Після розглядання всіх груп, що входять до механізму, виконується силовий розрахунок початкової ланки та визначається залежність сили, яка має бути до неї прикладена для того, щоб забезпечити потрібне рівномірне обертання.

3.2.3.2. Силовий розрахунок можна виконувати графоаналітичним або аналітичним методом. У першому випадку використовуються рівняння рівноваги трьох видів: перше - рівняння моментів сил; друге: - рівняння проекцій на вибрані осі; третє - векторні рівняння суми сил.

У процесі аналітичного розв'язання задачі можне векторне рівняння замінюватись двома рівняннями проекцій.

У розглядуваних дволанкових групах число шуканих величин дорівнює шести. Щоб визначити ці величини, необхідно скласти шість рівнянь. Для спрощення розв'язання отриманої системи рівняння треба складати так, щоб до кожного з них входила лише одна невідома величина.

3.2.4. Схема навантажування групи Ассура.

3.2.4.1. Якщо крайні кінематичні пари групи обертальні, то реакції в них треба розкласти на нормальну та тангенціальну складові. Вибір напряму цих складових довільний, але доцільніше користуватись таким правилом: нормальні складові зовнішніх реакцій необхідно спрямовувати до центра середнього шарніра групи. Напрям тангенціальних реакцій дістаемо поворотом на 90° проти годинникової стрілки.

Приклад розкладання реакції R_{34} на складові показаний на рис. 3.1, а. Аналогічно має розкладатись реакція R_{27} . Складові реакцій - величини алгебраїчні. Якщо в результаті розв'язання вони виявляться негативними, це означає, що їх напрям протилежний вказаному на кресленні.

Поступальна пара - окремий випадок обертальної пари, центр якої віддалений у нескінченість /рис. 3.2/. Тому нормальні складові перпендикулярні до осі поступальної пари /на рис. 3.2 - до осі ланки 2/, а тангенціальні складові збігаються з II віссю.

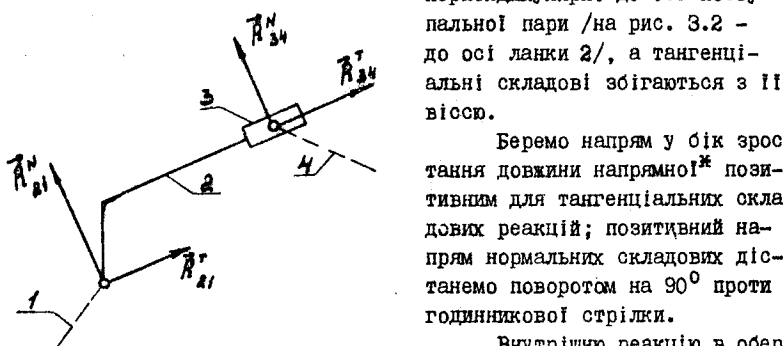


Рис. 3.2

дев'ятка в процесі графоаналітичного розв'язання немає необхідності, оскільки вона повністю визначається із силового многокутника.

3.2.4.2. Щоб виконати силовий розрахунок групи, треба виділити II з механізму та замінити дію відкинутої частини реакціями. Одночасно на кресленні необхідно вказати сили, що задаються. Оскільки задача розв'язується методом кінетостатики, до них треба додати головні вектори та головні моменти сил інерції.

Викреслена окремо кінематична схема групи, на якій вказані сили та моменти, що задаються, а також реакції відкинутої частини механізму, називається схемою навантаження групи.

Як приклад розглянемо схеми навантаження груп Ассура, що входять до складу стругального верстата, кінематичну схему якого зображено на рис. 3.3, а. Механізм утворений приєднанням до початкової ланки I та стояка 0 двох груп Ассура /2, 3/ і /4, 5/. Для подальшого дослідження найважливішим є вигляд середньої пари. У групі

* у цьому разі збільшується відстань між осями шарнірів /рис. 3.2/.

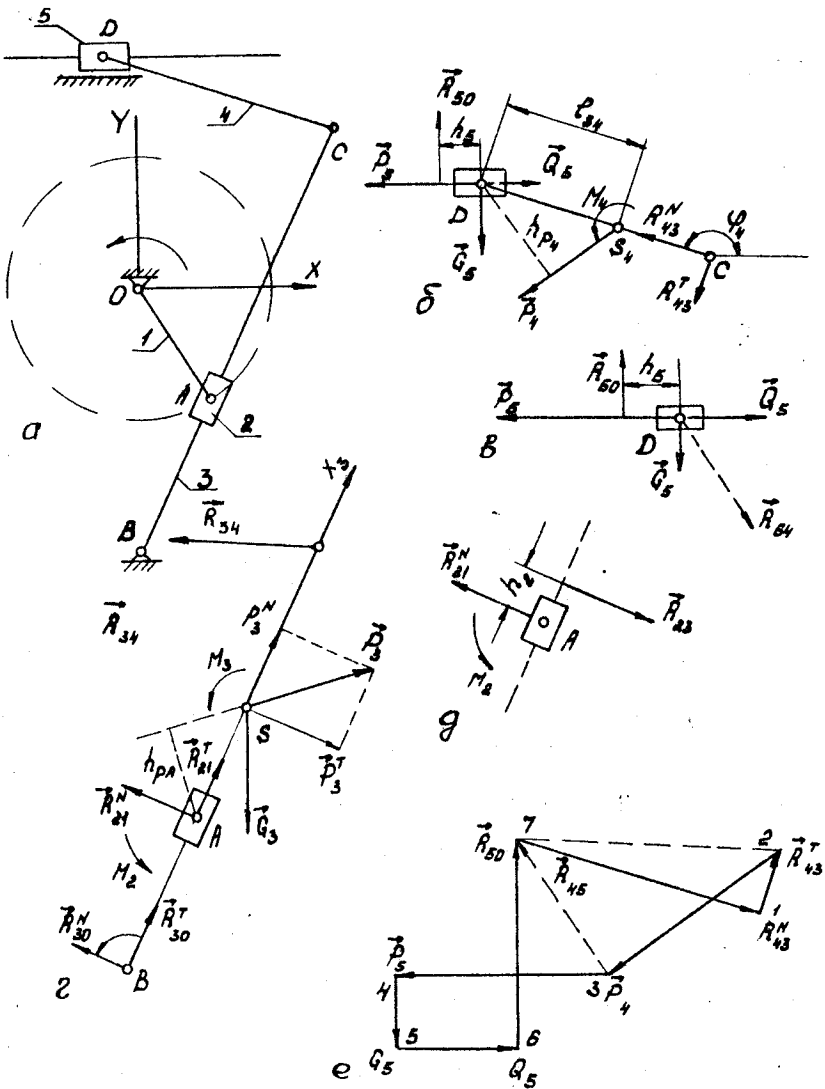


Рис. 3.3

/4, 5/ середня пара обертальна, у групі /2, 3/ - поступальна. Виділимо групу /4, 5/, яка має розглядатись першою /рис. 3.3,б/. Задано технологічну силу \vec{Q} , силу ваги \vec{G}_5 , головні вектори сил інерції \vec{P}_5 і \vec{P}_4 , головний момент інерції ланки 4 M_4 . Силою ваги четвертої ланки нехтуємо.

Замінимо дію відкинутої частини механізму реакціями \vec{R}_{50} і \vec{R}_{45} . Реакція \vec{R}_{50} перпендикулярна до напрямної і в загальному випадку прикладена на відстані h_{50} від точки D . Реакція \vec{R}_{45} - реакція в обертальній парі, тому її треба розкласти на дві складові. Нормальну складову спрямуюмо до центра середнього шарніра D . Тангенціальну складову R_{43} перпендикулярна до складової. Її позитивний напрям дістанемо, повернувши нормальну складову проти годинникової стрілки.

Щоб показати внутрішню реакцію, виділимо ланку 5 /рис. 3.3,в/ і замінимо дію відкинутої ланки 4 реакцією \vec{R}_{54} . Напрям цієї реакції наперед невідомий. Його буде знайдено з умови рівноваги ланки 5.

Схему навантаження групи /2, 3/ зображене на рис. 3.3,г. Обидві зовнішні реакції \vec{R}_{50} і \vec{R}_{21} - реакції в обертальних парах. Тому їх треба розкласти на складові. Тангенціальні складові спрямовуємо вздовж осі X середньої поступальної пари в бік збільшення відстані AB , а нормальні - перпендикулярно до них, причому напроти нормальних складових вважаємо повернутими на кут 90° проти годинникової стрілки відносно тангенціальних.

Щоб показати внутрішню реакцію, розглянемо окремо ланку 2, замінивши дію відкинутої ланки 3 реакцією \vec{R}_{23} /рис. 3.3,д/. Ця реакція перпендикулярна до напрямної і в загальному випадку прикладена на відстані h_2 від точки A .

3.2.5. Послідовність виконання розрахунку групи.

3.2.5.1. Силовий розрахунок групи Ассура можна поділити на такі етапи /рис. 3.4/, до яких входить визначення: 1/ тангенціальних складових зовнішніх реакцій; 2/ нормальніх складових зовнішніх реакцій або повних реакцій, якщо крайня пара поступальна; 3/ внутрішньої реакції; 4/ відстаней, що задають точки прикладання реакцій у поступальних парах.

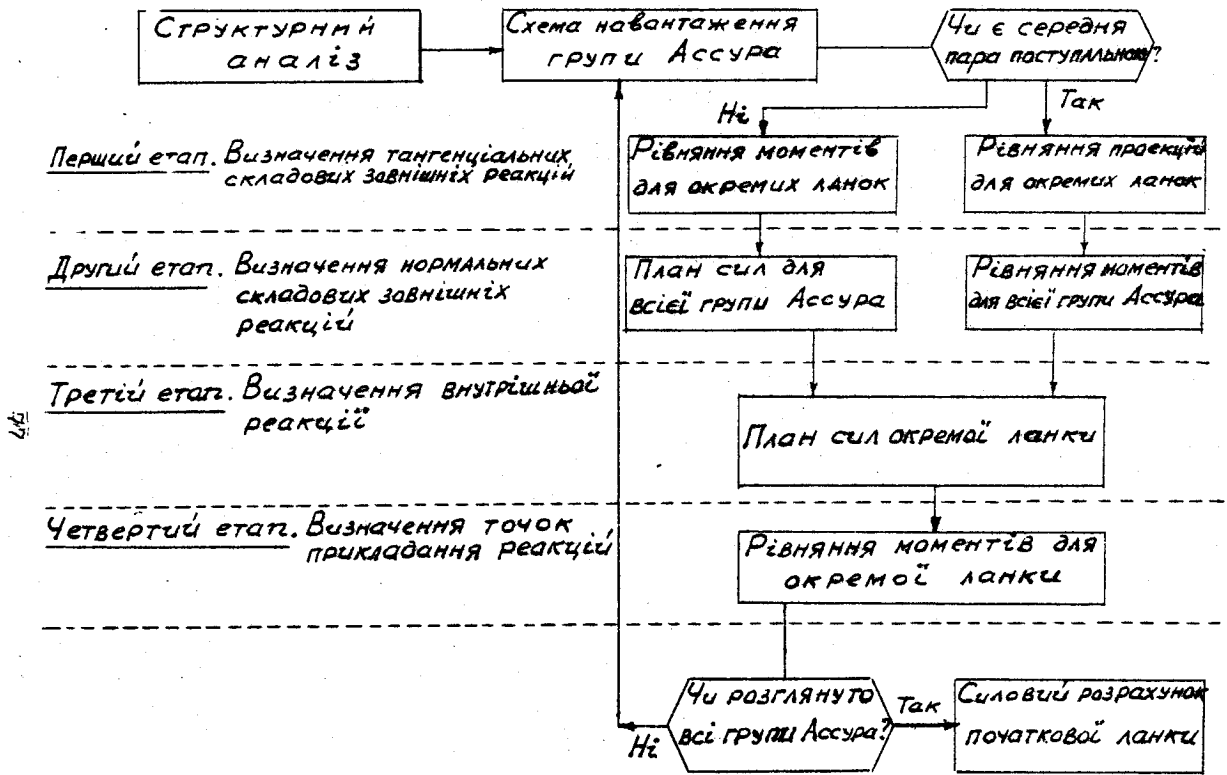


Рис. 3.4

Щоб визначити зовнішні реакції /пп. I і 2/, у різних випадках можна користуватись рівняннями рівноваги групи чи окремих ланок. На відміну від цього внутрішню реакцію можна визначити лише з рівняння рівноваги однієї ланки.

Рівняння рівноваги, що використовуються на першому та другому етапах, залежать від того, якою є середня пара групи - обертальною чи поступальною.

3.2.5.2. Розглянемо послідовність силового розрахунку групи із середньою обертальною парою.

Тангенціальні складові зовнішніх реакцій визначаються з рівнянь моментів відносно центра середнього тарніра, складених для кожної ланки окремо.

Якщо розглядається група /4, 5/, схему навантаження якої зображено на рис. 3.8,б, необхідно скласти рівняння моментів сил, прикладених до ланки 4 відносно точки D :

$$\sum_D M = 0 \quad / \text{ланка } 4/, \quad /3.3/$$

яке в розгорнутому вигляді записується так:

$$-R^T \ell + M - P h_{45} = 0, \quad /3.4/$$

де h_{45} - плече сили P відносно точки D .

Вибір точки D як центра моментів дає змогу виключити з /3.4/ нормальну складову R^N і внутрішню реакцію R_{45} , оскільки обидві вони проходять крізь точку D .

Друга зовнішня реакція R_{50} тангенціальної складової не має, тому описаний етап для ланки 5 не виконується. Другий етап у даному випадку містить визначення нормальної складової R_{45} і реакції R_{50} . Оскільки лінії дії цих двох сил відомі, їх можна знайти побудовою силового многокутника для всієї групи:

$$\vec{R}_{43}^N + \vec{R}_{43}^T + \vec{P}_4 + \vec{P}_5 + \vec{G}_4 + \vec{Q}_5 + \vec{R}_{50} = 0. \quad /3.5/$$

У процесі графоаналітичного розв'язання будуємо в масштабі замкнений силовий многокутник, що відповідає записаному рівнянню. Для цього у вибраному масштабі треба відкласти відомі вектори \vec{R}_{43}^T , \vec{P}_4 , \vec{P}_5 , \vec{G}_4 , \vec{Q}_5 /рис. 3.3,е/, через початкову /1/ та кінцеву /6/ точки цієї побудови провести відомі лінії дії реакцій R_{45} і R_{50} . Точка 7 перетину цих прямих визначить шукані значення R_{45} і R_{50} .

Обчислення внутрішньої реакції має починатись із розглядання рівнянь рівноваги однієї з ланок, наприклад ланки 4. У цьому разі векторна сума сил становитиме

$$\vec{R}_{43}^N + \vec{R}_{43}^T + \vec{R}_4 + \vec{R}_{45}. \quad /3.6/$$

Перші три вектори вже відкладені на плані сил. Вони подані у вигляді ломаної лінії 7, 1, 2, 3. Отже, з'єднавши точки 3 і 7, дістанемо реакцію \vec{R}_{45} .

На четвертому етапі необхідно визначити плече \vec{h}_5 реакції \vec{R}_{50} . Для цього складемо рівняння моментів сил, що діють на ланку 5 /див. рис. 3.3,в/, відносно точки D . Це рівняння має вигляд

$$\vec{R}_{50} \cdot \vec{h}_5 = 0, \quad /3.7/$$

оскільки момент решти сил, прикладених до ланки 5 \vec{P}_5 , \vec{Q}_5 відносно точки D , дорівнює нулю.

Із рівняння /3.7/ випливає, що $\vec{h}_5 = 0$.

3.2.5.3. Послідовність силового розрахунку групи із середньою поступальною парою розглянемо на прикладі групи /2, 3/, схему наваження якої зображене на рис. 3.3,г.

Щоб визначити тангенціальні складові R_{21}^T і R_{30}^T , треба скласти рівняння проекцій на вісь X_3 поступальної пари /2, 3/ сил, що діють на ланки відповідно 2 і 3. У цьому разі з рівнянь буде виключено внутрішню реакцію R_{23} , оскільки вона перпендикулярна до осі X_3 .

Рівняння проекцій:

для ланки 2

$$R_{21}^T = 0; \quad /3.8/$$

для ланки 3

$$R_{30}^T + (P_{3X3}) + (G_{3X3}) + (R_{34X3}) = 0. \quad /3.9/$$

Тут (P_{3X3}) , (G_{3X3}) , (R_{34X3}) - проекції сил \vec{P}_3 , \vec{G}_3 , \vec{R}_{34} на вісь X_3 ; R_{34} - реакція на ланку 3 з боку ланки 4; вона дорівнює за модулем і протилежна за напрямом реакції R_{43}^T , знайдений у результаті розрахунку групи /4, 5/.

Із /3.8/ випливає, що тангенціальна складова R_{21}^T відсутня.

Щоб визначити нормальні складові R_{30}^N і R_{21}^N , запишемо рівняння моментів для групи відносно точок A і B . Рівняння моментів відносно точки A має вигляд

$-R_{30}^N \ell + M + M + R_{34} h_1 - P_{RA} - G_{34} h_1 = 0, \quad /3.10/$
 де h_{RA} , h_{PA} , h_{GB} - плечі сили R_{34} , P_{PA} , G_{34} відносно точки A
 /на рис. 3.3,г показано лише відрізок R_{34} . Ці величини визначає-
 мо вимірюванням відповідників відрізків на кресленні та помноженням
 на масштаб довжин.

Рівняння моментів відносно точки B має вигляд

$$-R_{21} \ell - M - M - R_{34} h_2 + P_{RB} + G_{34} h_2 = 0, \quad /3.11/$$

де h_{RB} , h_{PB} , h_{GB} - плечі сили R_{34} , P_{PB} , G_{34} відносно точ-
 ки B .

Із рівнянь /3.10/ і /3.11/ визначаємо R_{30}^N та R_{34}^N .

Щоб обчислити внутрішню реакцію R_{33} , побудуємо силовий много-
 кутник ланки 2

$$R_{30}^N + R_{33} = 0, \quad /3.12/$$

звідки випливає, що $R_{33} = -R_{30}^N$.

Плече сили R_{33} визначаємо з рівняння моментів для ланки 2
 /див. рис. 3.3,д/ відносно точки A :

$$-R_{33} h_2 + M = 0. \quad /3.13/$$

У даному разі $R_{33} = M / R_{30}^N$.

Силовий розрахунок для одного з положень розглянутого механіз-
 му за конкретних числових значень вихідних величин наведений у дод. 2.

3.2.5.4. У результаті силового розрахунку першої предиканої
 групи /1/ буде розраховано останню/ знайдено реакцію R_{12} . Окрім
 цієї реакції на початкову ланку дієть реакція в корінному підшипни-
 ku R_{10} та зрівноважуюча сила R_{sp} /рис. 3.5,а/ або зрівноважую-
 чий момент M_{sp} /рис. 3.5,б/.

Перший випадок відповідає передачі енергії для привода шарнір-
 но-важільного механізму через пару зубчастих коліс 1 і 2, одне з
 яких закріплене на валу початкової ланки. Реакція R_{sp} спрямована
 по лінії зачеплення /тобто складає кут $90^\circ - \alpha_w$ з лінією центрів
 OC / так, що її момент зрівноважував момент реакції R_{12} відносно
 точки O , тобто має виконуватись умова

$$M_{\circ}(R_{12}) + M_{\circ}(R_{sp}) = 0. \quad /3.14/$$

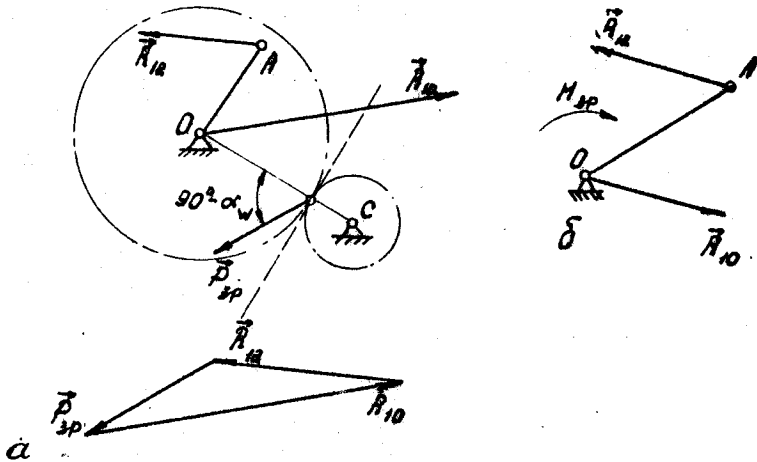


Рис. 3.5

Реакцію \vec{R}_{10} обчислюємо побудовою плану сил для кривошипа за рівнянням

$$\vec{R}_{3P} + \vec{R}_{12} + \vec{R}_{10} = 0. \quad /3.15/$$

Другий випадок відповідає передачі руху через муфту. Тоді

$$\vec{R}_{10} = -\vec{R}_{12}; \quad M_{3P} = -M_o(R_{12}). \quad /3.16/$$

Знайдені значення R_{3P} або M_{3P} необхідні для рівномірного обертання початкової ланки.

3.2.6. Аналітичне визначення реакцій без урахування тертя.

3.2.6.1. Застосовувати аналітичний метод розв'язання треба тоді, коли раніше кінематичне дослідження було виконане аналітично [12, гл. 3].

Виберемо нерухому систему координат так, щоб вісь OX була паралельна осі однієї з поступальних пар, а початок координат збігався з центром кривошипа (див. рис. 3.3, а).

Складові реакцій в обертальних парах розглядаються як алгебраїчні величини. Їх позитивні напрями встановлені в п. 3.2.4.1. Головні вектори сил інерції можуть бути задані своїми проекціями на осі X і Y або на вісь поступальної пари.

У розглядуваному випадку /див. рис. 3.3,г/ сила R_3 - це геометрична сума тангенціальної та нормальній складових, кожна з яких визначається за допомогою кінематичних параметрів ланки 3:

$$P^T = -m \ell_{33} \dot{\ell}_3, \quad P^N = m \ell_{33} \omega_3^2, \quad /3.17/$$

де $\ell_{33} = BS_3$.

Для P^T і P^N використано те саме правило знаків, що і для складових реакцій. Таке подання складових головного вектора зручно використовувати для ланок, що здійснюють обертальний рух.

3.2.6.2. Покажемо аналітичне розв'язування на прикладі такого самого механізму, який було розглянуто на рис. 3.3.

Групи 4, 5/. Перший етап. Використовуємо рівняння моментів /3.4/, яке тепер набуває вигляду /див. рис. 3.3/

$$-R_{34} \ell + M_{44} + P_{4x} \ell \sin \varphi + P_{4y} \ell \cos \varphi = 0, \quad /3.18/$$

де $\ell_{34} = SD_4$ - відрізок, що задає положення центра мас S_4 ланки 4; P_{4x} , P_{4y} - проекції головного вектора сил інерції ланки 4 на осі X і Y . Це алгебраїчні величини, які треба підставляти в /3.18/ зі своїми знаками.

Другий етап. Векторне рівняння /3.5/ необхідно замінити двома рівняннями проекцій на осі X і Y . Оскільки R_{43}^N і R_{43}^T складають з віссю X кути φ_4 і $\varphi_4 + \pi/2$, ці рівняння набувають вигляду

$$R_{43}^N \cos \varphi_4 - R_{43}^T \sin \varphi_4 + P_{4x} - P_{5x} + Q_{5x} = 0; \quad /3.19/$$

$$R_{43}^N \sin \varphi_4 + R_{43}^T \cos \varphi_4 + P_{4y} - G_{29} - G_{45} + R_{50} = 0. \quad /3.20/$$

У даному разі вибір системи координат забезпечив отримання системи, що розпадається: реакція R_{50} до /3.19/ не входить. Тому спочатку з цього рівняння визначається R_{43}^N , а потім R_{43}^T з рівняння /3.20/.

У загальному випадку буде отримано систему двох лінійних рівнянь, які розв'язуються сумісно.

Третій етап. Щоб визначити внутрішню реакцію, спроектуємо рівняння рівноваги ланки 5 на осі X і Y :

$$\begin{aligned} -P_{\overset{5}{3}} + Q_{\overset{5}{3}} + (R_{\overset{5}{3}}) &= 0; \\ R_{\overset{5}{3}} - G_{\overset{5}{3}} + (R_{\overset{5}{3}}) &= 0. \end{aligned} \quad /3.21/$$

Із цих рівнянь визначаються проекції реакції $R_{\overset{5}{3}}$.

Четвертий етап. Не відрізняється від графоаналітичного розв'язання. Із рівняння /3.7/ визначаємо, що $\ell_2 = 0$.

3.2.6.3. Розглянемо розв'язання для групи /2, 3/. Знайдемо перш за все проекції сили $R_{\overset{43}{3}}$ на осі X_3 , Y_3 . Із рис. 3.6, а* випливає, що кут, який складає сила $R_{\overset{43}{3}}$ з віссю X_3 , дорівнює $\varphi - \vartheta$. Кут між силою $R_{\overset{43}{3}}$ та віссю X_3 дорівнює $\pi/2 + (\vartheta - \varphi)$. Тому проекції $R_{\overset{43}{3}}$ на осі X_3 і Y_3 відповідно

$$(R_{\overset{43}{3}})_{X_3} = R_{\overset{43}{3}}^N \cos(\vartheta - \varphi) - R_{\overset{43}{3}}^T \sin(\vartheta - \varphi); \quad /3.22/$$

$$(R_{\overset{43}{3}})_{Y_3} = R_{\overset{43}{3}}^N \sin(\vartheta - \varphi) + R_{\overset{43}{3}}^T \cos(\vartheta - \varphi).$$

Складові реакції $R_{\overset{34}{3}}$ проектуються на осі X_3 і Y_3 із зворотними знаками.

Перший етап. Рівняння проекцій на вісь X_3 сил, що діють на ланку 2, має вигляд

$$R_{\overset{21}{3}}^T = 0. \quad /3.23/$$

Рівняння проекцій на ту саму вісь сил, що діють на ланку 3 /рис. 3.6, б/, мають вигляд

$$R_{\overset{30}{3}} + P_{\overset{30}{3}} - G_{\overset{30}{3}} \sin \vartheta + (R_{\overset{30}{3}})_{X_3} = 0. \quad /3.24/$$

Другий етап. Рівняння /3.11/ моментів відносно точки B сил, що діють на групу /2, 3/, набуває вигляду

$$P_{\overset{35}{3}}^T + G_{\overset{35}{3}} \cos(\pi - \vartheta) + R_{\overset{35}{3}}^T + (R_{\overset{35}{3}})_{Y_3}^T + M_2 + M_3 = 0$$

або після спрощення

$$(P_{\overset{3}{3}}^T - G_{\overset{3}{3}} \cos \vartheta) \ell + R_{\overset{3}{3}}^T \ell + (R_{\overset{3}{3}})_{Y_3}^T + M_2 + M_3 = 0. \quad /3.25/$$

Другим рівнянням на другому етапі використовуємо рівняння проекцій на вісь Y_3 сил, що діють на групу /2, 3/:

$$R_{\overset{30}{3}}^N - G_{\overset{30}{3}} \cos \vartheta + R_{\overset{30}{3}}^T + P_{\overset{30}{3}} + (R_{\overset{30}{3}})_{Y_3}^N = 0. \quad /3.26/$$

Із /3.25/ і /3.26/ визначаємо відповідно $R_{\overset{3}{3}}^N$ і $R_{\overset{30}{3}}^N$.

* На рис. 3.6 показано позитивні значення.

84

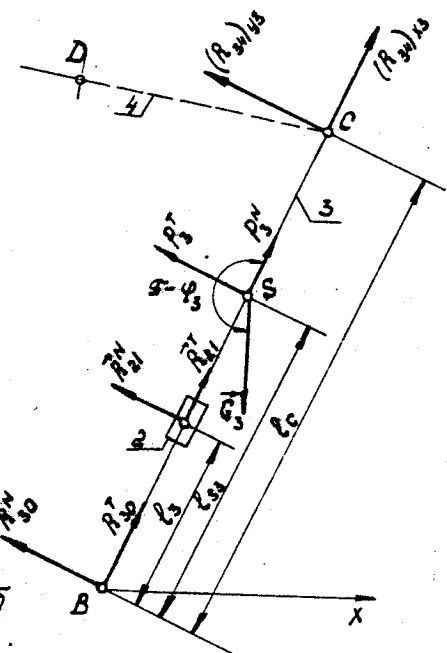
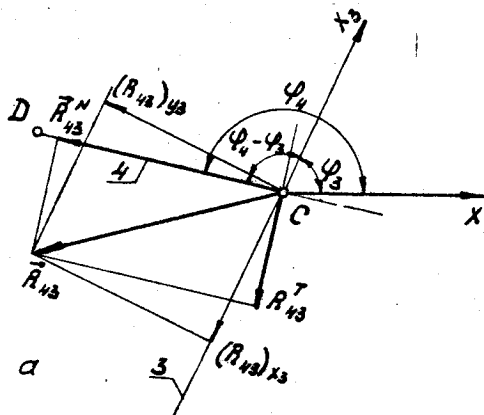


Рис. 3.6

Третій і четвертий етапи не відрізняються від графоаналітичного розв'язання, де використовуються рівняння /3.12/ і /3.13/.

У загальному випадку проекції R_{23} можна знайти проектуванням рівняння /3.12/ на осі X_3 і Y_3 .

3.2.7. Урахування сил тертя в процесі силового розрахунку.

3.2.7.1. Визначення реакцій у разі врахування сил тертя виконується методом послідовних наближень, оскільки сили тертя залежать від шуканих реакцій [12].

Напрями сили тертя в поступальній парі та моменту тертя в обертовальній парі визначаються напрямом відносної швидкості чи відносної кутової швидкості, тобто залежить від їх знаку. Тому в подальшому будемо використовувати функцію $\text{sign}(x)$, яка записується так:

$$\text{sign}(x) = \begin{cases} +1 & \text{при } x > 0; \\ 0 & \text{при } x = 0; \\ -1 & \text{при } x < 0. \end{cases}$$

Графік цієї функції показано на рис. 3.7.

Якщо до поступальної пари входять ланки n і q , то сила тертя, яку прикладено до ланки n з боку ланки q /рис. 3.8, а/,

$$F = -R_{nq} f \text{sign}(v_{n-q}) / 3.27/$$

де f - коефіцієнт тертя в розглядуваній парі.

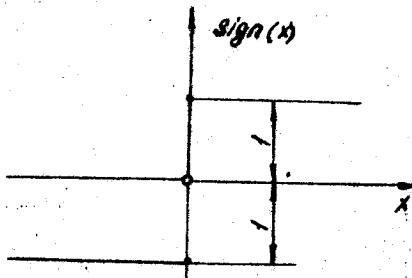


Рис. 3.7.

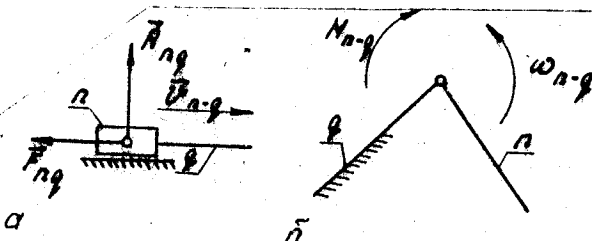


Рис. 3.8

Якщо ланки n і q утворюють обертальну пару /рис. 3.8.6/, то момент тертя, прикладений до ланки n з боку ланки q ,

$$M_{nq} = -R_{nq} \text{fr} \operatorname{sign}(\omega_{n-q}), \quad /3.28/$$

де r - радіус пальця шарніра; ω_{n-q} - відносна кутова швидкість ланки n відносно ланки q .

$$\omega_{n-q} = \omega_n - \omega_q; \quad /3.29/$$

ω_n, ω_q - кутові швидкості ланок n і q у нерухомій системі координат, що розглядаються як алгебраїчні величини.

3.2.7.2. Послідовність визначення реакцій і сил тертя показана на рис. 3.9. Розрахунок починаємо з останньої приєднаної групи. Спочатку вважатимемо, що сили тертя відсутні, і виконаемо силовий розрахунок так, як було описано раніше. У результаті визначимо наближені значення реакцій R - сукупність шести шуканих реакцій. Тому в процесі програмування для збереження цих значень буде використано масив із шести елементів. Користуючись значеннями R , знаходимо відповідні значення сил і момент тертя. Після цього виконуємо уточнений силовий розрахунок, в якому до числа сил, що задаються, включаємо знайдені сили та моменти тертя. У результаті знаходимо масив R'' із шести елементів/ уточнених значень реакцій. Природно, що кожний елемент цього масиву відрізняється від відповідного елемента масиву R . Чим меншою є ця різниця, тим ближче ми підійшли до визначення дійсних значень реакцій; тому обчислимо значення

$$\delta_i = \left| \frac{R''_i - R'_i}{R'_i} \right| \quad (i=1,2,3,\dots,6) \quad /3.30/$$

і порівняємо його з дозволеним значенням похибки $[\delta]$.

Якщо $\delta_i < [\delta]$, то процес уточнення реакцій можна припинити. Якщо хоча б одна з цих умов не виконується, беремо як вихідні значення знайдені значення R'' і повторюємо обчислення доти, поки не буде досягнуто необхідної точності.

Таким чином, обчислення реакцій з урахуванням тертя є ітераційним процесом.

Коли закінчиться ітераційний процес для аналізованої групи Ассура, необхідно вивести на екран або на друк обчислені значення реакцій /елементи масиву R / і перейти до розрахунку чергової групи. Після визначення реакцій в усіх кінематичних парах розглядаємо на-

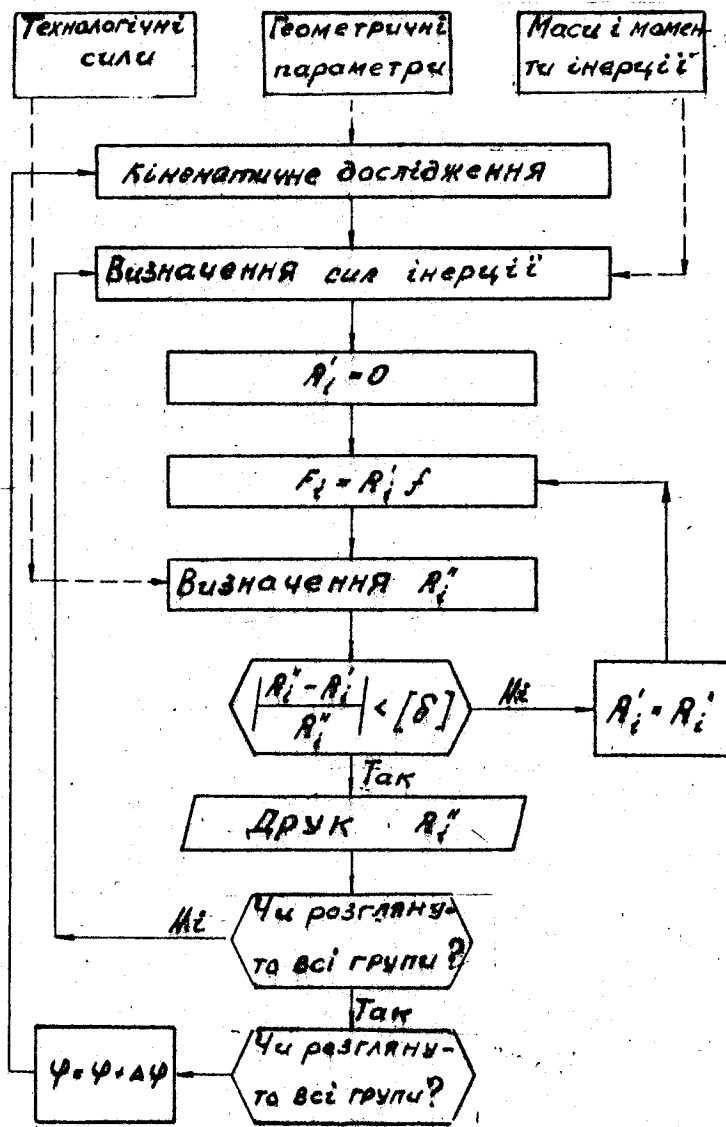


Рис. 3.9

ступінчі положенням механізму та повторюємо описані операції доти, поки не буде розглянуто всі положення їх до механізму.

Таким чином, алгоритм розглядуваної задачі містить два вкладені цикли - зовнішній, у разі виконання якого змінюється номер положення механізму / і відповідно кут повороту початкової ланки /, та внутрішній ітераційний цикл, у процесі якого уточнюються значення реакцій.

За наявності достатнього обсягу пам'яті у використовуваній ЕОМ у зовнішньому циклі треба обчислювати такі кінематичні параметри механізму, як вихідні дані для обчислення головних векторів і головних моментів сил інерції ланок.

Докладне описання особливостей програмування наведене в дод. З.

3.2.8. Перевірка правильності силового розрахунку. Зрівноважуючий момент можна знайти також, використовуючи принцип можливих переміщень [36, § 171]. Якщо силовий розрахунок виконано правильно, то два значення зрівноважуючого моменту, які обчислені двома незалежними методами, мають дорівнювати одне другому.

Згідно з принципом можливих переміщень система знаходиться в рівновазі, якщо сума елементарних робіт усіх прикладених до системи сил на будь-якому можливому переміщенні дорівнює нуль. Стосовно механізму

$$M_{zp} \delta \varphi_1 + \sum_i P_i \delta S_i \cos \alpha_i + \sum_k M_k \delta \varphi_k = 0, \quad 13.81$$

де P_i - одна з прикладених до механізму сил, що задаються; δS_i - можливе переміщення точки i прикладання, що відповідає повороту початкової ланки на кут $\delta \varphi_i$; α_i - кут між напрямами сили P_i і швидкості точки i прикладання /рис. 3.10/; M_k - момент, що прикладено до ланки K ; $\delta \varphi_k$ - кут повороту цієї ланки, що відповідає повороту початкової ланки на $\delta \varphi_1$.

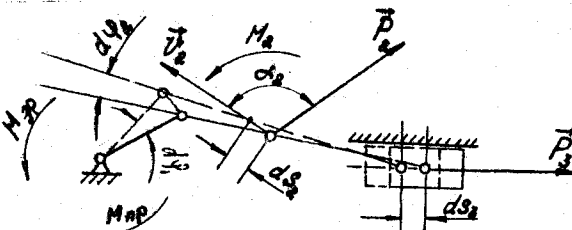


Рис. 3.10

До числа сил P_i і моментів M_k належать сили, що задаються та враховуються в разі силового розрахунку незалежно від їх фізичної природи /сили інерції, технологічні сили, сили ваги та сили тертя/.

У механізмах з одним ступенем вільності можливі переміщення збігаються з дійсними, тому варіації dS_i та $d\varphi_k$ можна замінити їх диференціалами dS_i та $d\varphi_k$. Тоді, розділивши рівняння /3.31/ на $d\varphi_k$, дістанемо

$$M_k + \sum_i P_i \frac{dS_i}{d\varphi_k} + \sum_k M_k \frac{d\varphi_k}{d\varphi_k} = 0, \quad /3.32/$$

де $dS_i/d\varphi_k = S'$ – аналог швидкості точки прикладання сили P_i ; $d\varphi_k/d\varphi_k = \omega_k$ – аналог кутової швидкості ланки k . Ці величини було знайдено в результаті кінематичного дослідження.

Перевіривши виконання рівняння /3.32/, можна переконатися в правильності силового розрахунку.

3.3. Визначення параметрів одномасової динамічної моделі машинного агрегату

3.3.1. Приведення сил.

3.3.1.1. Якщо механізм має один ступінь рухомості, його динамічне дослідження можна значно спростити, виконавши приведення сил і мас, тобто замінивши реальний механізм його одномасовою динамічною моделлю /рис. 3.11/, яку можна подати у вигляді диска, пов'язаного із ланкою приведення, якою звичайно вибирають початкову ланку механізму. Динамічна модель повинна мати деякий еквівалентний момент інерції, який у подальшому будемо називати приведеним моментом інерції механізму. Щоб зберегти закон руху моделі тотожним закону руху механізму, до ланки приведення має бути прикладено момент, дія якого є еквівалентною дією системи сил, – прикладе-

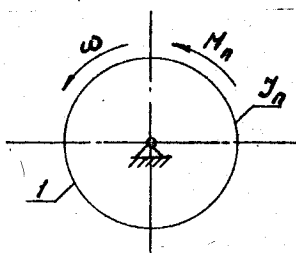


Рис. 3.11

них до механізму. Цей момент будемо називати приведеним моментом системи прикладених сил, або приведеним моментом.

Застосування одномасової динамічної моделі допускається тоді, коли жорсткість усіх ланок є достатньо великою. З едноючи різні вузли машинного агрегату за допомогою пружних муфт, необхідно користуватись двомасовою чи більш складними моделями. Ці випадки виходять за межі курсового проекту.

3.3.1.2. Розглянемо умови еквівалентної заміни мас механізму та діючих на нього сил. Застосувавши теорему про зміну кінетичної енергії до механізму на відрізку зміни кута повороту початкової ланки від φ_1 до φ_2 , дістанемо

$$T_2 - T_1 = A_{1-2}, \quad /3.33/$$

де T_1, T_2 – кінетична енергія механізму в положенні відповідно $1:2$; A_{1-2} – робота сил, що задаються, на цьому самому відрізку.

Оскільки в процесі динамічного доопідждення машинних агрегатів використовуються рівняння руху, у правій частині рівняння /3.33/ розраховується робота реальних сил, що діють на ланки механізму. Тому до їх числа сили інерції не включаються.

Щоб зберегти закон руху початкової ланки при заміні механізму його моделлю, необхідно зберегти незмінними праву та ліву частини рівняння /3.33/. Тому, використовуючи поняття про приведений момент системи сил, приходимо до такого висновку.

Робота приведеного моменту на будь-якому нескінченно малому переміщенні механізму має дорівнювати сумі елементарних робіт діючих на нього сил.

3.3.1.3. Розглянемо визначення приведеного моменту для криволінійного-позвунного механізму, зображеного на рис. 3.10. Якщо при повороті початкової ланки на кут $d\varphi_1$ повзун 3 перемістиєся на dS_3 , шатун повернувся на кут $d\varphi_2$ і точка прикладання сили P_2 перемістилась на dS_2 , то умова рівності робіт приведеного моменту та звідної системи виразиться так:

$$M_n d\varphi_1 = P_3 dS_3 + P_2 dS_2 \cos\alpha_2 + M_2 d\varphi_2,$$

де α_2 – кут між силою P_2 і напрямом переміщення точки II прикладання.

Розділивши на $d\varphi_1$, дістанемо

$$M = P_3 \frac{dS_3}{d\varphi_1} + P_2 \frac{dS_2}{d\varphi_1} \cos\alpha_2 + M_2 \frac{d\varphi_2}{d\varphi_1}, \quad /3.34/$$

де $dS/d\varphi$, $dS_2/d\varphi_1$ – аналоги швидкості точок прикладання сил; $d\varphi_1/d\varphi_2$ – аналог кутової швидкості ланки, до якої прикладено момент M_2 .

3.3.1.4. Для практичного використання формулі /З.34/ необхідно виконати перший та другий етапи кінетичного дослідження та знайти необхідні значення аналогів швидкостей. За наявності достатнього обсягу пам'яті до неї мають бути занесені значення звідних сил в усіх розглядуваних положеннях. Виконуючи послідовно обчислення для заданих положень механізму, знаходимо аналоги швидкостей і потім обчислюємо приведений момент за /З.34/. Якщо обчислення виконуємо за допомогою ПМК, то в програмі необхідно передбачити обчислення аналога швидкості точки прикладання сили і введення відповідного значення звідної сили, після чого за /З.34/ знаходимо M_n .

Для складних механізмів доцільно користуватись методом чисельного диференціювання. Для чотириланкових механізмів можна використовувати метод проектування планів. Як приклад у дод. I наводиться програма I.6 для обчислення приведеного моменту V -подібного кри-вошипно-повзунного механізму /використовується в компресорах і двигунах внутрішнього згоряння/, яка дає можливість обчислити також потужність двигуна та його приведений момент інерції.

3.3.1.5. Формулу /З.34/ можна застосовувати до будь-яких сил незалежно від їх фізичної природи. Приведення сил можна виконати окремо дляожної групи сил, що діють на механізм.

У курсовому проекті треба побудувати окремо графіки приведено-го моменту сил ваги, технологічних сил і сил тертя. Якщо на ланки механізму діє кілька технологічних сил, іноді доцільно побудувати приведений момент кожної з цих сил. Так, у процесі проектування V -подібного двигуна /рис. З.12/ треба знайти окремо приведені моменти M_2 і M_5 від сил тиску газів на правий і лівий поршні та побудувати їх графіки. Це дає змогу виразніше уявити собі вплив кожної із сил на динаміку механізму та проконтролювати правильність розв'язання задачі.

У табл. З.1 наведені вихідні дані та результати розрахунку приведених моментів M_2 , M_5 , $M_n = M_2 + M_5$ для двигуна, в якого $\ell_1 = 0,05$ м; $\ell_2 = \ell_3 = 0,16$ м і кут між осями циліндрів $\alpha = 90^\circ$. Графік сили тиску на поршень задано у вигляді розгорнутої індикаторної діаграми $Q = f(\varphi)$, зображеної на рис. З.13 а.

На основі табл. З.1 побудовано графіки $M_2(\varphi)$, $M_5(\varphi)$, $M_n(\varphi)$, що зображені на рис. З.13, б. За початок відліку кута взято положення механізму, що відповідає нижній мертвій точці /НМТ/ правого циліндра. Із рис. З.13, б видно, що графік $M_n(\varphi)$ зовсім не схожий на графіки приведених моментів кожного із циліндрів і побудувати його за даними табл. З.1 без даних про зміну M_2 і M_5 важко.

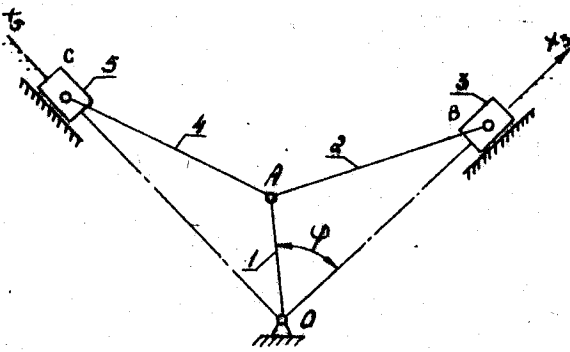


Рис. 3.12

Таблица 3.1

i	$Q_2, \text{кН}$	$Q_5, \text{кН}$	$M_2, \text{кН}\cdot\text{м}$	$M_5, \text{кН}\cdot\text{м}$	$M_n, \text{кН}\cdot\text{м}$	$J_V \cdot 10^3, \text{кг}\cdot\text{м}^2$
0	0	-40	0	2,000	2,000	7,5
I	-2,5	-21	-0,004	0,761	0,716	4,93
2	-6,0	-8	-0,217	0,145	-0,072	4,93
3	-12,0	0	-0,600	0	-0,600	7,6
4	-20,0	-2,5	-1,006	-0,004	-1,052	8,58
5	-33,0	-6,0	-1,050	-0,217	-1,269	6,99
6	-50,0	-12,0	0	-0,600	-0,600	7,5
7	-76,0	-20,0	2,420	-1,006	1,414	10,6
8	-62,0	-33,0	3,120	-1,051	2,069	10,6
9	-40,0	-50,0	2,000	0	2,000	7,5
10	-21,0	-76,0	0,761	2,420	3,182	6,99
11	-8,0	-62,0	0,145	3,120	3,226	8,58
12	0	-40,0	0	2,000	2,000	7,5

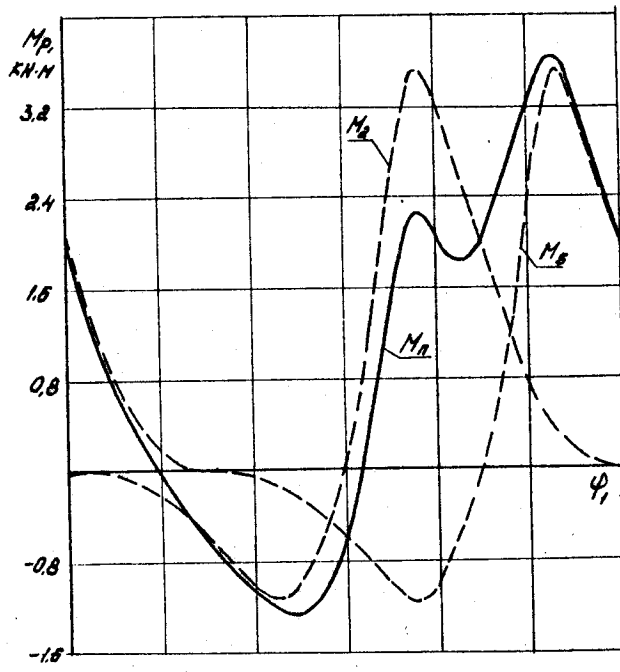
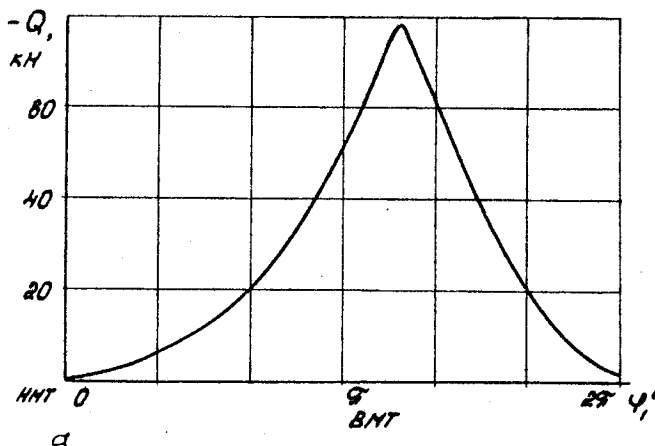


Рис. 3.13

3.3.1.6. Відзначимо особливість при обчисленні приведеної сили тертя. Унаслідок фізичної природи сил тертя робота сили в кожній кінематичній парі завжди є негативною. Тому можна не брати до уваги знаки сили тертя та відносної швидкості, а обчислювати відповідний доданок приведеного моменту:

де F_{nq} - сила тертя; S'_{n-q} - аналог відносної швидкості в поступальній парі.

Аналогічний вираз можна записати також для обертової пари.

3.3.2. Визначення потужності та коефіцієнта корисної дії машини.

3.3.2.1. Потужність і ККД - найважливіші техніко-економічні показники машини, що характеризують її технічну досконалість. Щоб визначити ці параметри, необхідно обчислити роботу за цикл технологічних сил і сил тертя в кінематичних парах. Оскільки елементарна робота сил, що діють на механізм, дорівнює роботі приведеного моменту, то роботу за цикл можна визначити за формулами

$$A_g = \int_{2\pi} M_g d\varphi; A_c = \int_0^{\pi} M_c d\varphi; A_F = \int_0^{2\pi} M_F d\varphi, \quad /3.35/$$

де A_g, A_c, A_F - робота за цикл відповідно сил рушійних, сил корисного опору, сил тертя; M_g, M_c, M_F - приведені моменти цих самих сил.

За фізичним смыслом величин, що обчислюються,
 $A_g > 0; A_c < 0; A_F < 0.$

ККД і потужність робочої машини

$$\eta = A_c / (A_c + A_F); P = -(A_c + A_F) / T, \quad /3.36/$$

де T - час циклу.

Для машини-двигуна

$$\eta = (A_g + A_F) / A_g; P = (A_g + A_F) / T. \quad /3.37/$$

3.3.2.2. Розглянемо обчислення робіт згідно з формулами /3.35/. У даному разі виникає необхідність чисельного інтегрування функції, заданої таблично. Доцільніше скористатися для цього формулою Сільсона, яка дає високу точність обчислення інтеграла за порівняно невеликої кількості вузлових точок. Як відомо [29, с. 371-373],

$$\int_a^b y dx = \frac{h}{3} (y_0 + 4y_1 + 2y_2 + \dots + 4y_{2n-1} + y_{2n}), \quad 13.38/$$

де $2n$ - парне число ділянок, на які розбито відрізок інтегрування $[\alpha, \beta]$; h - відстань між сусідніми вузловими точками,

$$h = (\beta - \alpha) / 2n;$$

$y_0, y_1, y_2, \dots, y_{2n-1}, y_{2n}$ - значення підінтегральної функції у вузлових точках.

Програма інтегрування за методом Сімпсона функції, заданої таблично, наводиться в [14, програма 5.5]. На її основі було складено програму 1.6 /дод. 1/, в якій для V -подібного криовошипно-повзуного механізму одночасно визначаються приведений момент технологічних сил, приведений момент інерції та потужність технологічних сил.

Програма складається з головного модуля та підпрограми двох рівнів. Підпрограма першого рівня містить обчислення M_r і J_r , підпрограма другого рівня - обчислення аналога швидкості поршня. Підпрограма другого рівня викликається з підпрограми першого.

У разі використання персональної ЕОМ блока визначення M_r і J_r включаються всередину основного циклу обчислень, а процедуру інтегрування зручніше оформити у вигляді окремого циклу, як це зроблено в програмі 2.2 /дод. 1/.

Як приклад було обчислено роботу рушійних сил у правому та лівому циліндрах V -подібного двигуна, приведені моменти для якого було знайдено в п. 3.3.1.5. Частоту обертання колінчастого вала було взято такою, що дорівнює 2500 хв^{-1} .

Оскільки розглядається чотиритактний двигун, час циклу T дорівнює часу двох обертів колінчастого вала; отже, для даного механізму

$$T = \frac{120}{\pi} = \frac{120}{2500} = 0,048 \text{ с.}$$

Оскільки точність інтегрування залежить від числа розглядуваних положень, розрахунок було виконано за числа вузлових точок $n = 6, 12, 24$. У результаті обчислень було отримано такі значення потужності рушійних сил /індикаторної потужності/: $P = 124,3 \text{ кВт}$; $P = 120,58 \text{ кВт}$; $P = 120,08 \text{ кВт}$.

Якщо результати розрахунку взяти по 24 точках за 100%, та похибка при 12 точках становить $\approx 0,5\%$ і навіть при 6 точках - $3,5\%$, що свідчить про високу ефективність методу Сімпсона.

Аналогічні розрахунки для поперечно-стругального верстата наведені в дод. 2.

3.3.2.8. Після визначення потужності агрегату за довідковою літературою треба визначити марку двигуна, який буде встановлено для привода. У більшості робочих машин використовуються короткозамкнені асинхронні двигуни загального призначення. Дані про них наводяться в [18], дані про двигуни постійного струму, а також про спеціальні краново-металургійні асинхронні двигуни - в [5].

Для подальшого динамічного розрахунку з таблиць, що наводяться в довідковій літературі, треба вписати момент інерції ротора двигуна. У деяких працях, наприклад у [18], вказано не момент інерції ротора, а пропорційну йому величину GD^2 , одиниця якої - $\text{kgs} \cdot \text{m}^2$.

Залежність між J та GD^2

$$J = GD^2 / 4,$$

де J виражається в кілограм-метрах у квадраті $/\text{kgr} \cdot \text{m}^2$, G - у кілограм-силах $/\text{kgs}$, а D - у метрах $/\text{m}$.

3.3.3. Приведення мас

3.3.3.1. Щоб забезпечити еквівалентність лівих частин рівняння /3.38/ для механізму та його динамічної моделі, має виконуватись така умова: кінематична енергія приведеного моменту інерції моделі має в кожний момент часу дорівнювати кінетичній енергії механізму.

Із курсу теоретичної механіки [36, § 147, 148] відомо, що для ланки i , яка здійснює плоско-паралельний рух, кінетична енергія

$$T_i = \frac{m_i v_{si}^2}{2} + \frac{J_{si} \omega_i^2}{2}, \quad /3.39/$$

де m_i - маса ланки; J_{si} - момент інерції відносно осі, що проходить крізь центр мас s_i і перпендикулярна до основної площини механізму; ω_i , v_{si} - швидкість відповідно кутова ланки та центра мас ланки.

Якщо ланка здійснює поступальний рух, другий доданок у /3.39/ дорівнює нуль; якщо вона здійснює обертальний рух, то два доданки в /3.39/ можна замінити одним:

$$T_i = \frac{J_{oi} \omega_i^2}{2},$$

де J_{oi} - момент інерції ланки відносно осі обертання.

Сформульовану умову рівності кінетичної енергії можна записати так:

$$\frac{\mathcal{J}_n \omega^2}{2} = \sum_{i=1}^{i=n} \mathcal{J}_i \cdot \quad /3.40/$$

Пояснимо властивості приведеного моменту інерції на прикладі механізму стругального верстата /див. рис. 2.1/. У цьому разі рівняння /3.40/ набуває вигляду

$$\mathcal{J}_n \omega^2 = \mathcal{J}_{o_1} \omega^2 + \frac{m_2 V_2^2}{2} + \frac{\mathcal{J}_2 \omega_2^2}{2} + \frac{\mathcal{J}_{o_3} \omega_3^2}{2} + \frac{m_4 V_{s4}^2}{2} + \frac{m_5 V_s^2}{2}.$$

Розв'язавши це рівняння відносно \mathcal{J}_n , дістанемо

$$\mathcal{J}_n = \mathcal{J}_{o_1} + m_2 \ell_1^2 + \mathcal{J}_2 \left(\frac{\omega_2}{\omega} \right)^2 + \mathcal{J}_{o_3} \left(\frac{\omega_3}{\omega} \right)^2 + m_4 \left(\frac{V_{s4}}{\omega} \right)^2 + m_5 \left(\frac{V_s}{\omega} \right)^2$$

Спів множники в дужках є аналогами або швидкостей або кутових швидкостей, що визначаються в результаті кінематичного дослідження. Графік \mathcal{J}_n для розглянутого механізму наведений у дод. 2.

Із формулі /3.41/ випливає, що приведений момент інерції 1/ величина позитивна; 2/ величина змінна; 3/ функція кута повороту, але від значення ω не залежить.

Дійсно, зі зміною ω змінюються чисельники спів множників, що стоять у дужках. Зі зміною ω однаково змінюються і чисельник, і знаменник, а сам дріб залишається без змін.

Висновок про зміну приведеного момента інерції справедливий для шарнірно-важільних механізмів. Якщо розглядати найпоширеніші зубчасті механізми з круглими колесами, то в них відношення кутової швидкості будь-якої ланки до кутової швидкості ланки приведення залишається постійним навіть коли кожна з цих величин змінюється /наприклад, при розгоні механізму/.

Приведемо момент інерції триступінчастого редуктора /див. рис. 4.1/ до валу 4:

$$\mathcal{J}_{n4} = \mathcal{J}_1 \left(\frac{\omega_1}{\omega_4} \right)^2 + \mathcal{J}_2 \left(\frac{\omega_2}{\omega_4} \right)^2 + \mathcal{J}_3 \left(\frac{\omega_3}{\omega_4} \right)^2 + \mathcal{J}_4,$$

де $\omega_1/\omega_4 = u_1$, $\omega_2/\omega_4 = u_2 u_3$, $\omega_3/\omega_4 = u_3$ - передаточні числа редуктора та його ступенів, які виражаються через числа зустрічних коліс і є сталими величинами.

Якщо приводяться всі маси машинного агрегату, то мають ураховуватись маси шарнірного механізму, що дають змінний доданок. Постійний доданок дає також маса маховика, якщо його використано для згладжування періодичних коливань кутової швидкості головного вала.

3.3.3.2. Обчислення приведеного моменту інерції шарнірно-важильних механізмів можна спростити, якщо застосувати метод статичного розносу мас. Даний метод є наближенням, але похибка, що виникає в цьому разі, цілком допустима для технічних розрахунків.

У разі використання методу розносу мас реальна ланка AB /рис. 3.14/ масою m і з моментом інерції \mathcal{J}_S відносно центральної осі замінюється двома заміщаючими масами m_A і m_B , зосередженими в точках A і B , якщо виконати умови $m_A + m_B = m$; $m_A x_A + m_B x_B = 0$, де x_A , x_B - координати точок A і B в системі, пов'язаній із ланкою AB і початком координат у точці S . Якщо записані рівняння задоволюються, то центр мас m_A і m_B зберігає своє положення в точці S , тому перший доданок у /3.39/ зберігається незмінним.

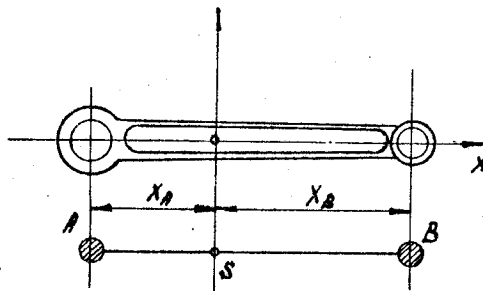


Рис. 3.14

Момент інерції заміщаючих мас відрізняється від моменту інерції реальної ланки, але цією похибкою будемо нехтувати.

Якщо, наприклад, виконати статичний рознос мас ланки 4 для механізму стругального верстата, то

$$\mathcal{J} = \mathcal{J} + \mathcal{J} \bar{\omega}^2 + m (S')^2, \quad /3.41/$$

де $\mathcal{J}'_{o_1} = \mathcal{J}_{o_1} + m_{c4} l_{c4}^2$; $\mathcal{J}'_{o_3} = \mathcal{J}_{o_3} + m_{c4} l_{c4}^2$; $m_f = m_{c4} + m_{D4}$; $\bar{\omega}_3$ - аналог кутової швидкості ланки 3; S' - аналог швидкості точки D ; m_{c4} , m_{D4} - частини маси ланки 4, рознесені в точки C і D .

Використання методу розносу мас дає змогу отримати таку формулу для приведеного моменту інерції \sqrt{V} -подібного кривошипно-повзунного механізму /див. рис. 3.12/:

$$\mathcal{I}_n = \mathcal{I}' + m'_A(S'_A)^2 + m'_B(S'_B)^2 + m'_C(S'_C)^2, \quad /3.42/$$

де $\mathcal{I}' = \mathcal{I} + 2m_3$; $m'_A = m_1 + m_4$; $m'_B = m_2 + m_3$; $m'_C = m_5 + m_6$; m_3, m_5 - маса поршня відповідно 3 і 5; m_1, m_2, m_3 - заміщаючі маси, отримані від статичного розносу мас шатунів у точках A, B, C; S'_A, S'_B, S'_C - аналоги швидкості точок B і C.

Обчислення приведеного моменту інерції для цього механізму можна виконувати за допомогою програми I.6, яка містить обчислення приведеного моменту технологічних сил і приведеного моменту інерції.

В останньому стовпці табл. 3.1 записано значення змінної частини приведеного моменту інерції

$$\mathcal{I}_v = m'_B(S'_B)^2 + m'_C(S'_C)^2, \quad /3.43/$$

розрахованого за припущення, що $m_1 = m_4 = 3 \text{ кг}$.

Графік величини $\mathcal{I}_v(\varphi)$ зображеній на рис. 3.15.

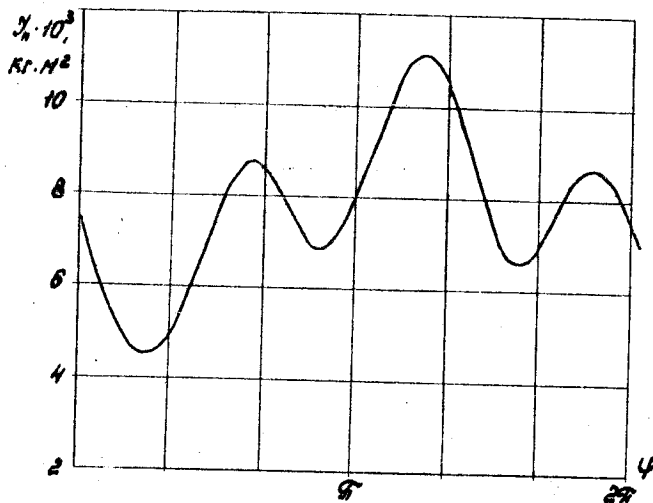


Рис. 3.15

3.4. Дослідження усталеного руху машинного агрегату та розрахунок маховика

3.4.1. Усталений рух машинного агрегату.

3.4.1.1. Основний робочий режим більшості машинних агрегатів – усталений рух.

У разі усталеного руху кутова швидкість початкової ланки або постійна, або періодично коливається близько деякого середнього значення.

Кут, на який повертається початкова ланка за один період усталеного руху, називається цикловим. Для більшості механізмів цикловий кут дорівнює 2π . Виняток становлять двигуни внутрішнього згоряння, в яких

$$\varphi = \pi \bar{\nu} / Z,$$

де $\bar{\nu}$ – тактність двигуна /2 або 4/; Z – число циліндрів у ряду.

Запишемо теорему про зміну кінетичної енергії машини для двох довільних моментів часу 1 і 2, користуючись виконаним раніше приведенням сил і мас:

$$\frac{J_{n_2} \omega_2^2}{2} - \frac{J_{n_1} \omega_1^2}{2} = \int_{\varphi_1}^{\varphi_2} M_n d\varphi, \quad /3.44/$$

де J_{n_1}, J_{n_2} – приведений момент інерції машини в положеннях відповідно 1 і 2; ω_1, ω_2 – кутова швидкість головного вала машини в положеннях відповідно 1 і 2.

Із рівняння /3.44/ випливає, що коли φ_1 і φ_2 відповідають початку та закінченню циклу усталеного руху, ліва частина записаного рівняння дорівнює нулю. Отже, за усталеного руху

$$\int_{\varphi_1}^{\varphi_2} M_n d\varphi = 0. \quad /3.45/$$

Таким чином, робота зовнішніх сил, прикладених до механізму за цикл усталеного руху, дорівнює нулю.

3.4.1.2. Динаміка машинних агрегатів значною мірою залежить від того, постійною чи змінною є величина M_n та від яких аргументів вона залежить, якщо є змінною.

Із п. 3.3.2 випливає, що у машинного агрегату, що містить шарнірно-важільний механізм, M_n залежить від кута повороту початкової ланки цього механізму.

Крім того, технологічні сили, прикладені до ланок механізму, можуть залежати від кута повороту початкової ланки. Прикладом можуть служити сили тиску повітря на поршні компресора чи робочої суміші на норшень ДВС.

Якщо сила залежить лише від кута повороту початкової ланки, вона називається позиційною.

У багатьох сучасних машинах технологічні сили залежать від швидкості обертання початкової ланки. До числа таких сил належать електромагнітні сили, що діють в електричних машинах і апаратах, сили тиску газів і рідин у пневмо- та гідромашинах. Якщо машинний агрегат знаходиться під дією системи керування, то діючі на його ланки сили служать функціями часу. Останній випадок вивчається в курсі автоматичного керування виробничими процесами, тому в даному посібнику не розглядається.

3.4.1.3. Якщо на ланки машини діють лише позиційні сили, для виходу на усталений режим необхідно застосовувати систему керування, яка приведе до відповідності роботу рушійних сил і сил опору так, щоб виконувалась умова /3.45/. У цьому разі розрахувати інтеграл у правій частині рівняння /3.44/ порівняно проото, якщо приведений момент опору зберігає стало значення.

Якщо рушійні сили та сили опору залежать від кутової швидкості ланки приведення, машинний агрегат може виходити на усталений режим без будь-яких зовнішніх дій. Характерним прикладом такого агрегату є відцентровий насос з електроприводом. У цьому разі залежності $M_{\text{нр}}$ і $M_{\text{нр}}^+$ від кутової швидкості початкової ланки показані на рис. 3.16, де помічено кутову швидкість усталеного режиму ω_K , за якої $M_{\text{нр}} + M_{\text{нр}}^+ = 0$. Для стійкості усталеного режиму таких агрегатів при $\omega = \omega_K$ має виконуватись умова

$$\frac{\partial M_{\text{нр}}}{\partial \omega} - \frac{\partial M_{\text{нр}}^+}{\partial \omega} < 0, \quad /3.46/$$

оскільки в цьому разі при $\omega < \omega_K$ маємо $\Delta M > 0$, і навлаки /рис. 3.16/. Якщо для агрегату виконується умова /3.46/, для нього характерна властивість саморегулювання.

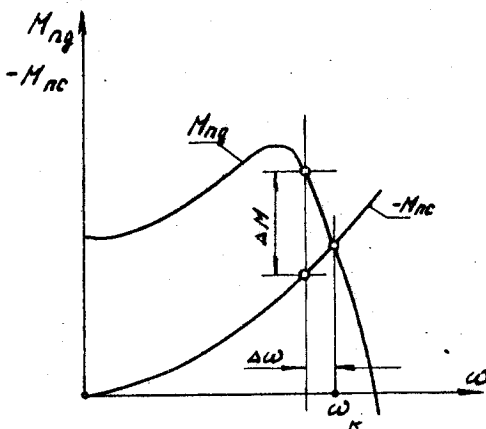


Рис. 3.16

3.4.2. Дослідження руху під дією позиційних сил.

3.4.2.1. Динамічне дослідження машинного агрегату суттєво залежить від того, чи є діючі сили позиційними. Розглянемо спочатку найпростіший випадок дослідження руху під дією позиційних сил.

У цьому разі інтеграл у правій частині рівняння /3.44/ можна обчислити попередньо, оскільки підінтегральна функція в /3.43/ не залежить від шуканої величини ω . Якщо застосувати /3.43/ до ділянки від $\varphi = 0$ до деякого поточного значення φ , дістанемо

$$\frac{\mathcal{J}_n \omega^2}{2} = T_0 + \int_0^\varphi M_n d\varphi = T_0 + A(\varphi), \quad /3.47/$$

де T_0 – кінетична енергія механізму в початковому положенні.

Візьмемо наближено, що кутова швидкість початкової ланки при $\varphi = 0$ дорівнює заданому середньому значенню ω_0 . Тоді

$$T_0 = \frac{\mathcal{J}_n \omega_0^2}{2}.$$

Розв'язавши рівняння /3.47/ відносно ω^2 , дістанемо

$$\omega^2 = \frac{2(T_0 + A(\varphi))}{\mathcal{J}_n}. \quad /3.48/$$

Інтеграл $A(\varphi)$ у /3.47/ можна обчислити чисельним інтегруванням за методом трапецій:

$$A(\varphi) = \int M_n d\varphi \approx \sum_{k=1}^{\frac{n}{2}} \frac{M_{n,k} + M_{n,k-1}}{2} \Delta\varphi, \quad 3.49/$$

де $\Delta\varphi$ - відстань між положеннями механізму, що відповідають кутам φ_i і φ_{i-1} .

3.4.2.5-1. Для наочного уявлення про зміну кутової швидкості за цикл усталеного руху скористаємося графічною інтерпретацією рівняння /3.48/. Для цього побудуємо графіки $T + A(\varphi)$ /рис. 3.17/ і $J(\varphi)$. Другий графік будуємо повернутим на кут 90° так, щоб вісь $O_2\varphi$ було спрямовано вертикально догори.

У точці O_3 перетину осей $O_1\varphi$ і $O_2\varphi$ первого та другого графіків виберемо початок координат O_3 системи $O_3\varphi$. У цій системі координат побудуємо криву зміни кінетичної енергії залежно від приведеного моменту інерції. Розглянемо побудову однієї точки цієї кривої, що відповідає довільному /наприклад, другому/ значенню кута φ . Позначимо значення $T(\varphi)$ та $J(\varphi)$ і крізь знайдені точки B і C проведемо горизонтальну та вертикальну прямі. Точка D їх перетину належить шуканій кривій. Повторивши побудову для восьми - десяти точок на відрізку $[O, 2\pi]$, дістанемо замкнену криву Віттенбауера.

Зєднаємо точку D з початком координат і позначимо кут θ , який складає відрізок O_3D з віссю $O_3\varphi$. Із креслення випливає, що

$$\operatorname{tg} \theta = \frac{DE}{O_3E} = \frac{T + A(\varphi)}{\mu_r} \frac{\mu_r}{J_n}.$$

Повертаючись до формули /3.48/, бачимо, що

$$\operatorname{tg} \theta = \frac{\omega^2}{2} \frac{\mu_r}{\mu_r}, \quad 3.50/$$

де μ_r, μ_r - масштаби графіків $J(\varphi)$ та $T(\varphi)$, що використані на рис. 3.17.

Таким чином, кути θ пропорційні квадрату миттевого значення кутової швидкості початкової ланки. Переходячи від точки до точки на кривій Віттенбауера, можна прослідкувати за зміною кутової швидкості за усталеного руху агрегату. Зокрема, можна знайти її максимум.

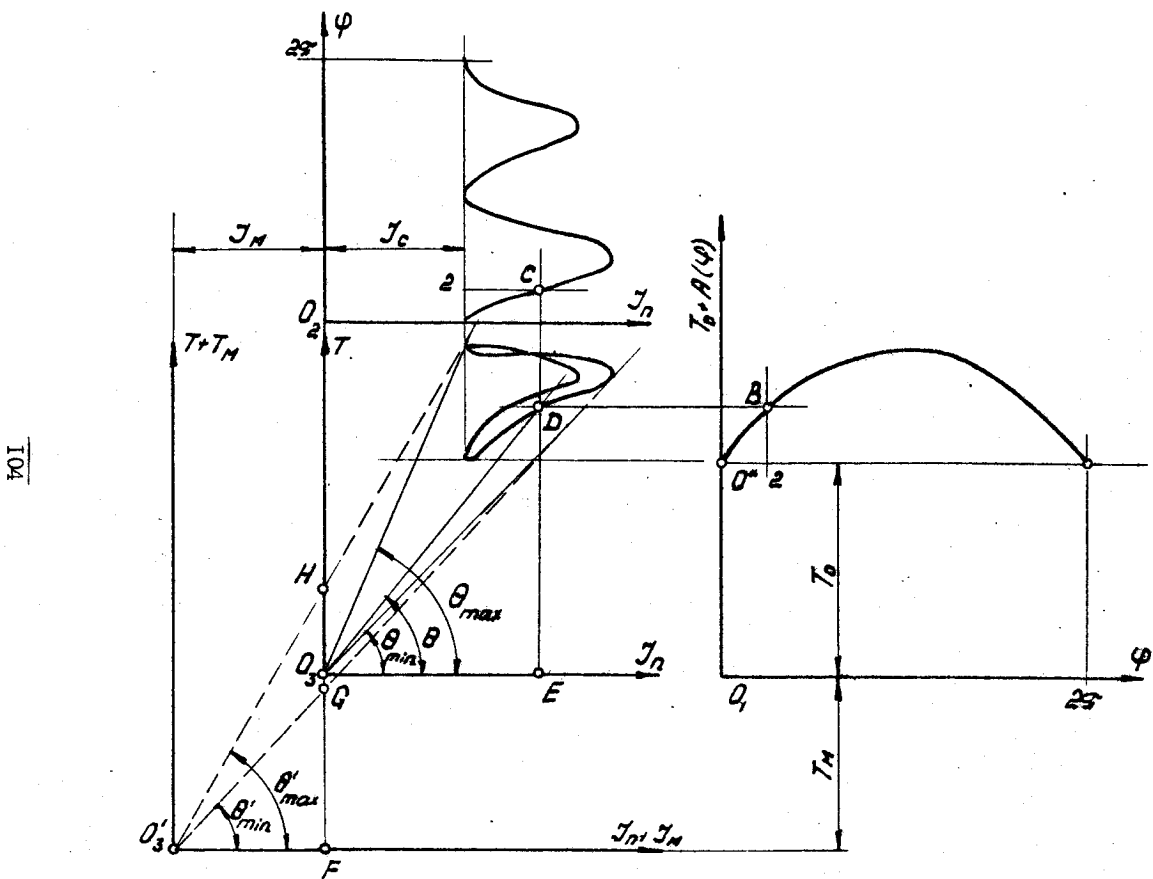


Рис. 3.17

мальне та мінімальне значення. Для цього достатньо провести дві зовнішні дотичні до кривої Віттенбауера та позначити кути θ_{\max} і θ_{\min} . Тоді

$$\omega_{\max} = \sqrt{\frac{2\mu}{\mu_1} \operatorname{tg} \theta_{\max}}; \quad \omega_{\min} = \sqrt{\frac{2\mu}{\mu_1} \operatorname{tg} \theta_{\min}} \cdot /3.51/$$

Тепер можна обчислити коефіцієнт нерівномірності усталеного руху:

$$\delta = \frac{\omega_{\max} - \omega_{\min}}{\omega_{cp}}. \quad /3.52/$$

Із рис. 3.17 видно, що $\delta = 0$ /тобто $\omega = \text{const}$ / у тих агрегатів, де виконуються умови

$$J = \text{const}; \quad A(\varphi) = 0.$$

Для цього агрегат повинен містити лише обертові деталі, а приведені моменти рушійних сил і сил опору не повинні залежати від φ . Прикладами таких агрегатів є турбо- та гідрогенератори, відцентрові насоси, вентилятори та повітродувки з електроприводом, деякі механізми вантажопідйомних машин.

3.4.2.3. Нерівномірність обертання головного вала машини звичайно шкідливо відбивається на виконуваних технологічних процесах. Тому на основі досвіду експлуатації для кожного типу машин встановлено гранично допустимі значення δ . Виконавши описані побудови чи обчисливши аналітично ряд значень кутової швидкості за /3.48/, можна знайти коефіцієнт нерівномірності δ та порівняти його з допустимим для даного типу машин значенням. Якщо δ перевищує допустимі межі, на валу початкової ланки треба закріпити додаткову махову масу з моментом інерції J_m , яка дасть змогу зменшити коливання кутової швидкості головного вала машини до допустимих значень.

Таким чином, проекуючи машину, необхідно розв'язати задачу визначення J_m , якщо задано графіки $J(\varphi)$; $A(\varphi)$, середнє значення кутової швидкості ω_{cp} і допустимий коефіцієнт нерівномірності $[\delta]$.

Виконаємо побудову кривої Віттенбауера для машини з маховиком. Для цього постійна складова J_n має бути збільшена на J_m , а початкове значення кінетичної енергії - на J_m /кінетичну енергію маховика/. Таким чином, початок координат /див. рис. 3.17/ має переміститись у точку O_3 . Крива Віттенбауера залишається в цьому разі

незмінною. Положення точки O'_3 має бути таким, щоб значення кутів θ_{\max} і θ_{\min} відповідали кутовим швидкостям, допустимим за заданого значення коефіцієнта нерівномірності $[\delta]$. Знайдемо це значення.

Із визначення коефіцієнта нерівномірності випливає, що

$$\omega'_{\max} = \omega_{cp} \left(1 + \frac{[\delta]}{2}\right); \quad \omega'_{\min} = \omega_{cp} \left(1 - \frac{[\delta]}{2}\right).$$

Підносячи до квадрату і відкидаючи члени другого порядку ма-
лості, дістаємо

$$(\omega'_{\max})^2 = \omega_{cp}^2 (1 + [\delta]); \quad (\omega'_{\min})^2 = \omega_{cp}^2 (1 - [\delta]).$$

і, як це випливає з /3.50/,

$$\operatorname{tg} \theta'_{\max} = \frac{\omega_{cp}^2 (1 + [\delta])}{2} \frac{\mu}{\mu_r}; \quad \operatorname{tg} \theta'_{\min} = \frac{\omega_{cp}^2 (1 - [\delta])}{2} \frac{\mu}{\mu_r}. /3.53/$$

Отже, побудувавши криву Віттенбауера для машини без маховика, до неї треба провести дотичні під кутами θ_{\max} і θ_{\min} та знай-
ти точку O'_3 їх перетину. У цьому разі навіть необов'язково знати
 T , а треба відкладати величину $A(S)$ у системі координат AO'_3S .

Вимірюванням відрізка O'_3F визначаємо необхідний момент інер-
ції маховика.

3.4.2.4. Практична реалізація описаного методу викликає тех-
нічні труднощі, викликані тим, що в разі реальних значень $[\delta]$ кути θ_{\max} і θ_{\min} мало розрізняються і точка O'_3 може вийти
далеко за межі креслення. Щоб обійти необхідність визначення точ-
ки O'_3 , прозначимо точки H і G перетину променів, проведених під
кутами θ_{\max} і θ_{\min} з віссю O'_3T .

Із креслення випливає, що

$$\operatorname{tg} \theta'_{\max} = \frac{FH}{O'_3 F}; \quad \operatorname{tg} \theta'_{\min} = \frac{FG}{O'_3 F};$$

$$\operatorname{tg} \theta'_{\max} - \operatorname{tg} \theta'_{\min} = \frac{FH - FG}{O'_3 F} = \frac{GH}{O'_3 F}.$$

Але відрізок O'_3F зображує в масштабі μ момент інерції
махової маси J_M , отже,

$$\operatorname{tg} \theta'_{\max} - \operatorname{tg} \theta'_{\min} = \frac{GH}{J_M \mu}.$$

Проте з рівнянь /3.53/ випливає, що

$$\operatorname{tg} \theta'_{\max} - \operatorname{tg} \theta'_{\min} = \frac{\omega_{cp}^2 [\delta] \mu_s}{\mu_r}.$$

Прирівнюючи праві частини двох останніх рівнянь, дістаемо

$$J_m = \frac{G H}{[\delta] \omega_{cp}^2}.$$

Із цього виразу випливає, що момент інерції маховика є зворотно пропорційний допустимому значенню $[\delta]$ та квадрату середньої кутової швидкості, тому маховики швидкоїдних машин матимуть менший момент інерції, а отже, менші вагу та розміри.

Задаючи допустиме значення $[\delta]$, необхідно пам'ятати, що збільшення його жорсткості приведе до збільшення ваги маховика та подовжить час розгону та гальмування машинного агрегату. Ці обставини необхідно враховувати, наприклад, проектуючи автомобільні двигуни, особливо двигуни легкових автомобілів, для яких час розгону та гальмівний шлях – найважливіші техніко-економічні показники.

3.4.2.5. Крім описаного точного методу розрахунку маховика, запропонованого Віттенбауером для машин, на ланки яких діють позиційні сили, були розроблені наближені методи М.І.Мерцалова [27] та І.І.Артаболевського [2]. Розвитком методу Мерцалова став запропонований точний метод Е.М.Гутъяра [13]. Усі перелічені методи мають приблизно однакову трудомісткість і ґрунтуються на графічних побудовах. Переводити їх на розв'язання за допомогою ЕОМ немає сенсу, оскільки маховик розраховують лише раз. Уточнювати результати графічних побудов немає необхідності, оскільки вихідне допустиме значення $[\delta]$ для кожного типу машин задається тільки орієнтовно.

3.4.3. Дослідження руху та розрахунок маховика агрегатів з приводом від асинхронного двигуна.

3.4.3.1. Перелічені методи розрахунку незастосовні для випадків, коли приведений момент системи зовнішніх сил – це функція кутової швидкості ланки приведення, зокрема, для машин з електроприводом. Широко використовуються машини з приводом від асинхронного двигуна внаслідок переваг останнього перед іншими типами електричних машин [39]. Тому в даному посібнику розглянемо цей вид привода, що має найбільше практичне значення.

Скурідін [35] запропонував метод дослідження усталеного руху з електроприводом, де використано лінійну апроксимацію характеристи-

ки двигуна. Розв'язання цієї задачі викладене на основі параболічної апроксимації [16], що дає можливість значно спростити розрахункову формулу.

3.4.3.2. Розглянемо спочатку задачу визначення миттєвих значень кутової швидкості початкової ланки машинного агрегату за установленого руху. Механічну характеристику асинхронного електродвигуна, що найчастіше використовується в загальному машинобудуванні, показано на рис. 3.18. Вона пов'язує момент M_p , що розвиває двигун, і частоту обертання його ротора ω_p . Позначимо на ній робочу ділянку (H, C) , обмежену точкою H номінального режиму, та точкою C , що відповідає холостому ходу. Номінальний режим відповідає паспортним даним двигуна. Тому номінальний момент електродвигуна, N_m ,

$$M_{ph} = 9549 P_n / \pi_{ph},$$

де P_n - номінальна /паспортна/ потужність двигуна, кВт; π_{ph} - номінальна частота обертання ротора двигуна, хв^{-1} .

На холостому ходу двигуна його момент $M_p = 0$, а частота обертання ω_{pc} /синхронна частота обертання/ дорівнює частоті обертання магнітного поля. Значення P_n , ω_{pc} , π_{ph} необхідно обчислити за [5; 18].

Механічна характеристика в інших масштабах зображує залежність приведеної до початкової ланки моменту двигуна M_p від кутової швидкості останнього. У цьому разі зв'язок між величинами, що відкладають по осіх координат, має такий вигляд:

$$M_p = M_{ph} U_p, \quad \omega_n = \frac{\pi \pi_{ph}}{30 U_p}, \quad \omega_c = \frac{\pi \pi_{pc}}{30 U_p}, \quad /3.54/$$

де U_p - передаточне число редуктора між двигуном і початковою ланкою.

На ділянці (H, C) наближено можна взяти

$$M_p \approx A - B \omega^2, \quad /3.55/$$

де A, B - коефіцієнти, які визначаються з умови, що апроксимуюча парабола проходить крізь точки H і C з координатами $(\omega_n, M_p); (\omega_c, 0)$.

Тоді щоб визначити A і B , необхідно записати рівняння

$$M_p = A - B \omega_n^2;$$

$$0 = A - B \omega_c^2.$$

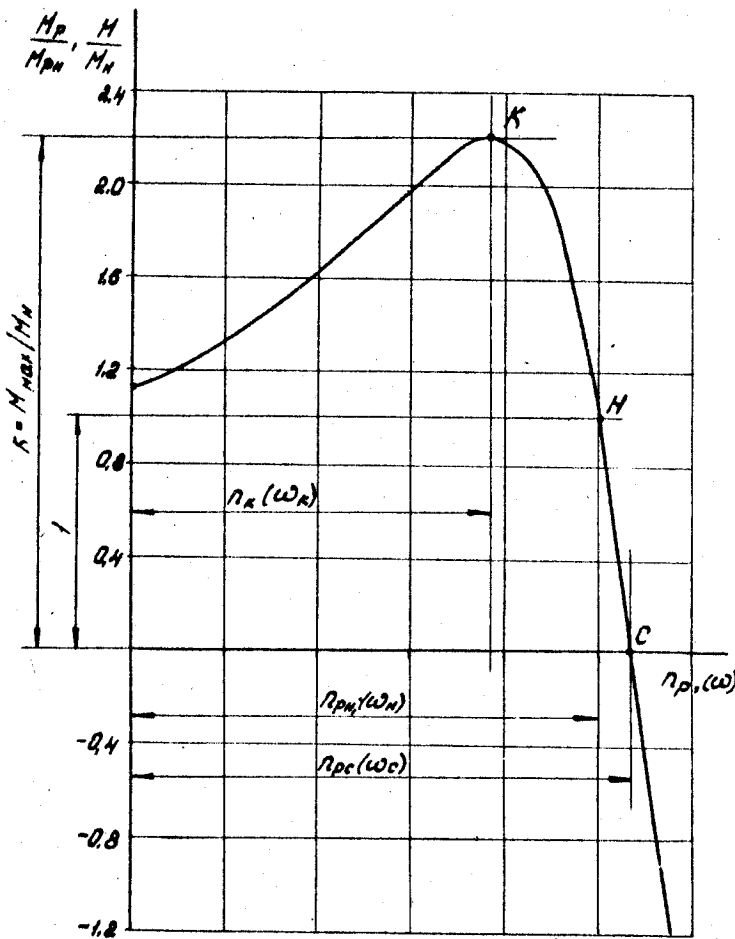


Рис. 3.18

Звідси

$$A = \frac{M_n \omega_c^2}{\omega_c^2 - \omega_n^2}; \quad B = \frac{M_n}{\omega_c^2 - \omega_n^2}. \quad /3.56/$$

3.4.3.3. Posiō' ємо цикловий кут /у більшості випадків $2\pi/$ на n однакових частин і позначимо відповідні вузлові точки на кривій приведеного моменту сил опорів $M_g(\vartheta)$ та на кривій приведеного моменту інерції агрегату $J_n(\vartheta)$. Остання функція містить змінну та постійну складові. Перша зумовлена наявністю виконавчого шарнірно-важільного механізму, друга - приведений момент інерції ротора двигуна та редуктора.

Приведений момент інерції ротора двигуна дорівнює $J_n \omega_n^2$. Обчислення приведених моментів інерції редукторів різних типів докладніше викладено в п. 4.5.2.

Розглянемо два положення механізму з номерами $i-1$ та i /рис. 3.19/, що відповідають повороту початкової ланки від ϑ_{i-1} до ϑ_i .

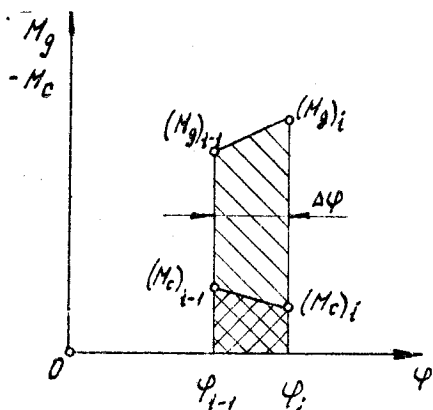


Рис. 3.19

Робота рушійних сил на цьому відрізку

$$A_g = \frac{(M_g)_{i-1} + (M_g)_i}{2} \Delta \varphi.$$

Використовуючи залежність /3.54/, дістаємо

$$A_g = \frac{2A - B\omega_{i-1}^2 - B\omega_i^2}{2} \Delta \varphi.$$

З таким самим ступенем наближення визначається робота сил опору:

$$A_c = \frac{(M_c)_{i-1} + (M_c)_i}{2} \Delta \varphi.$$

Тому, застосовуючи теорему про зміну кінетичної енергії для відрізка $[\vartheta_{i-1}, \vartheta_i]$,

дістаємо

$$\frac{(J_n)_i \omega_i^2 - (J_n)_{i-1} \omega_{i-1}^2}{2} - \frac{(M_c)_{i-1} + (M_c)_i}{2} \Delta \varphi = \frac{(2A - B\omega_{i-1}^2 - B\omega_i^2 + (M_c)_{i-1} + (M_c)_i) \Delta \varphi}{2}.$$

Це рівняння пов'язує значення кутової швидкості ω_i^2 у кінці відрізка та кутової швидкості ω_{i-1}^2 на його початку. Розв'язавши його відносно ω_i^2 , знайдемо

$$\omega_i^2 = \frac{[(J_n)_{i-1} - B\Delta\varphi]\omega_{i-1}^2 + [(M_c)_{i-1} + (M_c)_i + 2A]\Delta\varphi}{(J_n)_i + B\Delta\varphi} \quad /3.57/$$

Змінюючи значення i від одиниці до n , можна кроком за кроком отримати значення ω_i^2 протягом циклового кута 2π . Проте поки залишається відкритим питання про початкове значення ω_0 .

3.4.3.4. Задамо орієнтовно значення ω_0 /у межах робочої ділянки характеристики/ та обчислимо значення $\omega_1, \omega_2, \dots, \omega_n$. Внаслідок наближеного задання ω_0 може статись, що $\omega_0 \neq \omega_n$, тобто умова періодичності не виконується.

Задання довільного початкового значення ω_0 можна розглядати як кінематичне збурення, у результаті якого головному валу надано додаткову кутову швидкість. У п. 3.4.1.3 показано, що система з електроприводом стійка, тобто прагне після збурення повернутись до режиму усталеного руху. Тому виконамо розрахунок для наступного циклу, але тепер як ω_0 візьмемо значення ω_n , знайдене в кінці розрахунку першого оберту. Цей процес будемо продовжувати доти, поки не стане

$$|\omega_n - \omega_0| < \Delta, \quad /3.58/$$

де Δ – допустима похибка у визначенні періодичного руху.

Обсяг обчислень, які необхідно виконати, щоб отримати періодичний розв'язок, залежить від властивостей системи та від того, наскільки взяте початкове значення ω_0 відрізняється від дійсного. Агрегати з асинхронними двигунами характеризуються властивістю саморегулювання, тому звичайно буває достатньо виконати розрахунки для двох обертів початкової ланки або для частини другого оберту.

3.4.3.5. Після того як усталений рух знайдено, можна визначити коефіцієнт нерівномірності δ та порівняти його з допустимим значенням. Якщо

$$\delta > [\delta], \quad /3.59/$$

то необхідно визначити момент інерції маховика, який забезпечить зниження δ до допустимої норми.

Беручи наближено, що значення δ обернено пропорційне постійній складовій J_c приведеного моменту машинного агрегату, дістаємо, що необхідна добавка до моменту інерції

$$\Delta \mathcal{I} = \mathcal{I}_c \frac{\delta - [\delta]}{[\delta]} .$$

/3.60/

Оскільки ця формула є наближеною, може знадобитись кілька пробних розрахунків, поки не виявиться, що в результаті знайдено момент інерції маховика, який забезпечує нерівномірність обертання менше допустимої.

Після визначення моменту інерції маховика, що забезпечує цю умову, необхідно також перевірити, чи не виходить значення ω_{min} за межі відрізка $[\omega_H, \omega_C]$, на якому агрегат працює без перевантаження та справедливою є взята параболічна апроксимація.

Якщо в разі усталеного руху агрегату є ділянка, коли двигун перевантажений і $\omega < \omega_H$, треба або збільшити потужність електродвигуна, або, змінивши метод розрахунку*, переконатись у допустимості перевантаження, або, зберігши електродвигун, збільшити момент інерції маховика так, щоб виконувалась умова $\omega_{min} > \omega_H$.

3.4.3.6. Схему алгоритму розглянутої задачі зображенено на рис. 3.20. Значення приведеного моменту опору та приведеного момента інерції заносяться до пам'яті ЕОМ у вигляді масивів із $12+1$ елементів. Доцільніше обчислювати їх попередньо, використовуючи вихідні дані, результати кінематичного аналізу та формулі /3.34/, /3.31/. У блоку 3 початковому значенню ω_i надається одне із значень відрізка $[\omega_H, \omega_C]$. На рис. 3.20 показане надання значення ω_H . Блок 3 надає початкового значення параметру циклу i . Блок 4 обчислює значення ω_i , використовуючи як відоме значення ω_{i-1} . Для цього використовується формула /3.57/. Блоки 4 – 6 організують цикл за параметром i , який повторюється доти, поки є не набуде значення n . Після цього блок 7 перевіряє, чи виконується із заданою точністю умова періодичності /3.58/. Якщо умову виконано, у блокі 8 обчислюються значення ω_{max} і ω_{min} , а потім δ . Якщо значення δ перевищує допустиме, за формулou /3.60/ обчислюється добавка до постійної складової моменту інерції /блоки II і I2/; кожний із елементів масиву $\mathcal{I}(n)$ збільшується на знайдене значення /блок I3/. Потім ω_i надається значення ω_n , обчислене в попередньому розрахунку, і відбувається повернення до блоку 3.

* Якщо кутова швидкість падає нижче ω_H , можна застосувати описаний метод дослідження руху, що ґрунтуються на використанні рівняння Лагранжа /див. п. 3.4.4/.

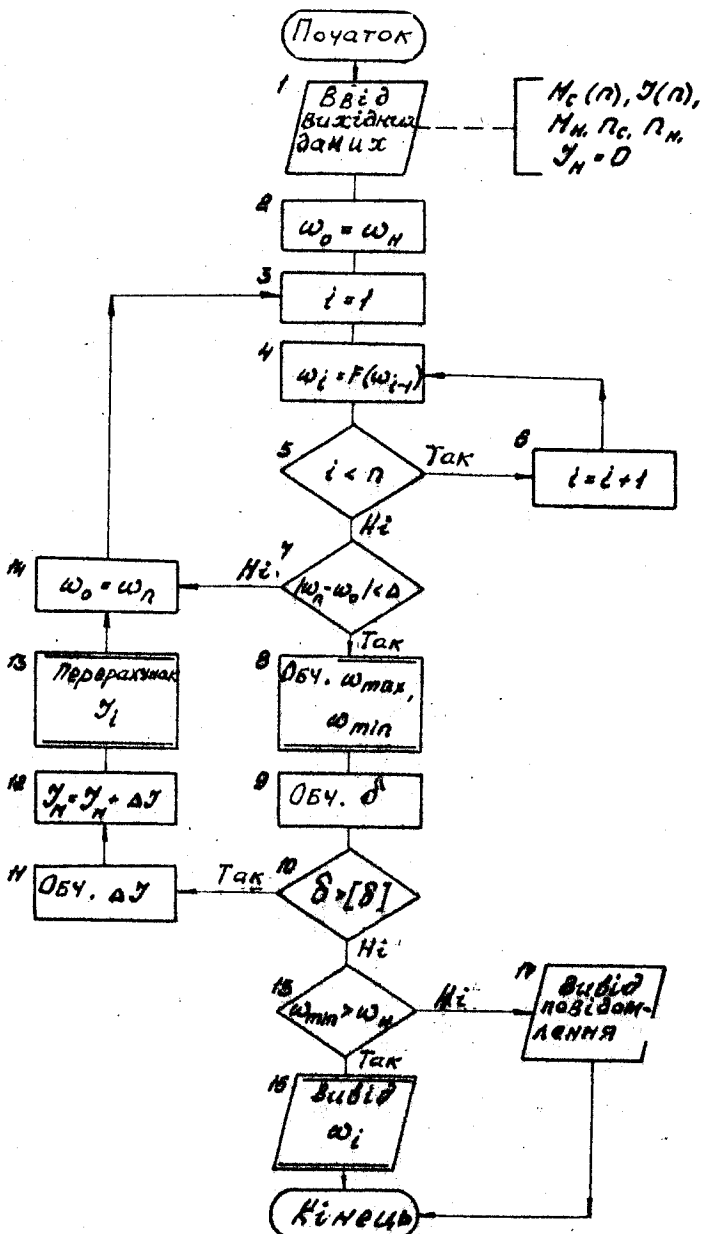


Рис. 3.20
113

Коли в результаті збільшення постійної складової приведеного моменту інерції буде отримано значення $\delta < [\delta]$, блок 15 перевірить виконання умови $\omega_{min} > \omega_n$. Якщо Н не виконано, блок 17 виведе про це повідомлення для внесення змін до розрахунку. Якщо всі умови задачі виконано, блок 16 роздрукує остаточні значення масиву елементів кутової швидкості.

Схему, яку зображенено на рис. 3.20, в укрупненою. Блоки 8, 13, 16, у свою чергу, містять цикли за параметром i , який змінюється від нуля до n .

3.4.3.7. В описаному вигляді задачу можна запрограмувати за наявності достатньо великого обсягу пам'яті ЕОМ /близько З К/. Наприклад, програма 2.1, яку наведено в дод. I, містить блок /починається з рядка 245/ обчислення нерівномірності обертання головного вала стругального верстата. У разі використання ПМК програма може містити обчислення коефіцієнтів A і B апроксимуючої параболи та визначення ω_i за відомим значенням ω_{i-1} /див. програму I.7, яку наведено в дод. I/. У цьому разі для кожної конфігурації механізму доводиться вручну вводити значення $(M_c)_i$ і $(T_n)_i$.

Виконання умов періодичності можна контролювати для будь-якого положення механізму, порівнюючи результати рахунку для першого та другого обертів початкової ланки. Наприклад, у табл. Д.2.4 /дод. 2/ значення кутової швидкості для шостого положення на другому оберті збігається з відповідним значенням на першому оберті. Отримавши цей результат, обчислення треба припинити. Значення ω , що відповідають усталеному режиму, обведені рамкою в табл. Д.2.4, де також помічені максимальна та мінімальна кутові швидкості.

Щоб виявити, яка з причин, зазначених у п. 3.4.2.2, має найбільший вплив на нерівномірність обертання розглядуваного агрегату, було виконано розрахунок при $Q_s = 0$, тобто на холостому ходу агрегату. Значення кутової швидкості наведені в останньому стовіщі табл. Д.2.4 і показані на рис. Д.2.3, з якого випливає, що в даному разі обидві причини суттєво впливають на нерівномірність обертання, але за різних кутів повороту. Вплив змінного приведеного моменту інерції помітно виявляється тільки в разі зворотного руху різця.

3.4.4. Використання рівняння Лагранжа для дослідження руху машинного агрегату.

3.4.4.1. Хоча викладене розв'язання складає широке коло задач, галузь його використання обмежується можливістю застосування параболічної апроксимації. Якщо розглядається рух машинного агрегату

з асинхронним двигуном у разі пуску чи за наявності перевантажень, а також агрегату, обладнаного двигуном постійного струму з послідовним збудженням /приводи транспортних установок/, така апроксимація є неприпустимою. У таких випадках необхідно використовувати рівняння Лагранжа другого роду [36, § 177] та інтегрувати його одним із відомих чисельних методів [20].

Для розглядуваных одномасових моделей

$$\frac{d\omega}{dt} = \frac{1}{J_n} \left[M_g + M_c - \frac{1}{2} \omega^2 \frac{dJ_n}{d\varphi} \right], \quad /3.61/$$

де M_c , $J_n \frac{dJ_n}{d\varphi}$ - функції кута φ .

Отже, одночасно треба записати рівняння

$$\frac{d\varphi}{dt} = \omega \quad /3.62/$$

та інтегрувати сумісно два останніх рівняння /див. п. 3.4.4.3/.

Наведені рівняння застосовуються для вивчення режимів розгону та гальмування. Якщо відшукуються усталений рух, доцільніше від похідних за часом t перейти до похідних за кутом φ повороту початкової ланки. Виконавши цю заміну, дістанемо

$$\frac{d\omega}{d\varphi} = \frac{1}{J_n \omega} \left[M_g + M_c - \frac{1}{2} \omega^2 \frac{dJ_n}{d\varphi} \right]; \quad /3.63/$$

$$\frac{dt}{d\varphi} = \frac{1}{\omega}. \quad /3.64/$$

Якщо немає потреби визначати точний час циклу, можна обмежитись розгляданням рівняння /3.63/.

Вивчаючи складніші системи, рівняння /3.61/ і /3.62/ або /3.63/ і /3.64/ можна доповнити рівняннями, що описують електромагнітні процеси у двигуні, властивості пружних елементів між двигуном і виконавчою ланкою, дію на машинний агрегат системи керування.

3.4.4.2. Для практичного використання формул /3.61/ і /3.63/ необхідно мати вирази для $dJ_n/d\varphi$ і M_g на всьому можливому інтервалі роботи двигуна.

Визначення $\frac{d\mathcal{I}}{d\varphi}$ розглянемо на прикладі кривошипно-повзуного механізму. Формули суттєво спрощуються, якщо використовувати метод статичного рознесу мас. На основі /З.42/ запишемо

$$\mathcal{I} = \mathcal{I}^* + m^* \left(\frac{S'}{B} \right)^2.$$

уявив похідну за \mathcal{I}' , дістанемо

$$\frac{d\mathcal{I}}{d\varphi} = 2m^* \frac{S'}{B} \frac{S''}{B}, \quad /3.65/$$

де S'' - аналог прискорення повзуна.

Графіки \mathcal{I}' і $\frac{d\mathcal{I}}{d\varphi}$ для кривошипно-повзуного механізму холодно-висаджувального автомата зображені на рис. 3.21.

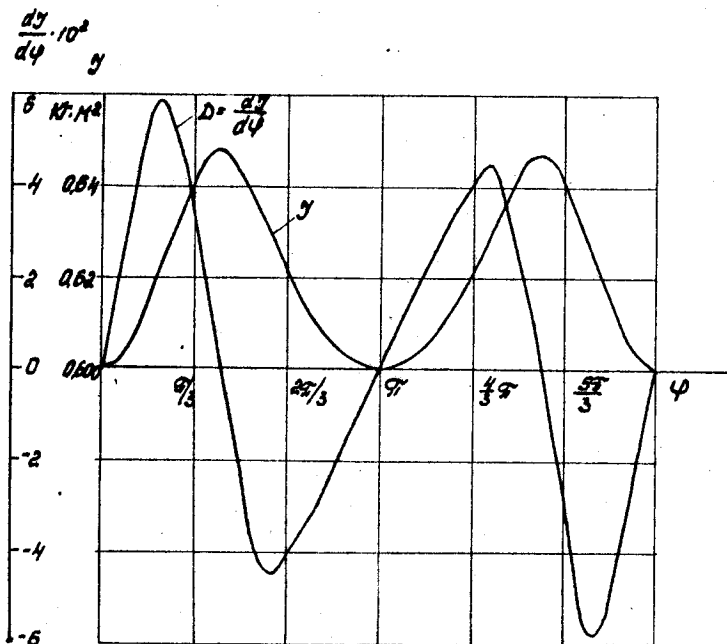


Рис. 3.21

Для аналітичного описання залежності /див. рис. З.18/ як у межах робочої ділянки, так і поза нею /у тому числі при переході двигуна до режиму генератора, тобто при обертанні його вала з частотою, що перевищує синхронну/, можна використовувати наближену формулу Класса [39]

$$M = \frac{2M_K}{\frac{S_K}{S} + \frac{S}{S_K}}, \quad /3.66/$$

де S, S_K - поточне та критичне значення ковзання ротора відносно обертового магнітного поля, $S = 1 - \omega/\omega_c$ (індексом K помічено режим роботи двигуна, що відповідає точці K з максимальним моментом /див. рис. З.18/. Тому

$$S_K = 1 - \omega_K/\omega_c.$$

У каталогах електродвигунів звичайно наводяться значення таких величин: номінальної частоти обертання ω ; відношення максимального моменту до номінального $K = M_K^{ph}/M_H$.

На основі цих даних можна обчислити S_H [39] і

$$S_K = S_H (K + \sqrt{K^2 - 1}). \quad /3.67/$$

Використання формул /3.66/ призводить до зупинки при $S = 0$. Тому II треба перетворити:

$$M = 2M_K \frac{\frac{S_K}{S} \frac{S}{S_K}}{\frac{S_K}{S} + \frac{S}{S_K}}. \quad /3.68/$$

Для прикладу на рис. З.18 показано характеристику двигуна АО-2-21-4, що використовується для привода холодно-висаджувального автомата, з номінальною потужністю $P = 1,1 \text{ кВт}$, номінальною частотою обертання $n_{ph} = 1400 \text{ хв}^{-1}/12 = 1500 \text{ хв}^{-1}$ і перевантажувальним коефіцієнтом $K = M_K^{ph}/M_H = 2,2$. Для цього двигуна

$$S_H = 1 - n_{ph}/n_{pe} = 1 - 1400/1500 = 6,666 \cdot 10^{-2}$$

і згідно з /3.67/

$$S_K = 6,666 \cdot 10^{-2} (2,2 + \sqrt{2,2^2 - 1}) = 0,2773.$$

3.4.4.3. Задача інтегрування системи N нелінійних диференціальних рівнянь першого порядку за відомих початкових умов називається в математиці задачею Коши [32]. Для II розв'язання роз-

роблені чисельні методи, а для їх реалізації на ЕОМ - відповідні програми [15, програма 3.18].

У загальному вигляді задача формулюється так: задано N рівнянь вигляду

$y_j' = F_j(x, y_1, y_2, \dots, y_j, \dots, y_N) \quad (j=1, 2, 3, \dots, N),$
де y_j - шукані функції аргументу $x / j = 1, 2, 3, \dots, N$.

Початкові умови задаються рівностями при

$$x = x_0, \quad y_1 = y_{10}, \quad y_2 = y_{20} \dots y_N = y_{N0}.$$

Вимеремо крок інтегрування $\frac{h}{2}$ і поставимо задачу виразити шукані значення функцій $y_{j,i+1}$ на правій границі відрізка інтегрування $[x_i, x_{i+1}]$ через відомі значення цих функцій $y_{j,i}$ на лівій границі.

Одним із найпоширеніших методів чисельного інтегрування є метод Рунге - Кутта 4-го порядку. У разі його використання формули для визначення шуканих величин $y_{j,i+1}$ на правій границі відрізка $i, i+1$ записуються у вигляді

$$y_{j,i+1} = y_{j,i} + (K_{j,1} + 2(K_{j,2} + K_{j,3}) + K_{j,4}) / 3. \quad /3.69/$$

Для кожної шуканої функції коефіцієнти

$$K_{j,1} = F_j(x_i, y_{j,i}) \frac{h}{2}; \quad K_{j,2} = F_j(x_i + \frac{h}{2}, y_{j,i} + K_{j,1}) \frac{h}{2};$$

$$K_{j,3} = F_j(x_i + \frac{h}{2}, y_{j,i} + K_{j,2}) \frac{h}{2}; \quad K_{j,4} = F_j(x_i + h, y_{j,i} + 2K_{j,3}) \frac{h}{2}. \quad /3.70/$$

Це означає, що дляожної шуканої величини треба обчислити чотири значення юхідної, причому для кожного наступного значення використовується попереднє. Потім за /3.69/ обчислюються значення шуканих функцій на правій границі кроку інтегрування.

Окрім методу Рунге - Кутта існують простіші методи, які потребують обчислення двох або трьох коефіцієнтів $K_{j,1}, K_{j,2}, K_{j,3}$. Точність цих методів значно нижча, тому необхідно дуже дрібнити крок, щоб все-таки досягти неохідної точності [15].

Відомий і більш точний варіант методу Рунге - Кутта - це модифікація Мерсона [40]. Цей метод потребує обчислення п'яти значень похідних на кожному кроці. Тестова задача, для якої відомим є точний розв'язок, показує, що коли похибку, отриману в разі використання

модифікації Мерсона, взяти за одиницю, то за однакового кроку похідки інших модифікацій методу Рунге - Кутта матимуть такі значення:

МЕТОД	ПОХІДКА
модифікація Мерсона	1,0
4-й порядок	5,1
3-й "	129,5
2-й "	423,7

Відомі програми /наприклад, наведена в [40] програма 4.51/, де вибір кроку виконується автоматично, так щоб забезпечити задану точність розрахунків. Проте необхідно відзначити, що така організація обчислень є зручною тоді, коли нас цікавлять лише остаточні значення шуканих функцій. Досліджуючи динамічні процеси машинних агрегатів, доцільніше виконувати розрахунок з постійним, але достатньо малим кроком.

У процесі дослідження розгону чи гальмування за допомогою рівнянь /3.61/ і /3.62/ крок треба вибирати таким, щоб він дорівнював $0,01 - 0,04$ с, а в разі використання формул /3.63/ і /3.64/ для усталеного руху - у межах $\bar{J}100 - \bar{J}25$. Вказані значення є орієнтовними, оскільки точність інтегрування залежить не лише від кроку, а й від вигляду заданих підінтегральних функцій.

Звичайно програма для розв'язання задачі Комі оформлюється у вигляді головного модуля та підпрограми, в якій обчислюються похідні.

Як приклад у дод. I записано універсальну програму 2.3 інтегрування системи диференційних рівнянь методом Рунге - Кутта в модифікації Мерсона. Ця програма працює сумісно з підпрограмою, в якій обчислюються шукані значення похідних. У розглядуваному випадку підпрограма містить обчислення необхідних кінематичних параметрів, приведеного моменту опору, приведеного моменту інерції та похідної $d\varphi/dt$ холодно-висаджувального автомата. Момент електродвигуна розраховують за /3.68/.

У процесі інтегрування систем /3.61/ і /3.62/ вхідними параметрами підпрограми служать час t , кут повороту φ та кутова швидкість ω , вихідними - похідні $d\varphi/dt$ і $d\omega/dt$.

3.4.4.4. Як ілюстрацію використання описаних методів на рис. 3.22 зображено криву зміни кутової швидкості крилошипа холодно-висаджувального автомата з постійною складовою приведеного моменту інерції $J_c = 30,6 \text{ кг}\cdot\text{м}^2$ /технологічна сила відсутня/. Із рис. 3.22 видно, що розгін закінчується за 2,3 с, після чого починаються

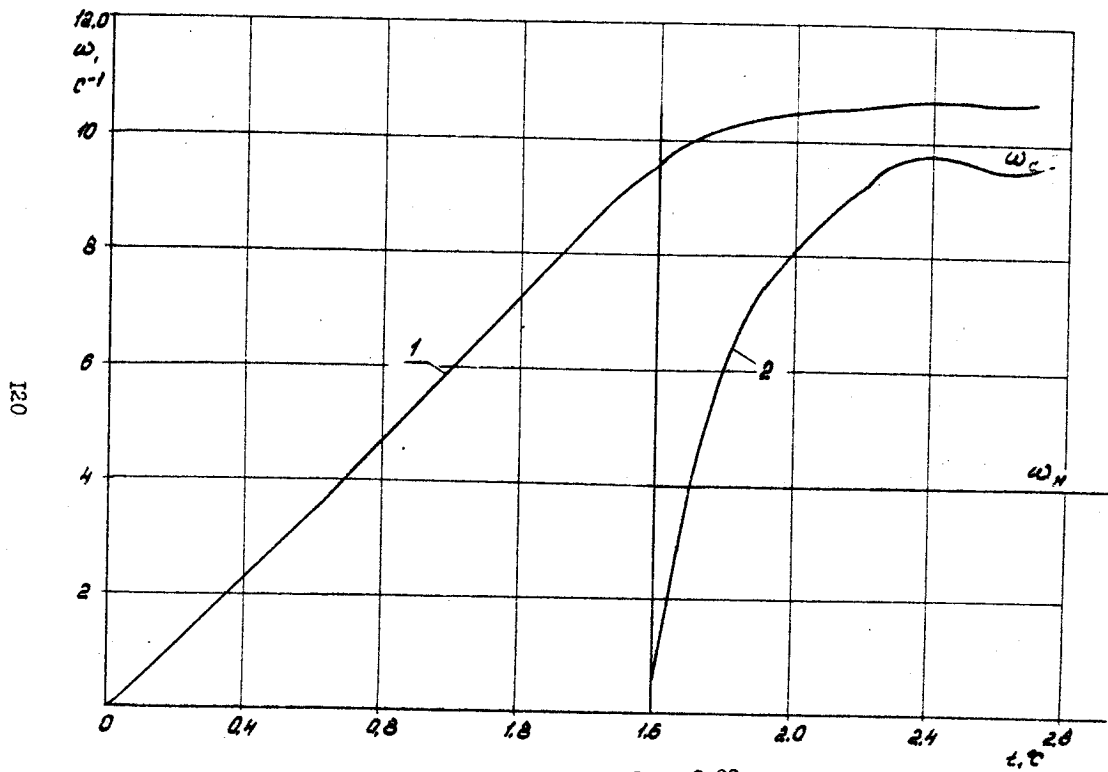


Рис. 3.22

коливання кутової швидкості навколо значення ω_c , що викликані силами ваги ланок /вісь поступальної пари в вертикально/. Ці коливання добре видимі на кривій 2, яку побудовано у більш крупному масштабі починаючи з $t = 1,6$ с.

Інтегрування систем /3.63/ і /3.64/ на ділянці усталеного руху за дії технологічної сили опору дає результати, що практично збігаються з результатами, отриманими методом параболічної апроксимації, оскільки значення не знижуються нижче ω_x . А якщо виконати розрахунки цими самими двома методами при $J_c = 10,6 \text{ кг}\cdot\text{м}^2$, то параболічна апроксимація призведе до неприпустимо великої похибки, оскільки дійсне значення ω падає нижче ω_x .

Оскільки обсяг обчислень у разі використання різних чисельних методів інтегрування рівнянь Лагранжа значно перевищує обсяг параболічної апроксимації, завжди за можливості необхідно використовувати останній метод.

3.5. Зрівноваження мас машини на фундаменті

При розв'язанні задачі визначення динамічних реакцій було використано принцип Даламбера. Цей самий принцип можна використовувати для зниження динамічної дії рухомих ланок машини на фундамент. Для цього треба визначити головний вектор і головний момент сил і інерції всіх рухомих ланок:

$$\vec{R} = \sum \vec{R}_i; \quad \vec{M} = \sum \vec{M}_i. \quad /3.71/$$

У подальшому розглянемо задачу зрівноваження головного вектора сил інерції за допомогою однієї противаги на кривошипі.

Існують також інші схеми зрівноваження [41], які широко не застосовуються в техніці через складність, хоча результат зрівноваження може бути покращено.

3.5.1. Зрівноваження за допомогою однієї противаги.

3.5.1.1. Із /3.71/ випливає, що для визначення головного вектора \vec{R} необхідно геометрично скласти головні вектори його ланок у кожному з розглядуваних положень.

Ця операція дуже просто виконується графічно, після чого може бути побудовано годограф головного вектора, тобто жмуток векторів \vec{R} , ідкладених від однієї довільної точки /рис. 3.23, а/.

Сила інерції шуканої противаги \vec{R} - вектор постійної довжини, що обертається разом із кривошипом. Його годограф у нерухомій

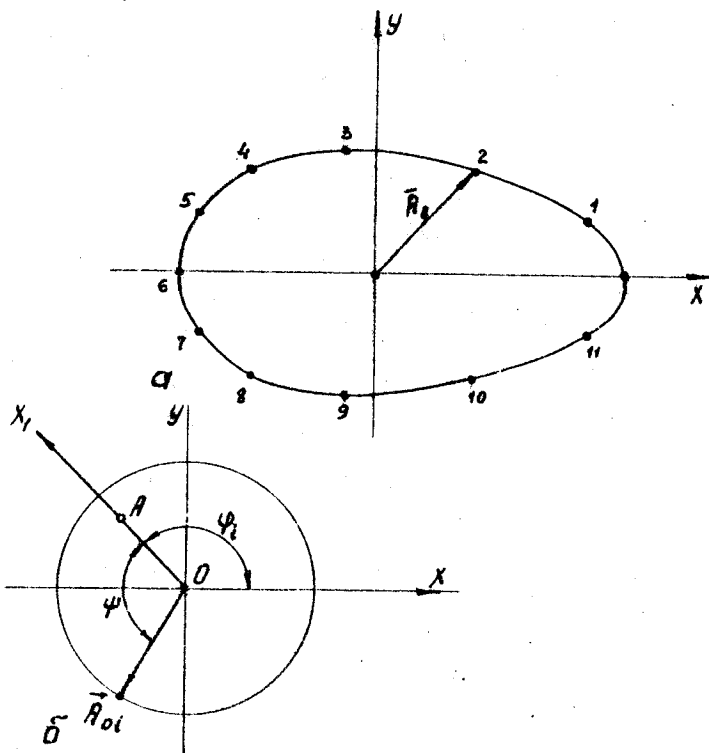


Рис. 3.23

системі координат /рис. 3.23,б/ - окружності. У системі координат, пов'язаній із кривошипом, годографом сили інерції противаги в точка, оскільки в цій системі вектор її сили інерції зберігає своє значення і напрям.

Після закріплення на кривошипі противаги незрівноважений залишок $\vec{D} = \vec{R} + \vec{R}_o$.

Щоб отримати цей вектор, зручно перебудувати годограф вектора \vec{R} у систему, пов'язану з кривошипом. Для цього докажемо вектор \vec{R}_i , що відповідає повороту кривошипа на кут φ_i /рис. 3.24/. Якщо вектор \vec{R}_i складав з нехомою віссю X кут α_i , та з віссю X_1 , пов'язаною з кривошипом, він складає кут $\alpha_i - \varphi_i$. При переході від однієї системи до іншої довжина вектора не змінюється. Отже, щоб побудувати годограф вектора в рухомій системі координат, необхідно кожний із векторів годографа повернути на кут φ_i .

Для прикладу на рис.3.25 зображене перебудований у рухому, систему годограф вектора \vec{R} , що відповідає рис.3.23,а /масштаб змінено/.

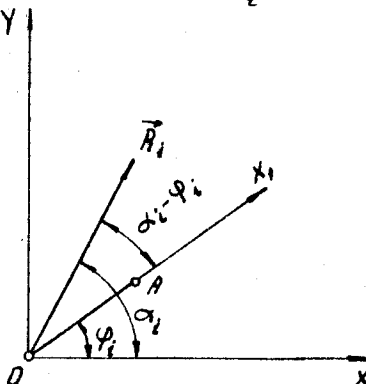


Рис. 3.24

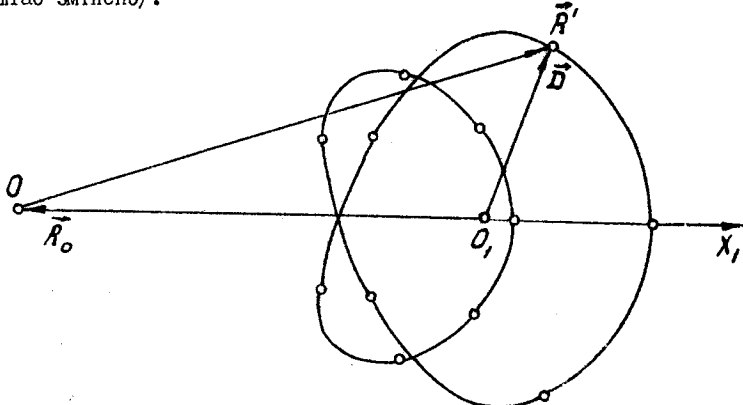


Рис. 3.25

Якщо силу інерції противаги \vec{R} зображену вектором $\vec{O}_1 \vec{O}_2$, то годограф незрівноваженого залишку \vec{D} зображене тією самою кривою, але відрахованою від центра O_1 . Отже, точка O_1 , що визначає величину та кут закріплення противаги, має бути вибрана так, щоб вектор \vec{D} в усіх конфігураціях був якомога меншим.

3.5.1.2. Наведене формулювання задачі не є суворим.

Щоб отримати розв'язок, необхідно встановити критерій оцінювання результатів. Скористаємося критерієм найкращого середнього наближення [32, гл. 7, § 7], і будемо домагатись, щоб середнє квадратичне значення функції $|D|$ було мінімальним.

Із визначення середнього квадратичного випливає, що

$$|D|_{ср.кв} = \sqrt{\frac{1}{2\pi} \int_0^{2\pi} |D|^2 d\varphi} \rightarrow \min_{\varphi}. /3.72/$$

Для виконання цієї умови необхідно, щоб у свою чергу прямувала до мінімуму величина

$$\int_0^{2\pi} |D|^2 d\varphi. /3.73/$$

Щоб отримати розв'язок найпростішим шляхом, розглянемо таку механічну аналогію.

Нехай у кожній точці годографа D зосереджено одиничну масу. Тоді момент інерції системи цих точок відносно центра O_1 буде

$$\sum_{i=1}^n |D_i|^2.$$

Якщо $n \rightarrow \infty$, то записана сума прямує до границі, виражений формуллою /3.73/.

Таким чином, вимога мінімуму функції /3.72/ виконується тоді, коли годограф вектора D , поданий у вигляді неперервного ланцюга одиничних мас, має найменше значення.

Із курсу теоретичної механіки відомо, що момент інерції тіла має найменше значення тоді, коли він визначається відносно осі, що проходить крізь центр мас системи.

Отже, щоб виконати основну умову зрівноваження, параметри противаги необхідно вибрати так, щоб точка O_1 була центром однічних мас, зосереджених по довжині годографа.

Якщо годограф було побудовано за n точками, то наближено можна вважати, що координати його центра ваги

$$X_{01} = \frac{\sum X_i}{n}, \quad Y_{01} = \frac{\sum Y_i}{n} \quad /3.74/$$

/у знаменнику стоїть сума n одиничних мас/.

Якщо вимірюти вектори \vec{D}_i , відраховані від знайденого центра O_1 , можна побудувати графік незрівноваженого залишку.

3.5.1.3. Як приклад на рис. 3.26 зображене графік модуля головного вектора $|R|$ кривошипно-повзунного механізму холодно-висаджувального автомата /крива 1/, де також показано графік незрівноваженого залишку після закріплення на кривошипі противаги, параметри якої було визначено за /3.74/.

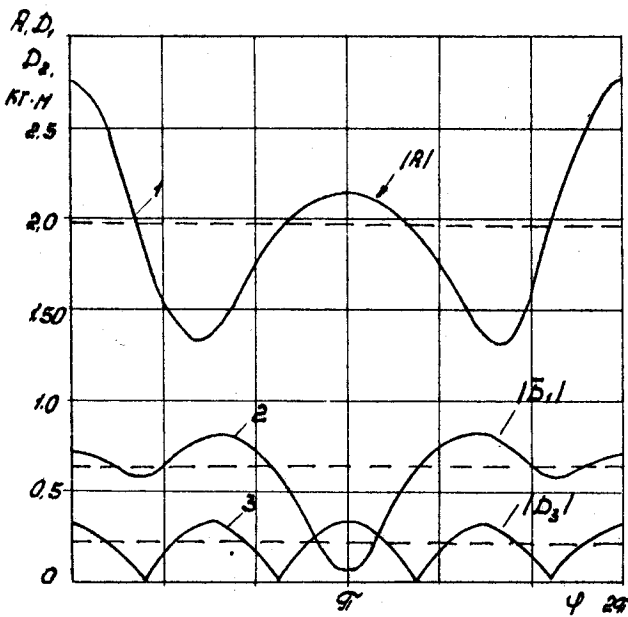


Рис. 3.26

Для порівняння на рис. 3.26 нанесено криву З, що зображує графік незрівноваженого залишку в разі використання для зерівноваження схеми Ланчестера [38, с. 206-207]. Пунктиром показано середні квадратичні значення для кожного з трьох випадків. У розглянутому прикладі постановка однієї противаги дає змогу знизити середнє значення дії машини на фундамент у 3,12 рази, а значно складнішої схеми - у 8,5 рази.

4. ПРОЕКТУВАННЯ ЗУБЧАСТОЇ ПЕРЕДАЧІ

4.1. Призначення зубчастих передач та етапи їх проектування

Зубчаста передача - найпоширеніший вид привода, призначеного для передачі обертання від одного вала до іншого із заданим відношенням кутових швидкостей. У загальному машинобудуванні використовуються силові передачі /потужність, що передається, - понад 1 кВт/ головним чином як знижувальні передачі, тобто такі, в яких вихідний вал обертається з меншою кутовою швидкістю, ніж вхідний.

Необхідність зниження кутової швидкості вихідного вала зумовлена тим, що первинні двигуни /електродвигуни, двигуни внутрішнього згоряння, турбіни/ мають високі техніко-економічні показники /МКД, вага на одиницю потужності/ за значних кутових швидкостей. У той самий час виконавчі органи робочих машин за умовами якісного виконання технологічних процесів мають обертатись значно повільніше. Наприклад, асинхронні електродвигуни металорізальних верстатів звичайно мають частоту обертання 1440 1/хв, а нижня границя частоти обертання шпинделя може досягати 20 1/хв.

Основний показник передачі - її передаточне відношення

$$i_{mn} = \frac{\omega_1}{\omega_n}, \quad /4.1/$$

де ω_1 , ω_n - кутова швидкість вала відповідно вхідного та вихідного.

Знижувальна передача, що не дає можливості змінювати значення i_{mn} , називається редуктором. Якщо конструкція передачі дає змогу вводити до зачеплення різні пари зубчастих коліс і таким чином ступінчасто змінювати значення i_{mn} , передачу називають коробкою швидкостей.

Прикладом редуктора може служити передача від електродвигуна до барабана механізму підйому крана, прикладом коробки швидкостей - зубчасті передачі привода шпинделя токарного верстата чи трансмісії автомобіля.

Передача, що використовується для підвищення кутової швидкості веденого вала, називається мультиплікатором.

У техніці використовуються зубчасті передачі з нерухомими осями коліс або планетарні редуктори, тобто передачі, що містять хоча б одне колесо з рухомою віссю. Передачі з нерухомими осями виконуються за розгорнутою схемою або співвісними /рис. 4.1/: перші - дво- та триступінчасті, другі - у більшості випадків двоступінчасті.

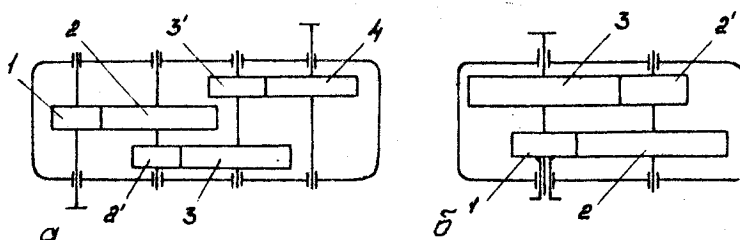


Рис. 4.1

Вихідними даними при проектуванні є потужність P , що передається, та кутові швидкості ω_1, ω_n .

Перший етап проектування передачі - II геометричний синтез - полягає у визначенні чисел зубів коліс, що забезпечують отримання заданого передаточного відношення з похибкою, яка не перевищує припустиму. Для співвісних і планетарних передач числа зубів мають задовільнити також ряд додаткових вимог /див. п. 4.4.3/.

Цей етап звичайно має не один, а кілька розв'язків. Користуючись термінами математики, будемо говорити, що на першому етапі знайдено безліч розв'язків.

На другому етапі треба вибрати коефіцієнти зміщення різельного інструмента в разі нарізання зубчастих коліс проектованого редуктора.

У процесі курсового проектування обчислюють коефіцієнти зміщення однієї із зубчастих пар редуктора, що забезпечують вимоги, сформульовані у завданні. Наприклад, отримати найбільшу контактну витривалість за заданого значення коефіцієнта торцевого перекриття C_∞ .

Третій етап – міцнісний розрахунок. У ході цього етапу визна-
чаються модулі зубчастих коліс для знайденої раніше безлічі розв'яз-
ків.

На четвертому етапі серед цієї безлічі треба вибрати оптималь-
ний варіант. За критерій оптимальності можна взяти, наприклад, га-
баритний розмір передачі, суму мас рухомих коліс або її приведений
момент інерції.

У процесі курсового проектування для однієї із зубчастих пар
знайденого оптимального варіанта необхідно визначити геометричні
параметри зубчастих коліс і побудувати їх профіль, знайти якісні по-
казники зачеплення.

Структурно-логічну схему розрахунку передачі зображенено на
рис. 4.2.

4.2. Визначення чисел зубів коліс редукторів, виконаних за розгорнутою схемою

4.2.1. Розв'язуючи задачу синтезу чисел зубів шестерінок ре-
дуктора, зручно користуватись передаточним числом зубчастої пари:

$$\mathcal{U} = \mathcal{Z}_2 / \mathcal{Z}_1,$$

де $\mathcal{Z}_2, \mathcal{Z}_1$ – число зубів відповідно колеса та шестерні.

Із цієї формулі випливає, що $\mathcal{U} > 1$ і є позитивним числом нез-
алежно від вигляду зачеплення.

Узагальнюючи поняття передаточного числа на редуктор у цілому,
дістаємо

$$\mathcal{U} = \left| \frac{\omega_{B4}}{\omega_{B9}} \right|, \quad /4.2/$$

де ω_{B4}, ω_{B9} – кутова швидкість валів відповідно ведучого та веде-
ного.

Для дво- та триступінчастих редукторів відповідно

$$\mathcal{U} = \mathcal{U}_1 \cdot \mathcal{U}_2; \quad \mathcal{U} = \mathcal{U}_1 \cdot \mathcal{U}_2 \cdot \mathcal{U}_3,$$

де $\mathcal{U}_1, \mathcal{U}_2, \mathcal{U}_3$ – передаточне число ступенів відповідно першого,
другого та третього.

Задача визначення чисел зубів шестерінок редуктора має скін-
ченну множину розв'язків. Розглянемо обмеження, які необхідно вра-
ховувати при цьому.

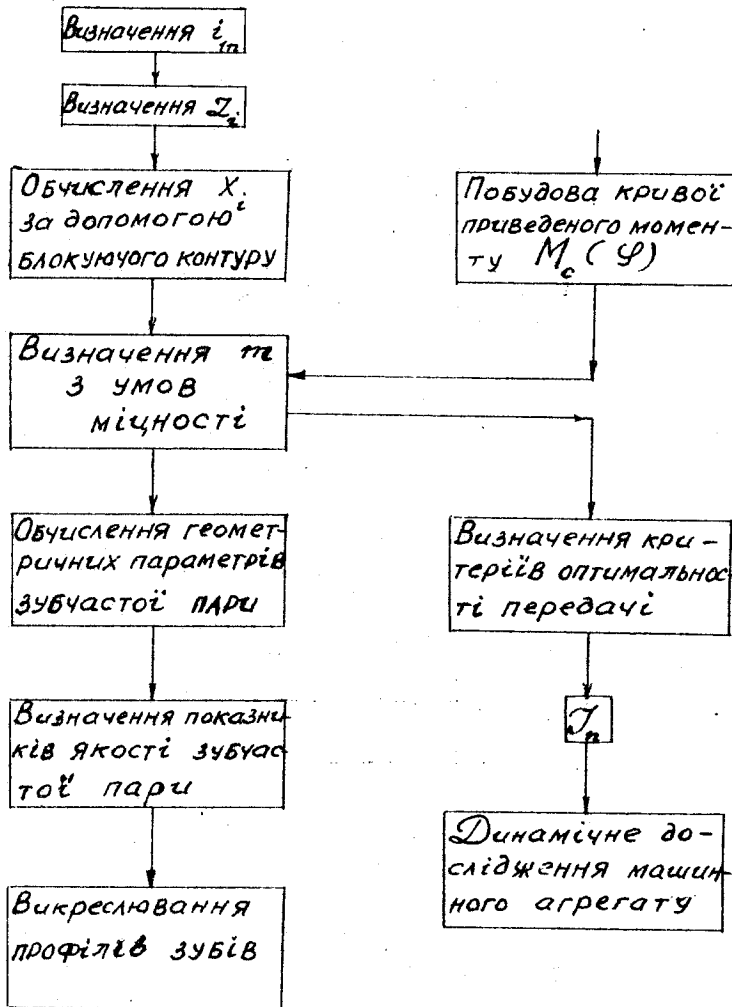


Рис. 4.2

Число зубів кожного колеса має задовільняти умові

$$\mathcal{Z}_{\min} < \mathcal{Z}_i < \mathcal{Z}_{\max}, \quad /4.3/$$

$\mathcal{Z}_{\min} = 16-17$ з умови відсутності підрізання; $\mathcal{Z}_{\max} = 150-200$ з умови виготовлення на звичайних зуборізних верстатах.

Передаточне число кожного ступеня має не перевищувати $\mathcal{U}_{\max} \approx 5,5-6,0$. Крім того, доцільно, щоб радіальні розміри коліс мало розрізнялися. Ця умова висувається для забезпечення умов змащення всіх ступенів редуктора. Співвідношення між модулями коліс першого та другого ступенів має забезпечувати їх рівноміцність.

Щоб покращити зносні та вібраційні характеристики редуктора, числа зубів спряжених коліс не повинні мати загальних множників, тобто мають бути взаємно простими числами.

4.2.2. Розглянемо методику визначення чисел зубів двоступінчастих редукторів, виконаних за розгорнутою схемою, що враховує зачленені обмеження.

Для редукторів такого компонування можна наближено взяти, що за інших однакових умов модуль зубчастої пари, який визначається умовами міцності [21], є пропорційним $\sqrt[3]{T}$, де T - крутний момент на шестерні. Нехай у результаті міцнісних розрахунків знайдемо модуль зачеплення першого ступеня m_1 [мм]. Оскільки /якщо знектувати втратами в зачепленні/ момент на ведучій шестерні другої пари дорівнюватиме $T\mathcal{U}_1$, то за інших однакових умов модуль другої пари

$$m_2 = m_1 \sqrt[3]{\mathcal{U}_1}. \quad /4.4/$$

Тоді діаметри ділильних окружностей коліс першої та другої пар

$$d_1 = m_1 \mathcal{Z}_1 \mathcal{U}_1; \quad d_2 = m_2 \mathcal{Z}_2' \mathcal{U}_2.$$

Беручи для спрощення задачі $\mathcal{Z}_1 = \mathcal{Z}_2$ і прирівнюючи d_2 до d_3 , дістаемо

$$\mathcal{U}_1 = \sqrt[3]{\mathcal{U}_1 \cdot \mathcal{U}_2} \quad \text{або} \quad \mathcal{U}_2 = \mathcal{U}_1^{2/3}.$$

Ураховуючи, що $\mathcal{U} = \mathcal{U}_1 \mathcal{U}_2$, знаходимо $\mathcal{U}_1 \mathcal{U}_1^{2/3} = \mathcal{U}$. Звідси

$$\mathcal{U}_1 = \mathcal{U}^{3/2}; \quad \mathcal{U}_2 = \mathcal{U}/\mathcal{U}_1. \quad /4.5/$$

Якщо задати значення \mathcal{Z}_1 і скористатися знайденими величинами \mathcal{U}_1 і \mathcal{U}_2 , то $\mathcal{Z}_2 = \mathcal{Z}_1 \mathcal{U}_1$; $\mathcal{Z}_3 = \mathcal{Z}_2 \mathcal{U}_2$.

Природно, що \mathcal{Z}_2 і \mathcal{Z}_3 виявляються дробовими, тому округлимо їх до найближчих цілих чисел.

Якщо ввести позначення $[x]$ - цілої частини числа x , то округлене значення

$$\bar{Z}_i = [Z_i + 0,5] \quad (i=2,3).$$

Виконавши округлення для коміс першого та другого ступенів, можна обчислити фактично реалізоване значення передаточного числа

$$U = \frac{\bar{Z}_2 \bar{Z}_3}{\bar{Z}_1},$$

яке відрізняється від вихідного значення внаслідок похибок округлення. Якщо

$$U - \Delta \leq \bar{U} \leq U + \Delta, \quad /4.6/$$

то умова отримання передаточного числа із заданою похибкою Δ виконується.

Змінюючи значення Z_2, Z_3 , обчислюємо відповідні йому значення Z_1 та перевіряємо виконання описаних обмежень.

Доцільніше починати обчислення при $Z_1 = Z_{min}$ та збільшува-ти його на одиницю. Таким чином буде отримано кілька розв'язків, що розташовуються у нижнього граничного числа зубів. Перевіривши отримані числа на наявність у них загальних множників за допомогою табл. 4.1, можна відбракувати розв'язки, що не задовільняють цій умові.

Таблиця 4.1

Число	Множники	Число	Множники	Число	Множники	Число	Множники	Число	Множники
1	2	3	4	5	6	7	8	9	10
15	3·5	42	2·3·7	69	3·23	36	2 ⁵ ·3	I23	3·41
16	24	43	43	70	2·5·7	97	97	I24	2 ² ·31
17	I7	44	2 ² ·II	71	7I	98	2·7 ²	I25	5 ³
18	2·3·3	45	3 ² ·5	72	2 ³ ·3 ²	99	3 ² ·II	I26	2·3 ² ·7
19	I9	46	2·23	73	73	100	2 ² ·5 ²	I27	I27
20	2·2·5	47	47	74	2·37	101	101	I28	2 ⁷
21	3·7	48	2 ⁴ ·3	75	3·5 ²	102	2·3·I7	I29	3·43
22	2·II	49	7·7	76	2 ² ·13	103	103	I30	2·5·13
23	23	50	2·5·5	77	7·II	104	2 ³ ·13	I31	I31
24	2 ³ ·3	51	3·I7	78	2·3·13	105	3·5·7	I32	2 ² ·3·II
25	5·5	52	2·2·13	79	79	106	2·53	I33	7·I9

1	2	3	4	5	6	7	8	9	10
26	2·13	53	53	80	2 ⁴ ·5	107	107	134	2·67
27	3 ³	54	2·3 ³	81	3 ⁴	108	2 ² ·3 ³	135	3 ³ ·5
28	2·2·7	55	5·II	82	2·4I	109	109	136	2 ³ ·I7
29	29	56	2 ³ ·7	83	83	110	2·5·II	137	I37
30	2·3·5	57	3·I9	84	2 ² ·3·7	111	3·37	138	2·3·23
31	3I	58	2·29	85	5·I7	112	2 ⁴ ·7	139	I39
32	2 ⁵	59	59	86	2·43	113	113	140	2 ² ·5·7
33	3·II	60	2 ² ·3·5	87	3·29	114	2·3·I9	141	3·47
34	2·I7	61	61	88	2 ³ ·II	115	5·23	142	2·7I
35	5·7	62	2·3I	89	89	116	2 ² ·29	143	II·I3
36	2 2 3 3 63	3 ² ·7	90	2 3 ² 5	117	3 ² ·13	144	2 ⁴ ·3 ²	
37	37	64	2 ⁶	91	7·13	118	2·59	145	5·29
38	2·I9	65	5·I3	92	2 ² ·23	119	7·I7	146	2·73
39	3·I3	66	2·3·II	93	3·3I	120	2 ³ ·3·5	147	3·7 ²
40	2 ³ ·5	67	67	94	2·47	121	II·II	148	2 ² ·37
41	4I	68	2 ² ·I7	95	5·I9	122	2·6I	149	I49

У разі використання описаного алгоритму \mathcal{U} , не вийде за припустимі межі, якщо $\mathcal{U} < 20$. За великих значень \mathcal{U} треба застосовувати триступінчастий редуктор.

Як приклад визначення чисел зубів двоступінчастого редуктора в табл. 4.2 наведено результати розв'язання при $\mathcal{U} = 15$ і відносній похибці $\Delta_o = +1\%$.

Таблиця 4.2

Колесо	Число зубів						
	Z_1	16	17	18	19	21	22
Z_2	56	60	63	67	74	77	
Z_3	37	39	42	44	49	51	

У варіантах $Z_1 = 17$ і $Z_1 = 19$ числа зубів не містять загальних множників. Природно, що варіант, коли $Z_1 = 17$, матиме менші габаритні розміри зубчастих коліс. Проте в процесі розрахунків на міцність треба перевірити, чи буде забезпечена міцність вала під шестернею $Z_1 = 17$.

У розглянутому прикладі розбивка передаточних відношень буде такою: $U_1 = 3,52$; $U_2 = 2,31$. Тому якщо в результаті міцнісного розрахунку п'яртого ступеня буде отримано значення $m_1 = 2 \text{ мм}$, то модуль другого ступеня

$$m_2 = m_1 \sqrt[3]{U_1} = 2 \sqrt[3]{3,52} = 3,04 \text{ мм.}$$

Округливши це значення до стандартного, яке дорівнює 3 мм, дістанемо ділильні діаметри коліс /при $Z_1 = Z_2 = 17/$:

$$\begin{aligned} d_2 &= m_1 Z_2 = 2 \cdot 17 = 34 \text{ мм;} \\ d_3 &= m_2 Z_3 = 3 \cdot 39 = 117 \text{ мм.} \end{aligned}$$

Несуттєва різниця в діаметрах виявилась унаслідок зроблених округлень.

4.2.3. Узагальнимо викладену методику на триступінчастий редуктор. У цьому разі однаковість ділильних діаметрів коліс 2 і 3 приводить до рівняння /4.4/. Вимога однаковості діаметрів ділильних окружностей коліс 3 і 4 /рис. 4.1, а/ приводить до аналогічної залежності

$$U_2 = U_3^{4/3}. \quad /4.7/$$

Підставивши значення U_1 з /4.4/ у друге рівняння /4.5/, дістанемо $U_1 U_2 U_3 = U$. Підставивши сюди значення U_2 з /4.7/, дістанемо

$$U_2^{19/4} = U, \quad /4.8/$$

звідки

$$U_3 = U^{4/19}. \quad /4.8/$$

Рівняння /4.8/ разом із /4.7/ і /4.4/ дають змогу визначити U_1, U_2, U_3 для всіх трьох ступенів редуктора.

Щоб визначити Z_2, Z_3, Z_4 , можна скористатись програмою I.8, наведеною в дод. I. Як приклад покажемо визначення чисел зубів для редуктора з $U = 25,36$ при $A_a = 2 \cdot 10^{-2}$.

Результати розрахунку наведені в табл. 4.3.

Таблиця 4.3

Колесо	Число зубів						
Z_1	15	16	17	18	19	21	22
Z_2	69	74	79	83	88	97	102
Z_3	42	44	47	50	53	58	61
Z_3'	30	32	34	36	38	41	43
$\Delta \cdot 10^2$	1,57 · 1	0,805	1,32	1,01	1,89	1,78	0,921

Користуючись табл. 4.3, можна встановити, що лише варіант $Z_1 = 21$ не містить загальних множників у числах зубів коліс. Треба відзначити, що значення похибки у визначенні μ для триступінчастого редуктора перевищує значення для двоступінчастого. Тому припустиме значення Δ , триступінчастого редуктора також має перевищувати аналогічне значення двоступінчастого. Так, у розглядуваному прикладі лише варіанти $Z_1 = 16$ і $Z_1 = 22$ мають відносну похибку менш за $1 \cdot 10^{-2}$. За запропонованою методикою триступінчастий редуктор можна спроектувати при $\mu \leq 45$. За більших значень μ передаточне відношення першого ступеня вийде за вказані межі.

4.3. Проектування спільнісних редукторів

4.3.1. У цьому разі умова однаковості діаметрів ведених коліс звичайно не висувається. Проте коефіцієнту редуктора потребує однаковості міжснових відстаней першого та другого ступенів. При використанні прямозубих коліс без зміщення ця умова має вигляд

$$\frac{m_1(Z_1 + Z_2)}{2} = \frac{m_2(Z_3 + Z_3')}{2}. \quad /4.9/$$

Значення m_1 і m_2 , модулів першого та другого ступенів мають відповідати ГОСТ 9563-60. Перепишемо /4.9/ у вигляді

$$\mu_1(Z_1 + Z_2) = \mu_2(Z_3 + Z_3'), \quad /4.10/$$

де μ_1 , μ_2 - взаємно прості цілі числа, пропорційні значенням модулів, тобто для яких виконується умова

$$\frac{m_1}{m_2} = \frac{\mu_1}{\mu_2}. \quad /4.11/$$

Із рівняння /4.10/ випливає, що $\frac{\mathcal{Z}_2 + \mathcal{Z}_1}{\mu_1} = \frac{\mu_2}{\mu_1} (\mathcal{Z}_3 + \mathcal{Z}_2')$. Оскільки $\mathcal{Z}_2 + \mathcal{Z}_1$ - ціле число, то $\mathcal{Z}_3 + \mathcal{Z}_2'$ має ділитись без залишку на μ_1 . Позначимо

$$\frac{\mathcal{Z}_3 + \mathcal{Z}_2'}{\mu_1} = e,$$

де e - ціле число.

Тоді умови співвісності можна переписати у вигляді

$$\sum_2 = \mathcal{Z}_3 + \mathcal{Z}_2' = e\mu_1; \quad /4.12/$$

$$\sum_1 = \mathcal{Z}_2 + \mathcal{Z}_1 = e\mu_1. \quad /4.13/$$

Обмеження на значення передаточного числа визначається, як і в попередньому випадку, нерівностями /4.6/. Причому

$$U = \frac{\mathcal{Z}_2 \mathcal{Z}_1}{\mathcal{Z}_3 \mathcal{Z}_2'} . \quad /4.14/$$

4.3.2. Розв'язуючи задачу синтезу, необхідно визначити числа зубів коліс і модулі першого та другого ступенів. Відношення μ_2/μ_1 , визначає навантаженість коліс першого та другого ступенів. Доцільніше знайти це співвідношення з умовою рівноміцності. Для розглядуваного компонування редуктора необхідно врахувати не лише зміну моменту на другому ступені, а й відмінність у значеннях U_1 і U_2 .

Одночасно врахуємо можливість застосування багатопотокової схеми редуктора. У цьому разі використовується К проміжних валів, розміщених на однакових відстанях один від одного. Як приклад на рис. 4.3 показано вид з торця на редуктор з трьома проміжними валами. Використання багатопотокової передачі дає змогу знизити навантаженість зубчастих пар редуктора та розвантажити спори центральних коліс. У разі використання

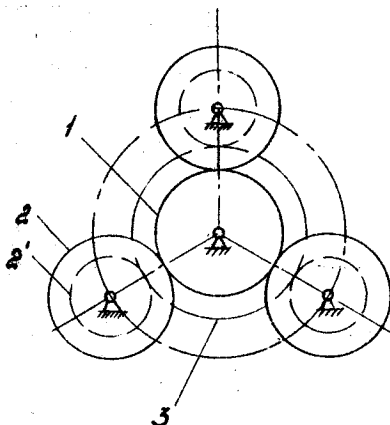


Рис. 4.3

багатопоткової передачі розрахункові моменти першого та другого ступенів дорівнюють відповідно T_1/K і $T_2 U_2/K$.

Звичайно для розглядуваніх передач обмежувальною служить умова міцності за контактними напруженнями [21]. Тому модулі першого та другого ступенів /за інших одинакових умов/

$$m_1 = P \sqrt[3]{\frac{T_1}{K} \frac{U_1 + 1}{U_1}}; \quad m_2 = P \sqrt[3]{\frac{T_2 U_2}{K} \frac{U_2 + 1}{U_2}},$$

де P - коефіцієнт пропорційності, що враховує властивості матеріалу та спосіб закріплення шестерінок на валах.

Вважаючи наближено, що цей коефіцієнт є однаковим для першого та другого ступенів, дістаемо, що відношення модулів у рівноміцній передачі

$$\mu^* = \frac{\mu_2}{\mu_1} = \sqrt[3]{U_2 \frac{U_2 + 1}{U_1} \frac{U_1}{U_1 + 1}}. \quad /4.15/$$

Наближено μ^* поблизу найменших допустимих значень e можна знайти за допомогою графіка, зображеного на рис. 4.4, де нанесено криву $\mu^* = f(U)$. Якщо модуль першого ступеня обчислений за умовамицності, то вище зазначені кривої розташовуються передачі, в яких другий ступінь недовантажено, а нижче - перевантажено. У процесі проектування модуль першого ступеня визначається з міцнісного розрахунку, як це описано в підрозд. 4.5, або задається керівником проекту. Модуль другого ступеня орієнтовно встановлюється за кривою рис. 4.4 й округлюється до стандартного значення /див. табл. Д.8/. Після цього обчислюємо значення μ_1 і μ_2 за /4.11/.

Обчислюючи числа зубів коліс редуктора, зручніше вибирати за параметри, що варіюються, значення e і Z_2 [22]. Справді, задавши деяке ціле значення e , із рівнянь /4.12/ і /4.13/ можна визнати \sum_1 і \sum_3 . Задавши Z_2 , визначимо Z_3 . Підставимо тепер $Z_1 = \sum_1 - Z_2$ у рівняння /4.14/ та розв'яжемо його відносно Z_2 :

$$Z_2 = \frac{\sum_1}{1 + Z_3/U Z_2}. \quad /4.16/$$

Введемо у цей вираз замість \bar{U} його граничні значення $U + \Delta$ та $U - \Delta$ і дістанемо числа Z_{26} , Z_{24} - границі зміни Z_2 , за яких виконуються умови /4.6/.

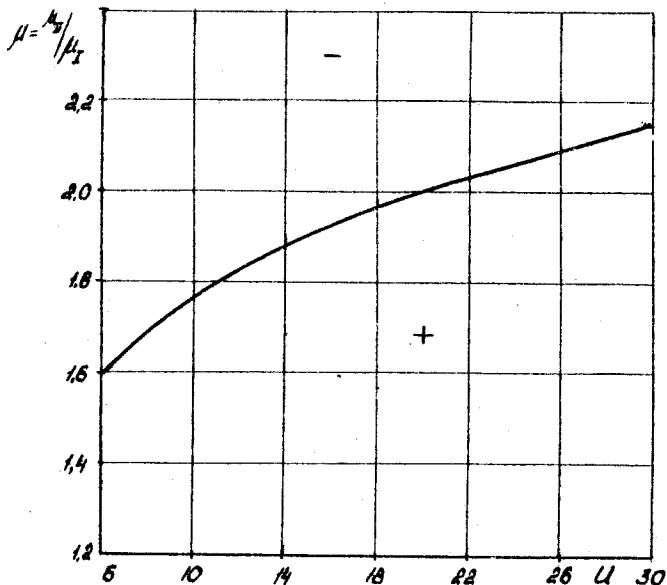


Рис. 4.4

Існують такі випадки:

1. Між \mathcal{Z}_{2^e} і \mathcal{Z}_{2H} не міститься цілих чисел. Тоді за вибраних e і \mathcal{Z}_2 , розв'язок відсутній /рис. 4.5,а/.
2. Між \mathcal{Z}_{2^e} і \mathcal{Z}_{2H} міститься одне ціле число n /рис.4.5,б/. Тоді $\mathcal{Z}_2 = n$ - єдиний розв'язок за вибраних e і \mathcal{Z}_2 .
3. За великих Δ може виявиться, що між \mathcal{Z}_{2^e} і \mathcal{Z}_{2H} лежить кілька цілих чисел /рис. 4.5,в/, наприклад $n_{2^e} \dots n_{2H}$. Тоді всі вони є розв'язками. Оскільки цей випадок зустрічається порівняно нечасто, розглядати його не будемо.

Щоб встановити, який із випадків має місце в дійсності, виділимо цілу частину числа \mathcal{Z}_{2^e} і позначимо її $[\mathcal{Z}_{2^e}]$. Якщо

$$[\mathcal{Z}_{2^e}] > \mathcal{Z}_{2H}, \quad /4.17/$$

число $\mathcal{Z}_2 = [\mathcal{Z}_{2^e}]$ задовільняє поставлені умові, тобто забезпечує передаточне число U із заданим допуском.

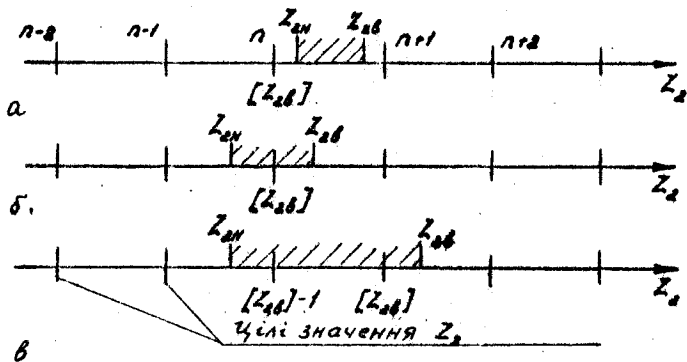


Рис. 4.5

Після визначення \mathcal{Z} з /4.13/ можна обчислити \mathcal{Z}_1 і перевірити виконання умови $\mathcal{Z}^2 \geq \mathcal{Z}_1$. У міру зростання значення e збільшуються числа зубів усіх коліс, тому наскор будуть цікавити головним чином розв'язки за значень e , що є близькими до мінімально можливих.

4.3.3. Обчилимо граничне значення e . Для цього підставимо в /4.14/ $\mathcal{Z}_1 = \mathcal{Z}_2 = \mathcal{Z}_{min}$, а також значення \mathcal{Z}_2 і \mathcal{Z}_3 з /4.12/ і /4.13/. У результаті дістанемо

$$U = \frac{(\Sigma - \mathcal{Z}_{min})(\Sigma - \mathcal{Z}_{min})}{\mathcal{Z}_{min}^2}$$

Звідси

$$U \mathcal{Z}_{min}^2 = (\mu_{max} \mu_2 - \mathcal{Z}_{min})(\mu_{min} \mu_1 - \mathcal{Z}_{min}).$$

Перетворюючи отриманий вираз, знаходимо

$$\mu_{min}^2 \mu_1 \mu_2 - \mathcal{Z}_{min}^2 (\mu_1 + \mu_2) \mu_{min} - \mathcal{Z}_{min} (U-1) = 0.$$

Остаточно

$$\mu_{min}^2 + p \mu_{min} + q = 0, \quad /4.18/$$

де

$$p = -\frac{\mathcal{Z}_{min}(\mu_1 + \mu_2)}{\mu_1 \mu_2}; \quad q = -\frac{\mathcal{Z}_{min}^2(U-1)}{\mu_1 \mu_2}.$$

Оскільки вільний член рівняння /4.18/ є негативним, воно має два дійсних корені, один з яких є позитивним, а інший - негативним. Умові задачі задовільняє лише позитивний корінь. Отримане значення треба округлити до найближчого більшого цілого числа.

Щоб отримати розв'язки, які задовільнятимуть поставленим умовам, треба організувати два цикли, в яких e і Σ_1 будуть збільшуватись від мінімальних допустимих значень. Якщо збільшувати Σ_2 за фіксованого e , значення Σ_2 буде збільшуватись, а Σ_1 - зменшуватись. Отже, верхнім граничним значенням Σ_2 буде те значення, за якого порушується умова $\Sigma_1 \geq \Sigma_{2\min}$.

У міру збільшення e всі числа зубів зростають і межею зміни e буде те значення, за якого будь-яке з чисел зубів досягло верхнього допустимого значення. Проте звичайно достатньо отримати чотири - п'ять розв'язків поблизу значення e_{min} , знайденого з /4.18/.

Для співвісного редуктора доцільно також, щоб числа зубів не мали загальних множників. Цю умову необхідно перевірити за допомогою табл. 4.1 та відбракувати варіанти, для яких воно не виконується.

Якщо співвісний редуктор виконано за багатопотоковою схемою, описані умови мають доповнюватись умовами сусідства та складання, які використовуються в процесі проектування планетарних редукторів. Тому синтез багатопотокових співвісних редукторів треба здійснювати так, як описано в п. 4.4.5.

4.3.4. Схему алгоритму синтезу співвісного редуктора зображенено на рис. 4.6. Автоматичний вихід із зовнішнього циклу при цьому не передбачений. Обчислення необхідно припинити після отримання достатнього числа розв'язків. Програму I.9, що реалізує цей алгоритм, наведено в дод. I.

Для прикладу було виконано розрахунки при $U = 8,15 \pm 0,08$; $K = 1,0$. За графіком на рис. 4.4 знаходимо, що заданому значенню U відповідає $U^* = 1,7$. Якщо в результаті міцнісного розрахунку першого ступеня буде отримано значення $m_1 = 2$ мм, то $m_2 = U m_1 = 2 \cdot 1,7 = 3,4$. Найближчими стандартними значеннями модуля є 3,0 і 3,5 мм. Тому геометричний синтез треба виконати при $m_1 = 2,0$; $m_2 = 3,0$, а також при $m_1 = 4,0$; $m_2 = 7,0$. Результати розрахунку наведені відповідно в табл. 4.4 і 4.5, з яких випливає, що умові відсутності загальних множників задовільняють варіанти I, II, III, IV.

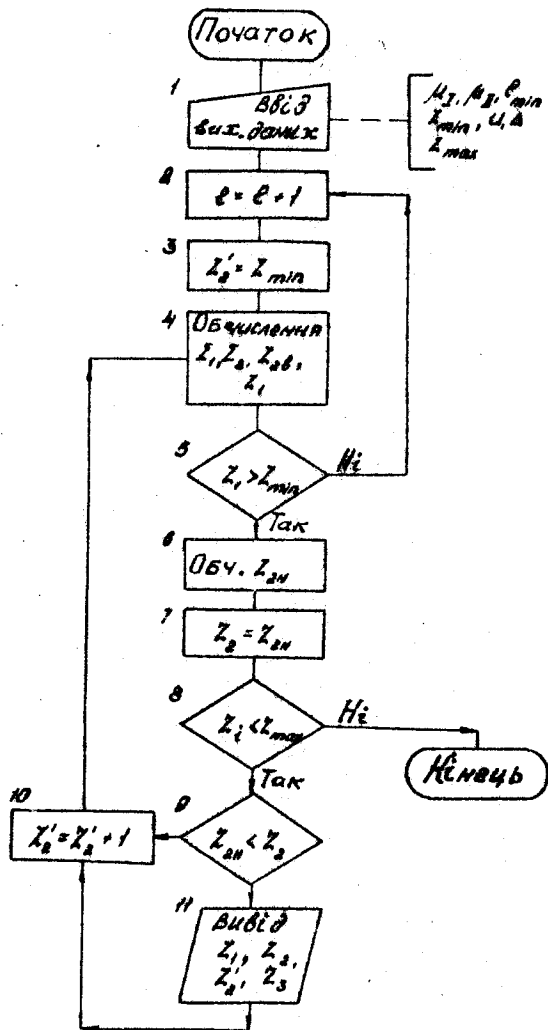


Рис. 4.6

Таблиця 4.4

Варіант	Z_1	Z_2	Z'_2	Z_3
1	17	64	17	37
2	20	67	17	41
3	20	70	18	42
4	19	74	20	42
5	18	75	21	41
6	17	76	22	40
7	23	73	18	46
8	26	73	17	49
9	23	76	19	47

Таблиця 4.5

Варіант	Z_1	Z_2	Z'_2	Z_3
10	17	74	18	34
11	19	79	19	37
12	25	80	17	43
13	22	83	19	41
14	20	92	23	41
15	19	93	24	40
16	18	94	25	39
17	17	95	26	38

Критерії оптимальності різних варіантів можна обчислити після міцнісного розрахунку зубчастих пар /див. підрозд. 4.5 і 4.6/, що містяться в них.

4.4. Синтез планетарних передач

4.4.1. Постановка задачі синтезу. Планетарні передачі мають особливості, що визначають раціональні галузі їх застосування. Планетарна передача забезпечує значні передаточні числа за малих габаритних розмірів редуктора, причому виграна тим більший, чим більше значення η .

Додаткову перевагу можна отримати, застосовуючи редуктори з кількома блоками сателітів, в яких потужність передається паралельними потоками, а симетричне розташування сателітів дає змогу заважити опори передачі й не порушити умову зірноваженості редуктора.

Рациональний вибір схеми редуктора забезпечує його високий ККД, що найважливіше в процесі проектування силових передач, розрахованих на передачу значної потужності.

У кінематичних передачах, що зустрічаються в механізмах приладів і системах керування, планетарний редуктор за рахунок малого числа опор, коліс і валів забезпечує високу точність передачі сигналів. І цьому разі ККД вирішального значення не має.

Технологія виготовлення планетарних передач є складнішою, ніж рялових, варітість їх вища, тому застосовувати їх треба тільки тоді, коли перелічені переваги виправдовують більш високі затрати.

Синтез планетарного редуктора треба починати з вибору схеми, що відповідає заданим умовам роботи. У деяких випадках схему редуктора в курсовому проекті задано. Тоді студент має обґрунтувати її відповідність заданим умовам роботи.

Потім необхідно обчислити числа зубів шестерінок і число блоків сателітів, за яких передаточне відношення редуктора відхиляється від заданого на значення, що не перевищує допустиме, і виконати умови співвісності, складання та сусідства. Цю частину задачі будемо називати геометричним синтезом редуктора.

У силових передачах модулі зубчастих коліс необхідно знайти з розрахунку на міцність згідно з ГОСТ 21364-75 [10], для чого використовуються відомості, отримані з курсу "Деталі машин" [21; 34].

Отриманий розв'язок можна оцінити за радіальними габаритними розмірами редуктора. Його приведеним моментом інерції, сумою мас рухомих деталей та іншими показниками. Отже, задачу синтезу планетарного редуктора можна сформулювати як оптимізаційну, в якій обмеженнями служать умови складання, сусідства, співвісності та задане передаточне число, а критерієм оптимальності - один із перелічених показників.

Для кінематичних передач розрахунок на міцність звичайно не виконують, а за критерій оптимальності беруть радіальні габаритні розміри редуктора.

4.4.2. Вибір схеми планетарного редуктора.

4.4.2.1. Найпростіші планетарні механізми виконують за схемами, зображеними на рис. 4.7. Позначатимемо їх згідно з рис. 4.7, відповідаючи види зачеплень, що використовуються в редукторі /A - зовнішнє зачеплення, I - внутрішнє/. В усіх випадках водило позначаємо H.

У перших двох типів механізмів AA і II передаточне відношення оберненого редуктора $i_{1,3} > 0$. У редукторів типів AI і AII маємо $i_{1,3} < 0$, останній - окремий випадок редуктора типу AI при

$$Z_1 = Z_2.$$

Складніші планетарні передачі можуть складатись послідовним поєднанням редукторів, побудованих за описаними схемами. Найбільше поширені також механізми з трьома центральними колесами /тип AIII на рис. 4.7, д/. Такий редуктор дає змогу отримати значення i_{1H} до 500 за відносно високого ККД, який дорівнює 0,8-0,9. Водило в цьому разі не бере участі в передачі енергії та служить лише опорою для сателітів.

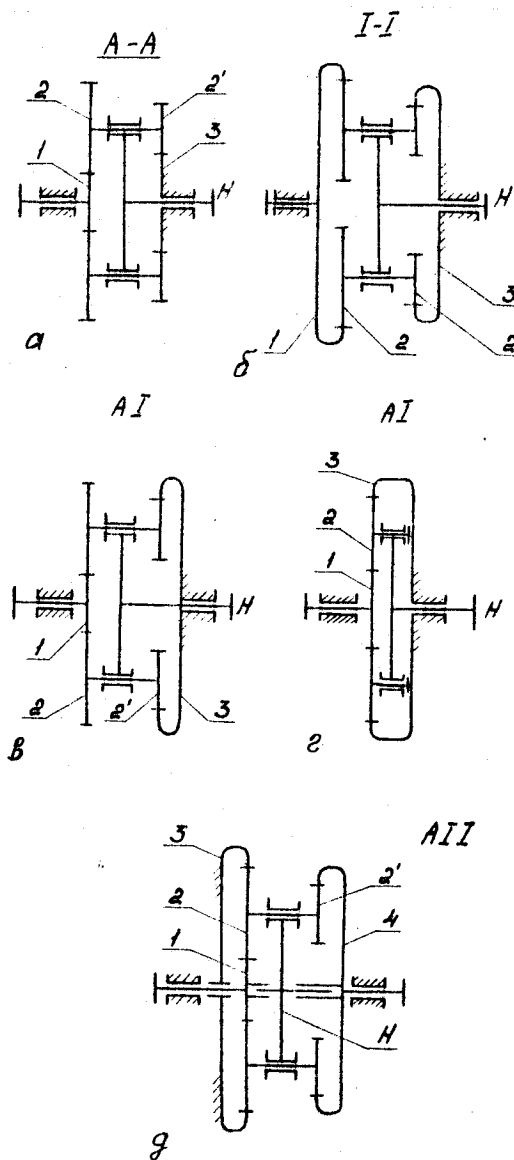


Рис. 4.7

4.4.2.2. Передаточні відношення i_{1H} та i_{13}'' планетарної передачі й оберненої передачі, що отримується в результаті зупинки водила, пов'язані залежністю

$$i_{1H} = 1 - i_{13}'' \quad /4.19/$$

яка може бути подана у вигляді графіка, зображеного на рис. 4.8, де по осі абсцис відкладено i_{13}'' , а по осі ординат – i_{1H} . Якщо в планетарному механізмі ведучим виступає центральне колесо I, то при $\varepsilon_1 = |i_{1H}| - 1$ такий механізм служить редуктором, у противному разі – мультиплікатором. Із рис. 4.8, а видно, що область $i_{1H} > 1$ відповідає передачам типу AI і AI . У цій області передаточне число планетарного редуктора перевищує передаточне число відповідного оберненого редуктора. Область $i_{1H} < -1$ відповідає редукторам типу AA , де передаточне число планетарної передачі менше, ніж оберненої. Тому для редукторів із центральним ведучим колесом I доцільно використовувати передачі типів AI і AI .

За ведучого водила H редукторам відповідає зона $-1 < i_{1H} < 1$.

Такі передаточні відношення можна реалізувати механізмами типів AA і II /рис. 4.8, б/. Ефективність редукторів у цій зоні наочна, якщо на тому самому рисунку показати графік передаточного числа редуктора

$$\varepsilon_1 = |1/i_{1H}|,$$

яке при $i_{1H} = 0$ необмежено зростає.

4.4.2.3. Найважливішим показником будь-якої передачі, в тому числі планетарної, є ККД. У планетарних передач цей показник залежить від матеріалу та виду механічної та термічної обробки зубчастих коліс, а також від i_{1H} і напряму передачі енергії. Як відомо [23, § 23.5, с. 473–479], ККД п'ятиланкової планетарної передачі без урахування втрат на тертя в підшипниках можна визначити за формулами, наведеними в табл. 4.6, де η – ККД оберненої редуктора, що характеризує матеріал і якість обробки зубчастих колес.

Для редукторів із ведучим колесом I залежність η від i_{1H} при $\eta = 0,9$ зображено на рис. 4.9 суцільною лінією. Як зазначалось, область $i_{1H} > 1$ відповідає редукторам типів AI і AI , де ККД планетарної передачі перевищує ККД відповідної оберненої передачі. В області $i_{1H} < -1$ має місце обернене співвідношення. Тому редуктори типу AA уступають рядовим передачам не лише за габаритними розмірами, а й за втратами енергії. Отже, як силові пере-

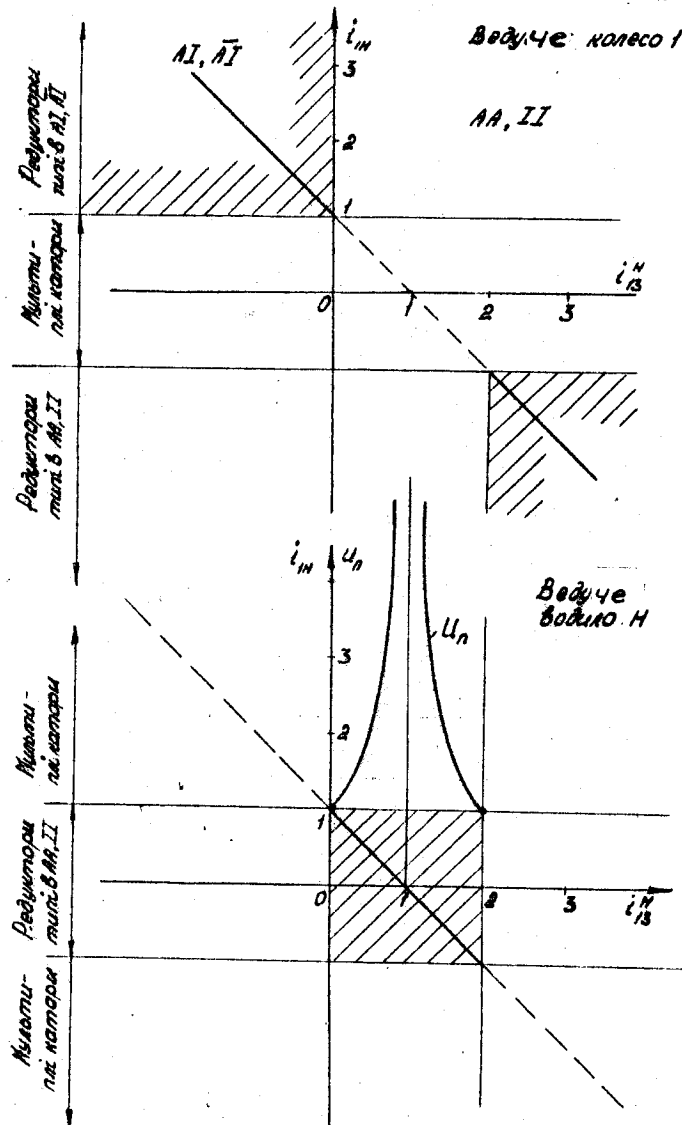


Рис. 4.8

Таблиця 4.6

Ведуче	$0 < i_{TH} < 1$	Решта значень
Колесо I	$\frac{1}{i_{TH}} \left[1 - \frac{1}{\eta_0} (1 - i_{TH}) \right]$	$\frac{1}{i_{TH}} \left[1 - \eta_0 (1 - i_{TH}) \right]$
Водило 4	$\frac{i_{TH}}{1 - \eta_0 (1 - i_{TH})}$	$\frac{i_{TH}}{1 - 1/\eta_0 (1 - i_{TH})}$

дачі раціонально використовувати редуктори типів AI і $A\bar{I}$. Застосовувати для цього редуктори типу AA необхідно тоді, коли не маємо в своєму розпорядженні зуборізні верстати, на яких можна виготовляти колеса внутрішнього зачеплення з необхідним числом зубів і потрібною точністю.

При $-1 < i_{TH} < 1$ і ведучому водилі аналізувати втрати енергії зручніше, користуючись графіком залежності η від i_{TH} . Із рис. 4.10 випливає, що таке використання планетарних передач пов'язане з порівняно низькими ККД і може рекомендуватись лише для кінематичних передач.

4.4.3. Обмеження в задачі геометричного синтезу планетарного редуктора.

4.4.3.1. У більшості технічних задач передаточне число планетарного редуктора має відрізнятись від заданого на значення, що не перевищує допустиме. Для спрощення розв'язання будемо вважати заданим граничне відхилення $\pm \Delta$ передаточного числа i оберненої передачі від його номінального значення i_0 . Тоді мають виконуватись нерівності /4.6/. Передаточне число оберненої передачі обчислюють за /4.14/ для редукторів типів AA , AI , $A\bar{I}$. Для редукторів типу AI маємо $\mathcal{Z}_2 = \mathcal{Z}_1$, тому $i = \mathcal{Z}_3 / \mathcal{Z}_1$. Оскільки обернений механізм – це співвісний редуктор, забезпечити умову співвісності та витримати задане передаточне відношення можна, використавши методику синтезу, описану в пп. 4.3.1 і 4.3.2. У разі використання кількох блоків сателітів алгоритм синтезу має доповнюватись перевіркою умов складання та сусідства. У переважній більшості випадків блоки сателітів закріплені на водилі під одинаковими кутами $2\pi/K$, де K – число блоків. Розв'язуючи задачу синтезу, число блоків вважаємо заданим. Як і при синтезі співвісного редуктора з нерухомими осями, співвідношення між модулями зубчастих коліс першого та другого ступенів доцільно вибирати так, щоб забезпечити умови рівноміцності /див. п. 4.3.2/.

Ведущая линия - конус!

147

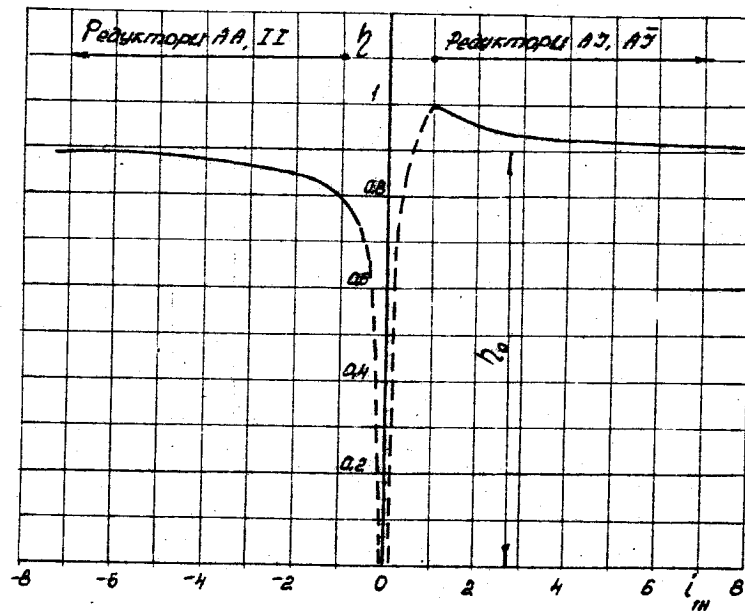


Рис. 4.9

Ведущая линия - волна Н

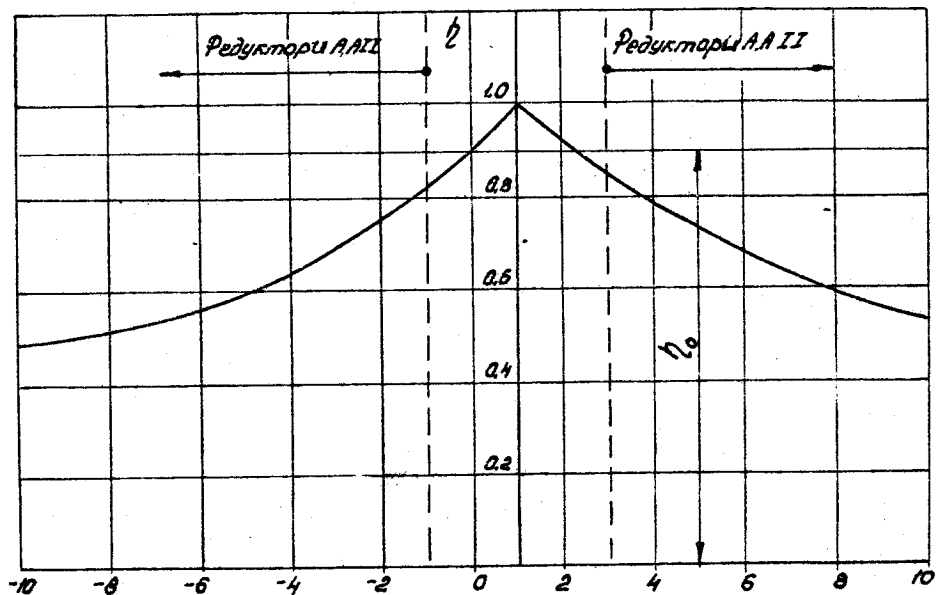


Рис. 4.10

Щоб орієнтовно визначити значення μ^* редукторів типу **AA**, можна використовувати рис. 4.4. Для редукторів типу **AA** формула 4.15/ набуває вигляду

$$\mu^* = \sqrt{U_1 \frac{U_2 - 1}{U_2} \frac{U_1}{U_1 - 1}} . \quad 14.20/$$

За цією формuloю можна знайти залежність $\mu^* = f(U)$, яка визначає границю рівноміцності редукторів розглядуваного типу. Ця залежність зображенна на рис. 4.11, де для порівняння пунктиром нанесено криву для редуктора типу **AI**. Із рис. 4.4 випливає, що в разі використання редуктора типу **AI** модуль другого ступеня можна вибрати значно меншим унаслідок зниження контактних напружень у зубчастій парі із внутрішнім зачепленням.

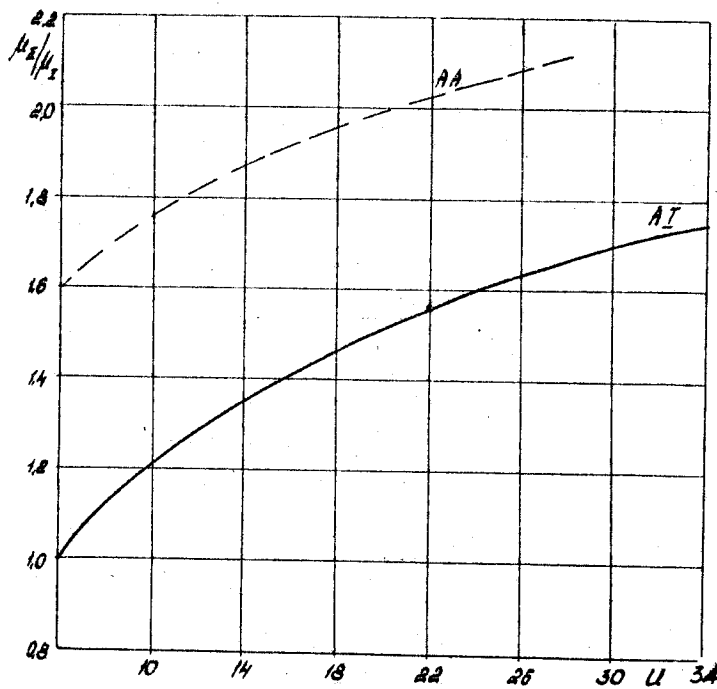


Рис. 4.11

У редукторах типу $\bar{A}\bar{I}$ можна використовувати лише колеса одного модуля, тому задачі отримання рівномірних передач тут не ставиться.

Числа зубів коліс наважатимемо обмеженими в інтервалі ($\mathcal{Z}_{\min} \dots \mathcal{Z}_{\max}$). Ці значення для коліс із зовнішнім вінцем обумовлені в п. 4.2.1. Для коліс із внутрішнім вінцем ці межі дорівнюють 40 - 350 зубів. Крім того, не треба допускати зменшення різниці між числами зубів колеса із внутрішнім вінцем і парної шестерні нижче 7 для запобігання інтерференції зубів.

4.4.3.2. Умова співвісності для редуктора типу $A\bar{A}$ збігається з рівнянням /4.10/ для співвісних редукторів з нерухомими осями. У загальному вигляді на редуктори типу $A\bar{I}$, дістанемо

$$\mu_1(\mathcal{Z}_1 + \mathcal{Z}_2) = \mu_2(\mathcal{Z}_3 + \mathcal{Z}_2'). \quad /4.21/$$

Тут і в подальшому верхній знак відповідає типу $A\bar{I}$ а нижній - типу $A\bar{A}$.

Увівши /як і в п. 4.3.1/ цілий параметр e , знайдемо рівняння

$$\sum_2 = \mathcal{Z}_3 + \mathcal{Z}_2' = e\mu_1; \quad /4.22/$$

$$\sum_1 = \mathcal{Z}_1 + \mathcal{Z}_2 = e\mu_2. \quad /4.23/$$

Рівняння /4.23/ збігається з /4.13/.

Для редукторів типу $A\bar{I}$ умова співвісності спрощується, набуваючи вигляду

$$\mathcal{Z}_1 + 2\mathcal{Z}_2 = \mathcal{Z}_3. \quad /4.24/$$

4.4.3.3. Розглянемо тепер умову складання*. Щоб ввести в зачеплення з центральними колесами перший блок сателітів, можна окремо повертати водило та колесо I так, щоб їх взаємне розташування забезпечило можливість постановки блока. У процесі постановки наступних блоків рухи ланки H і колеса I пов'язані; ввести сателіти в зачеплення можна тільки тоді, коли виконується умова

$$\frac{\mathcal{Z}_2 \mathcal{Z}_3 + \mathcal{Z}_1 \mathcal{Z}_2'}{KL} = R, \quad /4.25/$$

де L - найбільший загальний подільник чисел \mathcal{Z}_2 і \mathcal{Z}_2' (НП \mathcal{Z}_2 , \mathcal{Z}_2'); R - довільне ціле число.

* Докладніше з виведенням умови складання можна ознайомитись у [11; 22].

Умову складання у вигляді рівняння /4.25/ уперше запропонував Мерріт. Д.Я.Ковилін [22] показав, що ця форма умови складання є найбільш загальною, тобто виконання рівняння /4.25/ є необхідним і достатнім для складання співвісної передачі при $K > 1$.

В окремому випадку у редуктора $\bar{A}\bar{I}$ маємо $Z_2 = Z'_2 = \alpha L$ і рівняння /4.25/ набуває вигляду

$$\frac{Z_1 + Z_3}{K} = R. \quad /4.26/$$

4.4.3.4. Умова сусідства має забезпечити зазор між окружностями вершин сателітів тоді, коли $K > 2$. Перевіряти цю умову треба до того ступеня, де діаметр сателіта найбільший. Звичайно $Z_2 > Z'_2$, тому обмежуючим є перший ступінь, для якого має виконуватись умова

$$(Z_1 + Z_3) \sin(\pi/K) > Z_2 + 3. \quad /4.27/$$

Нашо обмежуючим є другий ступінь, умова сусідства має вигляд

$$(Z_3 + Z'_2) \sin(\pi/K) > Z'_2 + 3. \quad /4.28/$$

Число 3 у правій частині цих нерівностей забезпечує зазор між окружностями вершин сателітів не менше за модуль.

4.4.4. Геометричний синтез редукторів типу $\bar{A}\bar{I}$.

4.4.4.1. Якщо допуск на значення передаточного відношення оберненого редуктора дорівнює $\pm \Delta$, то з /4.20/ випливає, що верхнє та нижнє допустимі значення Z_3 відповідно однакові, тобто

$$Z_{3B} = (U + \Delta)Z_1; \quad Z_{3H} = (U - \Delta)Z_1. \quad /4.29/$$

Як і в разі синтезу співвісного редуктора, можуть існувати три випадки, описані в п. 4.3.2. Проте випадок декількох роз'язків не треба виключати з розглядання, оскільки у редуктора типу $\bar{A}\bar{I}$ він може бути і за малих Δ .

Тоді умові синтезу задовольняють усі цілі числа, для яких виконуються нерівності

$$[Z_{3B}] - j > Z_{3H} \quad (j = 0, 1, 2, 3, \dots). \quad /4.30/$$

Умову співвісності для розглядуваного редуктора було записано у вигляді /4.24/. Розв'яжемо її відносно Z_2 :

$$Z_2 = (Z_1 + Z_3)/2. \quad /4.31/$$

Якщо виявиться, що \mathcal{Z}_2 - ціле, умову співвісності виконано. Умову складання /4.26/ також необхідно перевірити: чи в результат ділення цілим числом.

Ізглянемо, як виконати цю операцію на прикладі умови складання. Виділімо цілу частину числа R і позначимо її $[R]$. Якщо

$$[R] - R = 0, \quad /4.32/$$

то R - ціле число, і умову складання виконано.

4.4.4.2. Умова сусідства для редукторів типу \bar{AI} виражається нерівністю /4.27/. Підставивши в неї \mathcal{Z}_3 і \mathcal{Z}_2 з /4.24/ і /4.31/, дістанемо

$$\mathcal{Z}_1 [\sin(\pi/K) + 1 - U(1 - \sin(\pi/K))] > 6. \quad /4.33/$$

Із цієї умови випливає, що коли за певних значень U і K вираз, що стоїть у квадратних дужках, є позитивним, то збільшенням \mathcal{Z}_1 , умову сусідства можна виконати. Цьому випадку відповідає область допустимих значень U і K . Проте якщо $\mathcal{Z}_1 > 17$, це означає, що ми змушені збільшувати розміри редуктора, щоб забезпечити виконання умови сусідства. Тому область раціональних значень U і K будемо називати таку область, де умова /4.33/ виконується при $\mathcal{Z}_1 \leq 17$. Тоді, призначивши за умови відсутності підрізання колеса і $\mathcal{Z}_1 = 17$, забезпечимо виконання умови сусідства /4.33/.

Користуючись рівнянням /4.33/, можна визначити область допустимих і раціональних значень U за різних значень K /табл. 4.7/.

Таблиця 4.7

Значення i_{1H}	Число сателітів K					
	3	4	5	6	7	8
Рациональне	11,29	4,62	2,99	2,29	1,91	1,66
Допустиме	13,92	5,82	3,85	3	2,53	2,23

Із табл. 4.7 випливає, що число сателітів для редукторів типу \bar{AI} має не перевищувати трьох, а передаточне число - 11.

4.4.4.3. Схему алгоритму синтезу редуктора типу \bar{AI} зображенено на рис. 4.12. До пам'яті необхідно ввести такі величини і дані: \mathcal{Z}_1 , K , U , Δ . Якщо U і K лежать в області раціональних значень, необхідно взяти $\mathcal{Z}_1 = \mathcal{Z}_{min}$; якщо вказані параметри знаходяться в області допустимих значень, необхідно за /4.33/ обчислити \mathcal{Z}_1 .

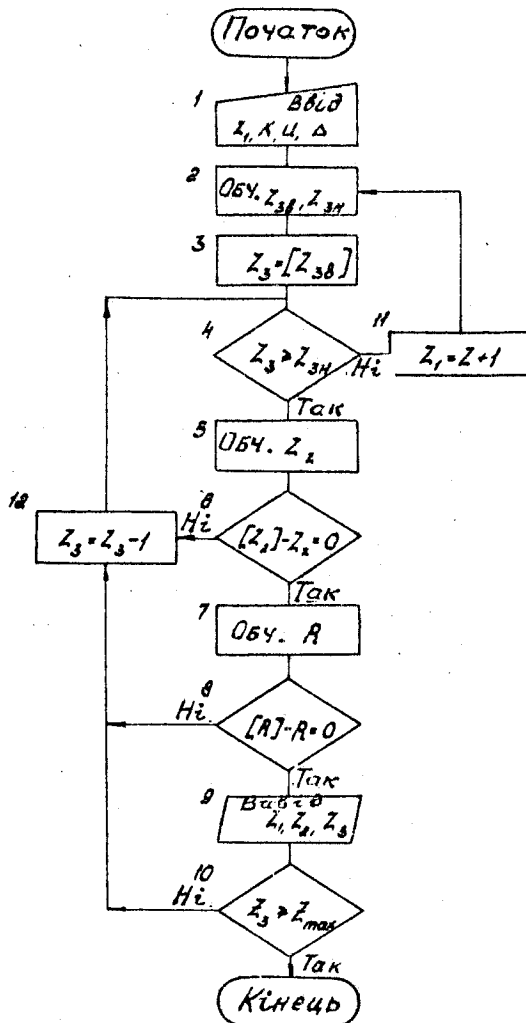


Рис. 4.12

Алгоритм розв'язуваної задачі є ітераційним, оскільки чиоло повторень у цьому разі не задано й обчислювальний процес змінюється залежно від того, чи виконуються умови /4.30/ і $Z_3 < Z_{max}$.

У процесі розв'язання в блоках 3, 6, 8 необхідно визначати цілу частину чисел Z_1, Z_2, R . Якщо задача розв'язується на ПМК, ця операція виконується за допомогою стандартної команди $K[]$, що забезпечує виділення цілої частини числа, яке знаходиться в реєстрі X .

Розглянемо організацію обчислень у блоку 6, де перевіряється умова співвідомості. Знайдене за /4.31/ значення Z_2 записується до ячейки 7 нульової модифікації [25]. Потім виконується команда КИП7. Вміст ячейки 7 модифікується, тобто виділяється його ціла частина. Одночасно вміст реєстру X передається до реєстру Y . Виконавши команду обміну $\underline{\underline{=}}$, повертаємо вихідне значення Z_2 до реєстру X . Після цього викликаємо отримане в результаті модифікації значення $[Z_2]$ і знаходимо різницю $Z_2 - [Z_2]$. Перевіряємо, чи дорівнює отримана різниця нулю; якщо ні – відбувається перехід до блока 12 зміни Z_3 .

Аналогічні операції виконуються в блоку 8, що перевіряє умову складання. Вийд результата відбувається лише тоді, коли всі обмежуючі умови виконані.

У дод. I наводиться програма 1.10, яка реалізує цей алгоритм.

Для прикладу було виконано розрахунки за таких вихідних даних: $K = 3,0$; $C = 6,29$; $\Delta = \pm 0,1$.

Оскільки C лежить в області раціональних значень, задаємо початкове значення $Z_1 = 17$. Результати розв'язання наведені в табл. 4.8, де також поміщені варіанти, в яких числа зубів коліс не мають загальних множників.

Таблиця 4.8

Колеса	Число з зубів							
	Z_1	18	19	20	22	23	24	25
Z_2	48	50	52	59	61	63	65	70
Z_3	114	119	124	140	145	150	155	166

4.4.5. Геометричний синтез редукторів типів AA і AI .

4.4.5.1. Геометричний синтез редукторів цих типів схожий із задачею синтезу співвісного багатопотокового редуктора. Як і в підрозд. 4.3, за незалежні параметри беремо $e \in \mathcal{Z}_2$. Задавши їх значення та визначивши за допомогою графіків, зображенних на рис. 4.4 або 4.11, значення μ_1 і μ_2 , обчислюємо $\sum_1 + \sum_2$ за /4.22/ і /4.23/. Із /4.22/ знаходимо, що

$$\mathcal{Z} = e\mu, \neq \mathcal{Z}'_2. \quad /4.24/$$

За прийнятим у п. 4.4.2.2 правилом верхній знак відповідає редуктором типу AI , нижній – редукторам типу AA . Користуючись формулами /4.16/, обчислимо $\mathcal{Z}_{2e}, \mathcal{Z}_{2n}$, для чого підставляємо в неї $U+\Delta$ і $U-\Delta$. Перевірими виконання умови /4.17/, дістанемо відповідь, чи укладається за вибраних $e \in \mathcal{Z}_2$ передаточне число у заданий дopusk /нерівності /4.6//. Якщо умова /4.17/ виконується, беремо $\mathcal{Z} = [\mathcal{Z}_{2e}, \mathcal{Z}_{2n}]$. Потім треба знайти \mathcal{Z}_1 з /4.23/. У разі збільшення \mathcal{Z}_1 значення \mathcal{Z}_2 , обчислене за /4.16/, також зростає, а отже, \mathcal{Z}_1 спадає. Таким чином, за кожного значення e можна збільшувати \mathcal{Z}_1 від \mathcal{Z}_{min} до того значення, за якого виконується умова $\mathcal{Z}_1 > \mathcal{Z}_{min}$.

4.4.5.2. Збільшення e призводить до монотонного збільшення всіх чисел зубів. Тому його верхня межа визначається обмеженням за \mathcal{Z}_{max} .

Числові розрахунки показують, що зростання e приводить до збільшення зазора між окружностями вершин сусідніх сателітів, тобто покращує умову сусідства. І, навпаки, зростання \mathcal{Z}_2 може привести до його порушення.

Із викладеного випливає, що в разі порушення умови сусідства немає сенсу продовжувати змінювати значення \mathcal{Z}_2 в бік збільшення, а потрібно одразу перейти до більшого e . Крім того, нижнє граничне значення e обмежується не лише \mathcal{Z}_{min} , а й виконанням умови сусідства.

Визначимо спочатку e_{min} за обмеженням на мінімальне число зубів, а потім за умови сусідства, після чого знайдемо більше з цих чисел. Якщо виявиться, що це значення перевищує e_{max} , знайдене за умови обмеження найбільшого числа зубів, обмеження в задачі синтезу не сумісні й треба зменшити число блоків сателітів.

Рівняння для визначення e_{min} за обмеженням на мінімальне число зубів збігається з рівнянням /4.18/ для співвісного редуктора, але його коефіцієнти

$$P = -\frac{Z_{min}(\mu_1 \pm \mu_2)}{\mu_1 \mu_2}; \quad q = -\frac{Z_{min}^2(U+1)}{\mu_1 \mu_2}, \quad /4.35/$$

де верхні знаки відповідають редукторам типу AI.

Для редукторів типу AA коефіцієнти P і q збігаються з відповідними коефіцієнтами рівняння /4.18/.

Рівняння для визначення e_{min} за умови сусідства збігається з рівнянням /4.18/, але його коефіцієнти

$$P' = \frac{\mu_2 \sin(\pi/k) Z_{min}^{-3} \mu_1}{\mu_1 \mu_2 \sin(\pi/k)}; \quad q' = -\frac{Z_{min}^2 (U Z_{min} + 3)}{\mu_1 \mu_2 \sin(\pi/k)}, \quad /4.36/$$

Найдільше допустиме значення e_{min} дістаємо підстановкою в /4.22/ значень $Z_3 = Z_{max}$, $Z_2' = Z_{max}$, $Z_2 = Z_{min}$. Тоді

$$e_{max} = \frac{Z_{max} \mp Z_{min}}{\mu_1}. \quad /4.37/$$

Для прикладу визначимо перелічені величини для редуктора типу AI при $K = 8,0$; $U = 22$.

У цьому разі за графіком, зображенім на рис. 4.II, визначаємо, що $\mu = 1,55$. Якщо модуль першого ступеня $m_1 = 2,0$ мм, то найближче стандартне значення модуля другого ступеня $m_2 = 3,0$.

Знайдемо e_{min} за обмеженням на число зубів /4.35/:

$$P = -\frac{Z_{min}(\mu_1 \pm \mu_2)}{\mu_1 \mu_2} = -\frac{17(2-3)}{2 \cdot 3} = 2,833;$$

$$q = -\frac{Z_{min}^2(U+1)}{\mu_1 \mu_2} = -\frac{17^2 \cdot 23}{2 \cdot 3} = -1107,83.$$

Значення e_{min} обчислюється з рівняння

$$e^2 + 2,833e - 1107,83 = 0,$$

розв'язком якого є

$$e_{1,2} = -1,416 \pm \sqrt{2,006 + 1107,83} = -1,416 \pm 33,31.$$

Умові задачі задовільняє корінь $e = 31,89 \approx 32$. Тепер визначимо e' з умови сусідства. У цьому разі

$$P' = \frac{\mu_2 \bar{Z}_{\min} \sin(\pi/\kappa) - 3\mu_1}{\mu_1 \mu_2 \sin(\pi/\kappa)} = \frac{3 \cdot 17 \cdot 0,866 - 3 \cdot 2}{3 \cdot 2 \cdot 0,866} = 7,345;$$

$$q' = -\frac{\bar{Z}_{\min} (\bar{Z} \bar{Z}_{\min} + 3)}{\mu_1 \mu_2 \sin(\pi/\kappa)} = -\frac{17(22 \cdot 17 + 3)}{3 \cdot 2 \cdot 0,866} = -1233,48;$$

$$e'_{\min} = -\frac{P'}{2} + \sqrt{\frac{(P')^2}{4} - q'} = -3,672 + \sqrt{13,487 + 1233,48} = 31,64.$$

Найбільше допустиме значення e_{\max} при $\bar{Z}_{\max} = 350$

$$e_{\max} = \frac{350 - 17}{2} = 165,5.$$

На основі отриманих результатів можна зробити такі висновки:

I. Нижні граничні значення e , що визначаються за двома обмеженнями, практично збігаються.

2. Знайдене значення $e \ll e_{\max}$, тобто за вибраного K обмеження сумісні.

4.4.5.3. Алгоритм синтезу має передбачати перевірку всіх обмежень, зміну параметрів \bar{Z}_2 і e збільшенням їх значень на одиницю та вивід результатів у разі виконання всіх умов синтезу. Оскільки число повторень обчислювального процесу наперед невідоме, алгоритм є ітераційним. Його схему зображенено на рис. 4.13.

Блок 2 надає початкове значення $\bar{Z}_2 = \bar{Z}_{\min}$. Потім обчислюємо $\sum_1, \sum_2, \bar{Z}_{26}, \bar{Z}_1$. Перевіряємо, чи виконується умова $\bar{Z}_2 > \bar{Z}_{\min}$. Якщо вона не виконується, подальше збільшення \bar{Z}_2 не має сенсу і, треба перейти до блока 13 збільшення e . Оскільки збільшення \bar{Z}_2 може привести до порушення умови сусідства, блок 5 перевіряє II виконання. Якщо II не виконано, переходимо до блока 13. Виконуючи умову сусідства, обчислюємо \bar{Z}_{2H} і перевіряємо умову $[\bar{Z}_{26}] \geq \bar{Z}_{2H}$ /блок 7/. Якщо умову блока 7 виконано, продовжуємо перевіряти подальші обмеження, якщо ні, — переходимо до блока 12 збільшення \bar{Z}_2 .

Блоки 8 і 9 слугують для перевірки умови складання. У блоку 8 визначається найбільший загальний подільник Δ чисел \bar{Z}_2 і \bar{Z}_2 . Потім обчислюється R згідно з 4.25/, а блок 9 перевіряє, чи в

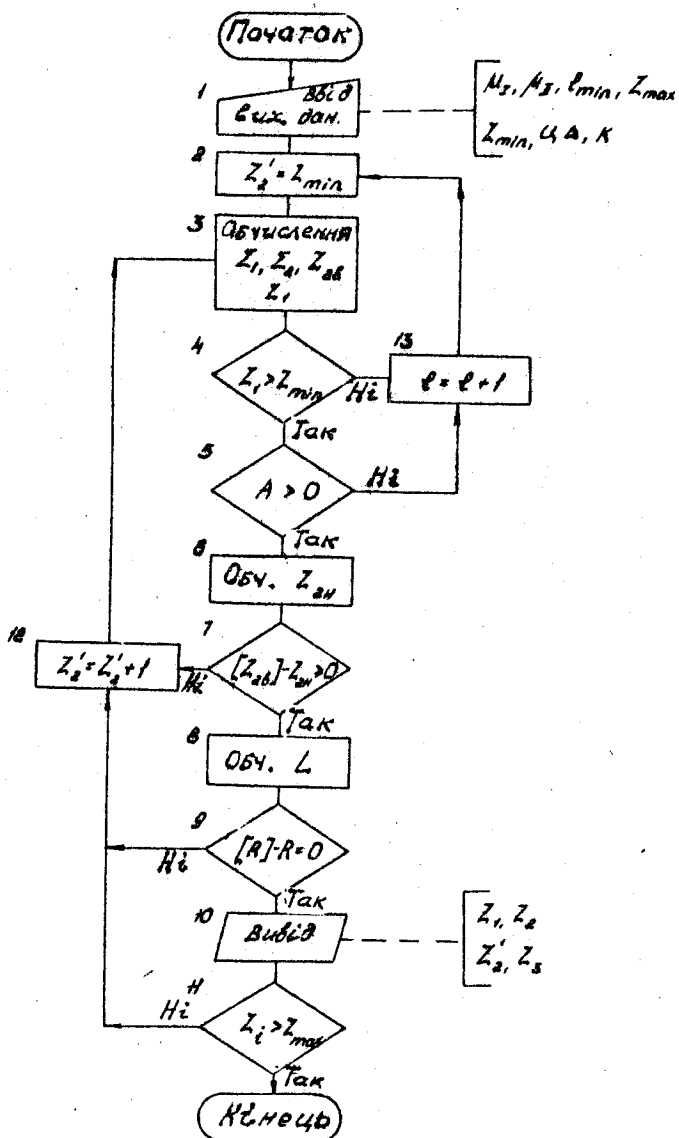


Рис. 4.13

отриманий результат цілим. Якщо умову складання виконано, відбувається вивід знайдених значень $\mathcal{Z}_1, \mathcal{Z}_2, \mathcal{Z}'_2, \mathcal{Z}_3$. Якщо $\mathcal{Z}_i < \mathcal{Z}_{max}$, переходимо до блоку 12 збільшення \mathcal{Z}_i .

Після отримання достатнього числа розв'язків або за досягнення обмежень за \mathcal{Z}_{max} , обчислення треба припинити. Оскільки зростання e призводить до збільшення ваги та розмірів редуктора, достатньо отримати кілька розв'язків поблизу нижньої граничі значень e .

Під час виконання описаного алгоритму доводиться виділяти цілу частину числа \mathcal{Z}_i і перевіряти, чи в число R цілим. Ці операції описані в п. 4.4.4.3.

Оригінальним є блок 8, де обчислюється найбільший загальний подільник чисел \mathcal{Z}_i і \mathcal{Z}'_i /НЗП $\mathcal{Z}_i, \mathcal{Z}'_i = \alpha$ /. Для цього використано алгоритм Евкліда відшукання неповних часток [7] і складено на його основі програму 3.2, яку наведено в [16].

Розглянемо алгоритм визначення НЗП (b, a) , де $b > a$. Нехай після ділення b на a отримаємо неповну частку q і залишок r . Це означає, що $b = aq + r$, де $q = [b/a]$ - ціла частина числа b/a .

Якщо $r \neq 0$, величині b необхідно надати значення a , величині a - значення r і повторювати обчислення доти, поки на деякому кроці процесу не виявиться $r_i = 0$. Тоді обчислення необхідно закінчити, надавши НЗП (b, a) значення r_{i-1} . Схему алгоритму розв'язання цієї частини задачі, зображену на рис. 4.14.

Проілюструємо дію цього алгоритму на такому прикладі. Нехай $b = 1254$; $a = 42$.
Тоді

$$q_1 = \left[\frac{1254}{42} \right] = 29;$$

$$r_1 = b - q_1 a = 1254 - 29 \cdot 42 = 36.$$

Переобчислимо значення:

$$b_2 = a = 42; a_2 = r_1 = 36;$$

$$q_2 = \left[\frac{42}{36} \right] = 1; r_2 = 42 - 36 = 6.$$

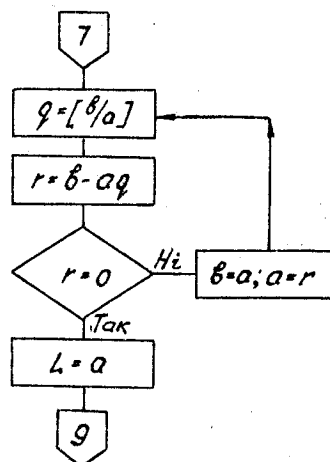


Рис. 4.14

Знову переобчислимо значення θ і a :

$$\theta_3 = a_2 = 36; \quad a_3 = r_2 = 6;$$

$$q_3 = \left[\frac{36}{6} \right] = 6; \quad r_3 = 36 - 6,6 = 0.$$

Отже, НЗП /1254,42/ = 6.

Щоб розв'язати задачу синтезу редукторів типів AI та AA, згідно з описаним алгоритмом складено програму 2.4 /дод. I/, в якій передбачено вивід значень e і χ_2 , після їх змін. Це дає можливість орієнтуватись у процесі обчислень.

Для прикладу було виконано синтез редуктора типу AI при $K = 3,0$; $M = 30,29 \pm 0,5$. Із рис. 4.11 знаходимо, що за умови рівноміцності $m^* = 17$. Якщо $m_1 = 2,0$ мм, то $m_2 = 3,4$, або, округлючи, дістанемо $m_2 = 3,5$. Тому в подальшому було виконано геометричний синтез редукторів при $M_1 = 4,0$ і $M_2 = 7,0$, а також при $M_1 = 1,0$ і $M_2 = 2,0$ /чому відповідають $m_1 = 2,0$ і $m_2 = 4,0$ мм/.

Результати обчислень наведені в табл. 4.9. Серед отриманих розв'язків лише варіанти 1 і 4 задовільняють умові відсутності загальних множників у числах зубів парних коліс.

Таблиця 4.9

$M_1 = 4; M_2 = 7$					$M_1 = 1; M_2 = 2$				
Варіант	χ_1	χ_2	χ'_2	χ_3	Варіант	χ_1	χ_2	χ'_2	χ_3
I	22	118	17	97	II	24	132	17	95
2	24	123	17	101	III	26	136	17	98
3	23	124	18	102	IV	25	137	18	99
4	28	133	17	109	V	29	143	17	103
5	25	136	20	112	VI	29	145	17	104
6	30	138	17	113	VII	28	146	18	105
7	29	139	18	114	VIII	27	147	19	106
8	28	140	19	115					
9	27	141	20	116					
10	26	142	21	117					

Великі розміри сателіта 2 призводять до збільшення радіального габариту та приведеного моменту інерції. Тому необхідно розглянути можливість заміни редуктора типу $A1$ двома послідовними редукторами типу $\bar{A}1$. У цьому разі на кожному ступені треба реалізувати передаточне відношення $\varkappa = 4,59 \pm 0,1$ /припускається, що обидва редуктори мають однакове передаточне відношення/. Наведемо результати синтезу:

Z_1	17	18	19	24	25	26	27	28
Z_2	31	33	35	42	44	46	48	50
Z_3	79	84	89	108	113	118	123	128

У цьому разі варіанти $Z_1 = 17$; $Z_1 = 19$; $Z_1 = 25$ не мають загальних множників. Порівняння параметрів редуктора типу $A1$ і двох послідовно з'єданих редукторів типу $\bar{A}1$ наведене в п. 4.6.3.

4.5. Розрахунок зубчастих пар двоступінчастого редуктора на контактну та згинальну витривалість

4.5.1. Постановка задачі. Щоб визначити маси та моменти інерції рухомих ланок редуктора, необхідно визначити модулі зубчастих коліс першого та другого ступенів з розрахунку на витривалість.

Розглянемо розв'язання цих задач стосовно двоступінчастих редукторів, як планетарних, так і тих, що мають нерухомі осі.

Розрахунок виконамо за таких припущень:

колеса прямозубі без зміщення;

нерівномірністю розподілу навантаження між блоками сателітів /або проміжними валами співвісного редуктора/ можна знехтувати;

задана довговічність передачі настільки великою, що коефіцієнти довговічності K_{H1} і K_{F1} для першого та другого ступенів дорівнюють одиниці.

Міцнісні розрахунки циліндричних зубчастих передач регламентовані ГОСТ 21354-75 [10]. Подальше викладення виконується згідно із [10] та деякими спрощеннями, що не змінюють фізичного смислу і практично не впливають на остаточні результати розрахунку. У процесі побудови алгоритму розв'язання задачі стосовно окремої зубчастої пари використано методику розв'язання, описану в [34], звідки використано також довідкові таблиці, наведені в дод. 4.

Із розрахунків на контактну та згинальну витривалість визначаються два значення модуля зачеплення коліс розрахункового ступеня. З обох значень необхідно вибрати більше й округлити до найближчого більшого стандартного значення /ГОСТ 9563-60/. У результаті зубчаста пара буде працювати з деяким недовантаженням, тому коефіцієнт ширини зуба ψ_{ed} можна переобчислити так, щоб зберегти напруження на рівні допустимих.

4.5.2. Основні розрахункові залежності.

Як відомо [21], за умов контактної витривалості

$$d_m = K_d \sqrt{\frac{T_{1H} K_{HB}}{K \psi \sigma_{HP}^2}} \frac{U \pm 1}{U}, \quad /4.38/$$

де K_d - допоміжний коефіцієнт, для прямозубих коліс $K_d = 770$ /ГОСТ 21354-75/; T_{1H} - розрахунковий крутний момент на шестерні, Н·м; K_{HB} - коефіцієнт, що враховує нерівномірність розподілу навантаження по довжині зуба; U - передаточне число; $\psi_{ed} = b/d$ - коефіцієнт ширини зуба; σ_{HP} - допустиме контактне напруження при розрахунку на витривалість, МПа.

Оскільки в разі геометричного синтезу редуктора авторами було отримано варіанти, що відрізняються числами зубів, у подальшому підбачатимемо можливість зміни Z_1 і U та приведемо /4.38/ до вигляду

$$m' = \frac{A_H}{Z_1} \sqrt{\frac{U \pm 1}{U}}, \quad /4.39/$$

де

$$A_H = K_d \sqrt{\frac{T_{1H} K_{HB}}{K \sigma_{HP}^2 \psi_{ed}}} \cdot \quad /4.40/$$

Розрахунок на витривалість при згині виконуємо за формулою

$$m'' = K_m \sqrt{\frac{T_{1F} K_{FB}}{K \sigma_{FP}^2 \psi_{ed}}} \frac{Y_F}{Z_1^2},$$

де K_m - допоміжний коефіцієнт, для прямозубих коліс $K_m = 14$; T_{1H} , T_{1F} - розрахунковий крутний момент на шестерні, Н·м; K_{FB} - коефіцієнт, що враховує нерівномірність розподілу навантаження по

довжні зуса; σ_{FP} - допустиме напруження при згині; Y_F - коефіцієнт форми зуба.

Виділивши величини, що безпосередньо залежать від числа зубів, дістанемо

$$m' = A_F \sqrt[3]{\frac{Y_F}{Z_1^2}}, \quad /4.41/$$

де

$$A_F = K_m \sqrt{\frac{T_{1F} K_{FA}}{K G_{FP} \Phi_{Bd}}}.$$

Коефіцієнт форми зуба Y_F залежить у загальному випадку від коефіцієнта зміщення та числа зусів. У розглядуваному випадку при $X = 0$ значення Y_F залежить лише від Z_1 , і може визначатись за апроксимаційною залежністю

$$Y_F = B + \frac{C}{Z^2},$$

де $B = 3,568$; $C = 201,95$ були знайдені за графіком, наведеним у додатку до ГОСТ 21354-75.

Послідовність і методика визначення решти коефіцієнтів, що входять до виразів для обчислення A_H і A_F , наведені в табл. 4.10.

4.5.3. Особливості розрахунку двоступінчастого редуктора.
Перейдемо до розгляду особливостей розрахунку двоступінчастого редуктора. Якщо проектується планетарний редуктор, то його треба привести до передачі з нерухомими осями методом обернення руху. У цьому разі моменти на його валах не змінюються.

Після обернення руху відношення кутових швидкостей першого та другого валів визначається передаточним числом $U_1 = Z_2/Z_1$, а другого та третього валів - передаточним числом $U_2 = Z_3/Z_2$. Ці величини і необхідно використовувати в /4.39/ і /4.41/ для обчислення необхідних коефіцієнтів. При розрахунку передачі з нерухомими осями величини U_1 і U_2 в передаточними числами відповідно першого та другого ступенів редуктора. Якщо захтувати втратами в зубчастій парі першого ступеня, то розрахунковий момент на ведучій шестерні другого ступеня $T_2 = T_1 U_1$.

Умови праці першого та другого ступенів і відповідні розрахункові формули наведені в табл. 4.10.

Таблиця 4.10

Сту- пінь	Веду- ча ланка	Переда- точне число	Розра- хунко- вий момент	Розрахунок	
				на контактне напруження	на вигин
Пер- ший	1	$U_1 = \frac{Z_2}{Z_1}$	T_1	$m' = A_{H1} \sqrt[3]{U_1 + 1}$	$m'' = A_{F1} \sqrt[3]{\frac{Y_{F1}}{Z_1^2}}$
Друг- гий	2'	$U_2 = \frac{Z_1}{Z_2}$	T_1, U_1	$m''' = A_{H2} \sqrt[3]{\frac{U_2 + 1}{U_2} U_1}$	$m'''' = A_{F2} \sqrt[3]{\frac{Y_{F2}}{(Z_2')^2}}$

З даних табл. 4.10 випливає, що формулі можна привести до однакової структури, якщо ввести під коренем множник Ψ /для першого ступеня $\Psi = 1,0$, а для другого $\Psi = U_1 - 1$. Тоді значення розрахункового крутного моменту для першого та другого ступенів при обчисленні коефіцієнтів A_H і A_F треба брати таким, що дорівнює T_1 . Зміну моменту буде враховано множником Ψ .

Після визначення більшого з двох значень модуля для ступеня, що розраховується, округлення його до стандартного значення /у бік збільшення/ можна перерахувати коефіцієнт ширини зуба Ψ_{ed} так, щоб зберегти допустимий рівень напружень за лімітуючим виглядом деформації. З цієї умови

$$\Psi_{Bd}^* = \Psi_{Bd} \left(\frac{m}{m_{cr}} \right)^3. \quad 4.42/$$

4.5.4. Програмування задачі. Для виконання кількох варіантів розрахунку, що розрізняються числами зубів коліс, знайдених у результаті геометричного синтезу редуктора, використовуємо програму 2.5 /дод. I/, яка дозволяє виконати міцнісний розрахунок і визначити критерії оптимальності за формулами, наведеними в п. 4.6.2.

Значення коефіцієнтів $A_{H1}, A_{H2}, A_{F1}, A_{F2}$ обчислюємо за допомогою калькулятора без використання програми та вводимо їх до пам'яті ЕОМ за допомогою операторів присвоювання. У процесі розв'язання для кожного варіанта треба ввести відповідні числа зубів.

Безпосередні розрахунки на контактні напруження та вигин внесені до програми, яка викликається двічі - для розрахунку першого

та другого ступенів. Після розрахунку кожного ступеня порівнюються значення отриманих модулів і найбільше з них виводиться на екран. Потім користувач вводить найближче більше стандартне значення модуля, яке і застосовується в подальших розрахунках.

Якщо модуль, який отримано з розрахунку за контактними напруженнями, більший, виводиться повідомлення *CONT*, у протилежному разі - повідомлення *WIND*, що дають змогу орієнтуватися в тому, який вид навантаження визначає розміри передачі.

Для прикладу розрахуємо на міцність зубчасті колеса редукторів, виконаних за розгорнутою схемою при $\zeta = 8,15 \pm 0,05$ /п.4.2.2/.

Коефіцієнти визначаємо в такій послідовності:

1. Нехай за діаграмою приведеного моменту знайдено, що $T = 22 \text{ Н}\cdot\text{м}$.

2. За табл. Д.4.2 вибираємо матеріал коліс - сталь 40Х. Цей сорт сталі піддається нормалізації та покращенню. Можна отримати твердість робочої поверхні $HB = 180-350$.

3. Твердість після термообробки беремо $HB = 300$. За табл. Д.2.5 встановлюємо залежність

$$\sigma_{H\text{c}i\text{m}e} = 2HB + 70 = 2,300 + 70 = 670 \text{ МПа.}$$

За табл. Д.2.3 знаходимо

$$\sigma_{F\text{c}i\text{m}e} = 1,8 \cdot 300 = 540 \text{ МПа.}$$

4. За табл. Д.4.5 визначаємо, що для однорідної структури за звичайних наслідків руйнування $S_H = 1,1$. За табл. Д.4.3 знаходимо, що для прийнятої термообробки $S'' = 1,75$. За табл. Д.4.6 для поковки за відсутності абразивного зносу $S_F = 1,0$. Згідно з табл. Д.4.7 у разі двостороннього прикладання навантаження та прийнятої термообробки $R_{FC} = 0,65$.

5. Допустиме контактне напруження при $K_{HL} = 1,0$

$$\sigma_{HP} = \frac{\sigma_{H\text{c}i\text{m}e}}{S_H} \cdot I = \frac{670}{1,1} = 609 \text{ МПа.}$$

Допустиме напруження на згин при $K_{FL} = 1,0$

$$\sigma_{FP} = \frac{\sigma_{F\text{c}i\text{m}e} K_{FC}}{S'_F S''_F} \cdot I = \frac{540 \cdot 0,65}{1,75 \cdot 1,0} = 200,6 \text{ МПа.}$$

6. Згідно з табл. Д.4.2 для несиметричного розташування опор і твердості $HB < 350$ знаходимо $\psi_{ed} = 0,9$.

7. За табл. Д.4.І визначаємо:

для першого ступеня $B_H = 0,16$, $B_F = 0,31$;

для другого ступеня $B_H = 0,07$, $B_F = 0,16$.

Звідси випливає, що для "першого ступеня"

$$K_{H\beta} = 1 + B_H \psi = 1 + 0,16 \cdot 0,9 = 1,44;$$

$$K_{F\beta} = 1 + B_F \frac{Bd}{Fbd} = 1 + 0,31 \cdot 0,9 = 1,28;$$

для другого ступеня

$$K_{H\beta} = 1,0 + 0,07 \cdot 0,9 = 1,063;$$

$$K_{F\beta} = 1,0 + 0,16 \cdot 0,9 = 1,144.$$

8. Розрахунок коефіцієнтів A_H і A_F :

для першого ступеня

$$A_H = 770 \sqrt[3]{\frac{22 \cdot 1,44}{0,9 \cdot 609^2}} = 35,12; \quad A_F = 14 \sqrt[3]{\frac{22 \cdot 1,28}{0,9 \cdot 200,6}} = 7,53,$$

для другого

$$A_H = 31,74; \quad A_F = 7,26.$$

Результати розрахунку на міцність наведені в табл. 4.II

Таблиця 4.II

Но- мер	Z_1	Z_2	Z'_2	Z_3	m_1	m_{ct}	β_1	m_2	m_{ct}	β_2	d_2	d_3
1	16	56	16	37	2,15	2,5	23	3,44	3,5	49	140	129,5
2	17	60	17	39	2,02	2,5	21	3,25	3,5	44	150	136,5
3	18	63	18	42	1,91	2,0	29	3,05	3,0	52	126	126
4	19	67	19	44	1,81	2,0	26	2,90	3,0	47	234	132
5	21	74	21	49	1,63	2,0	21	2,62	3,0	39	148	147
6	22	77	22	51	1,56	2,0	19	2,50	2,5	50	144	127,5

У табл. 4.II наведені значення модулей, отримані за розрахунком, і результати округлення до стандартних значень. В усіх розглянутих варіантах обмежуючими для першого та другого ступенів є контактні напруження. Тому із зростанням чисел зубів значення модуля обох ступенів знижуються.

В основу визначення числа зубів було покладено умову рівності діаметрів ведених коліс першого та другого ступенів. Щоб перевірити

точність виконання цієї умови після округлення модулів, було обчис-
лено значення d_2 і d_3 /табл. 4.II/. З даних табл. 4.II випливає,
що відмінності між діаметрами коліс 2 і 3 досить малі.

У подальшому на основі матеріалу, викладеного в підрозд. 4.6, для розглянутих варіантів редукторів можна визначити приведений мо-
мент інерції та суму мас зубчастих коліс. Для цього в підрозд. 2.5
необхідно записати в рядках 70 і 75 оператори, що відповідають роз-
глядуваному типу редуктора.

4.6. Визначення критеріїв оптимальності

4.6.1. Критерії, що використовуються, та взяті припущення.
Критеріями, що описують досконалість конструкції редуктора, можна
взяти приведений момент інерції, суму мас рухомих коліс і габаритні
розміри.

Порівнюючи складність конструкції планетарних редукторів різ-
них типів, можна зробити висновок, що виготовлення редуктора типу $A\bar{I}$
простіше, ніж решти, і треба перевірити можливість використання двох
послідовно з'єднаних механізмів типу $A\bar{I}$ замість редуктора типу $A\bar{J}$
або передачі з нерухомими осями.

Розглянемо обчислення перелічених критеріїв оптимальності.
Визначаючи їх, можна зробити такі припущення.

1. Масу та момент інерції шестерні беремо такими, що дорівнюю-
ть відповідним значенням суцільного сталевого циліндра. Масу та мо-
мент інерції зубчастих коліс обчислюємо, беручи типові конструктив-
ні співвідношення між розмірами зубчастого вінця, діаметром маточини,
товщиною обода і т.д.

2. Маси валів і водила вважаємо однаковими в усіх варіантах,
тому, обчислюючи критерії оптимальності, нехтуємо ними.

3. Габаритні розміри редуктора визначаємо за відстанню між най-
віддаленішими точками на початкових окружностях.

4. Колеса нарізані без зміщення інструменту.

Перше та друге припущення призводять до похибки в абсолютних
значеннях обчислованих критеріїв, але отримані результати можна ви-
користовувати для порівняльного оцінювання у разі зміни параметрів,
що варіюються /число зубів, число блоків сателітів тощо/.

4.6.3. За зроблених припущень маси шестерні та зубчастого ко-
леса відповідно

$$M = \pi r^2 B y; \quad M = \alpha_1 \pi r^2 B y,$$

/4.43/

де $y = 7,82 \cdot 10^{-6}$ кг/мм³ – питома маса сталі; α_1 – коефіцієнт, що враховує вплив конструктивного виконання колеса на його масу.

Моменти інерції шестерні та колеса, кг·м²,

$$J = M \frac{r^2}{2} \cdot 10^{-6}; \quad J = \alpha_2 M \frac{r^2}{2} \cdot 10^{-6},$$

/4.44/

де α_2 – коефіцієнт, що враховує вплив конструкції зубчастого колеса на його момент інерції; множник 10^{-6} використовують тоді, коли радіус r виражається в міліметрах /мм/.

Розрахунки, виконані для ряду коліс, показують, що можна взяти $\alpha_1 = 0,434$; $\alpha_2 = 1,21$.

Приведений до вала водила момент інерції планетарного редуктора

$$J_n = J_1 i_{1H}^2 + K [(J_2 + J'_2) i_{2H}^2 + (M_2 + M'_2) \alpha_w^2], \quad /4.45/$$

де i_{1H} , i_{2H} – відношення кутових швидкостей відповідно колеса I і блока сателітів до кутової швидкості водила ω_H ,

$$i_{1H} = 1 \pm \frac{\mathcal{Z}_2 \mathcal{Z}_3}{\mathcal{Z}_1 \mathcal{Z}_2}; \quad /4.46/$$

$$i_{2H} = 1 \mp \frac{\mathcal{Z}_1 \mathcal{Z}_3}{\mathcal{Z}_2 \mathcal{Z}_1}; \quad /4.47/$$

/верхні знаки відповідають редукторам типу нижніх, тобто типу AA 1.

Розглядаючи редуктори типу AI, необхідно покласти $\mathcal{Z}_2 = \mathcal{Z}_1$; $J_2 = 0$; $M_2 = 0$.

Радіальний габарит D планетарного редуктора визначаємо як відстань між діаметрально протилежними точками на початкових окружностях сателітів 2.

За зроблених припущень

$$D = d + 2d.$$

/4.48/

Сума рухомих мас редуктора $M_1' = M_2' + K(M_1 + M_2')$.

Приведений момент інерції двоступінчастого редуктора, виконаного за співвісною багатолопатковою схемою,

$$J_n = J_1 U_1^2 + K(J_1 + J'_2) U_2^2 + J_3. \quad /4.49/$$

Формулу /4.49/ можна застосовувати також до редукторів, виконаних за розгорнутою схемою, якщо взяти $K = 1,0$.

Габаритний розмір співвісного редуктора з кількома проміжними валами розраховують за /4.48/. Якщо проміжний вал один, то

$$D = \frac{1}{2} (m_1 (Z_1 + 2Z_2) + m_2 Z_3). \quad /4.50/$$

Якщо редуктор виконано за розгорнутою схемою, його габаритний розмір

$$D = \frac{1}{2} (m_1 (2Z_1 + Z_2) + m_2 (Z_2' + 2Z_3')). \quad /4.51/$$

Приведений момент інерції та габаритний розмір триступінчастого редуктора визначають відповідно за /4.49/ і /4.51/.

4.6.3. Програмування задачі та приклади розрахунків.

4.6.3.1. Програма 2.5 /дод. I/, дає змогу виконати міцнісний розрахунок першого та другого ступенів планетарного редуктора та визначити масу його рухомих деталей і приведений момент інерції згідно з описаним алгоритмом.

Для кожного розглядуваного варіанта треба ввести числа зубів коліс редуктора. Усі постійні коефіцієнти вводяться до пам'яті операторами присвоювання.

4.6.3.2. щоб проаналізувати вплив числа блоків сателітів на критерії оптимальності, було виконано міцнісні розрахунки редукторів типу AI при $K = 2$ і $K = 3$. Основні параметри цих результатів і значення коефіцієнтів, що використовувались у процесі міцнісних розрахунків, наведені в табл. 4.13.

Таблиця 4.13

Тип редуктора	\dot{L}_{1H}	K	T_1 , Н·м	σ_{HP} , МПа	σ_{FP} , МПа	A_H	A_F
AI	7,3	3	66	609	200,6	38,85	9,83
AI	7,3	2	66	609	200,6	44,48	10,74
AI	31,29	3	75	609	308,6	40,55	8,48
Послідовне приєднання AI	1 5,59	3	75	609	308,6	40,55	8,48
	2 5,59	3	419	609	308,6	71,96	15,05

$$\psi_{\beta_B} = 0,6, \quad \beta_H = 0,5, \quad \beta_F = 1,08, \quad K_{HB} = 1,3, \quad K_{FB} = 1,65.$$

Значення модуля та ширина зубчастого вінця, отримані з розрахунків на міцність, для двох значень K за незмінних реєсти параметрів наведені в табл. 4.14, де також указані значення критеріїв оптимальності.

Проаналізувавши дані табл. 4.14, можна зробити висновок, що із збільшенням числа блоків сателітів критерії оптимальності покращуються. Тому K треба вибирати якомога більшим за умови сусідства. Оптимальні варіанти в табл. 4.14 підкреслені.

Перевіримо тепер доцільність заміни редуктора типу $A1$ двома послідовно з'єднаними редукторами $A1$. Числа зубів редукторів обох типів знаходимо в п. 4.4.5.

Коефіцієнти, необхідні для розрахунку на міцність редукторів цього типу за припущення, що вони передають однобічне навантаження, наведені в табл. 4.13. Результати міцнісних розрахунків і критерії оптимальності редукторів типу $A1$ наведені в табл. 4.15.

Із даних табл. 4.15 випливає, що варіанти I - 3, 6 мають виключатись із подальшого розгляду як ті, що не задовільняють умовами міцності другого ступеня.

При $M_1 = 4,0$ і $M_2 = 7,0$ найменше значення \mathcal{J}_n має варіант 7. При $M_1 = 1,0$ і $M_2 = 2,0$ найкращий у цьому розумінні варіант 16. Отримане для цього значення $\mathcal{J}_n = 2,727$ найменше з усіх в табл. 4.15. Цей самий варіант має також найменший радіальний габарит. Найменшу масу рухомих деталей має варіант 7.

Результати міцнісних розрахунків двох послідовно з'єднаних редукторів типу $A1$ за одинакових чисел зубів наведені в табл. 4.16, де також указані результати обчислених $\mathcal{J}_n, M_{\Sigma}, D$.

У табл. 4.16 момент інерції першого редуктора приводився до його веденого вала, тому загальний момент інерції, приведений до веденого вала другого редуктора, обчислюють за формулою $\mathcal{J}_n = \mathcal{J}_1 + \mathcal{J}_2$. Якщо вибрати оптимальні за моментом інерції варіанти 1/2, т. $= 247$, то загальний приведений момент інерції

$$\mathcal{J}_n = 0,0155 \cdot 5,59^2 + 0,2622 = 0,7465 \text{ кг}\cdot\text{м}^2,$$

а сума рухомих має

$$M_{\Sigma} = M_1 + M_2 = 2,11 + 11,67 = 13,78 \text{ кг}.$$

Порівняємо ці результати з аналогічними показниками редуктора типу $A1$ /варіант 16 у табл. 4.15/. У цьому разі

$$\mathcal{J}_n = 2,727 \text{ кг}\cdot\text{м}^2; M_{\Sigma} = 13,85 \text{ кг}.$$

Таблиця 4.14

λ_1	λ_2	λ_3	$K = 3$						$K = 2$					
			m	β	M_{Σ}	D	$J_n \cdot 10^2$	m	β	M_{Σ}	D	$J_n \cdot 10^2$		
18	48	I14	2,5	25	3,18	285	3,56	3,0	25	3,21	342	5,22		
19	50	I19	2,5	22	<u>3,05</u>	297	3,73	3,0	22	<u>3,07</u>	357	5,47		
20	52	I24	2,25	26	3,16	<u>279</u>	<u>3,42</u>	2,5	32	3,37	<u>312</u>	<u>4,54</u>		
22	59	I40	2,0	28	3,45	280	3,71	2,5	24	3,82	350	5,49		
23	61	I45	2,0	26	3,43	290	3,98	2,25	29	3,38	326	5,02		
24	63	I50	2,0	24	3,38	300	4,21	2,25	25	3,12	337	4,97		
25	65	I55	2,0	22	3,31	310	4,41	2,00	32	3,37	310	4,54		
26	70	I66	1,75	31	4,II	290	7,76	2,00	29	3,51	332	5,36		

171

Таблиця 4.15

N	Z_1	Z_2	Z'_2	Z_3	m_1	β_1	m_2	β_2	M_{Σ}	D	J_P
$\mu_1 = 4 \quad \mu_2 = 7 \quad (m_1 = 2, m_2 = 3,5)$											
1	22	I18	I7	97	2,0	26	4,5	38	Не задовільняються умови міцності другого ступеня		
2	24	I23	I7	101	2,0	21	4,0	37	Не задовільняються умови міцності другого ступеня		
3	23	I24	I8	102	2,0	23	4,0	35	Не задовільняються умови міцності		
4	28	I33	I7	109	2,0	13	4,0	54	Не задовільняються умови міцності		
5	25	I36	20	I12	2,0	18	3,5	38	14,35	594	3,016
6	30	I38	I7	I13	2,0	II	4,0	35	Не задовільняються умови міцності		
7	29	I39	I8	I14	2,0	I2	3,5	46	II,02	614	2,920
8	28	I40	I9	I15	2,0	I3	3,5	41	II,74	616	2,934
9	27	I41	20	I16	2,0	I5	3,5	37	I3,14	618	3,149
10	26	I42	21	I17	2,0	I6	365	33	I3,87	620	3,153
$\mu_1 = 1, \mu_2 = 2 \quad (m_1 = 2,0, m_2 = 4,0)$											
II	24	I32	I7	95	2,0	20	4,0	42	I5	576	2,957
I2	26	I36	I7	98	2,0	I6	4,0	40	I3,30	596	2,974
I3	25	I37	I8	99	2,0	I8	4,0	35	I4,42	598	2,983
I4	29	I43	I7	I03	2,0	I2	4,0	37	II,24	630	2,956
I5	29	I45	I7	I04	2,0	I2	4,0	38	II,55	638	3,181
I6	28	I46	I8	I05	1,75	I3	3,5	50	I3,85	560	2,727
I7	27	I47	I9	I06	1,75	2I	3,5	44	I4,38	561	2,793

Таблица 4.16

α_1	d_2	d_3	Редуктор ступеня									
			первого					второго				
			m_1	B_1	M_{Σ}	D	$J_n \cdot 10^2$	m_2	B_2	M_{Σ}	D	J_n
173	31	79	3,0	24	2,04	237	1,70	51	12,06	395	0,2916	
	33	84	3,0	20	1,92	253	1,80	50	11,50	420	0,3138	
	35	89	2,5	30	2,25	222	1,72	4,50	50	12,60	400	0,3012
	42	I08	2,0	30	2,11	216	1,55	3,50	54	11,67	378	0,2622
	44	I13	2,0	26	2,00	226	1,61	3,50	48	11,36	395	0,2738
	46	I18	2,0	23	1,93	236	1,69	3,50	43	11,11	413	0,2965
	48	I23	1,75	31	2,17	215	1,57	3,50	38	10,66	430	0,3089
	50	I28	1,75	28	2,12	224	1,66	3,00	54	12,05	384	0,2775

Наведені числа показують, що в даному разі заміна редуктора типу $A\Gamma$ дає змогу різко знизити приведений момент інерції та незначно зменшити масу рухомих коліс. Габаритний розмір також суттєво зменшується. Тому розглядувану заміну необхідно вважати доцільною.

4.7. Геометричний синтез пари евольвентних зубчастих коліс зовнішнього зачеплення

4.7.1. Веротатне зачеплення заготовки та різального інструменту.

4.7.1.1. Більшість зубчастих коліс, що використовуються у сучасних машинних агрегатах /як прямозубих, так і косозубих/, виготовляються за методом обгинання, коли профіль зуба формується у веротатному зачепленні різального інструменту та заготовки. У разі використання методів обгинання заготовці та інструменту надають на веротаті такі рухи, які відтворюють процес зачеплення. Крім руху обгинання інструменту надається технологічний рух, що забезпечує зрізання матеріалу заготовки. У цьому русі різальні кромки інструменту описують поверхню, що називається твірною. У більшості випадків технологічний рух інструменту є поступальним, отже, твірна поверхня є циліндричною.

Твірна та бічна поверхні заготовки, що нарізається, є взаємно обвідненими. Якщо твірну поверхню розтити площинкою, що є перпендикулярною до її твірних, у перетині дістанемо нормальні вихідний твірний контур /ВТК/ інструменту. Таким чином, у веротатному зачепленні відбувається взаємне обкочування ВТК і колеса, що нарізається. У подальшому розглянемо більш загальний випадок нарізання косозубих коліс.

4.7.1.2. Різальним інструментом частіше використовується інструментальна рейка /зубофрезерні, зубостругальні та зубошлифувальні верстати/.

ГОСТ 13755-81 регламентує форму та розміри нормальногоВТК різального інструменту, який характеризує модуль m , кут профілю α , коефіцієнти висоти головки зуба h_a та скругленої ділянки β_c профілю C^* /рис. 4.15/. Зазначений стандарт встановлює значення $\alpha = 20^\circ$; $h_a = 1,0$; $C^* = 0,25$. Звідси випливає, що $\rho \approx 0,38 m$.

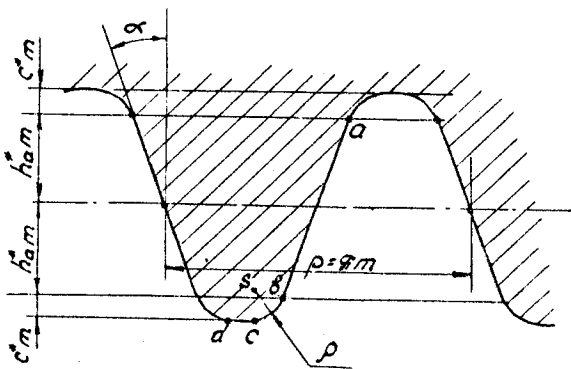


Рис. 4.15

У разі нарізання косозубих коліс торцевий та нормальній перетини ВТК становлять кут β , що приводить до зміни кроку та кута профілю рейки в торцевому перетині:

$$\rho_t = \frac{\rho_n}{\cos \beta} ; \quad \operatorname{tg} \alpha_t = \frac{\operatorname{tg} \alpha}{\cos \beta} . \quad /4.52/$$

Заокруглена ділянка bc в торцевому перетині є дугою еліпса. ІІ вертикальна піввісь дорівнює ρ , а горизонтальна - $\rho / \cos \beta$ /рис. 4.16, б/; через майданчик між величиною півосей* частину еліпса можна наближено замінити окружністю, радіус ρ_t^* якої визначимо за умови збереження за висотою точки b спряження заокругленої та прямолінійної ділянок /рис. 4.16/. У цьому разі, як випливає з рис. 4.16,

$$\rho_t^* = \frac{c^* m}{1 - \sin \alpha_t} .$$

У табл. 4.17 наведено значення $\rho_t^* = c^* / 1 - \sin \alpha_t$ за різних кутів нахилу зуба. З даних табл. 4.17 випливає, що поправка в значенні радіуса кривизни еквівалентної окружності досягає 3%, якщо $\beta = 20^\circ$.

* Для чисточності на рис. 4.16 відмінність між полюсами еліпса показано значно більшою, ніж є у дійсності.

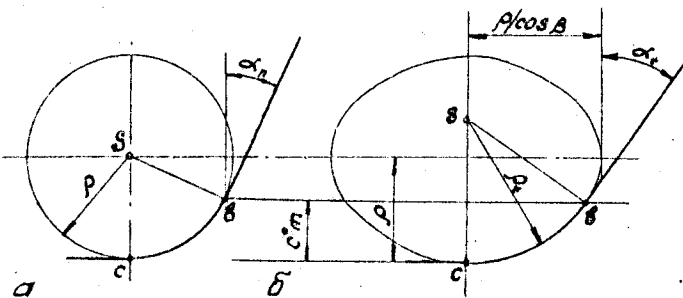


Рис. 4.16

Таблиця 4.17

β°	P_t^*	β°	P_t^*	β°	P_t^*	β°	P_t^*
0	0,37995	6	0,38091	12	0,383871	18	0,389051
2	0,38005	8	0,381669	14	0,385330	20	0,391348
4	0,38004	10	0,38265	16	0,387100	22	0,393954

Форма зубів колеоса, що нарізається, визначається параметрами інструменту, а також числом зубів затотовки та зміщенням x_m середньої лінії ВТК відносно діляльної окружності заготовки /рис. 4.17, а/.

У верстатному зачепленні залежно від величини та знаку зміщення центроїдою інструментальної рейки є одна з прямих KK' , що паралельні середній лінії ВТК, а центроїдом заготовки - діляльна окружність*.

Зокрема при $X = 0$ центроїдом рейки є її середня лінія. Згідно з ГОСТ 16531-81 залежно від знаку зміщення розрізняють колеса з позитивним або негативним зміщенням чи колеса без зміщення. Коефіцієнти зміщення рейки в разі нарізання обох колес зубчастої пари вибирають за конкретних умов роботи передачі, які мають зазначатись у завданні на курсовий проект.

* У разі нарізання шестерінок довбачем центроїди заготовки та інструменту можуть не збігатись із відповідними діляльними окружностями. Проте цей випадок у даному посібнику не розглядається.

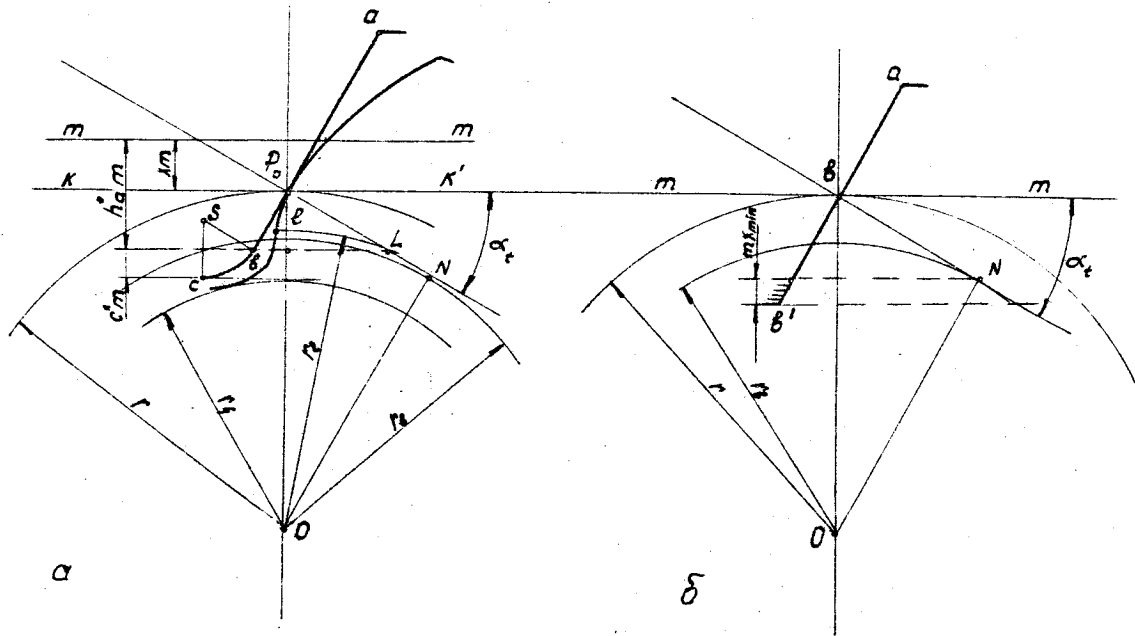


Рис. 4.17

4.7.1.3. Лінія зачеплення у розглядуваному випадку складає з центроїдю рейки кут верстатного зачеплення, який дорівнює куту α_t профілю рейки в торцевому перетині. Оскільки лінія зачеплення торкається основної окружності /рис. 4.17,а/ радіус останньої

$$r = r \cos \alpha_t, \quad 1/4.53$$

де $r = mZ/2\cos\beta$ - радіус дільниці окружності.

У верстатному зачепленні радіус окружності западин заготовки

$$r = r - m(h_a^* + c^* - x) = r + m(x - (h_a^* + c^*)). \quad 1/4.54$$

До /4.54/ входять величини m , h_a^* , c^* для нормального перерізу ВТК рейки, оскільки його розміри в напрямі, що в перпендикулярним до дільниці прямі при повороті рейки, для нарізання косозубих коліс не змінюються.

Радіус окружності вершин заготовки необхідно визначати з урахуванням розмірів парної шестерні /див. п. 4.6.3/. Головний /евольвентний/ профіль зуба є обвідною до прямолінійної частини $\alpha\beta$ ВТК рейки /див. рис. 4.15/, перехідна крива - обвідною звокругленої ділянки BC , окружність западин - обвідною прямолінійної ділянки BC профілю рейки входить у зачеплення із спряженими точками евольвента на лінії верстатного зачеплення /див. рис. 4.17,а/. Якщо траекторія до крайньої точки C цієї ділянки лежить у межах відрізка P_oN лінії верстатного зачеплення, то вона визначає на цій ділянці точку L контакту граничної точки C на профілі зуба заготовки з точкою B на профілі рейки. У цьому разі евольвента та перехідна крива плавно з'єднуються в граничній точці L .

Якщо рейку розташовано відносно заготовки так, що траекторія крайньої точки B перетинає лінію зачеплення за межами відрізка P_oN /рис. 4.17,б/, виникає неприпустиме явище підрізу. Для його усунення рейка має бути зміщена від центра колеса, що нарізається, на значення не менше mX_{min} , де X_{min} - коефіцієнт зміщення, необхідний для усунення підрізу.

У граничному випадку траекторія точки B проходить крізь точку N . Тоді гранична точка розташовується на основній окружності. Знайдемо відстань LN від границі лінії зачеплення до точки контакту граничної точки профілю у верстатному зачепленні. З рис. 4.17,а випливає, що

$$LN = P_oN - P_oL = r \sin \alpha_t - \frac{(h_a^* - x)m}{\sin \alpha_t}. \quad 1/4.55$$

Відрізок $\angle N$ визначає радіус граничних точок колеса:

$$r_e = \sqrt{r_b^2 + (\angle N)^2}.$$

Знак відрізка $\angle N$ дає змогу перевірити правильність вибору коефіцієнта зміщення за умови відсутності підрізання / $\angle N < 0$ відповідає підрізу заготовки/. Якщо $\angle N > 0$, то його величина дає можливість встановити, чи має місце інтерференція в експлуатаційному зачепленні /див. п. 4.7.4/.

4.7.2. Вибір коефіцієнтів зміщення рейки.

4.7.2.1. Коефіцієнти зміщення рейки впливають на геометричні розміри пари зубчастих коліс, а отже, і на їх якісні показники /ступінь перекриття, коефіцієнт питомого ковзання, коефіцієнт форми зуба та ін./. Зміна коефіцієнтів X_1 і X_2 , що сприяє покращанню одного з показників, може погіршити інші показники. Прикладом може служити зміна форми зуба в разі позитивного зміщення рейки. Вона призводить до збільшення дугової ширини зуба у його основі і зменшення ширини зуба по окружності вершин /рис. 4.18/. У крайньому разі це може привести до заострення зуба ($S_a = 0$) і поломки його вершини.

У той самий час потовщення основи зуба підвищує його згинальну міцність. Найзручніше враховувати позитивний і негативний вплив коефіцієнтів зміщення на якість зубчастої пари за допомогою блокуючого контуру.

4.7.2.2. Блокуючий контур – це замкнена крива на площині параметрів

X_1, X_2 /рис. 4.19/, всередині якої виконуються основні вимоги до пари зубчастих коліс. Кожній парі значень X_1 і X_2 відповідає точка на площині блокуючого контуру, і навпаки. Блокуючий контур будеться для певного сполучення чисел зубів Z_1 і Z_2 . Блокуючі контури для деяких сполучень Z_1 і Z_2 наведені в дод. З до ГОСТ 16532-70. Більш повний набір блокуючих контурів можна знайти в [4]. Розгля-

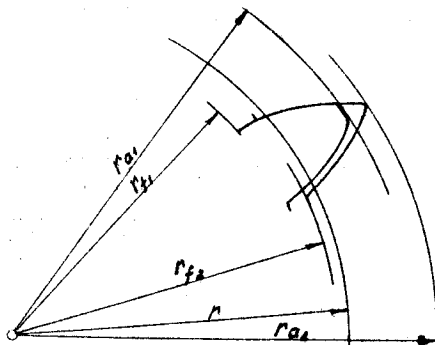


Рис. 4.18

немо основні умови, яким мають задовольняти коефіцієнти зміщення і які визначають граничні криві блокуючого контуру.



Допустимі, але не
рекомендовані значення

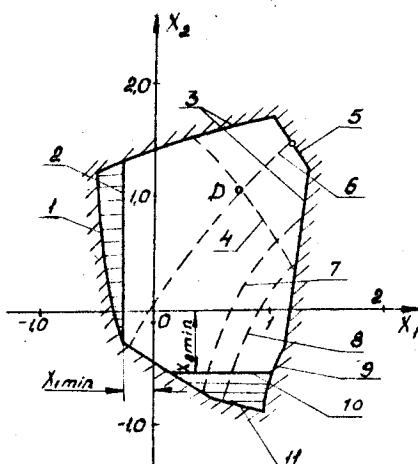


Рис. 4.19

1. Відсутність підрізання зубів виражається нерівностями

$$X_1 \geq X_{1\min} ; \quad X_2 \geq X_{2\min},$$

де

$$X_{1\min} = \frac{17 - Z_1}{17}; \quad X_{2\min} = \frac{17 - Z_2}{17}.$$

Цим умовам відповідає вертикальна 2 і горизонтальна 10 прямі на рис. 4.19. ГОСТ 16532-70 допускає, але не рекомендує [9] незначний підріз, який не зменшує довжини активної ділянки лінії зачеплення. У цьому разі граничними кривими будуть криві I і II.

2. Коефіцієнт торцевого перекриття залежить від обох коефіцієнтів зміщення. Його граничне значення $\epsilon_d = 1,0$ /лінія 5/. Якщо

за умов роботи передачі доцільно збільшувати значення ε_{α} , необхідно користуватись кривими, що відповідають $\varepsilon_{\alpha} = 1,1$ або $\varepsilon_{\alpha} = 1,2$ /крива 4/.

3. Загостренню зуба відповідає умова $S_{\alpha} = 0$. На рис. 4.19 нанесено лінію $S_{\alpha_1} = 0,9/$ /лінія $S_{\alpha_2} = 0$ на іншому відсутня/. Це свідчить про те, що загострення зуба колеса служить у даному разі пасивним обмеженням.

На блокуючий контур можуть бути нанесені лінії $S_{\alpha} = \text{const}$, наприклад на рис. 4.19 лінія 8 відповідає $S_{\alpha_1} = 0,25 \text{ mm}$, а лінія 7 - $S_{\alpha_1} = 0,4 \text{ mm}$. Вони дають змогу всередині блокуючого контуру вибрати зону, далеку від загострення.

4. За великих коефіцієнтів зміщення гранична точка між евольвентою та перехідною кривою може розташовуватись настільки далеко від центра колеса, що точка \angle /див. рис. 4.17/ попадає всередину активної частини лінії зачеплення. У цьому разі зуб парного колеса перетинає перехідну криву та виникає інтерференція зубів. Границю інтерференції зображенено на рис. 4.19 кривими 3.

На блокуючий контур можуть бути також нанесені лінії однакових значень якісних показників. Прикладом може служити лінія 6 однакових значень θ_1 і θ_2 питомих ковзань на ножках зубів шестерні та колеса. На цій лінії лежить точка, що відповідає вибору коефіцієнтів зміщення за системою ЦКБР.

На блокуючий контур можуть бути також нанесені лінії однакової міцності зубів на вигин у разі ведучої шестерні I3 і ведучого колеса I2 /рис. 4.20/.

4.7.2.3. Лінія I4, що відповідає $X_1 + X_2 = \text{const}$, тобто заданій зміні міжосьової відстані, нахиlena до осі X_1 під кутом 135° і відтинає на цій осі відрізок $X_1 + X_2$ /рис. 4.20/.

Під таким самим кутом проходить крізь початок координат лінія I5 рівномірно зміщених передач $X_1 + X_2 = 0$. Вона поділяє площину $X_1 O X_2$ на зони позитивних і негативних передач.

У процесі проектування передачі із заданою міжосьовою відстанню a_w треба визначити відповідний цій міжосьовій відстані кут зачеплення та суму коефіцієнтів зміщення /див. п. 4.7.3/. Наносячи лінію $X_1 + X_2 = \text{const}$ на блокуючий контур /лінія I4 на рис. 4.20/, дистанемо зону допустимих значень X_1 і X_2 за заданого значення a_w .

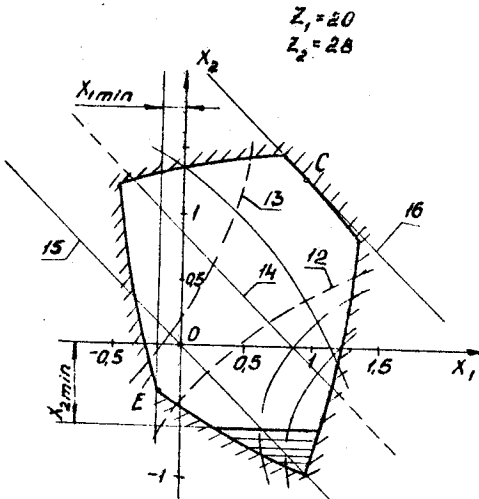


Рис. 4.20

Контактні напруження в зубчастій парі залежать від приведено-го радіуса кривизни в точці стикання. Збільшуючи суму коефіцієнтів зсуву, збільшуємо приведений радіус кривизни і підвищуюмо контактну міцність передачі. Тому щоб отримати найбільшу контактну міцність, необхідно провести дотичну до блокуючого контуру /прямая 16 на рис. 4.20/. Точка дотику *C* визначить шукані коефіцієнти зміщення.

Користуючись блокуючим контуром, можна легко задовольнити такі вимоги, як вирівнювання коефіцієнтів питомого ковзання та задане значення коефіцієнта торцевого перекриття. Наприклад, при $\varepsilon_\alpha = 1,2$ умова $\theta_1 = \theta_2$ виконується в точці *D* /див. рис. 4.19/.

Коефіцієнт торцевого перекриття зростає із зменшенням $X_1 + X_2$. Тому найбільше значення ε_α можна отримати, якщо вибрати X_1 і X_2 такими, що відповідають точці *E* на рис. 4.20.

4.7.3. Визначення основних геометрических параметрів зубчастої пари.

4.7.3.1. ГОСТ 16532-70 [9] передбачає визначення основних геометрических параметрів зубчастої пари за двох варіантів задання вихідних даних: за заданих X_1 і X_2 і шуканій міжосьовій відстані a_w або за заданим a_w визначення $X_1 + X_2$.

Запишемо послідовність використання формул за таких постановок задачі:

- | | |
|--|--|
| Дано x_1 і x_2 | Дано α_w |
| 1. $\alpha_t = \operatorname{arctg}(\operatorname{tg}\alpha / \cos\beta)$ | 1. $\alpha = \frac{x_1 + x_2}{2} \cdot \frac{m_n}{\cos\beta}$ |
| 2. $\operatorname{invd}_{tw} = \operatorname{invd}_t + 2(x_1 + x_2) \operatorname{tg}\alpha / (x_1 + x_2)$ | 2. $\varrho = \alpha_w / \alpha$ |
| 3. $\varrho = \cos\alpha_t / \cos\alpha_{tw}$ | 3. $y = (\alpha_w - \alpha) / m$ |
| 4. $\alpha = (x_1 + x_2) m / 2 \cos\beta$ | 4. $\alpha_t = \operatorname{arctg}(\operatorname{tg}\alpha / \cos\beta)$ |
| 5. $\alpha_w = \alpha \varrho$ | 5. $\alpha_{tw} = \operatorname{arccos}(\cos\alpha_t / \varrho)$ |
| 6. $y = (\alpha_w - \alpha) / m$ | 6. $x_1 + x_2 = (x_1 + x_2)(\operatorname{invd}_{tw} - \operatorname{invd}_t) / 2 \operatorname{tg}\alpha$ |
| 7. $\Delta y = (x_1 + x_2) - y$ | 7. $\Delta y = (x_1 + x_2) - y$ |

Потім незалежно від розв'язуваної задачі обчислюють радіуси окружностей шестерні та колеса:

8. $r_i = m z_i / 2 \cos\beta$.
 9. $r_{wi} = r_i \varrho$.
 10. $r_{ai} = r_i + m(h_\alpha^* + x_i - \Delta y)$.
 11. $r_{fi} = r_i + m(x_i - (h_\alpha^* + c^*))$.
- для $i = 1, 2$

Задання r_a згідно з формулою п. 10 забезпечить стандартні радіальні зазори C між окружностями вершин і западин парних коліс.

Наведені формулі можна використовувати під час проектування косо- та прямозубих коліс. В останньому випадку в усіх формулах необхідно покласти $\cos\beta = 1,0$.

4.7.3.2. У разі першої постановки задачі формула /Д.29/ визначав invd_{tw} . Щоб визначити кут зачеплення, необхідно розв'язати трансцендентне рівняння

$$f(\alpha_{tw}) = \operatorname{tg}\alpha_{tw} - \alpha_{tw} - Q = 0, \quad /4.56/$$

де Q - значення invd_{tw} , знайдене за умови 2.

Щоб розв'язати рівняння /4.56/ чисельними методами, необхідно встановити границю відрізка $[\alpha, \beta]$, усередині якого лежить шука-

ний корінь. За фізичним смыслем задачі α_{tw} - позитивна величина, що в близькому до $\pi/9$, але наперед менша за один радіан. Тому як вихідний відрізок для пошуку кореня можна взяти відрізок $[0, 1]$. Серед чисельних методів розв'язання нелінійних рівнянь дуже швидко збіжністю характеризується метод Ньютона $[15; 20]$. Проте в цьому разі необхідно проаналізувати, на якій із меж відрізка $[0, 1]$ виконується умова збіжності методу $f(\alpha_{\text{tw}})f'(\alpha_{\text{tw}}) > 0$.

Характер протікання графіка $f(\alpha_{\text{tw}})$ /рис. 4.21*/ показує, що на всьому відрізку пошуку кореня кривизна графіка $f(\alpha_{\text{tw}})$ є позитивною, отже, $f''(\alpha_{\text{tw}}) > 0$. Із рис. 4.21 видно також, що ліворуч шуканого кореня $f''(\alpha_{\text{tw}}) < 0$, а праворуч $f''(\alpha_{\text{tw}}) > 0$. Тому як вихідне значення необхідно взяти праву границю, де $\alpha_{\text{tw}} = 1,0$.

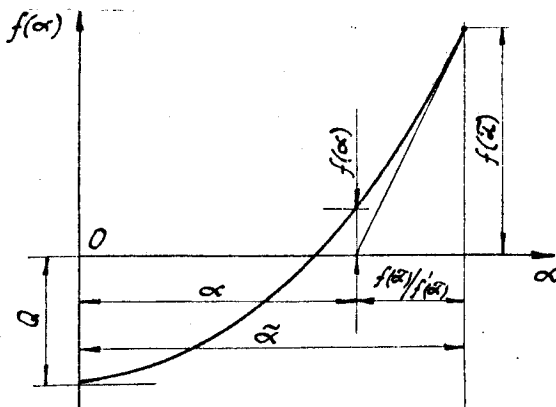


Рис. 4.21

Ітераційна формула методу Ньютона має вигляд

$$\alpha_{\text{tw}} = \tilde{\alpha}_{\text{tw}} - f(\tilde{\alpha}_{\text{tw}})/f'(\tilde{\alpha}_{\text{tw}}) = \tilde{\alpha}_{\text{tw}} - \psi, \quad 14.57/$$

де $\tilde{\alpha}_{\text{tw}}$, α_{tw} - значення кута зачеплення на кожному кроці ітерації відповідно вихідне та уточнене.

* Щоб не перевантажувати рис. 4.21, індекси при α_{tw} опущено.

Узявши похідну функції /4.56/, дістанемо

$$f'(\tilde{\alpha}_{tw}) = 1/\cos^2 \tilde{\alpha}_{tw} - 1 = \operatorname{tg}^2 \tilde{\alpha}_{tw}.$$

За допомогою цього виразу можна обчислити другий доданок Ψ у /4.57/. Величина Ψ дає змогу оцінити досягнуту точність, оскільки $\Psi = \alpha_{tw} - \tilde{\alpha}_{tw}$, тобто є уточненням на кожному кроці ітераційного процесу. Останній крок можна перервати, якщо $|\Psi| < \varepsilon$, де ε - допустима похибка визначення кореня.

У дод. I наведено програму I.II, яка дає змогу розв'язати задачу за заданих X_1 і X_2 , і програму I.I2, в якій $X_1 + X_2$ визначається за заданого α_{tw} . Друга задача значно простіша, оскільки не містить ітераційного процесу. Обидві програми складені стосовно ПМК третього покоління. Тому α_{tw} можна перевести в градуси, хвилини, секунди та їх десяті частки.

Описані обчислення можна виконати також за допомогою програми 2.6, для чого достатньо виконати першу II частину*.

4.7.3.3. Розміри зубчастого колеса контролюються за довжиною W загальної нормалі кількох зубів. Для цього вимірювальним інструментом /наприклад, штангенциркулем/ охоплюють Z_w зубів, так щоб його вимірювальні кромки торкалися головних профілів зубів /рис. 4.22/.

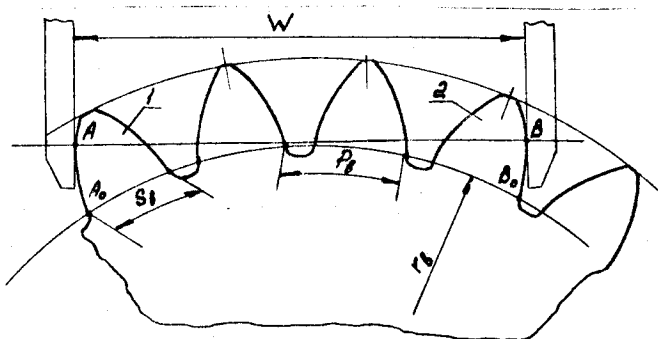


Рис. 4.22

* Докладніше програму 2.6 описано в п. 4.8.2.10.

Лінія AB , що з'єднує точки дотику, в загальному нормаллю до евольвента зубів 1 і 2 й тому торкається основної окружності. Із властивостей евольвенти випливає, що відрізок AB дорівнює дусі A_0B основної окружності. Із рис. 4.22 випливає, що ця дуга віміщує $Z_w - 1$ кроків P_e і товщину зуба S_e по основній окружності. Тому

$$W = S_e + (Z_w - 1)P_e, \quad (4.58)$$

де

$$S_e = r_e \left(\frac{S}{r} + 2 \operatorname{inv} \alpha \right); \quad (4.59)$$

$$P_e = \pi m \cos \alpha. \quad (4.60)$$

До /4.59/ входить товщина S зуба по дільниці окружності:

$$S = m \left(\frac{\pi}{2} + 2x \operatorname{tg} \alpha \right). \quad (4.61)$$

Щоб кромки вимірювального інструменту торкалися евольвент у середині окружностей вершин, має виконуватись умова

$$W < W^*, \quad (4.62)$$

де $W^* = 2\sqrt{r_a^2 - r_e^2}$ - довжина загальної нормалі у разі дотику обох кромок міральника на окружності вершин*.

Вимірюючи косозубі колеса, необхідно пам'ятати, що вимірювальний інструмент розташовується в нормальному перерізі, тому в /4.58/, /4.60/ і /4.61/ використовуються значення α і m ; лише в /4.59/ треба підставити значення α_t , тоді воно набуває вигляду

$$S_{ne} = r_n b \left(\frac{S}{r_n} + 2 \operatorname{inv} \alpha_t \right). \quad (4.63)$$

4.7.3.4. Іншою особливістю вимірювання косозубих коліс є необхідність виконання окрім умови /4.63/ нерівності [9]

$$W \leq W^{**}, \quad (4.64)$$

де $W^{**} = b / \sin \beta$; b - ширина зубчастого вінця.

* Якщо вимірюване колесо модифіковане у вершині зуба, у наведеному виразі замість r_a необхідно використовувати радіус r_g окружності модифікації головок зубів.

Ця умова випливає з необхідності розмістити обидві точки дотику інструменту в межах ширини зубчастого вінця.

Вибравши з двох значень величин W і W' менше, дістанемо, що охоплюване при вимірюванні число зубів

$$\mathcal{Z}_w = \left[\frac{(W_{\min} - S_e)}{P_e} + 1 \right], \quad /4.65/$$

де $\left[\quad \right]$ — символ, що означає цілу частину числа.

У дод. I наведено програму I.I3, що дає змогу знайти \mathcal{Z}_w і W у разі вимірювання прямо-та косозубих коліс. У програмі I.I3 перевіряється умова $\cos \beta = 1,0$. Якщо вона виконується, обчислення W пропускається і в /4.65/ використовується лише W' .

Описані обчислення можна виконати також за допомогою програми 2.6, якщо на запит ЕОМ "W = ?" ввести цифру 1.

Для прикладу наведемо результати розрахунків для колеса з такими параметрами: $\mathcal{Z} = 27$; $m = 5$ мм; $b = 40$ мм; $X = 0,32$;

$$r_a = 76,014 \text{ мм}; \beta = 15^\circ.$$

За таких вихідних даних дістаємо $\mathcal{Z}_w = 5$; $W_1 = 69,604$ мм. Якщо взяти $b = 10$ мм, обмежуючо буде умова /4.64/ і тоді дістанемо $\mathcal{Z}_w = 2$; $W_2 = 25,322$ мм.

Довжина загальної нормалі та число охоплюваних при вимірюванні зубів наносяться на робоче креслення зубчастого колеса.

4.7.4. Визначення основних якісних показників зубчастої пари. Оцінювання спроектованої пари коліс дається за значенням коефіцієнта перекриття, найбільшим значенням коефіцієнта питомого ковзання та питомого тиску; за відсутності підрізання шестерні інтерференції профілів в експлуатаційному зачепленні [38, § 13.6, с. 377-383].

4.7.4.1. Покажемо на кресленні /рис. 4.23/ лінію центрів коліс O_1 , O_2 , основні окружності, радіус яких визначається за /4.53/, і дотичну до них лінію зачеплення. Точки дотику позначимо N_1 і N_2 . Відрізок

$$N_1 N_2 = g = \alpha_w \sin \alpha_{tw}. \quad /4.66/$$

Нанесемо на креслення окружності вершин обох коліс. Іх радіуси визначені в п. 4.7.3 /формули 10/. Окружності вершин відтинають на лінії зачеплення її активну ділянку $A_1 A_2 = g_{\alpha}$. Із креслення випливає, що

$$N_1 A_2 = N_1 N_2 - N_2 A_2 = g - \sqrt{r_{a1}^2 - r_{e2}^2};$$

$$N_2 A_1 = N_2 N_1 - N_1 A_1 = g - \sqrt{r_{a2}^2 - r_{e1}^2};$$

$$g_{\alpha} = g - (N_1 A_2 + N_2 A_1).$$

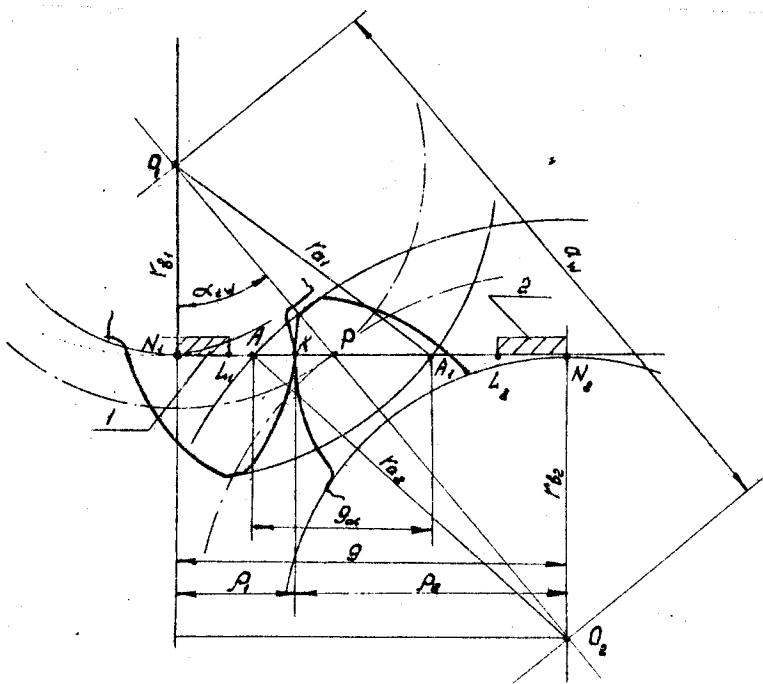


Рис. 4.23

Тоді коефіцієнт торцевого перекриття

$$\mathcal{E}_\alpha = \frac{\beta_\alpha}{P_t \cos \alpha_\alpha}, \quad /4.67/$$

де P_t - коловий крок зубчастої пари по діляльній окружності; α_α - кут віротатного зачеплення в торцевому перерізі, що визначається за /4.52/.

Коефіцієнт осьового перекриття

$$\mathcal{E}_\beta = \frac{b \operatorname{tg} \beta}{P_t}, \quad /4.68/$$

де b - робоча ширина зубчастого вінця.

У прямозубих коліс $\mathcal{E}_\beta = 0$.

Повний коефіцієнт перекриття

$$\varepsilon_x = \varepsilon_\alpha + \varepsilon_\beta. \quad /4.69/$$

4.7.4.2. Якщо за /4.55/ знайти відрізки $N_1 L_1$ і $N_2 L_2$, які визначають положення на лінії зачеплення місця контакту граничних точок профілів зубів, можна перевірити умови відсутності інтерференції в проектованій парі коліс:

$$N_1 L_1 \leq N_1 A_1; \quad N_2 L_2 \leq N_2 A_2. \quad /4.70/$$

Якщо хоча б одна з нерівностей не виконується, відбувається інтерференція профілів і зубчаста пара є непридатною для експлуатації.

Програма I.14 /дод. I/ дає змогу знайти відрізки $N_1 L_1$, $N_2 L_2$, $N_1 A_2$, $N_2 A_1$, а також значення ε_α , ε_β , ε_γ . Ці обчислення можна виконати за допомогою програми 2.6, якщо на запит ЕОМ „MODE ?“ ввести цифру 1.

4.7.4.3. Як приклад практичного використання програм I.12 і I.14 розглянемо задачу проектування зубчастої пари з такими вихідними даними: $m = 5$ мм; $\alpha = 20^\circ$; $\beta = 15^\circ$; $Z_1 = 14$; $Z_2 = 17$. Необхідно забезпечити роботу передачі з $\alpha_w = 85$ мм. Після початку роботи програми I.12 дістаемо $\alpha = 80,233$ і $X_1 + X_2 = 1,1222$.

Отримані результати показують, що реалізувати задану міжосьову відстань можна. Користуючись ГОСТ 16532-70 за розбивкою суми коефіцієнтів зміщення, беремо $X_1 = 0,6$. У результаті виконання другої частини програми дістаемо

$$\begin{array}{ll} r_1 = 36,235 \text{ мм}; & r_2 = 43,999 \text{ мм}; \\ r_{w1} = 38,387 \text{ мм}; & r_{w2} = 46,613 \text{ мм}; \\ r_{\alpha 1} = 43,390 \text{ мм}; & r_{\alpha 2} = 50,765 \text{ мм}; \\ r_{\beta 1} = 32,985 \text{ мм}; & r_{\beta 2} = 40,360 \text{ мм}. \end{array}$$

Набравши текст програми I.14 і ввівши необхідні вихідні дані, дістанемо

$$\begin{aligned} L_1 N_1 &= 7,104 \text{ мм}; \quad N_1 A_2 = 10,152; \\ L_2 N_2 &= 8,736 \text{ мм}; \quad N_2 A_1 = 12,774; \\ \varepsilon_\alpha &= 1,112; \quad \varepsilon_\beta = 0,659; \quad \varepsilon_\gamma = 1,771. \end{aligned}$$

Порівняння відрізків $L_1 N_1$ і $N_1 A_1$, $L_2 N_2$ і $N_2 A_2$, показує, що умови /4.70/ виконуються й інтерференція в проектованій парі відсутня. Значення ступеня перекриття задовільняє вимогам плавної роботи передачі.

4.7.4.4. Обчислимо коефіцієнти питомого ковзання проектованої зубчастої пари [42] :

$$\theta_1 = 1 - \frac{\rho_2}{\rho_1} \cdot \frac{1}{U} = 1 + A, \quad /4.71/$$

$$\theta_2 = 1 - \frac{\rho_1}{\rho_2} U = 1 + \frac{1}{A},$$

де $A = -\rho_2/\rho_1 U$; ρ_1, ρ_2 - радіуси кривизни евольвент у точці дотику.

У міру повороту коліс і переміщення точки контакту K /рис. 4.24/ по лінії зачеплення змінюються ρ_1 і ρ_2 , тому коефіцієнти θ_1 і θ_2 - функції положення точки контакту на лінії зачеплення.

Контактні напруження на бічних поверхнях і зубах також залежать від ρ_1 і ρ_2 , а їх зміну при повороті коліс у межах кута зачеплення можна оцінити за коефіцієнтом питомого тиску:

$$\lambda = m \left(\frac{1}{\rho_1} + \frac{1}{\rho_2} \right). \quad /4.72/$$

Для обчислення коефіцієнтів θ_1 , θ_2 , λ складено програму 1.15 /дод.1/, за якою обчислюємо показники якості зачеплення для розглянутого прикладу. Результати обчислень θ_1 , θ_2 , λ наведені на рис. 4.24.

Із рис. 4.24 випливає, що доцільне з точки зору збільшення ε_α розширення активної ділянки лінії зачеплення може привести до інтерференції, збільшення ковзання на ніжках зубів і контактних напружень у вишій парі. Границі активної ділянки, що показані на рис. 4.24, забезпечують задовільні значення коефіцієнтів θ і λ за допустимого значення ε_α .

4.8. Побудова профілів зубів

4.8.1. Графічний метод.

4.8.1.1. Побудова картини зачеплення і профілів зубів у курсовому проекті виконується в крупному масштабі /креслення має розміщуватись ча 0,5 листа формату 24/. Починаємо з того, що позначаемо

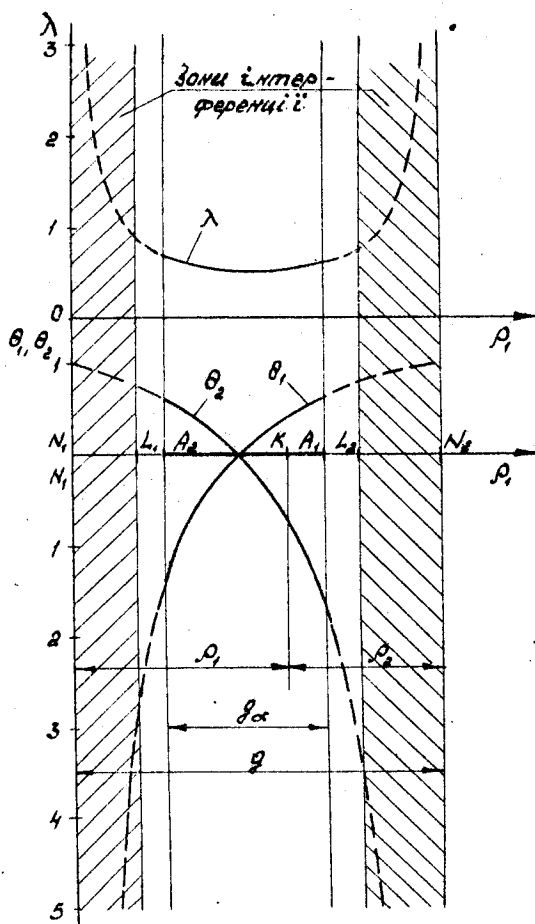


Рис. 4.24

на кресленні лінії центрів коліс O_1, O_2 /рис. 4.25/. Проводимо на кресленні дугу початкових і ділильних окружностей. Поштовхові окружності мають стикнутись у точці P - полосі зачеплення. У разі побудови позитивної передачі відстань між ділильними окружностями $D_1 D_2 = y_m$.

У разі побудови нульових і рівноміщених передач $y=0$, тому поштовхова та ділильна окружності кожного колеса збігаються.

Зусім я двох спряжених коліс викреслюють звичайно в тому положенні, коли вони стикаються в полосі зачеплення /див. рис. 4.25/. Проте щоб побудувати профілі, треба визначити положення полосів P_{o1} і P_{o2} верстатного зачеплення при наризанні обох коліс. Із креслення випливає, що

$$\angle P_{o1} O_1 D_1 = \angle P_{o2} O_2 D_2 = \gamma = \text{inv} \alpha - \text{inv} \alpha_c \quad /4.73/$$

Щоб визначити положення точок D_1 і D_2 на ділильних окружностях, доцільніше обчислити відрізки

$$P_{o1} D_1 = r_1 \gamma; \quad P_{o2} D_2 = r_2 \gamma. \quad /4.74/$$

4.8.1.2. Для графічної побудови профілю зуба скористаємося методом, запропонованим Гавриленко [6]. Розглянемо відносний рух інструментальної рейки та заготовки. У цьому русі пряма KK' котиться без ковзання по ділильній окружності заготовки. Точки рейки, що лежать ближче до центра колеса, ніж пряма KK' , описують видовжені евольвенти, а точки, що лежать по інший бік від прямої KK' , - укорочені евольвенти.

Як приклад на рис. 4.26 показано видовжену евольвенту, яку описує точка S . Розглянемо спосіб побудови видовжених і укорочених евольвент, що утворюють при перекочуванні центроїди рейки по центроїді заготовки.

Уявимо жорстку прямокутну рамку $KK'CC'$, сполучену з рейкою; сторона KK' котиться без ковзання по ділильній окружності, а сторона CC' проходить крізь центр O . З рамкою жорстко сполучено точку S . На рис. 4.26 показано її початкове положення S_o , коли рамка стикається з ділильною окружністю в точці P_o . Знайдемо положення точки S_i , що відповідає тому моменту, коли точка i на прямій KK' поєднається з відповідною точкою i на ділильній окружності. У цей момент точка E поєднається з точкою O . Виділимо в початковому положенні рамки $\Delta S_o E$. Після перекочування рамки вершина i цього трикутника переміститься в точку i , а вершина E -

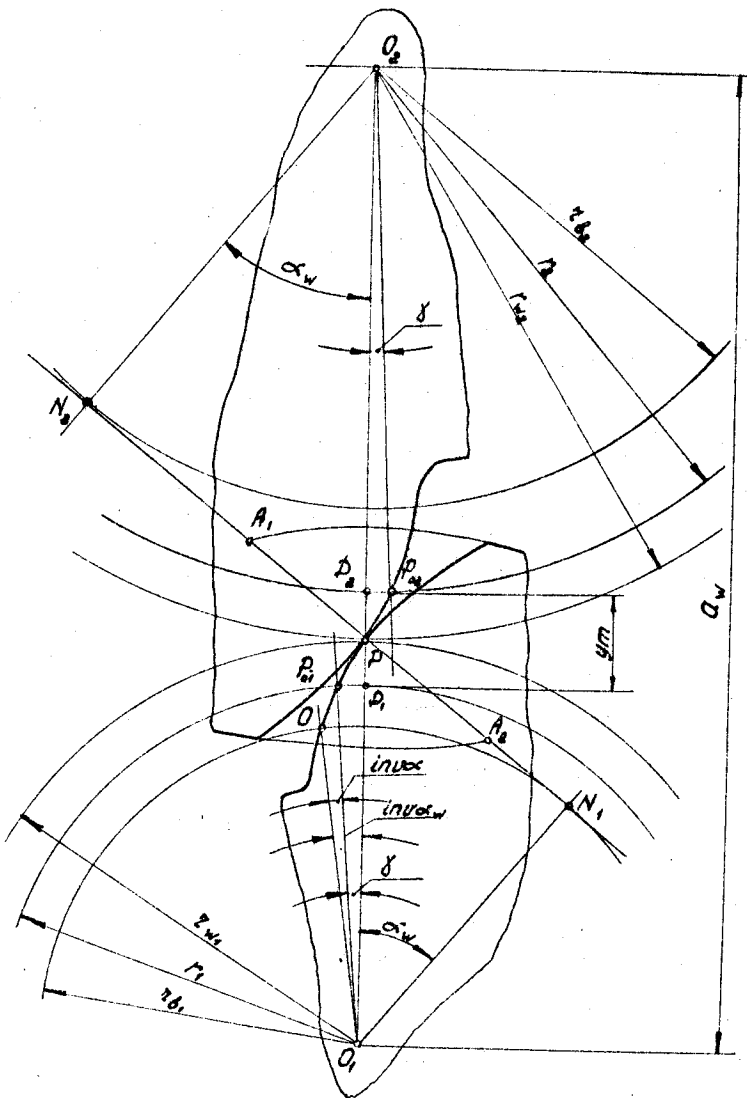


Рис. 4.25

194

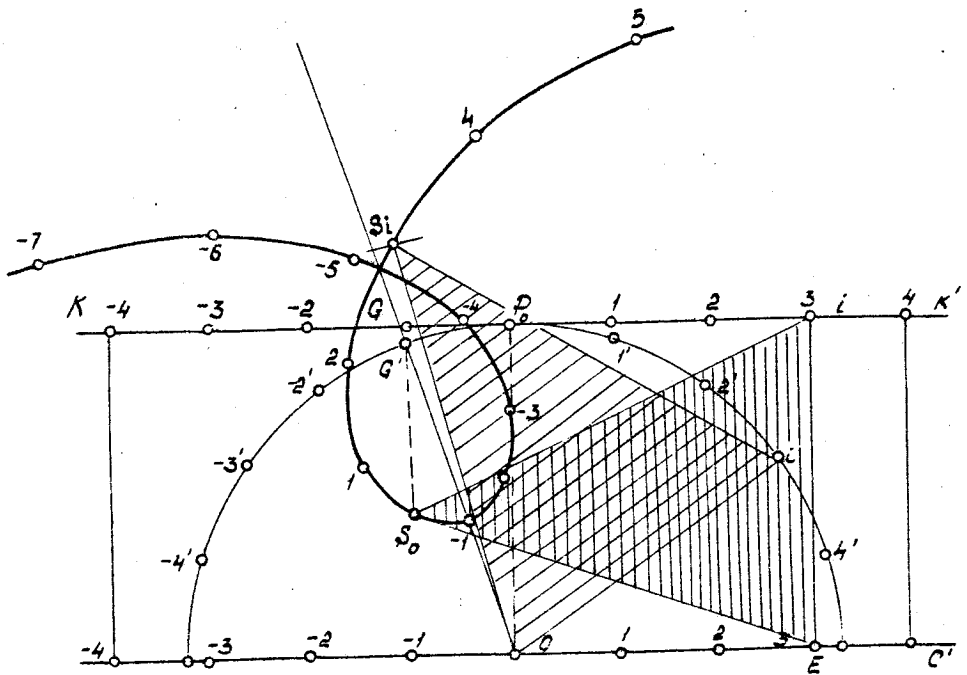
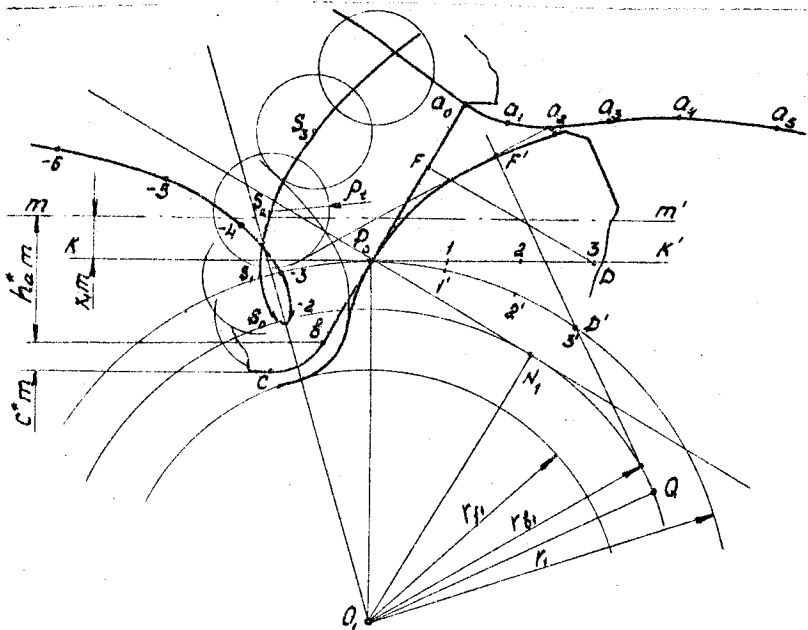


Рис. 4.26

у точку O . Положення третьої вершини визначить шукану точку S . Тому, зробивши з точок O та i' засічки радіусами $S_i O = S_i E$ і $S_i' i' = S_i' E$, визначимо положення шуканої точки. Analogічно можна знайти інші положення, що відповідає іншим кутам обкату рамки. Для цього на сторонах KK і CC рамки необхідно відкласти ряд однакових відрізків /починаючи від точок P_0 і O_1 , пронумерувати їх і відкласти однакові з цими відрізками дуги на діляльних окружностях. Після цього треба виконати ряд побудов, аналогічних описаним. Траекторія точки S має вісь симетрії!. Якщо з точки S опустити перпендикуляр на лінію KK і позначити точку I , перетину G , то, сполучивши точку G із відповідною точкою G' на діляльній окружності, дістанемо лінію $G'O$ - вісь симетрії побудованої нами видовженої евольвенти.

4.8.1.3. Скористаємося описаним методом для побудови профілю зуба. Для цього треба побудувати траекторії точок S і α на профілі рейки /рис. 4.27/. Перша траекторія описує видовженну евольвенту, друга - укорочену.



Нехай рейка перекотилася по ділільній окружності та точка 2 сполучилась із точкою 2'. Точка S зайняла положення S₂, а точка α - положення α₂. Із точки S₂ як із центра проведемо окружність радіуса P₂. Для його визначення можна скористатись табл. 4.17 /див. п. 4.7.1.1/. Потім крізь точку α₂ проведемо дотичну до окружності P₂. Таким чином, побудовано одне з положень ВТК рейки, яке він займає в процесі обкочування. Евольвентна частина профілю - обвідна до сімейства прямих, які можна побудувати, якщо описані побудови виконати для кількох точок S і α з одинаковими номерами.

Перехідна крива - обвідна сімейства окружностей із центром S. Для побудови цього сімейства використовується ліва вітка видовженої евольвенти, яка утворюється, якщо перекочувати рейку проти годинникової стрілки.

4.8.1.4. Побудову евольвенти можна спростити. Будуючи евольвенту, використовуємо такі положення:

нормаль до евольвенти завжди торкається основної окружності;
загальна нормаль проходить крізь миттевий центр відносного руху, тобто точку дотику центроїд заготовки та рейки.

Нехай точка F на рейці торкається точки F' на евольвенті. У цей момент загальна нормаль торкається основної окружності в точці Q, а миттевим центром служить точка D на ділільній окружності. При цьому відрізок FD = F'D' і дуга P_oD = P_oD'.
Отже, щоб визначити положення точки F, необхідно:

поставити перпендикуляр до бічного профілю рейки в точці F; знайти точку D перетину перпендикуляра з центроїдом рейки; відкласти по ділільній окружності дугу P_oD = P_oD'; провести дотичну D'Q до основної окружності;

відкласти на продовженні дотичної D'Q відрізок D'F' = DF.

Знайдена точка F - це точка на евольвенті, що стикається з точкою F на рейці. Якщо використовувати такий спосіб побудови евольвенти, немає необхідності будувати траекторію точки α і викреслювати прямолінійну частину профілю рейки в різних положеннях. Щоб побудувати перехідну криву, траекторію точки S будуємо так, як описано раніше.

4.8.1.5. Графічний метод побудови видовжених і укорочених евольвент зручно застосовувати лише за малих розмірів проектованих коліс. У разі крупного масштабу креслення перенесення відрізків довжиною 300...500 мм потребує спеціальних креслярських інструментів. Тому задачу можна розв'язувати графоаналітичним методом, за якого

координати точок S і α у відносному русі визначають аналітично. Потім за двома точками з однаковим номером будуємо контур рейки та до ряду його положень проводимо обвідну. щоб визначити координати точок, використовуємо рівняння /4.75/, наведені в п. 4.8.2.1, і програму 2.6, що використовується в разі аналітичного розв'язання задачі.

4.8.2. Аналітичний метод.

4.8.2.1. Споділену із заготовкою основну систему координат $X\Omega Y$ виберемо так, щоб вісь Y проходила крізь полюс P експлуатаційного зачеплення, початок координат Ω лежав на основній окружності і вісь X була до неї дотичною /рис. 4.28/. На рис. 4.28 показано допоміжну систему координат $X_0 OY$, вісь Y якої проходить крізь полюс P верстатного зачеплення. На рис. 4.29 позначене рухому систему $X KY$, що сполучена з рейкою. Вісь KX , збігається з центроїдою рейки.

На рис. 4.30, а системи $X_0 OY$ і $X KY$ показані в процесі нарізання. Рухому систему $X KY$ зображені в положенні, що відповідає повороту інструменту на кут φ , причому $PQ = KQ = r\varphi$, що випливає з умови кочення центроїди KX по діляльній окружності без ковзання. Кут обкату φ відраховуємо за годинниковою стрілкою від осі OY .

Формули для переходу від системи координат $X KY$ до системи координат $X_0 OY$ можна отримати, враховуючи, що перша система має зміститись уздовж осей X, Y відповідно на $r\varphi$ та $-r$, а потім бути повернуту на кут $-\varphi$. Зсув уздовж осі X , на $r\varphi$ приведе до того, що точка K суміститься з точкою Q , а вісь Y — із лінією OQ . Зсув уздовж лінії OQ , з якою тепер збігається вісь KY , на величину $-r$ забезпечить суміщення точки K із точкою O . Після цього залишиться повернути рухому систему на кут $-\varphi$ і вона суміститься із системою $X_0 OY$. Тому формули переходу від системи $X KY$ до системи $X_0 OY$ мають вигляд,

$$x_0 = (x_1 - r\varphi) \cos \varphi + (y_1 + r) \sin \varphi; \\ y_0 = -(x_1 - r\varphi) \sin \varphi + (y_1 + r) \cos \varphi, \quad (4.75)$$

де x_1, y_1 — координати довільної точки в системі $X KY$; x_0, y_0 — координати довільної точки в системі $X_0 OY$.

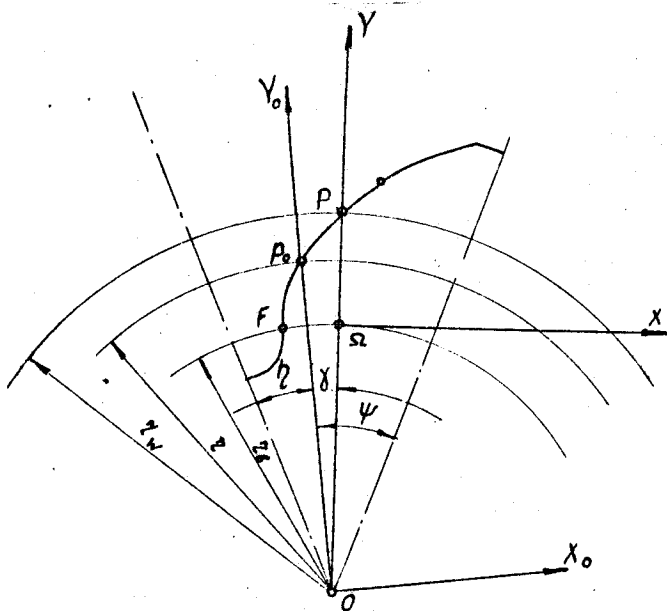


Рис. 4.28

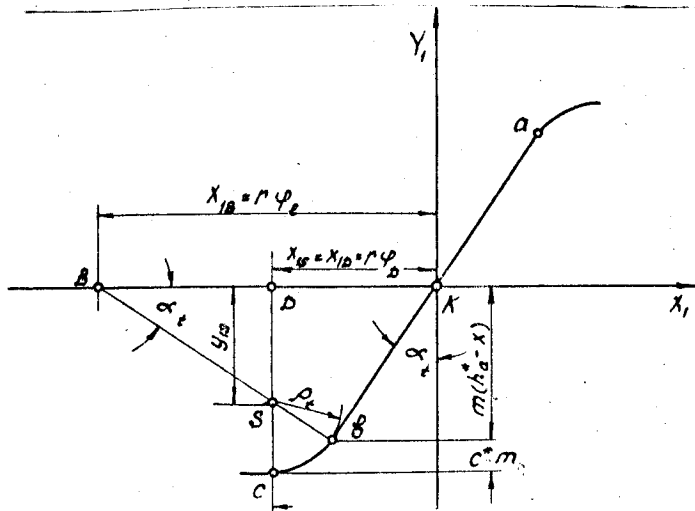


Рис. 4.29

163

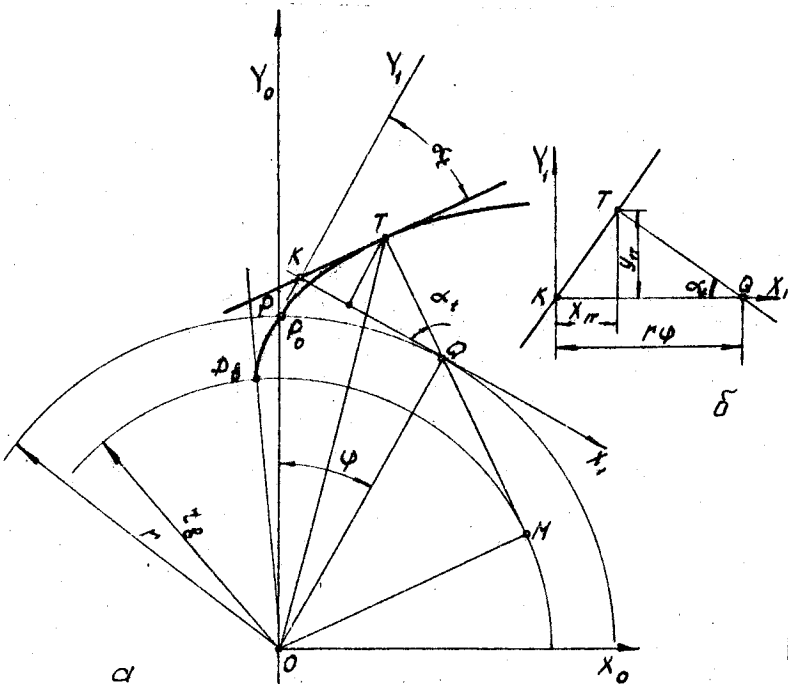


Рис. 4.30

4.8.2.2. Покажемо на рис. 4.30, а точку T стикання інструменту та заготовки. Згідно з основною теоремою зачеплення нормаль до евольвенти в точці T проходить крізь миттевий центр Q , який розташовано в точці стикання центроїд. Отже, кут $\angle K T Q$ в прямим і координати точки T у системі $X_1 K Y_1$ /рис. 4.30, б/ -

$$X_{1T} = r \varphi \sin^2 \alpha_t;$$

14.76/

$$Y_{1T} = r \varphi \sin \alpha_t \cos \alpha_t,$$

де α_t - кут профілю рейки в торцевому перерізі.

Підставляючи значення $X_{\text{от}}$ і $Y_{\text{от}}$ у /4.75/, дістаємо рівняння евольвентної частини профілю в системі $X_0 O Y_0$:

$$X_{\text{от}} = r(\sin \varphi - \varphi \cos \alpha_t \cos(\varphi + \alpha_t)); \quad /4.77/$$

$$Y_{\text{от}} = r(\cos \varphi + \varphi \cos \alpha_t \sin(\varphi + \alpha_t)).$$

Рівняння евольвенти в такому вигляді були отримані проф. Колчиним.

4.8.2.3. Переайдемо до основної системи координат $X \Omega Y$.

Оскільки осі $O Y_0$ та ΩY /див. рис. 4.28/ проходять крізь точки P_0 , P та центр O колеса, кут між ними дорівнює δ і виражається формулою /4.73/. Тому формулі переходу від системи $X_0 O Y_0$ до системи $X \Omega Y$ можна записати у вигляді

$$X = X_0 \cos \delta - Y_0 \sin \delta; \quad /4.78/$$

$$Y = X_0 \sin \delta + Y_0 \cos \delta - r_\epsilon.$$

Підставивши в /4.78/ координати $X_{\text{от}}$ і $Y_{\text{от}}$ точки евольвенти, що визначаються за /4.77/, дістанемо

$$X_\tau = r(\sin(\varphi - \delta) - \varphi \cos \alpha_t \cos(\varphi + \alpha_t - \delta)); \quad /4.79/$$

$$Y_\tau = r(\cos(\varphi - \delta) - \varphi \cos \alpha_t \sin(\varphi + \alpha_t - \delta)) - r_\epsilon.$$

4.8.2.4. Радіус кривизни теоретичного профілю зуба обчислимо, користуючись тим, що центром кривизни евольвенти у довільній точці T /див. рис. 4.30/ є точка M стикання нормалі TM з основною окружністю. Катет TM трикутника OTM

$$R_T = \sqrt{OT^2 - r_\epsilon^2}.$$

Відрізок OT можна виражати через координати точки T :

$$OT = \sqrt{X_T^2 + (Y_T + r_\epsilon)^2},$$

звідки

$$R_T = \sqrt{X_T^2 + (Y_T + r_\epsilon)^2 - r_\epsilon^2}. \quad /4.80/$$

4.8.2.5. Знаїдемо межі зміни кута δ в разі переміщення точки T по профілю евольвенти від граничної точки ℓ до точки A на окружності вершин. На рис. 4.31, а показано положення системи $X_1 K Y_1$

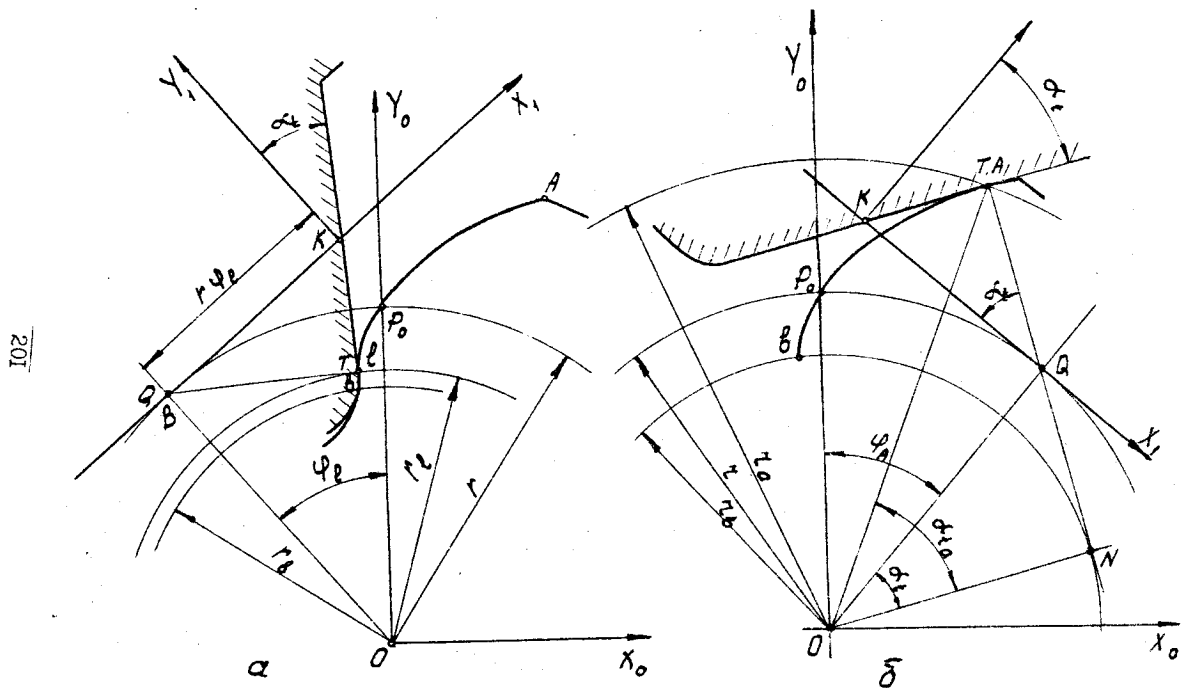


Рис. 4.31

у момент, коли в точці T стикаються точка C на заготовці та точка B на рейці. З умови кочення центроїди QX , по ділільній окружності без ковзання випливає, що

$$\varphi_c = -\frac{QK}{r} . \quad /4.81/$$

У розглядуваній момент миттєвий центр Q збігається з точкою B на осі KX , (див. рис. 4.29), отже, $OK = BK$. Із рис. 4.29 випливає, що

$$BK = \frac{m(h_a^* - x)}{\sin \alpha_t \cos \alpha_t} .$$

Підставивши цей вираз у /4.81/, дістанемо

$$\varphi_c = \frac{m(x - h_a^*)}{r \sin \alpha_t \cos \alpha_t} . \quad /4.82/$$

Друге граничне положення системи X, K, Y , займає тоді, коли точка T збігається з точкою A на окружності вершин (рис. 4.31, б). Згідно із кресленням

$$\varphi_A = \frac{P_o Q}{r} = \frac{KQ}{r} , \quad /4.83/$$

що випливає з умови кочення прямої KX , по ділільній окружності без ковзання. Із прямокутного трикутника KAQ випливає, що

$$KQ = \frac{AQ}{\cos \alpha_t} .$$

У свою чергу, із $\triangle OAN$ та $\triangle OQN$ дістаемо

$$AQ = r_e (\operatorname{tg} \alpha_{ta} - \operatorname{tg} \alpha_t) ,$$

де α_{ta} - кут профілю, що відповідає точці на окружності вершин,

$$\alpha_{ta} = \arccos\left(\frac{r_e}{r_a}\right) .$$

Підставивши знайдені значення в /4.83/, дістанемо

$$\varphi_A = \operatorname{tg} \alpha_{ta} - \operatorname{tg} \alpha_t . \quad /4.84/$$

Таким чином, будуючи головний профіль зуба, треба змінювати φ у межах $\varphi_c \leq \varphi \leq \varphi_A$, що визначається за /4.28/ і /4.84/.

4.8.2.6. Виведемо тепер рівняння перехідної кривої, що є обвідною сімейства окружностей, які прокраслює закруглена ділянка \mathcal{C} ВТК інструментальної рейки.

Координати центра S окружності \mathcal{C} у системі X, KY , /див. рис. 4.29/

$$\begin{aligned} x_{1s} &= m[(x_1 - h_a^*) \operatorname{tg} \alpha_t - \bar{\rho}_t^* \cos \alpha_t]; \\ y_{1s} &= m[(x_1 - h_a^*) + \bar{\rho}_t^* \sin \alpha_t], \end{aligned} \quad /4.85/$$

де $\bar{\rho}_t^*$ — коефіцієнт, що виражає в частках модуля радіуса закруглення ділянки рейки в торцевому перерізі /див. п. 4.7.1.2/.

Використовуючи /4.75/ і /4.78/, перейдемо спочатку до системи координат $X_0 O Y$, а потім до системи $X \Omega Y$. Дістаємо

$$\begin{aligned} x_{0s} &= (x_{1s} - r\varphi) \cos \varphi + (y_{1s} + r) \sin \varphi; \\ y_{0s} &= -(x_{1s} - r\varphi) \sin \varphi + (y_{1s} + r) \cos \varphi; \end{aligned} \quad /4.86/$$

$$x_s = (y_{1s} + r) \sin(\varphi - \gamma) - (r\varphi - x_{1s}) \cos(\varphi - \gamma); \quad /4.87/$$

$$y_s = (y_{1s} + r) \cos(\varphi - \gamma) + (r\varphi - x_{1s}) \sin(\varphi - \gamma) - r\dot{\varphi}.$$

Рівняння окружності радіуса ρ_t з координатами центра x_s і y_s має вигляд

$$(X - x_s)^2 + (Y - y_s)^2 = \rho_t^2. \quad /4.88/$$

Щоб вивести рівняння обвідної [32, гл. IV, § II] до сімейства окружностей /4.88/ продиференціюємо /4.88/ за φ :

$$-2(X - x_s)x' - 2(Y - y_s)y' = 0. \quad /4.89/$$

Рівняння /4.74/ і /4.75/ є рівняннями перехідної кривої в параметричній формі. Розв'яжемо їх відносно X і Y :

$$X = x_s \pm \frac{\rho_t y_s}{v}; \quad (4.90)$$

$$Y = y_s \pm \frac{\rho_t x_s}{v}, \quad (4.91)$$

де

$$v = \sqrt{(x'_s)^2 + (y'_s)^2}.$$

Щоб визначити x'_s і y'_s , продиференціюмо /4.87/ за φ :

$$\begin{aligned} x'_s &= y_{1s} \cos(\varphi - \gamma) + (r\varphi - x_{1s}) \sin(\varphi - \gamma); \\ y'_s &= -y_{1s} \sin(\varphi - \gamma) + (r\varphi - x_{1s}) \cos(\varphi - \gamma). \end{aligned} \quad (4.92)$$

Два знаки перед другими доданками в /4.90/ і /4.91/ відповідають двом обвідним /зовнішній і внутрішній/ до сімейства окружностей /4.88/. Якщо розглядається зовнішня обвідна до правого профілю інструменту, то для зовнішньої обвідної, яка цікавить нас, другий доданок у /4.90/ має суті додатним, а в /4.91/ - від'ємним. Але, як випливає з /4.92/, при $\varphi = 0$ маємо $x'_s < 0$ і $y'_s > 0$.

Отже, в /4.90/ необхідно взяти знак "-", а в /4.91/ - знак "+".

4.8.2.7. Установимо межі зміни φ в разі утворення перехідної кривої. Ці граничні значення відповідають стиканню із заготовкою точок B і C профілю рейки. У першому випадку дотик відбувається в граничній точці ℓ /див. рис. 4.31, а/. Відповідне значення φ було знайдене раніше.

Точка C ввійде у контакт із відповідною точкою заготовки тоді, коли миттевим центром Q стане точка D на рухомій центроїді /рис. 4.82/, тобто коли $PQ = KD = X_{1s}$. Цьому моменту відповідає кут обкату

$$\varphi_D = \frac{x_{1s}}{r^*}. \quad (4.93/)$$

Порівнюючи відрізки KB і KD /див. рис. 4.29/, можна зробити висновок, що $\varphi_B < \varphi_D < 0$, але $\varphi_D > 0$. Тому три характерні знайдені точки розташовуються по осі φ так, як показано на рис. 4.33. У точці ℓ відбувається перше стикання інструменту із заготовкою. Потім одночасно формуються евольвента та перехідна крива. Утворення перехідної кривої закінчується при $\varphi = \varphi_D$. Далі інструмент обробляє лише головний профіль.

4.8.2.8. Перехідна крива в зовнішньою обвідною до сімейства окружностей радіуса R_s , центри яких мають координати x_s , y_s . Отже, $R = R_s + R_t$, де R_s , R_t - радіус кривизни відповідно перехідної кривої та видовженої евольвенти, яку прокреслює точка S .

Траекторію точки S задано рівняннями /4.87/ у параметричній формі /параметр φ змінюється в межах $\varphi_B \leq \varphi \leq \varphi_D$ / . Як відомо [32], у цьому разі

$$R_s = \frac{\left((x'_s)^2 + (y'_s)^2 \right)^{3/2}}{|x''_s y'_s - y''_s x'_s|}. \quad (4.94)$$

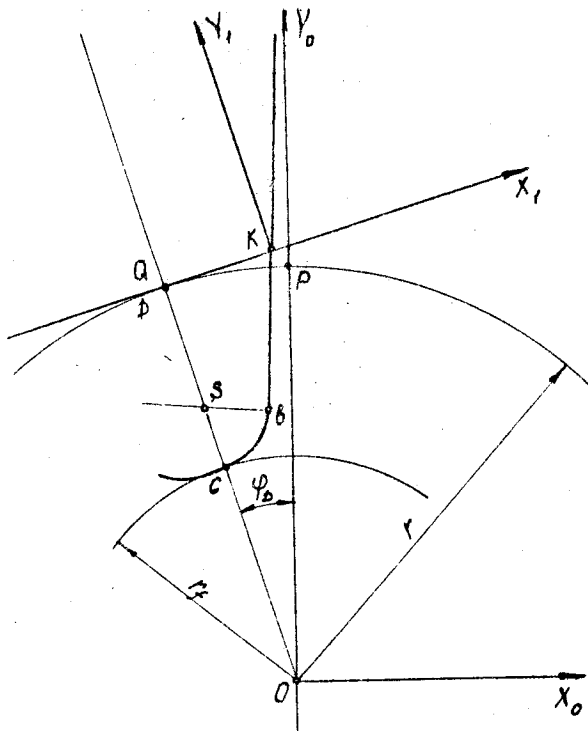


Рис. 4.32

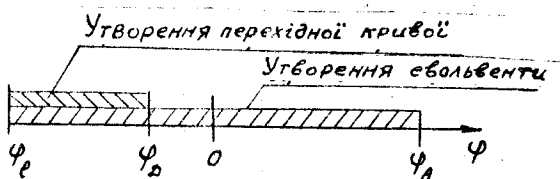


Рис. 4.33

Щоб використовувати /4.94/, треба знати перші та другі похідні координат X_s , Y_s . Перші вже знайдені і обчислені за /4.92/. Продиференціювавши ці вирази за φ , дістанемо

$$X_s'' = (r - Y_{rs}) \sin(\varphi - \gamma) + (r\varphi - X_{rs}) \cos(\varphi - \gamma);$$

$$Y_s'' = (r - Y_{rs}) \cos(\varphi - \gamma) - (r\varphi - X_{rs}) \sin(\varphi - \gamma). \quad (4.95)$$

4.8.2.9. Узята основна система координат $X \Omega Y$ є зручною тоді, коли необхідно викреслити профілі двох коліс, що знаходяться в зачепленні, оскільки вісь Y збігається з лінією центрів.

Іноді зручніше використовувати системи, в яких вісь Y збігається з віссю симетрії зуба чи западини /див. рис. 4.28/. Тоді в /4.79/ і /4.87/ необхідно підставити кути Ψ або $-\gamma$, що відповідають половині кутової товщини зуба чи ширини западини. Розглянемо, наприклад, як визначається кут Ψ .

Із креслення випливає, що

$$\Psi = \frac{S}{2r}, \quad (4.96/)$$

де S визначається за /4.61/.

4.8.2.10. Із попередніх пунктів випливає, що для побудови профілю зуба за координатами його точок необхідно обчислити основні параметри передачі. Тому програма 2.6 /дод. 1/ містить розрахунок основних параметрів передачі, визначення і коефіцієнта перекриття, координат точок головного профілю та переходної кривої. Кожний із трьох останніх розділів можна виконувати незалежно від решти після визначення основних розмірів передачі.

Під час виконання першого розділу, як і в п. 4.7.3.1, передбачається два варіанти задання вихідних даних – задаються або X_1, X_2 , або міжсююча відстань a .

Для побудови головного профілю зуба слугить режим 2, переходної кривої – режим 3. Після введення номера режиму користувач указує номер колеса /1 або 2/, для якого буде виконуватись посудова.

У разі побудови головного профілю відрізок $[\varphi_e, \varphi_a]$ поділяється на n_e однакових частин і для них обчислюються координати X_e і Y_e головного профілю.

У разі побудови переходної кривої в межах кута $[\varphi_e, \varphi_D]$ лежить тільки невелика частина видовженій евольвенти, яку прокреслює точка S на рейці при її обкочуванні по ділильній окружності заго-

товки /див. рис. 4.27/. Тому щоб добре уявити собі протікання цієї кривої, рекомендується розширити межі зміни φ . Програма 2.6 дає змогу задати їх за бажанням користувача та встановити потрібний крок $\Delta\varphi$ зміни кута обкоту φ .

Протягом усього заданого інтервалу зміни φ будуть знайдені координати X_s і Y_s , а в межах відрізка $[\varphi_c, \varphi_d]$ також координати переходної кривої та її радіус кривизни.

Для прикладу були виконані розрахунки для пари прямозубих коліс $Z_1 = 13$; $X_1 = 0,25$; $Z_2 = 30$; $X_2 = 0,15$; $m = 5$ мм.

У результаті обчислень було знайдено кути $\varphi_A = 0,410740$; $\varphi_c = -0,359013$; $\varphi_D = -0,096982$.

Координати точок головного профілю наведені в табл. 4.18, координати переходної кривої – у табл. 4.19.

Із даних табл. 4.18

виливає, що внаслідок

ближкості точки c до

основної окружності радіус

кривизни цієї частини про-

філю набуває неприпустимо

малого значення.

Порівняння табл. 4.18

і 4.19 показує, що коорди-

нати точок головного про-

філю та переходної кривої,

що відповідають куту обка-

ту φ_c , збігаються, що

свідчить про правильність

обчислень. На основі отриманих даних побудовано профіль колеса

$Z_1 = 13$ /рис. 4.34/. На рис. 4.34 окрім профілю зуба нанесені тра-

екторія точки S , на якій позначені три характерних положення, що

відповідають кутам обкоту $\varphi_c, \varphi_D, \varphi_A$.

Таблиця 4.18

φ	X_T	Y_T	R_T
φ_A	3,622	7,922	23,660
0,35	2,709	6,887	21,805
0,25	1,493	5,266	18,751
0,15	0,602	3,792	15,697
0,05	$-6,513 \cdot 10^{-3}$	2,514	12,643
-0,05	-0,382	1,468	9,589
-0,15	-0,578	0,686	6,535
-0,25	-0,651	0,191	3,481
-0,35	-0,662	-0,014	0,426
φ_c	-0,662	-0,007	0,151

Таблиця 4.19

φ	X_s	Y_s	X	Y	R_s	R
φ_c	-0,043	-1,298	-2,847	-3,188	0,270	2,170
-0,145	-2,901	-1,242	-1,799	-2,790	0,371	2,271
-0,195	-2,769	-1,098	-1,169	-2,123	0,729	2,629
-0,245	-2,604	-0,866	-0,860	-1,467	1,405	3,305
-0,295	-2,592	-0,555	-0,712	-0,834	2,403	4,303
-0,345	-2,561	-0,162	-0,662	-0,192	3,675	5,575
φ_D	-2,562	-0,038	-0,662	$0,68 \cdot 10^{-3}$	4,071	5,971

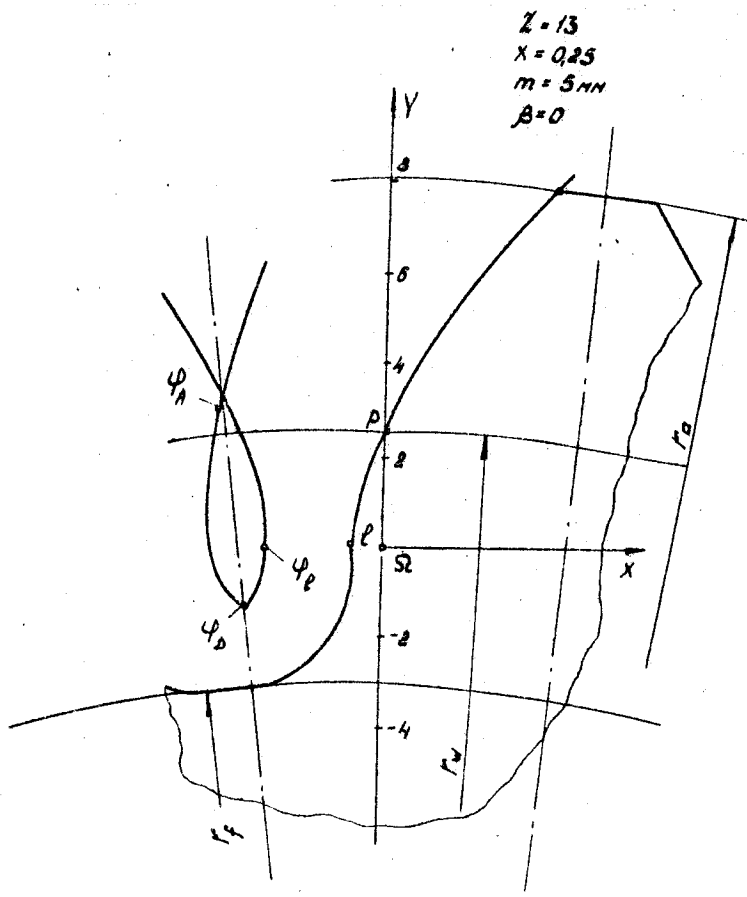


Рис. 4.34

5. ПРОЕКТУВАННЯ КУЛАЧКОВИХ МЕХАНІЗМІВ

5.1. Постановка задачі оптимального проектування

5.1.1. Задача проектування кулачкових механізмів /КМ/ складається з визначення геометричних параметрів механізму та профілю кулачка. Останній задається звичайно таблицею координат його точок, яку складено для ряду значень кута повороту кулачкового вала.

Задача синтезу КМ має розв'язуватись як оптимізаційна. Критерієм оптимальності служить габаритний розмір механізму, який, природно, має бути мінімальним.

У процесі проектування враховуються функціональні міцнісні та технологічні обмеження. Прикладом міцнісних обмежень можна назвати необхідність обмеження контактних напружень і тиску на напрямку. Функціональні обмеження - це вимоги безвідривної роботи ролика та відсутності його ковзання по профілю кулачка. Радіуси кривизни профілю мають задовільняти вимогам, поставленим технологічним процесом його обробки. Щоб розв'язати поставлену задачу, необхідно знайти залежності кінематичних і динамічних характеристик механізму від його геометричних параметрів і закону руху.

5.1.2. Найскладнішою частиною задачі оптимального проектування КМ є висір закону руху веденої ланки. У найсуорішій постановці ця частина задачі є варіаційною. Проте таке розв'язання трудомістке і виходить за межі курсового проекту. Тому в даному посібнику використано простіший метод [1], за якого закон руху вважається заданим на основі досвіду проектування аналогічних механізмів.

5.1.3. Розглянемо найпоширеніші в загальному машинобудуванні типи плоских кулачкових механізмів, в яких кулачок обертается, а ведена ланка рухається поступально чи обертается, тобто служить штовхачем або коромислом /рис. 5.1/.

Розглянемо два типи кулачкових механізмів: із штовхачем, що має ролик, і з плоским штовхачем /тарілчастим штовхачем/. Механізми з плоским коромислом зустрічаються значно рідше, тому в даному посібнику не вивчаються.

У подальшому для скорочення записів будемо використовувати такі позначення різних типів КМ:

РТ - із штовхачем і роликом /рис. 5.1,а/;

ПТ - із плоским штовхачем /рис. 5.1,б/;

РК - із коромислом і роликом /рис. 5.1,в/.

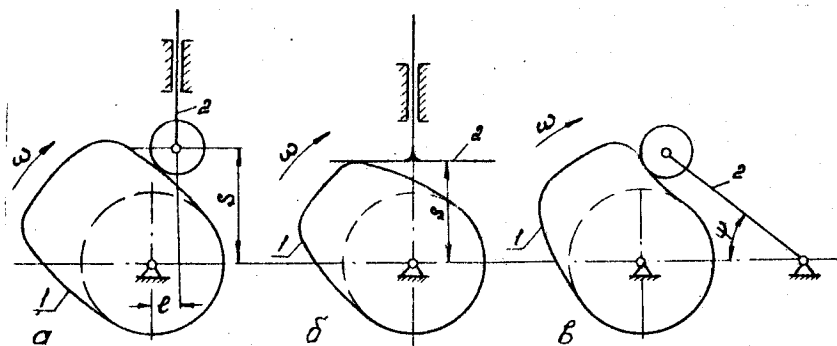


Рис. 5.1

5.1.4. Програми, що дають змогу виконувати обчислення та в необхідними при аналізі й синтезі кулачкових механізмів, зручніше будувати за принципом "нашарування" блоків /див. п. 1.2.2/. Наприклад, при розв'язанні багатьох задач використовується блок обчислення кінематичних параметрів, вміст якого залежить від заданого закону руху, але не залежить від типу механізму.

Для обчислення радіусів кривизни профілю використовується блок, який у подальшому входить до програм обчислення контактних напружень. Вміст деяких блоків /наприклад, блока визначення координат робочого профілю, блока обчислення радіусів кривизни/ є загальним для механізмів типів РТ і РК.

Використання на наступних етапах готових блоків із попередніх програм скорочує час на їх складання та відлагодження.

5.2. Визначення положення веденої ланки, її швидкості та прискорення

5.2.1. Закон руху веденої ланки.

5.2.1.1. У загальненою координатою, що визначає положення штовхача 2 у механізмах типів РТ і ПТ /див. рис. 5.1, а, б/ візьмемо відстань S . У механізмах типу РК положення веденої ланки /коромисла/ задає кут Ψ /див. рис. 5.1, в/.

Переміщення веденої ланки – це періодична функція кута повороту ϑ кулачкового вала. Останній беруть як аргумент.

Початок відліку φ сумістимо з початком віддалення веденої ланки /рис. 5.2/. Період роботи КМ /цикловий кут/ у більшості випадків дорівнює 2π . Він містить фази віддалення ($\alpha - \beta$), дальнього вистою ($c - d$), зближення ($d - e$) і більшого вистою ($e - \ell$).

В окремому випадку один або обидва вистою можуть бути відсутніми. На ділянках вистою ведена ланка є нерухомою, тому профілем служать дуги окружностей з центром на осі обертання вала.

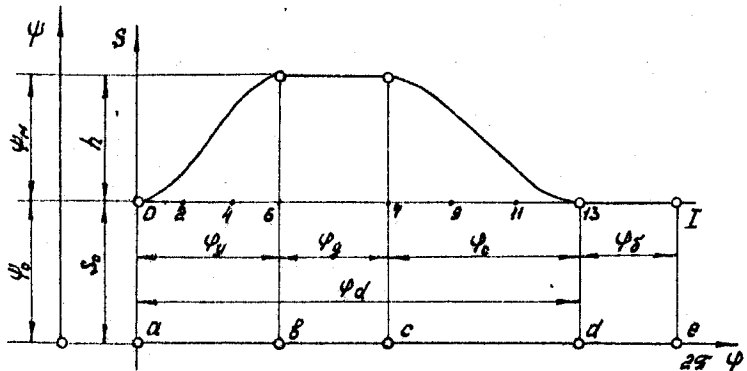


Рис. 5.2

5.2.1.2. Розглянемо на прикладі ділянки віддалення, яким умовам мають задовольняти кінематичні параметри веденої ланки. Викладення будемо вести на прикладі механізмів із штохачем, проте воно може повторюватись і для механізмів із коромислом.

Графік переміщення штовхача зображенено на рис. 5.3,а. Він має пройти крізь точки A і B , що лежать на кінцях відрізка $[O, \varphi_y]$. Різниця ординат цих точок - хід штовхача h - задана величина.

Відстань S_0 з точки зору кінематики КМ - це довільна величина, оскільки не впливає на швидкість і прискорення штовхача і виконуваний ним технологічний процес; саме тому S_0 - параметр, що варіюється в задачі синтезу КМ і буде використаний для ІІ розв'язання.

На графіку швидкості штовхача /рис. 5.3,б/ фіксованими є точки C і D , оскільки швидкість на початку і в кінці віддалення має дорівнювати нулю. Крива v на відрізку $[O, \varphi_y]$ не повинна мати розривів, щоб виключити жорсткі ударі.

Щоб виконати вимогу $v=0$ при $\varphi=\varphi_y$, графік прискорення /рис. 5.3,в/, необхідно вибрати так, щоб позитивна та негативна

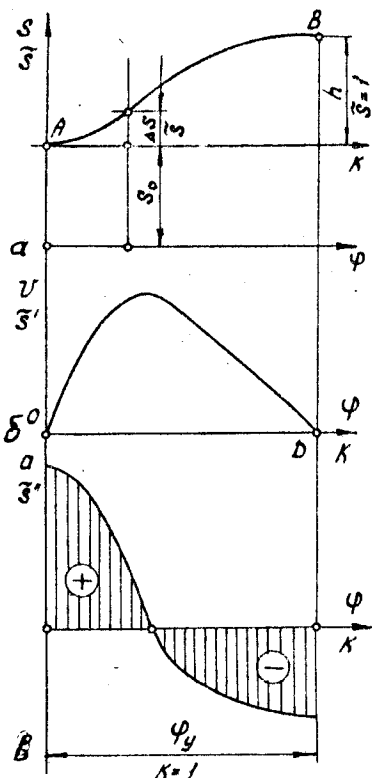


Рис. 5.3

5.2.2. Безрозмірні кінематичні параметри.

5.2.2.1. Оскільки незалежною змінною взято кут повороту кулачкового вала, в процесі дослідження кінематики кулачкових механізмів можна користуватися поняттями про аналоги швидкості та прискорення /див. підрозд. 2.9/ як похідних $dS/d\varphi$ і $d^2S/d\varphi^2$. Проте зручніше ввести безрозмірні параметри [37].

Безрозмірним переміщенням веденої ланки будемо називати величини

$$\bar{S} = \frac{\Delta S}{\mu} \quad \text{або} \quad \tilde{S} = \frac{\Delta \varphi}{\varphi_m}, \quad /5.1/$$

де ΔS , $\Delta \varphi$ - переміщення штовхача та кут повороту коромисла, відраховані від положення, що відповідає початку віддалення штовхача,

площи під кривою $\alpha(\varphi)$ на ділянці віддалення дорівнюювали одна другій. Якщо проектується механізм, в якому не-припустимі м'які удари, крива прискорень не повинна мати розривів на відрізку $[0, \varphi_y]$. У протилежному разі припустими розриви неперервності першого роду.

Переліченим вимогам задовільняє багато законів руху. Оскільки найбільше особливості кожного закону відбувається на залежності $\alpha(\varphi)$, будемо задавати саме цю криву та визначати параметри, які входять до її описання, так, щоб забезпечити необхідні граничні умови для кривих швидкості та переміщення /див. рис. 5.3/. Найпоширеніші закони руху, що задовільняють сформульованим умовам, наведені в табл. 5.1.

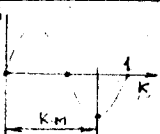
Таблиця 5.1

Найменування та графік функції, що описує безрозмірне прискорення

Вирази для обчислення безрозмірних кінематичних параметрів

1. Синусоїда

$$\tilde{S}_M = 0,503$$



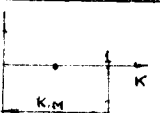
$$\tilde{S}^u = 2\pi \sin(2\pi K)$$

$$\tilde{S}' = 1 - \cos(2\pi K)$$

$$\tilde{S} = \frac{1}{2\pi} (2\pi K - \sin(2\pi K))$$

2. Косинусоїда

$$\tilde{S}_M = 1,0$$



$$\tilde{S}^u = \pi^2 \cos(\pi K)/2$$

$$\tilde{S}' = \pi \sin(\pi K)/2$$

$$\tilde{S} = (1 - \cos(\pi K))/2$$

3. Потиска пряма

$$\tilde{S}_M = 1,0$$



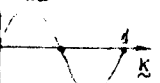
$$\tilde{S}^u = 6(1 - 2K)$$

$$\tilde{S}' = 6K(1 - K)$$

$$\tilde{S} = K^2(3 - 2K)$$

4. Дільници параболи

$$\tilde{S}_M = 0,503$$



$$0 \leq K \leq 0,5$$

$$\tilde{S}^u = 4K(1 - 2K)$$

$$\tilde{S}' = 8K^2(3 - 4K)$$

$$\tilde{S} = 8K^3(1 - K)$$

$$0,5 < K \leq 1; K^* = 1 - K$$

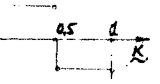
$$\tilde{S}^u = -4K^*(1 - 2K^*)$$

$$\tilde{S}' = 8(K^*)^2(3 - 4K^*)$$

$$\tilde{S} = 1 - 8(K^*)^3(1 - K^*)$$

5. Кусково-постійніше прискорення

$$\tilde{S}_M = 0,5$$



$$0 \leq K \leq 0,5$$

$$\tilde{S}^u = 4$$

$$\tilde{S}' = 4K$$

$$\tilde{S} = 2K^2$$

$$0,5 < K \leq 1 \quad K^* = 1 - K$$

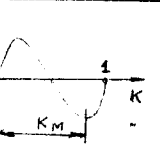
$$\tilde{S}^u = -4$$

$$\tilde{S}' = 4K^*$$

$$\tilde{S} = 1 - 2(K^*)^2$$

6. Поліном 3-го ступеня

$$\tilde{S}_M = 0,942$$



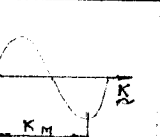
$$\tilde{S}^u = 60K(1 + K(2K - 3))$$

$$\tilde{S}' = 30K^2(1 + K(K - 2))$$

$$\tilde{S} = K^3(10 + K(6K - 15))$$

7. Поліном 5-го зростання

$$\tilde{S}_M = 0,932$$



$$\tilde{S}^u = 4K(27 - 165K + 390K^2 - 420K^3 + 168K^4)$$

$$\tilde{S}' = 2K^2(27 - 110K + 185K^2 - 168K^3 + 56K^4)$$

$$\tilde{S} = K^3(18 - 55K + 78K^2 - 56K^3 + 16K^4)$$

* $\tilde{S}_{M_{\text{min}}}$ — безрозмірне переміщення при $K = K_M$, тобто в момент мінімуму безрозмірного прискорення.

тобто від точки A на рис. 5.3; h, φ - повний хід штовхача та розміж коромисла /див. рис. 5.2/.

Аргументом беремо безрозмірний кут повороту кулячкового вала

$$K = \frac{\varphi}{\varphi_y} . \quad /5.2/$$

Характерні точки A і B на кривій переміщення /див. рис. 5.3, а/ мають такі безрозмірні координати: для точки A $K=0; \tilde{s}=0$; для точки B $K=1; \tilde{s}=1$.

Це дає змогу спростити подальші викладки.

Першу та другу похідні позначимо відповідно

$$\tilde{s}' = d\tilde{s}/dK; \quad \tilde{s}'' = d^2\tilde{s}/dK^2. \quad /5.3/$$

Будемо називати ці похідні безрозмірною швидкістю та прискоренням. Графіки цих величин аналогічні зображенням на рис. 5.3, б, в.

Розрізняються вони лише масштабами за осями координат.

Розглянемо залежність між безрозмірними кінематичними параметрами та аналогами швидкості й прискорення.

Із /5.1/ і /5.2/ випливає, що $dS = d\tilde{s} \cdot h, d\varphi = dK \cdot \varphi_y$, тому аналог швидкості

$$S' = \frac{dS}{d\varphi} = \frac{d\tilde{s}}{dK} \frac{h}{\varphi_y} = \tilde{s}' - \frac{h}{\varphi_y}. \quad /5.4/$$

Аналогічно можна показати, що

$$\tilde{s}'' = \frac{d^2\tilde{s}}{d\varphi^2} = \tilde{s}'' - \frac{h}{\varphi_y^2}. \quad /5.5/$$

Із /5.4/ і /5.5/ випливає, що безрозмірні кінематичні параметри не залежать від фазового кута та ходу веденої ланки. У цьому полягає їх основна перевага.

Закони руху, наведені в табл. 5.1, подані в безрозмірній формі. У разі задання прискорення у вигляді синусоїди, двох дуг парабол, полінома Шуна чи полінома 5-го ступеня m які удари відсутні. У разі задання прискорення у вигляді косинусоїди чи похилої прямої m які удари виникають на границях відрізка віддалення /зближення/. У разі використання кусково-постійного закону розриви мають місце по краях відрізка і в точці $K = 0,5$.

5.2.2.2. Як приклад покажемо виведення рівнянь руху при заданні безрозмірного прискорення у вигляді синусоїди. Якщо

$$\tilde{S}'' = \alpha \sin \rho K, \quad /5.6/$$

то параметр ρ визначаємо з умови, що при $K = 1,0$ має закінчитись період синусоїди. Тому $2\pi = \rho \cdot 1$. Отже, $\rho = 2\pi$. Щоб визначити \tilde{S} , проінтегруємо /5.6/ за аргументом K . У результаті дістанемо

$$\tilde{S}' = -\frac{\alpha}{\rho} \cos \rho K + C_1, \quad /5.7/$$

де C_1 — стала інтегрування, що визначається за початкових умов.

Повторно інтегруючи, знаходимо

$$\tilde{S} = -\frac{\alpha}{\rho} \sin \rho K + C_1 K + C_2,$$

де C_2 — друга константа інтегрування.

Ураховуючи, що при $K = 0$ маємо $\tilde{S}' = 0$; $S = 0$ і підставляючи ці значення в /5.7/ і /5.8/, дістаємо $C_1 = \frac{\alpha}{\rho}$; $C_2 = 0$. Тому рівняння /5.7/ і /5.8/ набувають вигляду

$$\begin{aligned} \tilde{S}' &= \frac{\alpha}{\rho} (1 - \cos \rho K); \\ \tilde{S} &= \frac{\alpha}{\rho} K - \frac{\alpha}{\rho} \sin \rho K. \end{aligned} \quad /5.8/$$

Параметр α можна визначити з умови, що при $K = 1,0$ маємо $\tilde{S} = 1,0$. Підставляючи ці значення в /5.8/, знаходимо $\alpha = \rho$. Тому рівняння руху штовхача остаточно мають вигляд

$$\begin{aligned} \tilde{S}'' &= 2\pi \sin 2\pi K; \\ \tilde{S}' &= 1 - \cos 2\pi K; \\ \tilde{S} &= \frac{1}{2\pi} (2\pi K - \sin 2\pi K). \end{aligned}$$

Саме ці вирази наведені у відповідній графі табл. 5.1.

5.2.2.3. Записані вирази для \tilde{S}'' , \tilde{S}' , \tilde{S} є справедливими для ділянки віддалення, у початковій точці якої $\tilde{S} = 0$; $\tilde{S}' = 0$. Щоб цим вимогам задовільняли значення безрозмірного переміщення та швидкості на ділянці зближення, змінимо /реверсуємо/ напрям обертання кулачка* і перенесемо початок відліку безрозмірного аргументу в

* Необхідно розрізняти обернений рух механізму, коли всім ланкам надається додатковий рух з кутовою швидкістю $-\omega$, і реверсування обертання кулачкового вала, коли кутова швидкість кулачка змінюється з $+\omega$ на $-\omega$.

точку d /див. рис. 5.2/. Тоді безрозмірний аргумент на ділянці зближення

$$K_c = \frac{\varphi_d - \varphi}{\varphi_c}, \quad /5.9/$$

де φ - кут повороту кулачка, що відповідає кінцю зближення /точка d /; φ_c - фазовий кут зближення.

Диференціючи /5.9/, знаходимо, що

$$dK_c = -\frac{d\varphi}{\varphi_c}. \quad /5.10/$$

Звідси випливає, що вираз для \tilde{S}' на ділянці зближення можна отримати з наведених у табл. 5.1 зміною знаку. Вирази для \tilde{S} і \tilde{S}'' є справедливими для ділянки зближення в разі підстановки в них безрозмірного аргументу K_c .

5.2.3. Програмування обчислень кінематичних параметрів.

5.2.3.1. Розіс'мо фазові кути віддалення та зближення на n однакових частин і надамо отриманим точкам номери від нуля до n на ділянці віддалення та від $n+1$ до $2n+1$ на ділянці зближення. Для прикладу на рис. 5.2 показано нумерацію положень при $n = 6$.

У разі обертання кулачка будемо слідкувати за зміною номера точки I і безрозмірного аргументу K .

Таблиця 5.2

Значення	α	β	c	d
φ	0	φ_y	$\varphi_y + \varphi_g$	φ_g
I	0	n	$n+1$	$2n+1$
K	0	1	1	0

Значення I, φ, K в характерних точках наведені в табл. 5.2.

Із викладеного випливає, що приrostи безрозмірного аргументу K на ділянках віддалення та зближення відповідно

$$\Delta K_y = \frac{1}{n}; \quad \Delta K_c = -\frac{1}{n}, \quad /5.11/$$

а приrostи кута повороту кулачка

$$\Delta \varphi_y = \frac{\varphi_y}{n}; \quad \Delta \varphi_c = \frac{\varphi_c}{n}. \quad /5.12/$$

Значення I, φ, K у кожній наступній точці можуть визначатися на ділянках віддалення та зближення операторами присвоювання $I=I+1$; $\varphi=\varphi+\Delta\varphi$; $K=K+\Delta K$, в яких значення ΔK і $\Delta\varphi$ визначається за /5.11/ і /5.12/. Тому схема алгоритму може бути побудована так, як зображене на рис. 5.4. У блоках 2 – 4 присвоюються початкові значення змінним φ і K , обчислюються значення ΔK і $\Delta\varphi_n$, задається номер положення $N=n$, за якого мають бути закінчені обчислення для ділянки віддалення. Поточному значенню фазового кута φ_n присвоюється значення φ .

Після цього відбувається виклик підпрограми САМ, усередині якої визначаються коефіцієнти m_1 і m_2 , на які потрібно помножити S і \dot{S} , щоб отримати S'' і \dot{S}' .

Потім усередині підпрограми організується цикл, який повторюється доти, поки I не стане дорівнювати N . Усередині циклу обчислюються безрозмірні кінематичні параметри, а потім S, \dot{S}, \ddot{S} . Блок 5.2 може бути виконаний у вигляді кількох програм, початкові адреси яких визначають, для якого із законів, наведених у табл. 5.1, будуть обчислені безрозмірні кінематичні параметри. Блоки 5.6 – 5.8 забезпечують зміну значень I, K, φ усередині циклу.

5.2.3.2. Після закінчення обчислень для ділянки підйому /при $I=n$ / відбувається вихід із циклу і підпрограми. У блоках 6 і 7 задається значення I і φ , що відповідають точці C початку зближення /див. табл. 5.2/. У блоку 8 перерозподіляються значення фазового кута, кроків ΔK і $\Delta\varphi$ для ділянки зближення.

Заданий фазовий кут таким, що дорівнює $-\varphi_c$, приводить до того, що в разі наступного звернення до підпрограми САМ для ділянки зближення маємо $m_1 = -n/\varphi$; $m_2 = n/\varphi_c^2$, що, у свою чергу, приведе до отримання негативних значень швидкості. Нарешті, у блоку 9 задається значення $N=2, n+1$, яке забезпечить вихід із циклу в точці d /див. табл. 5.2/.

Для законів I – 3, 5, 6, що наведені в табл. 5.1, описаний алгоритм може бути реалізовано на ПМК.

5.2.3.3. Серед рівнянь руху, що наведені в табл. 5.1, закони кусково-постійний 5 і параболічний 4 потребують обчислень $\tilde{S}', \tilde{S}, \tilde{\dot{S}}$ за різними формулами залежно від того, чи досягло K значення 0,5. У разі кусково-постійного закону /рис. 5.5/ у точці $K=0,5$ можна виконати два варіанти розрахунку, узявши відповідно $\tilde{S}''=+4$ і $\tilde{S}''=-4$. Розрахунки показують, що значення реакцій у кінематичних парах є більшими у першому випадку. Тому алгоритм обчислень побудо-

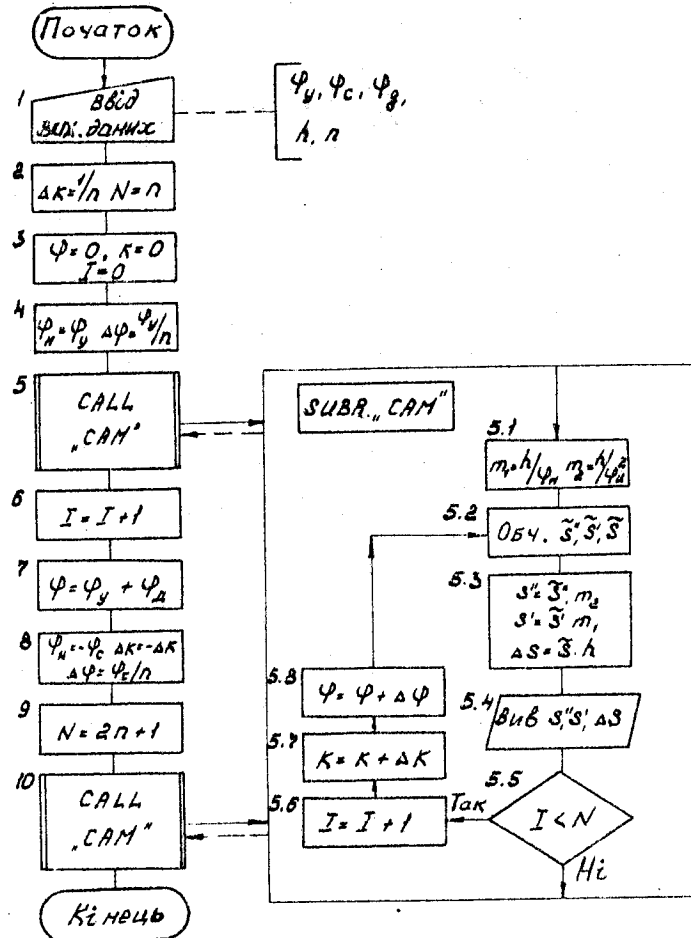


Рис. 5.4

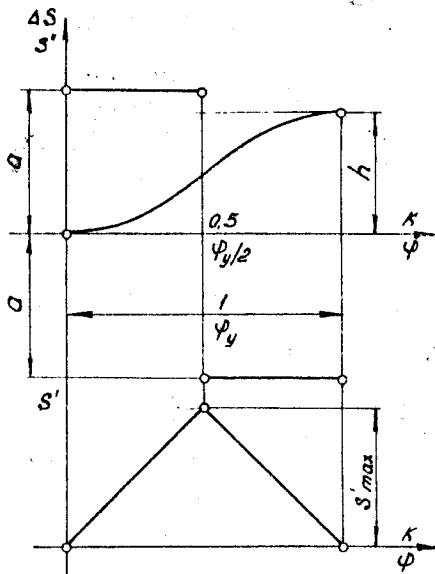


Рис. 5.5

ваний так, що при $K = 0,5$ розглядається лише випадок $\tilde{S}'' = +4$. Схему алгоритму обчислення кінематичних параметрів для ділянки віддалення зображенено на рис. 5.6.

Звернемо увагу на те, що в логічному блоку З перевіряється умова $K > 0,5$, яка відсутня у командах умовних переходів ПМК. Тому, розв'язуючи задачу на ПМК, доводиться використовувати послідовно дві команди умовних переходів за умов $X \geq 0$ і $X \neq 0$.

Циклічний алгоритм обчислення кінематичних параметрів може доповнюватись блоком 6, в якому розміщуються оператори, що використовуються на наступних етапах. Якщо профіль кулачка є симетричним, то достатньо обмежитись дослідженням лише ділянки віддалення. У цьому разі задача значно спрощується, оскільки алгоритм II розв'язання є циклічним із заданим числом повторень і не має яких-небудь особливостей.

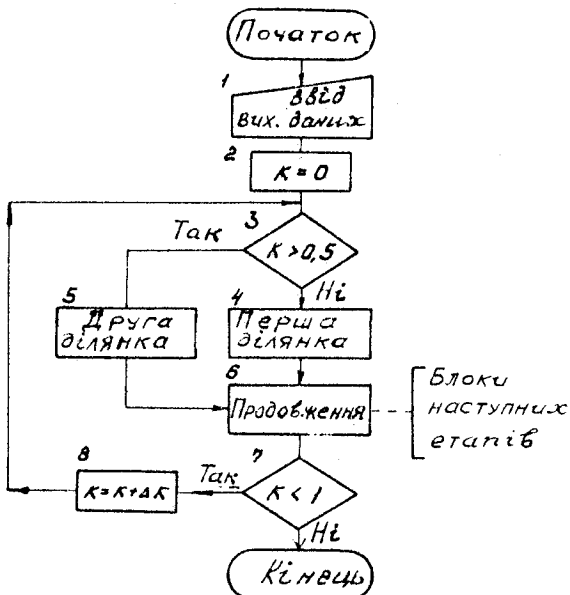


Рис. 5.6

5.2.3.4. Якщо для задання безрозмірного прискорення штовхача використати подіном 5-го ступеня, вираз для \tilde{S} у загальному вигляді можна записати так:

$$\tilde{S} = K^3 (q_0 + q_1 K + q_2 K^2 + q_3 K^3 + q_4 K^4).$$

Значення полінома, що стоїть у дужках, зручно обчислити за схемою Горнера [14]. Для цього S наведемо у вигляді

$$\tilde{S} = K^3 (q_0 + K (q_1 + K (q_2 + (q_3 + K q_4)))) \quad /5.13/$$

Аналогічними виразами можна навести значення S і \tilde{S}'' . Програму I.16 обчислення зазначених величин на ПМК наведено в дод. I. І особливістю є послідовне обчислення величин ΔS , S , S'' . Перед кожним з них до оперативної пам'яті необхідно занести значення параметрів, наведених у табл. 5.1, а також показник ступеня множника K , що стоїть перед дужкою /1 - для обчислення S'' , 2 - для S' , 3 - для ΔS /.

5.2.3.5. Для законів 1 – 3, 5, 6 /див. табл. 5.1/ складено комплект програм I.I7 /дод. I/. Ці програми можуть використовуватися самостійно чи разом з іншими програмами, які виконують обчислення величин, описані в наступних розділах.

Як приклад у дод. I наведені програми I.I8 і I.I9 для обчислення радіусів кривизни профілю кулачка та еквівалентного згинаючого моменту для кулачкового вала механізму типу РТ. Ці програми є сумісними з будь-якою із програм I.I7.1 – I.I7.5.

Досліджуючи механізми типу РК, можна скористатись програмою 2.7, яка дає змогу знайти кінематичні параметри, координати центрового та робочого профілів, контактні напруження в парі кулачок – ролик механізму цього типу.

5.3. Визначення координат центрового та робочого профілів кулачків, їх радіусів кривизни у механізмах типів РТ і РК

5.3.1. Вибір системи координат і правила знаків для відліку кутів.

5.3.1.1. У більшості випадків координати центрового, а потім і робочого профілів кулачка зручніше задавати в параметричному вигляді, використовуючи декартову систему координат. Профіль будемо за допомогою методу обернення руху, тобто розглядаємо рух механізму відносно кулачка і сполученої з ним системи координат, яка став нерухомою після обернення руху.

Вивчаючи кулачкові механізми, спостерігача будемо розміщувати так, щоб він бачив напрям обертання кулачка, яке відбувається за годинниковою стрілкою. Тоді напрям оберненого руху є протилежним руху годинникової стрілки. Цей напрям беремо позитивним у разі відліку кутів. Як аргумент, що служить параметром у рівнянні профілю, беремо кут повороту механізму в оберненому русі.

Початок відліку декартової системи розмістимо на осі обертання кулачка, а інші осі розташуємо так, щоб поворот від осі OX до осі OY відбувався проти годинникової стрілки /рис. 5.7/.

5.3.1.2. Якщо розглядається кулачковий механізм із штовхачем, вісь OY спрятмуємо паралельно осі штовхача в момент початку віддалення.

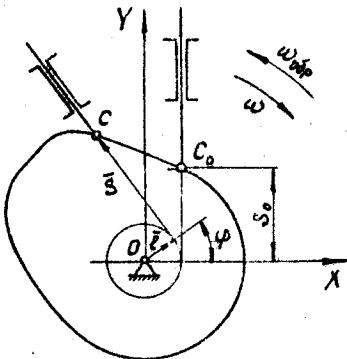


Рис. 5.7

У нецентральному механізмі типу РТ штовхач може бути зміщено уздовж осі OY на величину e як у позитивному, так і в негативному напрямках. На рис. 5.7 показано позитивне зміщення штовхача.

В окремому випадку, якщо $e = 0$ і вісь OY збігається з віссю штовхача, механізм називається центральним. Такі механізми характеризуються рядом технологічних і функціональних переваг /див. підрозд. 5.7/, тому вони найбільше поширені в техніці /наприклад, кулачкові механізми ДВС/. Досліджуючи механізми такого типу, зручніше користуватись полярною системою координат, полюс якої лежить на осі кулачка, а полярна вісь збігається з віссю штовхача в момент початку віддалення /рис. 5.8/.

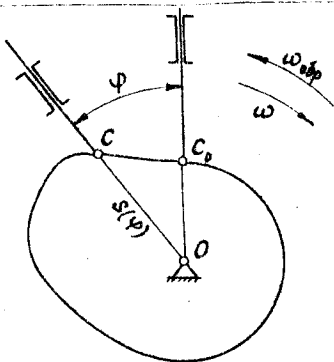


Рис. 5.8

На рис. 5.7 зображене центральний профіль кулачка: точка C_0 - центр ролика в початковий момент; C - центр ролика при повороті оберненого механізму на кут \varPhi .

Щоб визначити положення точки C у системі XOY , введемо вектори \bar{e} і \bar{S} /рис. 5.7/. Напрям цих векторів будемо задавати кутами, які вони складають з віссю OX .

У нецентральному механізмі типу РТ штовхач може бути зміщено уздовж осі OY на величину e як у позитивному, так і в негативному

напрямах. На рис. 5.7 показано позитивне зміщення штовхача.

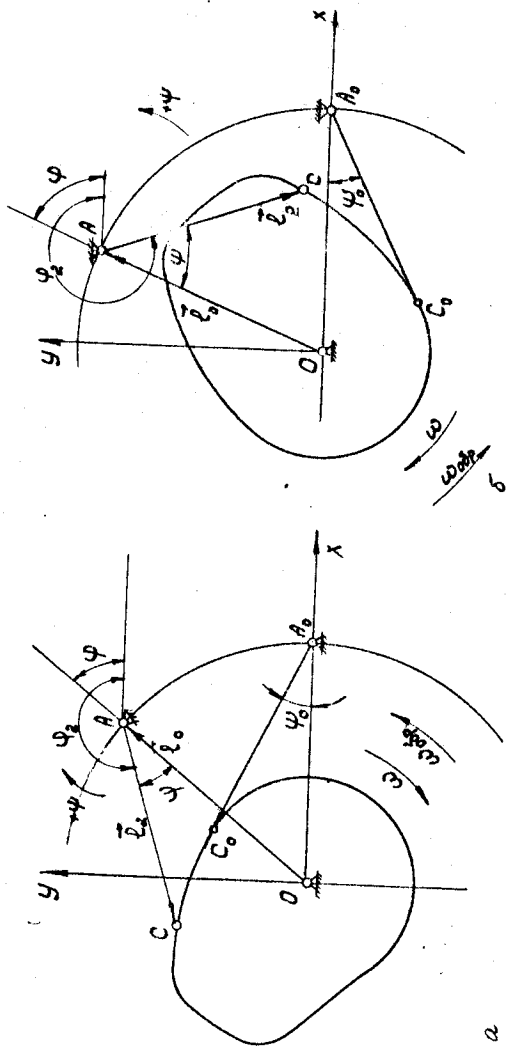
В окремому випадку, якщо $e = 0$ і вісь OY збігається з віссю штовхача, механізм називається центральним. Такі механізми характеризуються рядом технологічних і функціональних переваг /див. підрозд. 5.7/, тому вони найбільше поширені в техніці /наприклад, кулачкові механізми ДВС/. Досліджуючи механізми такого типу, зручніше користуватись полярною системою координат, полюс якої лежить на осі кулачка, а полярна вісь збігається з віссю штовхача в момент початку віддалення /рис. 5.8/.

У цьому випадку для задання положення точці C використовується залежність $S = f(\varPhi)$ як рівняння центрового профілю в полярній системі.

5.3.1.3. Досліджуючи механізми типів РК, узагальненою координатою беремо кут \varPsi між лінією центрів OA і віссю коромисла AC /рис. 5.9/.

Позитивним для кута \varPsi беремо поворот від лінії центрів до осі коромисла.

Рис. 5.9



У кулачковому механізмі розглядуваного типу можливими є два випадки розташування коромисла відносно ліній центрів /див. рис. 5.9/. Вони аналогічні варіантам складання груп Ассура в шарнірно-важільних механізмах.

У першому випадку /рис. 5.9, а/ коромисло на фазі віддалення обертається за годинниковою стрілкою й напрям його обертання збігається з напрямом обертання кулачка. У другому випадку /рис. 5.9, б/ на фазі віддалення напрями обертання цих ланок є протилежними. Орієнтуючись на це, перший варіант механізму називатимемо позитивним, а другий – негативним.

5.3.1.4. Досліджуючи механізми типу РК, вісь OX декартової системи проведемо крізь вісь кулачка та вісь коромисла в момент початку віддалення. Вісь OY повернемо на кут 90° відносно осі OX за напрямом оберненого руху механізму /див. рис. 5.9/.

Точка C – центр ролика в момент, що відповідає початку віддалення. Точка \bar{C} – положення центра ролика при повороті механізму в оберненому русі на кут Ψ . Введемо напрямні вектори ланок \vec{e}_1 і \vec{e}_2 . Їх положення задамо кутами φ_1 і φ_2 , які відліковуються від осі OX .

Підкреслимо особливість КМ розглядуваного типу. У процесі їх синтезу необхідно встановити два незалежних правила розрахунку кутів. Для кута Ψ та його похідних знак визначається розташуванням коромисла відносно ліній центрів. На відміну від цього положення напрямних векторів визначається їх кутами з віссю OX за напрямом оберненого руху.

5.3.2. Визначення координат центрового і робочого профілів кулачка в механізмах типу РТ.

5.3.2.1. Розглянемо обернений рух механізму. Якщо до обернення кулачок рухався за стрілкою годинника, то після обернення руху стоянки рухається проти стрілки годинника, а штовхач рухається уздовж напрямної. Вісь штовхача завжди торкається окружності радіуса ℓ . Визначимо положення точки C , відповідне повороту механізму в оберненому русі, на кут φ /див. рис. 5.7/. Для цього достатньо вектор \vec{e}_1 повернути на кут φ від вихідного положення і відкласти від його кінця вектор S , модуль якого визначається поточним значенням функції $S(\varphi)$ за заданого значення φ .

Повторюючи описані дії для необхідного числа точок на ділянках віддалення і зближення штовхача, визначаємо центрний профіль

кулачка. На ділянках вистою профіль описаний окружностями з центром у точці O , що проходять крізь точки, відповідні початку і кінцю віддалення.

Щоб мати орієнтовне уявлення про форму кулачка, описана побудова може бути виконана графічно. Кути віддалення і зближення можуть бути при цьому розбиті на 8 - 12 частин. Для виконання креслення кулачка необхідно підрахувати координати точки C на ділянках віддалення і зближення з точністю не менше як 1 мм і кроком $0,5\dots 1,0^{\circ}$. У цьому випадку одна - дві точки, отримані графічно, можуть служити для виявлення грубих помилок у разі записування формул і складання програмами.

5.3.2.2. Для аналітичного визначення координат центрового профілю спроектуємо вектори \vec{e} і \vec{s} на осі OX і OY . Після повороту механізму в оберненому русі на кут φ вектор \vec{e} складе такий самий кут з віссю OX . У всіх наступних викладках e розглядається як алгебраїчна величина.

Кути, які складають вектори \vec{e} і \vec{s} з віссю OX , і проектуючі множники наведені в табл. 5.3.

Таблиця 5.3

Вектор	Кут з віссю	Проектуючі множники	
		на OX	на OY
\vec{e}	φ	$\cos \varphi$	$\sin \varphi$
\vec{s}	$\varphi + \pi/2$	$-\sin \varphi$	$\cos \varphi$

Користуючись табл. 5.3, дістанемо

$$X_c = e \cos \varphi - s \sin \varphi; \quad /5.14/$$

$$Y_c = e \sin \varphi + s \cos \varphi. \quad /5.15/$$

Робочий профіль кулачка є обвідною до сімейства окружностей, радіус яких дорівнює радіусу ролика r , а центри лежать на центральному профілі. Тому для визначення координат робочого профілю треба мати похідні X'_c і Y'_c , а для встановлення радіусів кривизни - ще й другі похідні X''_c і Y''_c .

Тому продиференціюємо двічі формули /5.14/ і /5.15/. Після першого диференціювання дістаємо

$$X'_c = -[(s' + e) \sin \varphi + s \cos \varphi]; \quad /5.16/$$

$$Y'_c = (s' + e) \cos \varphi - s \sin \varphi, \quad /5.17/$$

після другого -

$$x_c'' = -[(S''-S)\sin\varphi + (2S'+e)\cos\varphi]; \quad /5.18/$$

$$y_c'' = (S''-S)\cos\varphi - (2S'+e)\sin\varphi. \quad /5.19/$$

5.3.2.3. Робочий профіль /РП/ кулачка із силовим замиканням служить внутрішньою обвідною до згадуваного омейства окружностей. Для визначення координат точок РП запишемо рівняння окружності радиуса r_2 з центром у точці C , тобто тій, що має координати x_c і y_c /рис. 5.10/:

$$(X-x_c)^2 + (Y-y_c)^2 = r_2^2. \quad /5.20/$$

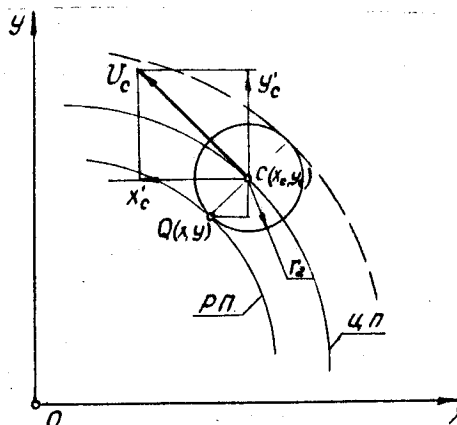


Рис. 5.10

Для визначення координат шуканої обвідної [32, гл. 13, § 11] продиференціюємо це рівняння за параметром φ з урахуванням того, що від φ залежать тільки x_c і y_c , а змінні X і Y від цього аргументу не залежать. Тоді

$$-2(X-x_c)\frac{dx_c}{d\varphi} - 2(Y-y_c)\frac{dy_c}{d\varphi} = 0. \quad /5.21/$$

Сумісне розв'язання рівнянь /5.20/ і /5.21/ дає змогу знайти рівняння зовнішньої та внутрішньої обвідних у параметричній формі.

Із /5.21/ випливає, що

$$y - y_c = (x - x_c) \frac{x'_c}{y'_c} . \quad /5.22/$$

Підставивши цей вираз у /5.20/, дістанемо

$$(x - x_c)^2 + (x - x_c)^2 \left(\frac{x'_c}{y'_c} \right)^2 = r^2 . \quad /5.23/$$

Звідси

$$(x - x_c)^2 \frac{(x_c)^2 + (y_c)^2}{(y'_c)^2} = r^2 .$$

Розв'яжемо це рівняння відносно x :

$$x = x_c \pm \frac{r^2 y'_c}{\sqrt{(x'_c)^2 + (y'_c)^2}} . \quad /5.24/$$

Аналогічно можна знайти, що

$$y = y_c \pm \frac{r^2 x'_c}{\sqrt{(x'_c)^2 + (y'_c)^2}} . \quad /5.25/$$

5.3.2.4. Два знаки у формулах /5.22/ і /5.23/ дають можливість знайти рівняння зовнішньої та внутрішньої обвідних. Виберемо знаки для визначення внутрішньої обвідної, яка нас цікавить. Візьмемо точку C на профілі кулачка у першому квадранті /див. рис. 5.10/. У внутрішньої обвідності $x < x_c$; $y < y_c$. Ураховуючи напрям руху точки C при зростанні φ , робимо висновок, що x_c спадає і, отже, $x'_c < 0$; y_c наявні, зростає і $y'_c > 0$. Знаки цих величин видно також на рис. 5.10.

Розглянемо формулу /5.22/. Оскільки $y'_c > 0$, другий член у ній є додатним і для того, щоб отримати $x < x_c$, його слід брати зі знаком "-". У формулі /5.23/ другий член є від'ємним ($x'_c < 0$), і, щоб отримати $x < x_c$, його слід брати зі знаком "-".

Отже, координати робочого профілю кулачка слід обчислювати за формулами

$$x = x_c - \frac{r_e y_c'}{\sqrt{(x_c)^2 + (y_c')^2}} ; \quad /5.26/$$

$$y = y_c + \frac{r_e x_c'}{\sqrt{(x_c')^2 + (y_c')^2}} . \quad /5.27/$$

В окремому випадку, коли розглядається центральний механізм типу РТ, залежність $S = f(\varphi)$ служить рівнянням центрового профілю у полярній системі координат, яка може бути використана для розв'язання задач, пов'язаних із синтезом механізму. Проте встановлення обвідної у цій системі викликає утруднення. Тому для визначення координат робочого профілю необхідно користуватися формулами /5.14/ - /5.17/, узявши в них $e = 0$, а потім для безпосереднього обчислення координат робочого профілю - формулами /5.24/ і /5.25/.

5.3.3. Визначення координат центрового та робочого профілів у механізмах типу РК.

5.3.3.1. Застосуємо метод обернення руху, надавши всім ланцюкам механізму обертання з кутовою швидкістю $-\omega$. Тоді повороту кулачка на кут φ за стрілкою годинника відповідає поворот ліній центрів на такий самий кут проти годинникової стрілки /див.

рис. 5.9/. Умову замкненості контуру OAC можна записати так:

$$\vec{e}_c = \vec{e}_a + \vec{e}_2 . \quad /5.28/$$

у табл. 5.4 вказані кути, які складають вектори \vec{e}_a і \vec{e}_2 , у разі додатного та від'ємного варіантів складання /див. рис. 5.9/, а також проектуючі множники на осі OX і OY , які зв'язані кулачком.

Таблиця 5.4

Вектор	Кут з віссю OX	Проектуючі множники на вісь	
		OX	OY
\vec{e}_a	φ	$\cos \varphi$	$\sin \varphi$
\vec{e}_2	Додатний варіант складання $\pi + (\varphi - \psi)$	$-\cos(\varphi - \psi)$	$-\sin(\varphi - \psi)$
	Від'ємний варіант складання $\pi + (\varphi + \psi)$	$-\cos(\varphi + \psi)$	$-\sin(\varphi + \psi)$

Використавши табл. 5.4, запишемо проекції векторів, що входять до рівняння /5.28/, на осі OX і OY :

$$x_c = \ell_0 \cos \varphi - \ell_2 \cos(\varphi + \psi); \quad /5.29/$$

$$y_c = \ell_0 \sin \varphi - \ell_2 \sin(\varphi + \psi). \quad /5.30/$$

5.3.3.2. Продиференціювавши двічі рівняння /5.27/ і /5.29/, дістанемо

$$x_c' = -\ell_0 \sin \varphi + \ell_2 \sin(\varphi + \psi)(1 + \psi'); \quad /5.31/$$

$$y_c' = \ell_0 \cos \varphi - \ell_2 \cos(\varphi + \psi)(1 + \psi'). \quad /5.32/$$

і далі

$$x_c'' = -\ell_0 \cos \varphi + \ell_2 ((1 + \psi')^2 \cos(\varphi + \psi) + \psi'' \sin(\varphi + \psi)), \quad /5.33/$$

$$y_c'' = -\ell_0 \sin \varphi + \ell_2 ((1 + \psi')^2 \sin(\varphi + \psi) + \psi'' \cos(\varphi + \psi)). \quad /5.34/$$

Як і раніше, верхні знаки у формулах /5.29/ - /5.34/ відповідають додатному варіанту складання, а нижні - від'ємному.

Робочий профіль кулачка типу РК, як і робочий профіль кулачка в механізмі типу РТ, служить внутрішньою обвідною до сімейства окружностей радіуса r_3 , центри яких лежать на центрому профілі. Тому для обчислення координат робочого профілю можуть бути використані формули /5.24/ і /5.25/, в яких будуть значення x_c , y_c , x_c' , y_c' із /5.27/ - /5.30/.

Обчислення координат профілю кулачка виконується на останньому етапі синтезу механізму, після того як перевірено всі обмеження, які забезпечують його нормальну роботу, зокрема обмеження на радіус кривизни робочого профілю, які розглядаються далі.

5.3.4. Радіуси кривизни профілю кулачка для механізмів типів РТ і РК. Технологічні обмеження на їх значення.

5.3.4.1. Було знайдено декартові координати та їх похідні за φ для механізмів розглядуваних типів. Щоб обчислити радіуси кривизни, скористаємося відомою формулою [32, гл. 6, § 4.5] для радіуса кривизни плоскої кривої, заданої в параметричній формі:

$$\rho = \frac{[(x_c')^2 + (y_c')^2]^{3/2}}{x_c' y_c'' - x_c'' y_c'}. \quad /5.35/$$

У цій формулі радіус кривизни - алгебраїчна величина; $\rho > 0$ відповідає випуклим ділянкам профілю, $\rho < 0$ - увігнутим.

Якщо розглядається центральний механізм типу РТ і його профіль заданий рівнянням $S = f(\varphi)$ у полярній системі координат.

Тоді

$$\rho = \frac{[S^2 + (S')^2]^{3/2}}{S^2 + 2(S')^2 - SS''} \quad . \quad /5.36/$$

Розв'язування в цьому випадку простіше, оскільки немає необхідності обчислювати X_c, Y_c, X_c, Y_c , а для обчислення ρ безпосередньо використовуються задані кінематичні величини S, S', S'' .

5.3.4.2. У загальному випадку на кожній із фаз руху веденої ланки профіль кулачка має випуклу і ввігнуту ділянки. Як приклад на рис. 5.II показано типовий графік зміни радіуса кривизни на ділянці віддалення. При $\varphi = \varphi_0$ має місце розрив другого роду. Цьому куту повороту відповідає точка перегину на профілі кулачка. На відрізку $[\varphi_0, \varphi^*]$ профіль увігнутий, а на $[\varphi^*, \varphi_y]$ - випуклий.

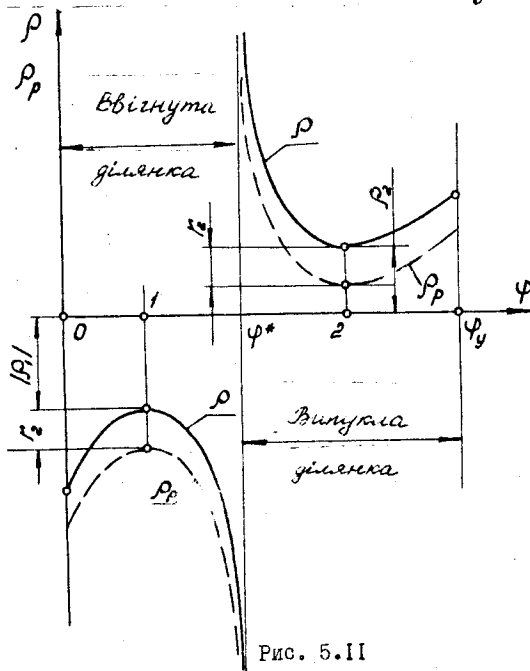


Рис. 5.II

Найбільший інтерес для подальшого дослідження викликають точки I і 2, де значення ρ є екстремальними. Точка 2 відповідає найменшому радіусу кривизни виїзду ділянки профілю, точка I – найменшому за модулем радіусу кривизни ввігнутої ділянки.

5.3.4.3. Щоб встановити обмеження, що накладаються на радіуси кривизни, запишемо співвідношення між радіусами кривизни центрового та робочого профілів /для одного й того самого значення ρ /:

$$\rho_p = \rho - r_2, \quad /5.37/$$

де ρ_p – радіус кривизни робочого профілю.

Рівність /5.37/ справедлива і для випуклої, і для ввігнутої ділянок. У другому випадку ρ_p і ρ є від'ємними. Із /5.37/ випливає, що на випуклих ділянках профілю зменшення ρ і збільшення r призводить до зменшення ρ_p . Виготовлення кулачків з малими радіусами кривизни викликає технологічні ускладнення. Тому необхідно, щоб для випуклих ділянок профілю виконувалась умова

$$\rho_p \geq r_m, \quad /5.38/$$

де r_m – найменше допустиме за технологічними умовами значення радіуса кривизни випуклих ділянок робочого профілю. За середнього рівня технології можна забезпечити $r_m = 2,5 \dots 3,0$ мм.

Найбільш небезпечною є точка зору порушення умови /5.38/ в точці 2 /див. рис. 5.11/. Тому, підставивши у /5.38/ значення ρ_p із рівняння /5.37/ і узявши $\rho = \rho_2$, знайдемо

$$\rho_2 - r_2 \geq r_m, \quad /5.39/$$

яке буде технологічним обмеженням на радіуси кривизни випуклих ділянок центрового профілю.

5.3.4.4. Найчастіше профіль кулачка отримують шліфуванням /чи фрезеруванням/ його контурної поверхні за методом обведення, задаючи такий відносний рух інструменту і заготовці, який забезпечує отримання необхідного робочого профілю, тобто спосіб виготовлення кулачків аналогічний способу виготовлення зубчастих коліс. Шоб інструмент міг стикатися з робочим профілем заготовки в кожній точці /рис. 5.12/ на ввігнутих ділянках, має виконуватись умова

$$|\rho_p| > r_i, \quad /5.40/$$

де r_i – найменший використовуваний на даному заводі радіус інструмента. Деякі заводи допускають $r_i = 75$ мм, що є нижньою межею, а інші зовсім не допускають увігнутих ділянок на профілі кулачка.

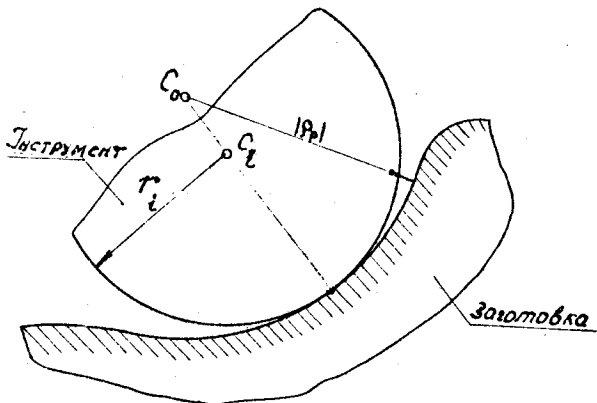


Рис. 5.12

Найбільш небезпечною з точки зору порушення умови /5.40/ є точка I /див. рис. 5.11/, де $|P_p| \rightarrow \min$.

Для ввігнутих ділянок профілю рівняння /5.37/ можна переписати у вигляді

$$|P_p| = |P_1| + r_2.$$

Підставивши $|P_p|$ в /5.40/ і поклавши $|P_1| = |P_2|$, дістанемо

$$|P_1| + r_2 > r_i. \quad /5.41/$$

Це рівняння є технологічним обмеженням на радіуси кривизни ввігнутих ділянок центрового профілю.

5.4. Визначення кутів тиску в механізмах типів РТ і РК.

Синтез цих механізмів за умови обмеження кута тиску

5.4.1. Визначення кута тиску.

5.4.1.1. Покажемо напрям реакції R між кулачком і роликом у механізмі типу РТ /рис. 5.13, а/. Позначимо кут θ між напрямом штовхача і напрямом реакції.

Кут між напрямом швидкості веденої ланки та напрямом нормалі назовемо кутом тиску і будемо вважати його додатним, якщо поворот від вектора швидкості до нормалі відбувається за напрямом обертання кулачка.

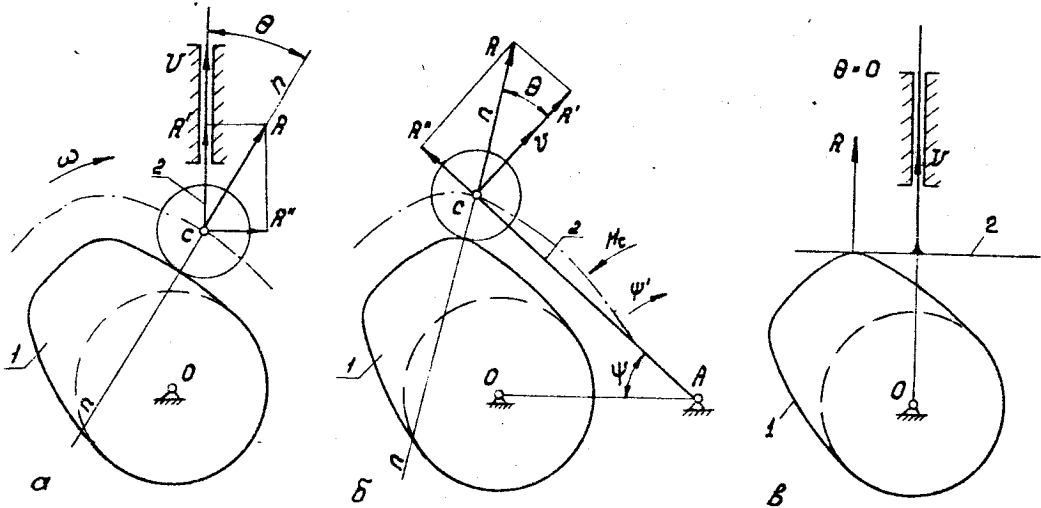


Рис. 5.13

Користуючись кутом тиску, розкладемо реакцію R на складові R' і R'' . Складову R' назовемо ефективною силою, загубленою силою, через те що вона не сприяє подоланню технологічних сил і тільки навантажує опору штовхача. Природно, що ми зацікавлені в зниженні $R'' = R \sin \theta$, а отже, і в зменшенні кута тиску θ .

Аналогічне розкладання реакції R можна виконати і в механізмі типу РК. У цьому разі загублена сила R'' деформує котомисло /стискає чи розтягує/. Так що і в цьому механізмі корисним є зниження кута θ .

У механізмах тиску ПТ напрям реакції увесь час паралельний осі штовхача, і кут $\theta = 0$. Тому завдання його обмеження в механізмах типу ПТ не ставиться.

Як стане зрозуміло з підрозд. 5.5, реакції в кінематичних паярах кулачкових механізмів залежать не тільки від значень кута тиску і тому, обмеживши його значення, ми не отримаємо оптимального розв'язку, але через простоту він застосовується порівняно часто, а тому буде розглянутий в цьому розділі.

5.4.2. Кут тиску та його обмеження в механізмі типу РТ.

5.4.2.1. Для визначення кута тиску скористаємося відомою [38] формулою

$$\operatorname{tg} \theta = \frac{s' + e}{s_0 + \Delta s}, \quad 5.42/$$

де e - ексцентриситет, що розглядається як алгебраїчна величина.

У формулі 5.39/ s' і Δs - це функції кута φ повороту кулачкового вала, тому і кут θ змінюється залежно від φ . Пропонуємо за змінами θ зручно, якщо побудувати графік $s' = f(s)$ і використати для цього відомі значення s і s' . На рис. 5.14 показано визначення точки на графіку, що відповідає деялково довільно вибраному куту повороту φ . Відкладемо відрізок e униз від точки O /при $e > 0$ / і позначимо точку O^* . З еднавші будь-яку точку a на графіку з точкою O , дістанемо промінь O^*a , кут α нахилу якого відносно осі s дорівнює куту тиску θ . Наприклад, для точки a отриманого графіка $\operatorname{tg} \alpha = (ab + bc)/cO^*$. Але відрізки ab, bc, cO^* у відповідних масштабах зображують s, e, s' для вибраного φ . Тому права частина отриманого виразу дорівнює правій частині виразу 5.42/ і $\alpha = \theta$.

З отриманого графіка /рис. 5.14/ випливає, що кут тиску досягає своїх найбільших за модулем значень поблизу точок 2 і 4, де s'

має екстремуми. Ці положення є небезпечною для механізму через несприятливі співвідношення між складовими R' і R'' рекації у вищій парі.

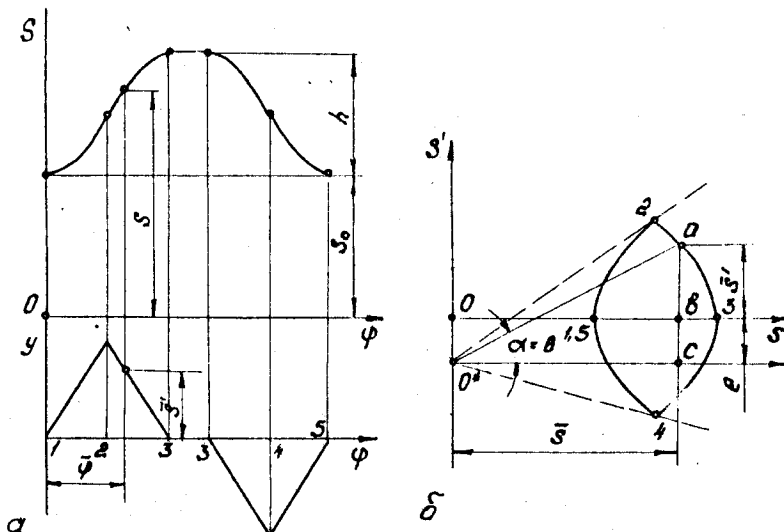


Рис. 5.14

Застосування ексцентризитета дає змогу зменшити найбільше значення кута тиску на одній із фаз за рахунок збільшення його на другій фазі. При $e > 0$ збільшується найбільше значення кута θ на фазі віддалення, а на фазі зближення – зменшується. І, навпаки, при $e < 0$ зменшується найбільше значення θ на фазі віддалення.

За однакових законів руху та однакових фазових кутів графік $S' = f(S)$ є симетричним відносно осі абсцис. Тому найбільше граничне значення кута тиску буде отримане при $e = 0$.

5.4.2.2. Поставимо своїм завданням знайти значення параметрів S_0 і e так, щоб виконувалась умова [24]

$$|\theta| \leq [\theta], \quad /5.43/$$

де $[\theta]$ – дозволене для даного типу механізму значення кута тиску.

Для цього ми повинні мати в своєму розпорядженні залежності $\Delta S = f(\varphi)$ і $S' = f'(\varphi)$ /рис. 5.15, а/. Користуючись ними, побудує-

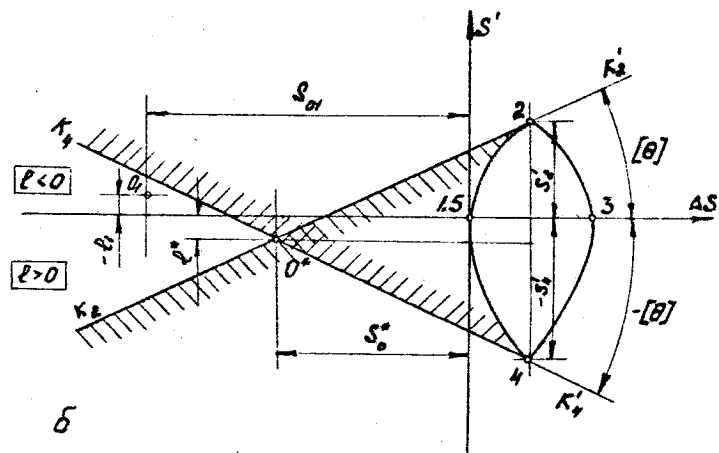
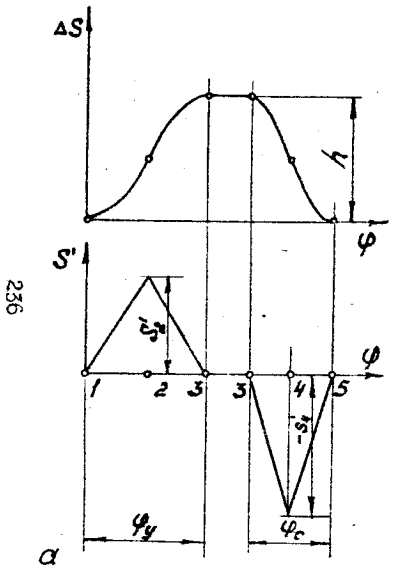


Рис. 5.15

мо графік $S' = F(\Delta S)$ /рис. 5.15,б/. На площині S' , ΔS кожному набору параметрів S_0 і e відповідає певна точка, і навпаки. Наприклад, точка O_1 на рис. 5.15,б відповідає S_{01} і e_1 .

Область вище осі ΔS відповідає від'ємним значенням e . Додатним значенням e відповідає область нижче осі ΔS . Наприклад, точці O_1 відповідає $e < 0$.

Проведемо дві дотичні до графіка $S' = F(\Delta S)$ під кутами $\pm [\theta]$ /прямі $K_2 - K_2'$ і $K_4 - K_4'$ на рис. 5.15,б/. Область вище прямої $K_2 - K_2'$ відповідає точкам, в яких найбільше додатне значення $\theta_{\max} < [\theta]$. В області нижче цієї прямої наведена нерівність не дотримується, тому її заштриховано. Виконавши аналогічне міркування для прямої $K_4 - K_4'$, заштрихуємо недопустиму зону вище цієї прямої. Тому умова /5.43/ виконується, якщо за центр кулячка вибрано точку в незаштрихованій зоні /наприклад, точку O_1 /.

Отже, поставлене завдання про обмеження кута тиску має безліч розв'язків – усі точки незаштрихованої області. Тому можна довести умову синтезу умовою отримання кулячка найменших габаритних розмірів. Цим умовам задовільняє точка O^* , якій відповідають S_0^* і e^* . У разі задання цих значень параметрів кулячок має найменші габаритні розміри та виконується умова /5.43/ обмеження кута тиску. Якщо графік $S' = F(\Delta S)$ є симетричним відносно осі ΔS , точка O^* лежить на осі ΔS і $e^* = 0$.

Знайдемо значення S_0^* і e^* , відповідні точці O^* . Із рис. 5.15,б випливає, що точки дотику прямих $K_2 K_2'$ з кривою $S' = F(\Delta S)$ лежать поблизу точок 2 і 4. Тому

$$S_0^* \cong \frac{S_2' - S_4'}{2 \operatorname{tg}[\theta]} - \Delta S_2, \quad /5.44/$$

де S_2' , S_4' – найбільші за модулем значення аналогів швидкості в точках відповідно 2 і 4, узяті зі своїми знаками; ΔS_2 – переміщення штовхача, що відповідають точці 2 або 4; для всіх законів, наведених у табл. 5.1, $\Delta S_2 = 0,5 \text{ h}$.

Із рис. 5.15 випливає, що

$$e^* = \frac{S_2' - S_4'}{2} - S_2' = - \frac{S_2' + S_4'}{2}.$$

5.4.3. Кут тиску та його обмеження в механізмі типу РК.

5.4.3.1. Кут тиску в механізмі типу РК визначається так, як показано на рис. 5.13,б. Нормаль до профілю кулячка проходить крізь

точку P - миттєвий центр відносного руху /рис. 5.16/. Положення цієї точки на лінії центрів OA згідно з основною теоремою зачеплення визначає пропорція

$$\frac{PO}{PA} = \frac{\omega_2}{\omega_1}. \quad /5.45/$$

У разі додатного варіанта складання /рис. 5.16,a/ кулачок і коромисло на фазі віддалення обертаються в одному напрямі, тому точка P лежить за межами відрізка AO /з боку точки O , через те що $\omega_2 > \omega_1$.

Проведемо крізь точку O лінію, паралельну нормальні PC , і позначимо точку K її перетину з коромислом AC . Із подібності $\triangle PCA$ і $\triangle OKA$ випливає, що

$$\frac{CK}{AC} = \frac{PO}{PA} = \frac{\omega_2}{\omega_1}.$$

Звідси

$$CK = \ell_2 \frac{\omega_2}{\omega_1} = \ell_2 \psi'.$$

У разі додатного варіанта складання точка K лежить усередині відрізка AC , тому $AK = \ell_2(1-\psi')$, у разі від'ємного /рис.5.16,b/-за його межами, тому $AK = \ell_2(1+\psi')$. Ці дві формулі можна об'єднати:

$$AK = \ell_2(1 \mp \psi'). \quad /5.46/$$

/верхній знак відповідає додатному варіанту складання/.

Якщо з точки O опустити перпендикуляр OD на вісь коромисла AC , то кут між сторонами OD і OK дорівнюватиме θ . Із рис. 5.16 випливає, що

$$\operatorname{tg} \theta = \frac{DK}{DO}, \quad /5.47/$$

проте $DK = AK - DA$; $DO = \ell_2 \sin \psi$; $DA = \ell_2 \cos \psi$.

Підставивши значення DA, AK, DO у /5.47/, дістанемо

$$\operatorname{tg} \theta = \frac{\ell_2(1 \mp \psi') - \ell_2 \cos \psi}{\ell_2 \cos \psi} = u. \quad /5.48/$$

239

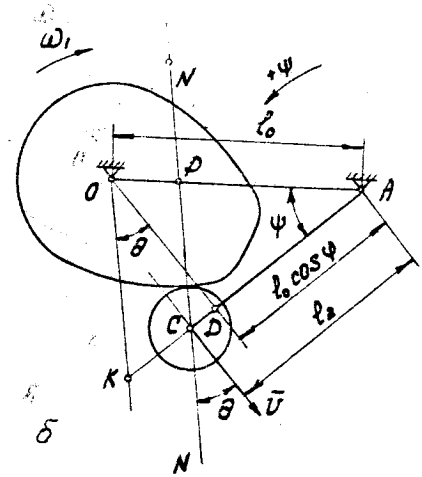
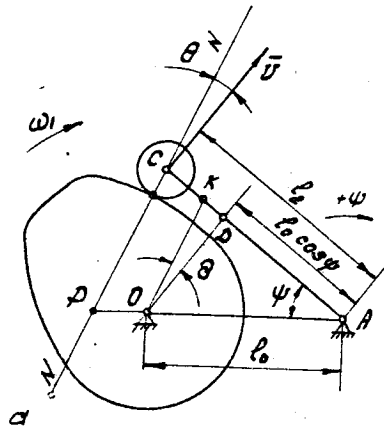


Рис. 5.16

Оскільки $-\frac{\pi}{2} < \theta < \frac{\pi}{2}$, із /5.48/ випливає, що

$$\theta = \operatorname{arctg}(u). \quad /5.49/$$

5.4.3.2. Прослідкувати за зміною кута тиску можна за допомогою такої побудови. Покажемо на рис. 5.17, а ряд положень коромисла, що відповідають повороту кулачка на однакові кути $\Delta\varphi$ на фазі віddalenia. На кожному з променів, що зображують коромисло, відкладемо відрізки $e_2 \psi'$ у бік точки A на ділянці віddalenia /або на ділянці зближення/. Зєднаємо отримані точки плавною кривою.

Значення кута тиску θ для вибраного кута φ можна знайти, якщо точку K зєднати з центром O . Кут між променем OK і перпендикуляром до відповідного положення коромисла дорівнює куту тиску в положенні, що розглядається. На рис. 5.17, б показано графік зміни θ для розглянутого механізму. Із побудови видно, що найбільших, за модулем значень величина θ досягає поблизу точок 2 і 4, де ψ має екстремуми.

Покажемо, як знайти значення ψ_0 і відношення e_2/e_0 так, щоб виконувалась умова /5.43/ для механізму розглядуваного типу.

Виберемо довільне положення ланки AC /рис. 5.18/, як середнє положення, за якого $\Delta\varphi = \psi_{mz}/2$, тобто за нього ψ досягає свого найбільшого значення ψ_m^* . Розглянемо найпростіший випадок однакових фазових кутів і однакових законів руху під час віddalenia та зближення.

Відкладемо на відрізку AC вправо та вліво від точки C відрізки $CK_2 = CK_4 = e_2 \psi^*$ і крізь точки K_2 і K_4 проведемо промені під кутами $\frac{\pi}{2} \pm [\theta]$ до відрізка AC . Зона праворуч від променя $K_2 - K'$ відповідає такому вибору центра кулачка, за якого кут тиску на ділянці віddalenia є меншим від $[\theta]$. Ліворуч від цього променя розташовується частина площини, де ця умова не виконується, тому вона заштрихована як неприпустима.

Розмірковуючи, аналогічно, можна дійти до висновку, що праворуч від променя $K_4 - K'$ лежить зона, неприпустима за значеннями кута тиску на ділянці зближення, тому вона також заштрихована. Областю припустимих розв'язків, є незаштрихована частина площини між променями $K_2 - K'$ і $K_4 - K'$. Як і в разі механізму типу РТ, отримано багато розв'язків. Отже, умови сингулу можуть бути доповнені вимогами найменших габаритних розмірів механізму. Точка O^* перетину прямих $K_2 - K'$ і $K_4 - K'$ - центр кулачка найменших габаритних розмірів, для якого виконується /5.40/ обмеження кута тиску. Знайдемо значення e^* і ψ^* , які відповідають знайденому оптимальному розв'язку.

31 - 3084

241

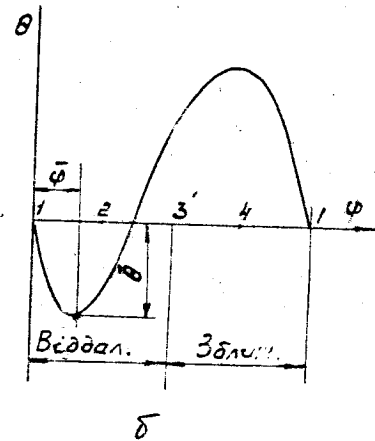
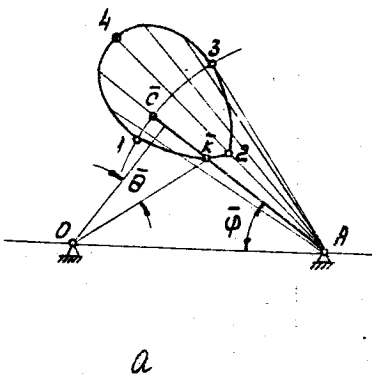


Рис. 5.17

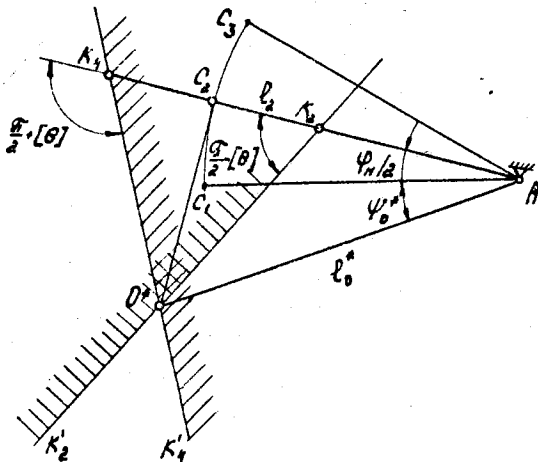


Рис. 5.18

Із розглядання прямокутного $\Delta C_2 K_2 O^*$ випливає, що

$$C_2 O^* = \frac{C_2 K_2}{\operatorname{tg}[\theta]}.$$

Із розглядання прямокутного $\Delta C_2 O^* A$ випливає, що

$$\operatorname{tg}\left(\psi_0^* - \frac{\psi_m}{2}\right) = \frac{C_2 O^*}{C_2 A} = \frac{\ell_2 \psi_0'}{\ell_2 \operatorname{tg}[\theta]} = \psi_2' / \operatorname{tg}[\theta],$$

звідки

$$\psi_0^* = \operatorname{arctg}\left(\frac{\psi_2'}{\operatorname{tg}[\theta]}\right) - \frac{\psi_m}{2}. \quad /5.50/$$

Із того самого трикутника випливає, що

$$\frac{\ell_2}{\ell_0} = \cos\left(\psi_0^* - \frac{\psi_m}{2}\right). \quad /5.51/$$

Із /5.51/ випливає, що прийняті умови синтезу визначають тільки відношення ℓ_2 / ℓ_0 , але не кожну з цих величин окремо.

5.5. Визначення реакцій у кінематичних парах КМ типу РТ і РК

5.5.1. Сили, що діють на ведену ланку.

5.5.1.1. При роботі кулачкового механізму до його веденої ланки може бути прикладено силу технологічного опору і в разі силового замикання – силу пружини. В результаті в кінематичних парах виникають динамічні реакції які будемо визначати методом кінетостатики. При цьому користуємося принципом Даламбера і вводимо головний вектор сил інерції веденої ланки /у механізмі типу РТ/ або головний момент сил інерції /механізмі типу РК/. Визначаючи динамічні реакції, будемо враховувати силу тертя F , що виникає у поступальній парі механізмів із штовхачем. Вплив моментів тертя в обертальних парах звичайно несуттєвий і ним будемо нехтувати.

У разі дії прикладених до механізму сил може настати втомленісне руйнування його ланок і профілю кулачка. Крім того, вал механізму під дією реакції R вигинається. Якщо частота зміни реакції R як збурююча сила у коливальній системі вала є близькою до власної частоти цієї системи, необхідно виконати розрахунок вимушених коливань вала. У багатьох випадках власна частота значно перевищує частоту збурення, а тому можна обмежитись визначенням статичного прогину вала під дією сили R і обмежити його значенням деяким припустимим значенням.

5.5.1.2. Розглянемо сили, прикладені до веденої ланки, на прикладі механізму типу РТ. У загальному випадку на штовхач діє сила пружини Q_{pp} і технологічна сила Q , що відіграють роль сил, що задаються. Для використання методу кінетостатики прикладемо до штовхача приведену силу інерції:

$$P = -m_r \alpha, \quad 15.52/$$

де m_r – приведена маса штовхача і з'єднаних з ним деталей; $\alpha = S''\omega^2$ – прискорення штовхача; ω – кутова швидкість кулачкового вала.

Сумарна активна сила, яку прикладено до штовхача,

$$P_c = P + Q_{pp} + Q.$$

Вона спрямована за віссю штовхача і розглядається як алгебраїчна величина, додатний напрям якої збігається з віссю OY . Силове замикання вищої пари буде забезпечено, якщо $P_c < 0$.

У напрямній штовхача та у вищій парі виникають реакції, показані на рис. 5.19. Нехтуючи тертям на осі ролика, беремо, що реакція R спрямована за нормаллю до профілю кулачка.

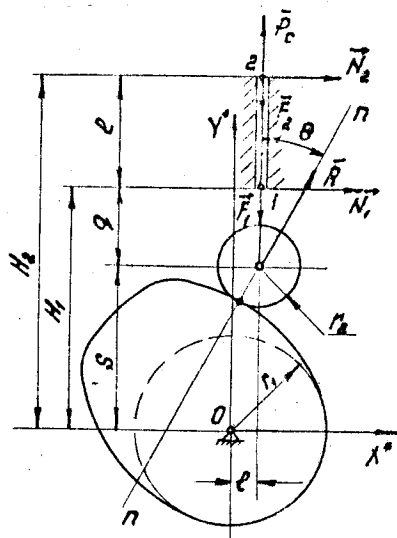


Рис. 5.19

Нормальні реакції N_1 і N_2 на штовхач з боку напрямної вважаємо зосередженими на II кромках, у точках I і 2. У цих самих точках прикладені сили тертя F_1 і F_2 . На рис. 5.19 показано їх напрям у разі віддалення штовхача.

5.5.1.3. Розглянемо визначення початкового значення сили пружини та II жорсткості з умовою силового замикання вищої пари!

Ураховуючи взяте правило знаків, дістаємо

$$Q_{pp} = - (Q_0 - C \Delta S), \quad /5.53/$$

де Q_0 - зусилля пружини при $\Delta S = 0$ /попередня затяжка/; C - жорсткість пружини.

Технологічні сили звичайно притискають ролик до кулачка. Тому розрахунок пружини ведеться для небезпечнішого режиму холостого ходу, коли $Q = 0$.

Побудуємо графік залежності P від ΔS /рис. 5.20/, криву I/ і покажемо на ньому силу пружини у вигляді похилої прямої 2, що відповідає формулі /5.53/. Замикання вищої пари буде забезпечено, якщо в положенні механізму, коли сила інерції досягає найбільшого значення P_M /точка M/ на рис. 5.20/, виконується умова

$$|Q_{pp}| = K_1 P_M, \quad /5.54/$$

де K_1 - вибраний коефіцієнт запасу, звичайно беруть $K_1 = 1,2 \dots 1,8$.

Окрім наведеної умови початкове значення Q_o сили пружини в точці O має бути позитивним, щоб забезпечити надійне притиснення ролика до кулачка в момент початку віддалення. Якщо запас зусилля в точці O узяти таким, що дорівнює запасу в точці M, то

$$Q_o = (K_1 - 1) P_M; \quad /5.55/$$

$$C = P_M / \Delta S_M, \quad /5.56/$$

де ΔS_M - переміщення штовхача, що відповідає точці M.

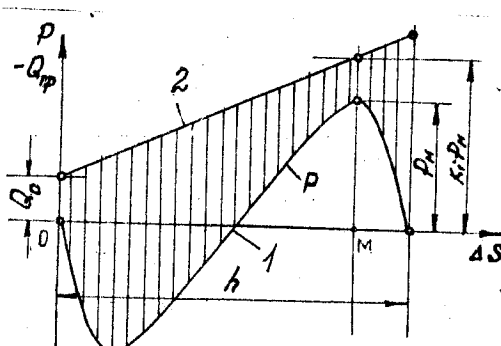


Рис. 5.20

У табл. 5.1 наведені значення $\Delta S_M/h$ для розглядуваних законів руху. Кусково-постійний закон зміни S'' має найменше значення ΔS_M , отже, жорсткість пружини в цьому випадку має бути найбільшою, що несприятливо діє на навантаженість кінематичних пар.

5.5.1.4. До коромисла механізму типу РК прикладено технологічну силу, силу пружини та головний момент сил інерції коромисла $M_{iM} = -J\epsilon_2$, де J_2 , ϵ_2 - приведений момент інерції коромисла та його кутове прискорення. Тому для механізмів типу РК умова /5.54/ має бути замінена аналогічною умовою для моменту пружини M_{pr} і найбільшого значення M_{iM} :

$$|M_{pr}| = K_p \mu_{iM}. \quad /5.57/$$

Моменти в /5.57/ узяті відносно коромисла.

5.5.2. Визначення реакцій у кінематичних парах.

5.5.2.1. У механізмі типу РТ реакцію R у вищій парі між роликом і кулачком спрямовано за нормаллю до профілю і складає кут θ з віссю штовхача. Реакцію R вважаємо позитивною, якщо вона спрямовано від осі обертання кулачка /див. рис. 5.19/. У разі силового замикання завжди $R > 0$. Якщо використовується кінематичне замикання, значення R змінює знак.

5.5.2.2. щоб визначити реакції в кінематичних парах, складемо рівняння рівноваги штовхача. Рівняння проекцій на вісь має вигляд

$$P_c + R \cos \theta + F_1 + F_2 = 0. \quad /5.58/$$

Значення R, P_c, F_1, F_2 необхідно підставляти в /5.58/ зі своїми знаками.

Рівняння моментів відносно точок 1 і 2 мають вигляд

$$R q \sin \theta - N_2 \ell = 0;$$

$$R(q + \ell) \sin \theta + N_1 \ell = 0.$$

Зв'язки

$$N_2 = R \sin \theta \frac{q}{\ell}; \quad /5.59/$$

$$N_1 = -R \sin \theta \left(1 + \frac{q}{\ell}\right). \quad /5.60/$$

Із /5.59/ і /5.60/ випливає, що $|N_1| > |N_2|$. Тому небезпечним є тиск на нижній кромці напрямної штовхача, найбільше значення якої необхідно обмежувати під час проектування КМ.

Сили тертя пов'язані з реакціями рівняннями

$$F_1 = \mp |N_1| f = \mp f \frac{q}{\ell} |R \sin \theta|;$$

$$F_2 = \mp |N_2| f = \mp f \left(1 + \frac{q}{\ell}\right) |R \sin \theta|,$$

де верхні знаки відповідають віддаленню штовхача, а нижні - зближенню.

У /5.58/ входить сума

$$F_1 + F_2 = \mp f \left(|N_1| + |N_2|\right) = \mp f |R \sin \theta| \left(1 + 2 \frac{q}{\ell}\right). \quad /5.61/$$

Розглянемо окремо механізми із силовим і кінематичним замиканням.

5.5.2.3. У разі силового замикання реакція завжди є позитивною і може бути винесена із-під знаку модуля в /5.61/ без зміни знаку.

Підставивши значення $F_1 + F_2$ в /5.58/, дістанемо

$$P + R \cos \theta \mp R \mu = 0,$$

де $\mu = f |\sin \theta| \left(1 + 2 \frac{q}{\ell}\right)$ - еквівалентний /приведений/ коефіцієнт тертя у поступальній парі.

Розв'яжемо записане рівняння відносно R :

$$R = - \frac{P_c}{\cos \theta \mp \mu}. \quad /5.62/$$

5.5.2.4. У разі кінематичного замикання на ділянках, де $P_c < 0$ і, отже, $R > 0$, справедливою є формула /5.62/. Якщо $P_c > 0$, то $R < 0$ і в /5.61/ R можна винести із-під знаку модуля, змінивши знак у правій частині. Отже,

$$F_1 + F_2 = \pm f R |\sin \theta| \left(1 + 2 \frac{q}{\ell}\right) \text{ (при } R < 0\text{)}, \quad /5.63/$$

де верхній знак, як і раніше відповідає ділянці віддалення. У розглядуваному випадку

$$R = - \frac{P_c}{\cos \theta \pm \mu}. \quad /5.64/$$

На рис. 5.21 схематично показано правило використання знаків у знаменнику формул /5.62/ і /5.64/.

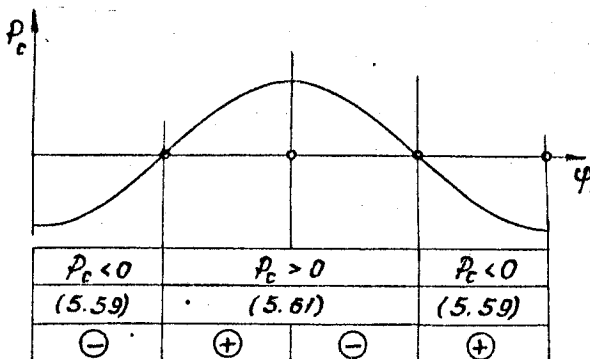


Рис. 5.21

5.5.2.5. Якщо до коромисла механізму типу РК прикладено сумарний момент M , то його зрівноважує ефективна складова реакція R . З рис. 5.18,б випливає, що

$$R = \frac{\mu_e}{\ell_2 \cos \theta} . \quad /5.65/$$

Визначення реакції R на осі коромисла залежить від способу передачі зусилля до виконавчої ланки. Вплив сил тертя в механізмах цього типу звичайно є невеликим, тому в подальшому враховуватися не буде.

5.6. Функціональні та міцнісні вимоги до кулачкових механізмів

Нормальна робота КМ можлива лише за умови замикання вищої пари та за відсутності ковзання ролика по кулачку. Ці умови будемо називати функціональними. Деталі КМ зазнають під час роботи навантаження, що періодично змінюються. Тому вони мають розраховуватися на витривалість. Для кулачкового вала необхідно виконати також розрахунок на жорсткість. Ці вимоги будемо називати міцнісними.

5.6.1. Умова відсутності ковзання ролика.

5.6.1.1. У разі силового замикання ролик має бути притиснено до кулачка силою пружини. Цю умову розглянуто в п. 5.5.1.3. Зabezпечується вона належним вибором параметрів пружини. Проте, крім того, ролик має котитись по профілю кулачка без ковзання.

Щоб вивести умову кочення ролика, застосуємо метод обернення руху, зупинимо кулачок і будемо вивчати відносний рух ролика /рис. 5.22/. Ролик котиться по кулачку, якщо сума моментів сил опору, прикладених до ролика, не перевищує за модулем граничного моменту. Цей момент створюється силою тертя між роликом і кулачком, який грає для ролика роль рухомого моменту, що викликає його кочення $M = R f r^2$.

Наведемо моменти, що перешкоджають коченню:

момент тертя кочення

$$M_k = R k;$$

момент тертя ковзання на

$$\text{осі } M_{\text{ков}} = R f r;$$

момент сил інерції $M_{iH} = -J \dot{\epsilon}_2$.

У наведених формулах використано такі позначення:

K - коефіцієнт тертя кочення ролика по кулачку;

f_0, f - коефіцієнт тертя ковзання в парах відповідно вісь - ролик і ролик - кулачок;

r - радіус осі ролика;

$\dot{\epsilon}_2$ - кутове прискорення ролика;

J - момент інерції ролика відносно центральної осі.

Умовою кочення ролика служить нерівність

$$R f r^2 \geq |R k + R f r - J \dot{\epsilon}_2|.$$

Розділивши обидві частини останнього рівняння на $R f r^2$,

дістанемо

$$1 \geq \left| \frac{K}{f r^2} + \frac{f_0 r}{f r^2} - \frac{J \dot{\epsilon}_2}{f R r^2} \right|. \quad 15.66/$$

5.6.1.2. До /5.66/ входить кутове прискорення ролика $\dot{\epsilon}_2$ для визначення якого знайдемо швидкість і прискорення центра ролика у відносному русі. Для цього на схемі механізму побудуємо повернутий план аналогів швидкостей, узявши за полюс точку O /рис. 5.23/.

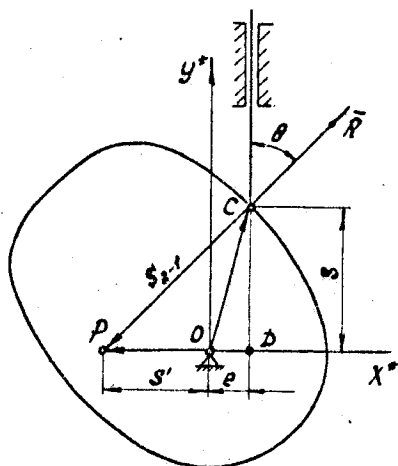


Рис. 5.23

Щоб побудувати план, проведемо нормальню до профілю в точці C і знайдемо точку P II перетину з лінією OP , перпендикулярною до осі штовхача OY . Тоді відрізки OC, OP, CP зображені у масштабі креслення відповідно аналоги переношеної швидкості точки C на кулачку, швидкості штовхача та швидкості ковзання ролика по кулачку. Розглянувши прямокутний $\triangle CDP$, знайдемо

$$S'_{2-1} = \sqrt{s^2 + (s' + e)^2}.$$

Ураховуючи залежність між швидкістю та II аналогом, дістаємо

$$v_{2-1} = \omega_1 \sqrt{s^2 + (s' + e)^2},$$

/5.67/

де ω_1 - кутова швидкість кулачка.

Диференціюючи /5.67/ за часом, дістаємо

$$\alpha_{2-1} = \frac{dv_{2-1}}{dt} = \frac{1}{2} \omega_1 \frac{(2ss' \varphi' + 2(s' + e)s'' \varphi')}{\sqrt{s^2 + (s' + e)^2}}.$$

Виконавши спрощення, знайдемо

$$\alpha_{2-1} = \omega_1^2 \frac{ss' + (s' + e)s''}{\sqrt{s^2 + (s' + e)^2}} = \omega_1^2 A(\varphi),$$

де $A(\varphi)$ - функція кута повороту кулачка.

Якщо ролик катиться по кулачку, то

$$\dot{\epsilon}_2 = - \frac{\alpha_{2-1}}{r_2}. \quad /5.69/$$

Знак "-" поставлений тут тому, що при $\alpha_{2-1} > 0$ E спрямовано за ходом годинникової стрілки, тобто в меншим за куль $\frac{r}{2}$ /див. рис. 5.22/.

5.6.1.3. За фіксованих розмірів r_1 і r_2 перші два доданки в /5.67/ є постійними, а третій змінюється в разі зміни φ . Урахувуючи /5.68/ і /5.69/, перелічуємо умову відсутності ковзання у вигляді

$$D = |C_1 + C_2 \frac{A(\varphi)}{R}| \leq 1, \quad /5.70/$$

де

$$C_1 = \frac{1}{f r_2} (K + f_0 r_0); \quad C_2 = \frac{J_2 \omega_r^2}{f r_2^2}. \quad /5.71/$$

Розглянемо обчислення коефіцієнта C_2 . У разі використання підшипника ковзання ролик в порожнистим циліндром із зовнішнім радіусом r_2 , внутрішнім r_0 та висотою b . Його момент інерції

$$J_2 = \frac{1}{2} \pi b r_2^4 \left(1 - \left(\frac{r_0}{r_2}\right)^4\right),$$

де γ - питома маса матеріалу ролика, кг/мм³.

Якщо підставити це значення в /5.71/, дістанемо

$$C_2 = \frac{1}{2} \frac{\pi b}{f} r_2^2 \gamma \omega_r^2 \left(1 - \left(\frac{r_0}{r_2}\right)^4\right).$$

Якщо питома маса γ виражена в кілограмах на кубічний міліметр /кг/мм³/, для сталі $\gamma = 7,82 \cdot 10^{-6}$ кг/мм³ та лінійні розміри в міліметрах /мм/ і якщо врахувати, що

$$\left[\frac{KG}{H} \right] = \frac{[H] \cdot [C^2]}{[M]},$$

то розмірність $[C_2] = \frac{[H]}{[M]}$.

Якщо кінематичні параметри S, S', S'' виражені в міліметрах /мм/, то C_2 необхідно перевести в ньютона на міліметри /Н/мм/ помноженням на 10^{-3} . Тому

$$C_2 = \frac{1}{2} \frac{\pi b}{f} \gamma r_2^2 \omega_r^2 \left(1 - \left(\frac{r_0}{r_2}\right)^4\right) \cdot 10^{-3} \quad [N/mm]. \quad /5.72/$$

Якщо у вузлі ролика використано підшипник кочення, то треба врахувати момент інерції його зовнішньої рамки та виконати приведення маси куль до цієї обойми.

5.6.2. Міцність і жорсткість кулачкового вала.

5.6.2.1. Кулачковий вал в балкою на двох опорах /рис. 5.24/, яка вигинається силою R .

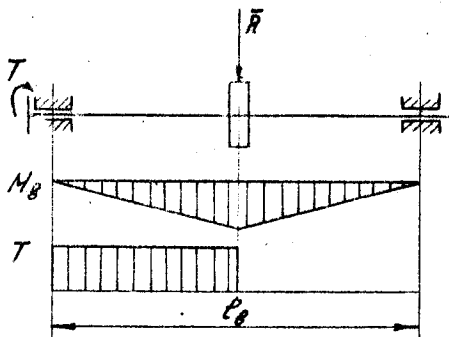


Рис. 5.24
моменту в небезпечному перерізі:

$$M_E = \sqrt{M_B^2 + \alpha_e T^2}, \quad /5.73/$$

де M_B , T - згиальний і крутячий моменти в небезпечному перерізі вала; α_e - коефіцієнт, що залежить від прийнятої теорії міцності.

У подальшому користуватимемось енергетичною теорією, згідно з якою $\alpha_e = 0,75$.

Якщо кулачок розташовано на однакових відстанях від опор вала, то згиальний момент у небезпечному перерізі

$$M_B = \frac{R l_e}{4}, \quad /5.74/$$

де l_e - відстань між опорами вала.

Крутячий момент можна обчислити з умови рівності потужностей на кулачковому валу і на веденій ланці.

Для механізмів:

типу РТ і ПТ

$$T = P_o S'; \quad /5.75/$$

типу РК

$$T = R \cos \theta l_e \psi' = M_c \psi'. \quad /5.76/$$

5.6.2.2. Сила R або момент M_c змінює під час роботи величину та напрям, тому від положення до положення змінюються M і T , а отже, і M_E . Для розрахунку на міцність треба знайти найбільше значення M_E у небезпечному перерізі в разі зміни кута φ . Тоді допустимий за умови міцності радіус вала

$$r_1' = \sqrt[3]{\frac{4M_E}{\pi[\sigma_F]}} , \quad /5.77/$$

де $[\sigma_F]$ - допустиме для кулачкового вала напруження гигину.

Допустиме напруження визначається згідно з межою стомленості матеріалу вала, заданим числом циклів навантаження та необхідним коефіцієнтом небезпеки. Визначення допустимих напружень описане в підрозд. 4.4.

5.6.2.3. При роботі КМ треба обмежувати також його найбільший прогин. У розглядуваному випадку найбільший прогин має середній переріз вала в момент, коли сила R має найбільше значення \bar{R} . Якщо значення допустимого прогину $[\Delta]$, то радіус вала за умови жорсткості

$$r_1'' = \sqrt{\frac{\bar{R} e^3}{12\pi E[\Delta]}} , \quad /5.78/$$

де E - модуль пружності матеріалу вала.

Тепер із двох величин r_1' і r_1'' вибираємо більшу й округляємо до найближчого більшого цілого числа r_1^* . Фактичний радіус вала r_1 має задовільнити вимогу $r_1^* \geq r_1$.

5.6.3. Міцність штовхача, його напрямної та осі ролика.

5.6.3.1. Штовхач механізмів типу РТ вигинається поперечною силою $R \sin \theta$ (див. рис. 5.19). Енту згинальних моментів зображено на рис. 5.25, з якого випливає, що найбільший за довжиною штовхача згинальний момент

$$M_t = R \sin \theta q , \quad /5.79/$$

де q - довжина частини штовхача, що виступає.

Характерна особливість навантаження штовхача полягає в тому, що всі три м'ежники в /5.79/ змінюються із зміною φ . Тому необхідно знайти найбільше значення M_t і перевірити напруження, що виникають у матеріалі штовхача:

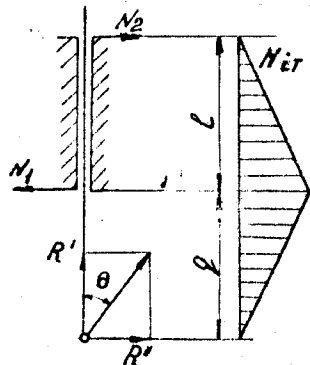


Рис. 5.25

титивне виконання у вигляді двох шліфованих поясків /рис. 5.26/, за якими штовхач стикається з напрямною. Зншення напрямної буде допустимим, якщо питомий тиск

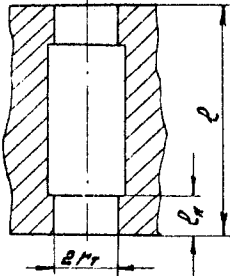


Рис. 5.26
дорівнює σ , то відношення

$$\alpha_2 = \frac{b}{2r} \quad /5.82/$$

необхідно вибрати за умови рівноміцності на обидва види деформацій. Тоді

$$r_0 = \sqrt{\frac{R}{\alpha_2 [\sigma_0]}} \quad /5.83/$$

де $[\sigma_0]$ - допустимий питомий тиск у парі вісь - ролик.

Ширина маточини ролика $\delta = 2\alpha_2 r$. Для двохопорних роликів К.В.Тір [37] рекомендує брати $\alpha_2 = 1,4$.

Співвідношення між радіусом ролика r_2 і радіусом його осі r_o залежить від конструкції вузла ролика. Введемо позначення

$$\alpha_o = r_2^* / r_o, \quad /5.84/$$

де r_2^* - найменше можливе за конструктивними умовами значення радіуса ролика.

Якщо у вузлі ролика використовується голчастий підшипник, то $\alpha_o = 1,1 \dots 1,2$. Для підшипників ковзання $\alpha_o = 2,0 \dots 2,5$; для підшипників кочення $\alpha_o = 2,5 \dots 3,5$ залежно від того, якої серії поставлено підшипник.

Роликом доцільно використовувати шариковий підшипник, зовнішній обойма якого безпосередньо стикається з кулачком.

За /5.83/ і /5.84/ визначається найменше допустиме значення радіуса ролика r_2 . Для нормальної роботи механізму необхідно, щоб між нижньою кромкою напрямної та роликом при підйомі штовхача на повний хід H зберігався зазор, тобто щоб виконувалась умова (див. рис. 5.19/

$$H_1 > S_o + h + r_2. \quad /5.85/$$

Тому збільшення радіуса r_2 так, що він перевищить мінімальне значення r_2^* , приводить до збільшення H_1 , що, у свою чергу, впливає на повні габаритні розміри механізму H_2 .

5.6.4. Контактні напруження у вищій парі.

5.6.4.1. Навантаженість вищої пари характеризує найбільше контактне напруження, що виникає по лінії стикання кулачка та ролика.

Із [31, гл. 24, с. 716-727] відомо, що в разі стикання двох пружних циліндрів, що стискаються силою R , контактне напруження

$$\sigma_H = 0,418 \sqrt{\frac{RE_A}{\rho_n}}, \quad /5.86/$$

де E_A - приведений модуль пружності матеріалів пари; δ - довжина лінії контакту; ρ_n - приведений радіус кривизни.

Величини E_A і ρ_n визначають через модулі пружності E_1 і E_2 стисливих тіл і їхні радіуси кривизни r_1 і r_2 :

$$\frac{1}{E_A} = \frac{1}{E_1} + \frac{1}{E_2}; \quad \frac{1}{\rho_n} = \frac{1}{\rho_1} + \frac{1}{\rho_2}.$$

У випадку кулачкового механізму ρ_1 і ρ_2 - радіуси кривизни робочого профілю кулачка та ролика в точці контакту. Тому $\tau^* = \rho_1 \cdot \rho_2$, користуючись /5.37/, знаходимо приведений радіус кривизни:

$$\frac{1}{\rho_n} = \frac{1}{\rho_1 - r_2} + \frac{1}{r_2^2}, \quad /5.87/$$

де ρ - радіус кривизни центрового профілю кулачка.

Із /5.87/ випливає, що $\rho_n = r_2 \left(1 - \frac{r_2^2}{\rho}\right)$. У свою чергу, з останньої формулі випливає, що для випуклих ділянок профілю, де $\rho > 0$, маємо $\rho_n < r_2$, а для ввігнутих, навпаки, $\rho_n > r_2$.

Отже, за решти однакових умов небезпечними в випуклі ділянки профілю, особливо в зоні малих ρ , що наближаються до r^* .

Роль стискаючого зусилля в кулачкових механізмах грāє реакція R . Ураховуючи /5.86/ і /5.87/, дістаемо

$$\sigma_H = 0,418 \sqrt{\frac{E_n}{\delta}} R \left(\frac{1}{\rho - r_2} + \frac{1}{r_2^2} \right). \quad /5.88/$$

Якщо виділиммо величини, які залежать від ϑ , і позначимо

$$U = 0,418 \sqrt{\frac{E_n}{\delta}},$$

то остаточно матимемо

$$\sigma_H = U \sqrt{R \left(\frac{1}{\rho - r_2} + \frac{1}{r_2^2} \right)}. \quad /5.89/$$

У механізмах типу ПТ ролик є відсутнім і одна з поверхонь, що стикаються, служить площинною. Тому /5.88/ набуває вигляду

$$\sigma_H = U \sqrt{\frac{R}{\rho}}. \quad /5.90/$$

Найбільше значення σ_H , що отримується в разі зміни ϑ , необхідно порівняти з допустимим, отриманим згідно з границею втомленості матеріалу вала, заданого числа циклів навантаження та необхідного коефіцієнта небезпечності /див. підрозд. 4.5/.

5.7. Оптимальне проектування механізмів типу РТ

5.7.1. Постановка задачі оптимального проектування.

5.7.1.1. Починаючи з розв'язування задачі оптимізації, необхідно сформулювати критерій оптимізації, записати обмеження деяких показників роботи механізму, які не повинні виходити за допустимі межі, і встановити параметри, що варіюються, тобто величини, за рахунок зміни яких будемо шукати розв'язання поставленої задачі. Якщо при розв'язуванні задачі беруться які-небудь припущення, вони мають бути сформульованими та обґрунтованими.

Перейдемо тепер до розв'язання поставленої задачі стосовно механізму типу РТ. Сформулюємо умови задачі.

Нехай задано хід штокача θ ; фазові кути φ_y, φ_z ; кутова швидкість вала ω_1 ; маса говіжача m_2 ; відстань між опорами вала l_2 ; закон руху штокача $\delta(K)$.

За критерій оптимальності беремо габаритний розмір H_2 /див. рис. 5.19/, а за обмеження - сформульовані функціональні, технологічні та міцнісні обмеження. Відповідні нерівності наведені в табл. 5.5.

Таблиця 5.5

№/П	Обмеження	Нерівність, яка виражає обмеження	Величини, що варіюються
1	2	3	4
1	Замикання вищої пари	$ Q_{np} \geq K_p P$	φ
2	Відсутність ковзання ролика	$\Phi \leq 1 \quad \bar{\Phi} = \max \left\{ C_1 + C_2 \frac{A(\varphi)}{R} \right\}$	φ, r_2, s_0
3	Відсутність загострення	$r_2 \leq r_2 - r_m \quad r_2 = \min_{P>0} \{P\}$	φ, s_0
4	Можливість виготовлення	$r_2 \geq r_H - P_1 \quad P_1 = \min_{P<0} \{ P \}$	φ, s_0
5	Міцність вузла ролика	$r_2 \geq r_2^* \quad r_2^* = \frac{d_0}{2} \sqrt{\frac{R}{\alpha_2 [\sigma_0]}}$	φ, s_0, r_2

1	2	3	4
6	Міцність і жорсткість вала	$r_2 \leq S_o - r_1^*$ $r_1^* = \max\{r_1', r_1''\}$	φ, S_o, r_2
7	Міцність штовхача	$\tilde{\sigma}_F \leq [\sigma_p]$ $\tilde{\sigma}_F = \bar{M}_T / W_T$	φ, S_o, r_2
8	Надійність напрямної	$\sigma \leq [\sigma_{cm}]$ $\sigma = \frac{\bar{N}_1}{2\ell_H r_T}$	φ, S_o, r_2
9	Контактні напруження	$\bar{\sigma}_H \leq [\sigma_H]$ $\bar{\sigma}_H = \max\{U\sqrt{R}(\frac{1}{r_1} + \frac{1}{r_2})\}$	φ, S_o, r_2

Вважатимемо, що фазові кути віддалення та зближення однакові, як однакові і закони руху. Це дає змогу обмежитись розгляданням лише одного з фазових кутів.

Виходячи із рівності найбільших кутів тиску на ділянках віддалення та зближення, беремо $e = 0$. Тоді оптимальний розв'язок можна отримати за рахунок зміни S_o, r_2 .

5.7.2. Блокуючий контур кулачкового механізму.

5.7.2.1. Усі величини, що входять до умови I, - це функції аргументу φ і від решти величин (S_o, r_2) не залежать. Тому виконати цю умову найпростіше. Необхідно організувати цикл, усередині якого мають обчислюватись $\Delta S, S'', P$, і побудувати графік, зображений на рис. 5.20. Параметри пружини знаходимо за /5.55/ і /5.56/.

Виконання чи невиконання нерівностей 2-9 у табл. 5.5 за деякою фіксованого H залежить від S_o і r_2 . Кожне з них ділить площину параметрів (S_o, r_2) на дві області, в одній з яких розглядувана умова виконується. У іншій області вона не виконується. Границею є лінія, що отримується заміною нерівності рівністю. Як приклад на рис. 5.27 показані граници виконання умов 3 і 4, що обмежують значення r_2 зверху та знизу. На рис. 5.27 неприпустимі зони заштриховані. Таким чином, нами виділено зону, де виконуються зазначені умови для вибраного значення H . Точка A на рис. 5.27 відповідає $|P| = r_2$. Тому за більших значень S_o величина r_2

може набувати будь-якого значення. Подальше збільшення S_0 може привести до того, що профіль кулачка стане вилуклив і обмеження 4 перестане діяти.

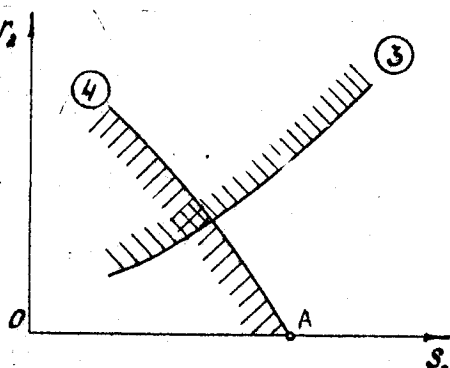


Рис. 5.27

Якщо на площину (S_0, r) нанести решту граничних кривих, дістанемо замкнену область, усередині якої за вибраного значення H_2 усі задані обмеження виконуються. Таку побудову для конкретного механізму виконано на рис. 5.28, де показаний контур в аналогом блокуючого контуру, що використовується в разі вибору коефіцієнтів зміщення пари зубчастих коліс /див. п. 4.7.2/. Тому називатимемо його блокуючим контуром кулачкового механізму. Блокуючий контур визначає межі зміни параметрів /за деякого вибраного H_2 /, усередині яких виконуються обмеження 2 - 9 табл. 5.5.

Зменшення значення H_2 приводить до того, що зона припустимих значень S_0 і r зменшується. Подальше зменшення H_2 може привести до того, що нерівності 2 - 9 стануть несумісними. Це означатиме відсутність розв'язку. Найменше значення H_2 , за якого існує розв'язок для S_0 і r у цілих числах, є оптимальним, а відповідні значення S_0 і r визначають конструктивні параметри оптимального механізму.

5.7.2.2. Розглянемо детальніше побудову ліній блокуючого контуру. Найпростіше будуться криві 3 і 4, оскільки радіус кривизни центрового профілю від r_2 не залежить [див. /5.13/ - /5.19/, /5.35/] і до правих частин відповідних рівнянь r_2 не входить. Тому щоб визначити екстремальні значення r_1 і r_2 на вигнутий і

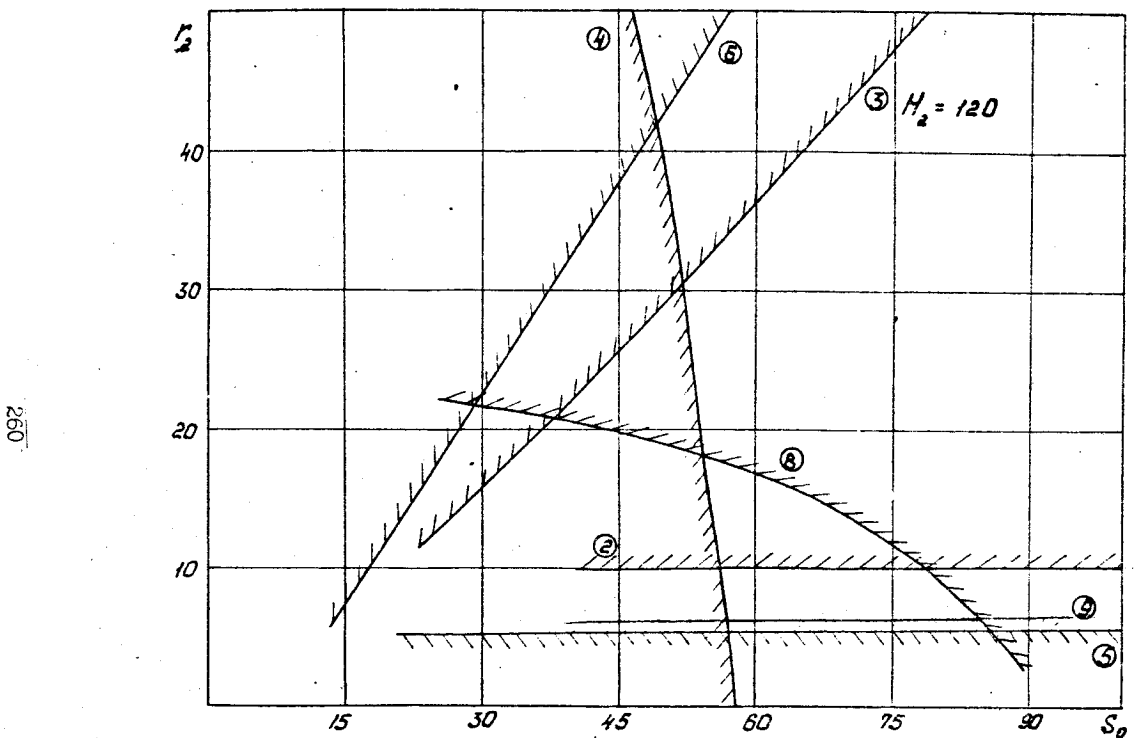


Рис. 5.28

випуклій ділянках профілю, достатньо організувати цикл за φ , усередині якого знайти ρ_1 і ρ_2 .

Схему алгоритму визначення ρ_1 і ρ_2 зображенено на рис. 5.29. Цю схему показано для випадку, коли значення S_o уводиться за вибором оператора. Її можна доповнити зовнішнім циклом зміни S_o .

Якщо обчислення виконуються на ПМК або на іншій ЕОМ з досить великим обсягом пам'яті, треба один раз обчислити масиви $S, S'', \Delta S$ і зберігати їх на зовнішньому носії у вигляді файла даних. Тоді блок обчислення цих величин на етапі визначення радіусів кривизни використовувати немає необхідності.

Для ілюстрації можливості розв'язання цієї задачі на ПМК у дод. I наведено програму I.8 для обчислення радіусів кривизни та значень ρ_1 і ρ_2 . Цю програму треба використовувати разом із однією з програм I.17. Комплект програм I.17.1 – I.17.5 служить для визначення кінематичних параметрів для іграшки законів руху, заданих у табл. 5.1.

5.7.2.3. Складніше визначити границі умов 2.5 – 2.9, оскільки їх виконання чи невиконання залежить від значень обох параметрів S_o і r_2 . Покажемо послідовність розв'язання на прикладі обмеження на навантаженість напрямної, яка визначається максимальним значенням N , реакції на її нижній кромці. Якщо зафіксувати S_o і r_2 , можна знайти максимум $\bar{N} = \max\{N_i\}$. Якщо тепер задати кілька значень r_2 , можна обчислити залежність $\bar{N}_1 = f(r_2)$, а отже, і $\sigma = f(r_2)$. Посудувавши графік цієї функції, можна шляхом інтерполяції знайти граничне значення r_{28} , за якого σ досягає гранично допустимого значення.

Як приклад на рис. 5.30 зображено графік $\bar{N}_1 = f_1(r_2)$, з якого випливає, що коли взяти за гранично допустиме навантаження 140 кН / площа пояска 28 mm^2 при $[G] = 5,0 \text{ MPa}$, то верхнім граничним значенням радіуса ролика r_2 за обмеженням 8 є 16,8 мм. Це обмеження справедливе для значення $S_o = 60 \text{ mm}$, за якого побудовано графік на рис. 5.29. Воно визначає одну точку кривої 8 на блокуючому контурі (див. рис. 5.28). Якщо виконати ряд розраунків за кількох S_o , можна дістати всю обмежуючу криву за розглядуваної умови. Із рис. 5.28 випливає, що ця крива лише на порівняно невеликому відрізку значень S_o / приблизно 78,6...84/ є активним обмеженням. За решти значень S_o інші обмеження діють більш жорстко та обмеження 8 на навантаженість напрямної є пасивним.

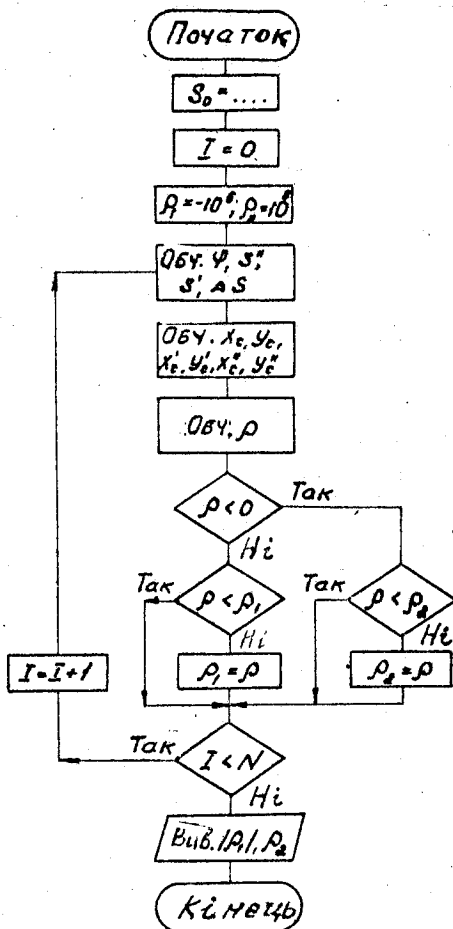


Рис. 5.29

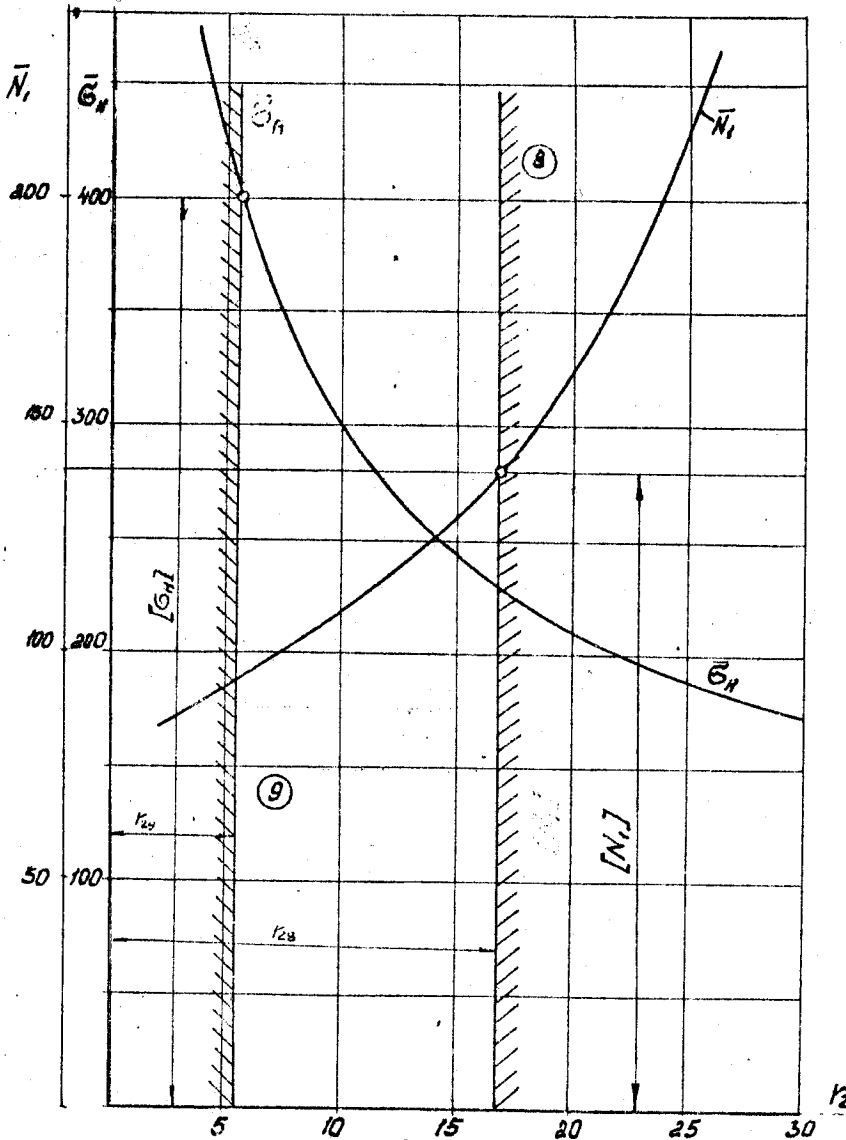


Рис. 5.30

На рис. 5.30 зображене також залежність $\bar{\sigma}_H$ від r^* . Якщо взяти $[\bar{\sigma}_H] = 400 \text{ МПа}$, то нижнє граничне значення $r_{29}^* = 5,6 \text{ мм}$. Залежність $\bar{\sigma}_H$ від S_o виражена слабо, тому крива 9 на рис. 5.28 є практично горизонтальною.

5.7.2.4. Із наведеного описання випливає, що для побудови граничної лінії обчисління мають містити три вкладених цикли. У внутрішньому циклі за параметром ϑ визначається найбільше значення обмежуючої величини, у середньому циклі змінюються r_2^* , а в зовнішньому - S_o . Межі зміни r_2^* мають бути такими, щоб усередині них обмежуюча нерівність змінювала свій знак. Межі зміни S_o необхідно призначити згідно з вибраним значенням H . Орієнтовно можна взяти, що найбільше можливе значення $S_o = H^2 - h$. Як приклад на рис. 5.31 зображене схему алгоритму визначення граничної кривої за допустимим контактним напруженням.

5.7.3. Розв'язання задачі оптимізації в процесі грального проектування.

Із наведеного описання випливає, що навіть у разі використання ЕОМ задача оптимального проектування є трудомісткою. Тому в повному обсязі її розв'язування краще доручити бригаді студентів, кожний з яких буде одну з обмежувальних кривих.

Наприклад, можна запропонувати таку розбивку задачі на етапи, до яких входить визначення:

1/ кінематичних параметрів, сили інерції штовхача та параметрів пружини, що забезпечують замикання вищої пари;

2/ радіусів кривизни та верхнього і нижнього граничних значень $\bar{\epsilon}_2$ за умов 3 і 4;

3/ граничних значень за умови 5 надійності вузла ролика;

4/ граничних значень за умови міцності та жорсткості вала;

5/ граничних значень за умови міцності штовхача та надійності напрямної;

6/ граничних значень за контактними напруженнями;

7/ граничних значень за відсутності ковзання ролика.

Кожна бригада, побудувавши свої обмежувальні криві, накладає їх на одну систему координат і дістає блокуючий контур для вибраного значення H . Залежно від його розмірів бригада приймає рішення або повторити описані побудови, або зупинитись на досягнутому результаті. Потім кожний член бригади вибирає точку всередині знайденого контуру й розраховує координати точок центрового та робочого профілів для вибраних значень параметрів S_o і r_2^* .

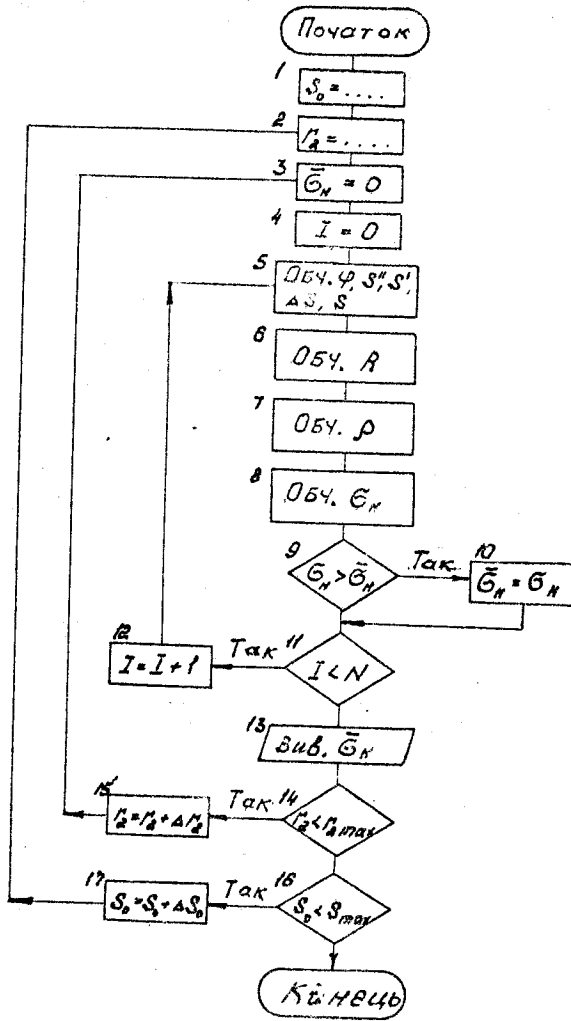


Рис. 5.3I

Задачу доцільніше розв'язувати на персональній ЕОМ. Кожному члену бригади треба виділити область пам'яті на зовнішньому носії, до якого тільки він має доступ; на цій області він буде зберігати програму, вихідні дані та проміжні результати.

Якщо застосувати силами тертя на напрямний, то для найпростіших законів задачу можна розв'язати також на ПМК. Для цього можна скласти шість програм, загальна довжина яких близько 930 команд і які можуть бути записані до пам'яті ТПЗП калькулятора МК-52.

У процесі грального проектування члену бригади, який визначив параметри пружини, можна доручити встановлення конструктивних параметрів пружини /діаметрів витка D та проволоки d / і числа витків n /за формулами, відомими з курсу опору матеріалів [3], с. 248-252/. При цьому може варіюватись відношення D/d для того, щоб отримати прийнятні за конструктивними та технологічними міркуваннями співвідношення між висотою пружини та її зовнішнім діаметром.

5.8. Синтез механізму з плоским штовхачем

5.8.1. Визначення координат профілю кулачка.

5.8.1.1. У кулачкових механізмах типу ПТ ролик є відсутнім. Кулачок стикається безпосередньо з тарілкою штовхача, тому поняття центрового профілю у даному разі не вживается.

Профіль кулачка служить обвідною до сімейства прямих, які тарілка прохреслює у оберненому русі відносно профілю кулачка. Тому координати профілю можна знайти як координати обвідної до сімейства цих прямих.

Для дослідження механізмів типу ПТ введемо декартову систему координат XOY , початок якої збігається з віссю кулачка, а вісь OY проходить крізь точку C , що відповідає початку віддалення штовхача /рис. 5.32/.

5.8.1.2. Визначимо координати точок профілю в разі заданого замку руху штовхача. Розглянемо обернений рух, за якого штовхач обертається проти ходу годинникової стрілки. Нехай механізм повернувся на кут φ від початкового положення, коли вісь штовхача збігалася з віссю OY /див. рис. 5.32/. Позначимо точку B перетину осі штовхача з торцевою площею тарілки. Відрізок $OB = s$. Тому координати точки B такі:

$$x_B = -s \sin \varphi; \quad y_B = s \cos \varphi.$$

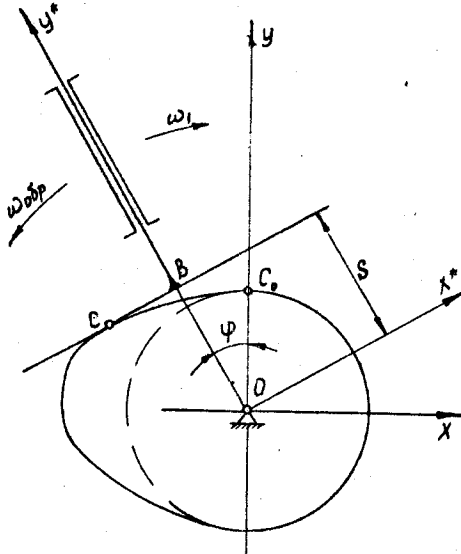


Рис. 5.32

Кут між віссю OX і прямою BC , яка є проекцією торцевої площини тарілки на площину креслення, дорівнює φ . Отже, рівняння цієї прямої, що проходить крізь точку B і має кутовий коефіцієнт $\operatorname{tg} \varphi$, має вигляд

$$\frac{y - y_B}{x - x_B} = \operatorname{tg} \varphi. \quad /5.91/$$

Підставивши в /5.91/ x_B і y_B із /5.90/, дістанемо

$$y - s \cos \varphi = (x + s \sin \varphi) \operatorname{tg} \varphi$$

або, виконавши перетворення, матимемо

$$y = x \operatorname{tg} \varphi + \frac{s}{\cos \varphi}. \quad /5.92/$$

Якщо розглядати φ як параметр, то /5.92/ описує рівняння сімейства прямих, обвідну до якого необхідно знайти.

5.8.1.3. Щоб визначити координати точок обвідної, необхідно продиференціювати за φ рівняння /5.92/. ураховуючи, що x і y від φ не залежать, діотаемо

$$0 = \frac{x}{\cos^2 \varphi} + \frac{s' \cos \varphi - s \cdot (-\sin \varphi)}{\cos^2 \varphi}$$

Помноживши всі члени на $\cos^2 \varphi$ і переносячи x у ліву частину, знайдемо

$$x = -s' \cos \varphi - s \sin \varphi. \quad /5.93/$$

Підставивши /5.93/ у /5.92/, дістанемо

$$y = -s' \sin \varphi + s \cos \varphi. \quad /5.94/$$

Цей самий результат можна отримати, користуючись поняттям про замінюючий механізм.

5.8.2. Радіуси кривизни профілю. Синтез механізму за умови випуклості профілю кулачка.

5.8.2.1. У п. 5.8.1.3 було отримано формули /5.93/ і /5.94/ для координат профілю кулачка.

Щоб скористатись /5.35/ для визначення радіусів кривизни, двічі продиференціюємо за φ ці вирази.

Після першого диференціювання маємо

$$x' = -(\sin' \cos \varphi - s' \sin \varphi + s' \sin \varphi + s \cos \varphi) = -(s'' + s) \cos \varphi;$$

$$y' = -s'' \sin \varphi - s' \cos \varphi + s' \cos \varphi - s \sin \varphi = -(s'' + s) \sin \varphi.$$

Після другого диференціювання дістаемо

$$x'' = -[(s'' + s') \cos \varphi - (s'' + s') \sin \varphi];$$

$$y'' = -[(s'' + s') \sin \varphi + (s'' + s') \cos \varphi].$$

Піднесемо x' і y' до квадрату і отримані вирази складемо:

$$(x')^2 + (y')^2 = (s'' + s)^2 \cos^2 \varphi + (s'' + s)^2 \sin^2 \varphi = (s'' + s)^2.$$

Тоді чисельник виразу /5.35/ дорівнює $(s'' + s)^3$. Обчислимо знаменник цього самого виразу:

$$x'y'' = (s'' + s)(s'' + s') \sin \varphi \cos \varphi + (s'' + s)^2 \cos^2 \varphi;$$

$$x''y' = (s'' + s)(s'' + s') \sin \varphi \cos \varphi - (s'' + s)^2 \sin^2 \varphi.$$

Віднімаючи другий вираз із першого, знайдемо знаменник виразу /5.35/:

$$x'y'' - x''y' = (s'' + s)^2 (\sin^2 \varphi + \cos^2 \varphi) = (s'' + s)^2.$$

Тому

$$\rho = s'' + s. \quad /5.95/$$

Цей вираз уперше отримав Я.Л.Геронімус [8] із розглядання плану прискорень замінюючого механізму і використав його для розв'язання задачі синтезу механізмів типу ПТ.

5.8.2.2. Кожна точка профілю кулачка розглядуваного типу має ввійти у стикання з торцевою площею тарілки штовхача. Якщо ж профіль кулачка має увігнуту ділянку, наприклад AB на рис. 5.33, то тарілка не може ввійти у стик з його внутрішніми точками, і такий кулачок не забезпечить нормальну роботу механізму. Отже, кулачок механізму типу ПТ не може мати увігнутих або прямолінійних ділянок.

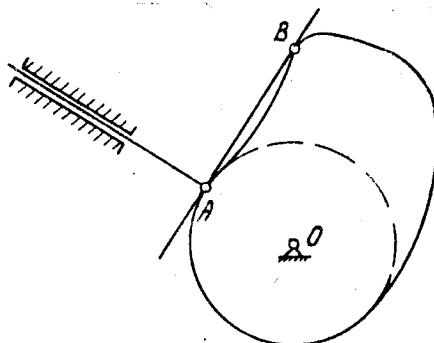


Рис. 5.33

Із /5.95/ випливає, що умова випуклості профілю має вигляд

$$s'' + s > 0. \quad /5.96/$$

Але $S = S_0 + \Delta S$, де S_0 – стала інтегрування. Значення S_0 не впливає на закон руху і його можна вибрати так, щоб забезпечувалося виконання умови /5.95/ в усіх точках профілю. Для цього визначимо значення функції $F(\varphi) = S'' + \Delta S$ і її мінімум F_{\min} /рис. 5.34/.

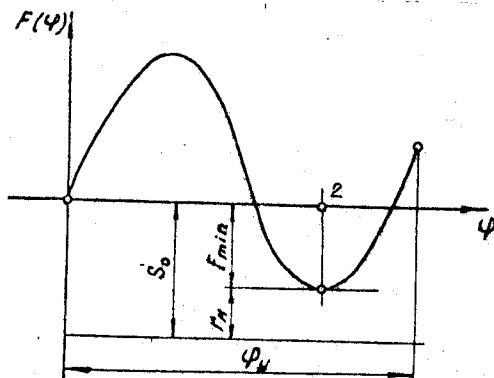


Рис. 5.34

Якщо взяти $S_o \geq |F_{min}|$, умову випуклості буде виконано. Якщо ж, як і для кулячків із роликом, поставити технологічні обмеження на найменший допустимий радіус кривизни профілю, то

$$S_o \geq |F_{min}| + r_m. \quad /5.97/$$

Рівняння /5.97/ визначає найменше допустиме значення S_o за умови обмеження радіуса кривизни профілю.

Якщо в процесі обчислень функції $F(\psi)$ виявилось, що вона не має від'ємних значень, випуклість профілю забезпечена за будь-якого значення S_o .

5.8.3. Алгоритм синтезу механізму типу ПТ за умови випуклості.

5.8.3.1. Задача синтезу складається з двох етапів. На першому визначаються кінематичні параметри механізму $S', S'', \Delta S$ та значення функції $F(\psi) = S'' + \Delta S$. Ці обчислення виконуються для ряду рівновіддалених положень механізму на ділянках віddалення та зближення. Якщо на цих ділянках задано однакові закони руху, треба обмежитися розгляданням лише однієї ділянки, а саме тієї, в якої фазовий кут є меншим.

У процесі обчислень функції $F(\psi)$ визначається також II найменше значення. По закінченні циклу за /5.101/ обчислюємо S_o .

На другому етапі повторюються обчислення кінематичних параметрів, але тепер уже є можливість знайти величину $S = S_o + \Delta S$. Після цього за /5.93/ і /5.94/ встановлюємо координати ω і ψ профілю

кулачка. За необхідності можна визначити також радіус кривизни за /5.95/.

5.8.3.2. Схему описаного алгоритму зображенено на рис. 5.35. У блоках I - 15 виконується перший етап задачі - визначаються кінематичні параметри та значення функції $F(\varphi)$, перевіряється II знак та обчислюється найбільше за модулем від'ємне значення. Після виходу із циклу /коли одиниця набуде значення N/, S_o набуває значення $|F_{min}| + r^*$ /блок II/.

Якщо функція $F(\varphi)$ не має від'ємних значень, тобто умова вицуклості не накладає обмежень на величину S_o , то виявиться, що S_o дорівнює r^* . У цьому разі умова блоку 12 виконується і виводиться повідомлення " S_o довільне", після чого необхідно ввести S_o , знайдене з міцніших або конструктивних міркувань /див. п. 5.8.4.2/.

5.8.4. Визначення реакцій у механізмах типу ПТ.

5.8.4.1. У механізмах типу ПТ задача визначення реакції R спрощується, оскільки вона завжди є паралельною осі штовхача $/\theta = 0/$.

Розв'язування виконуємо в системі координат X^*OY^* , отриманий зі стояком. Вісь OY^* збігається з віссю штовхача. У разі обернення руху системи X^*OY^* обертається навколо точки O . Повороту кулачка на кут φ відповідає поворот системи X^*OY^* в оберненому русі на такий самий кут /див. рис. 5.32/.

За правилом перетворення координат при повороті осей

$$x^* = x \cos \varphi + y \sin \varphi;$$

$$y^* = -x \sin \varphi + y \cos \varphi.$$

Підставивши в ці рівняння x і y , обчислені за /5.93/ і /5.94/, знайдемо координати точки C стикання тарілки з профілем кулачка в системі X^*OY^* /рис. 5.36/:

$$x^* = (-s' \cos \varphi - s \sin \varphi) \cos \varphi + (-s' \sin \varphi + s \cos \varphi) \sin \varphi = -s'.$$

$$y^* = -(-s' \cos \varphi - s \sin \varphi) \sin \varphi + (-s' \sin \varphi + s \cos \varphi) \cos \varphi = s.$$

Друга формула стає очевидною, якщо на рис. 5.32 позначити переміщення штовхача S .

5.8.4.2. Сума проекцій на вісь OY^* сил, що діють на штовхач /див. рис. 5.36/,

$$P_c + R + F_1 + F_2 = 0, \quad /5.98/$$

де F_1, F_2 - сили тертя, що виникають на нижній і верхній кромках напрімної. У разі віддалення ці сили є від'ємними, у разі зближення - додатними.

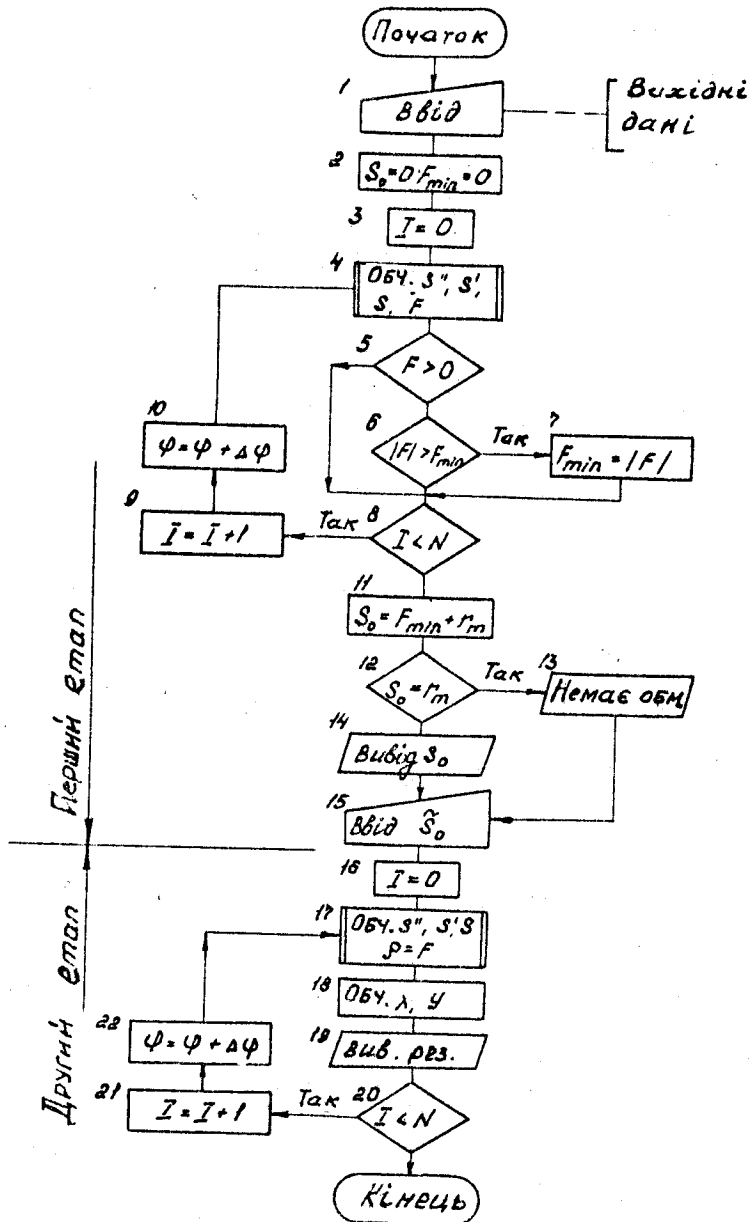


Рис. 5.35

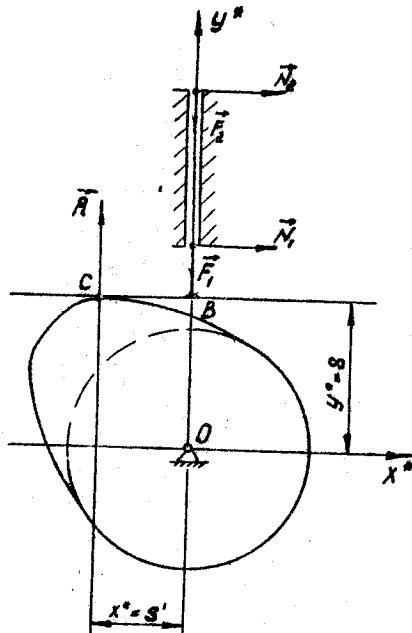


Рис. 5.36

Рівняння моментів відносно точок 1 і 2 мають вигляд

$$-Rs' + N_2 \ell = 0;$$

$$-Rs' + N_1 \ell = 0,$$

звідки

$$N_2 = -Rs'/\ell; \quad /5.99/$$

$$N_1 = Rs'/\ell. \quad /5.100/$$

Із /5.99/ і /5.100/ випливає, що N_1 і N_2 утворюють пару сил, що обертає штовхач у додатному напрямі.

Сили тертя можна навести у вигляді

$$F_1 = F |N_1| f = F |Rs'| |f/\ell|; \quad /5.101/$$

$$F_2 = F |N_2| f = F |Rs'| |f/\ell|. \quad /5.102/$$

У разі віддалення треба вибрати верхні знаки.

У механізмах типу ПТ використовується лише силове замикання.

Тому завжди $R > O$. Ураховуючи це, а також те, що в разі віддалення $S > O$, спростило /5.101/ і /5.102/ і визначимо суму $F_1 + F_2 = -2RSf\ell$. Підставивши знайдений вираз у /5.74/, дістанемо

$$P_c + R(1 - 2f\frac{S'}{\ell}) = 0.$$

• Звідси

$$R = -\frac{P_c}{1 - 2f\frac{S'}{\ell}}. \quad /5.103/$$

Із /5.103/ випливає, що за рахунок сил тертя реакції R на фазі віддалення зростає, а на фазі зближення зменшується.

5.8.4.3. Оптимальне проектування кулачкового механізму типу ПТ є більш простим, ніж механізму типу РТ, оскільки у розглядуваному випадку відпадає обмеження на відсутність ковзання ролика, на міцність вузла ролика, а розрахункові формулі для решти обмежень значно спрощуються.

Крім того, у механізмі типу ПТ маємо лише один параметр оптимізації – початкову відстань S_o . Тому будувати блокуючий контур немає необхідності. Варіючи значення S_o , можна встановити, які його значення є придатними, а які ні. Наочне уявлення про область існування розв'язку може дати побудова на площині $H_2 - S_o$, де виділені зони виконання обмежень. Оскільки умова 2 вицуклості профілю від H_2 не залежить, гранична лінія за цим обмеженням на площині $H_2 - S_o$ є горизонтальною прямою /рис. 5.37/. Умова, що обмежує наявність напрямної, залежить від довжини напрямної ℓ :

$$\ell = H_2 - h - S_o.$$

Тому, змінюючи значення ℓ , можна знайти його мінімальне значення ℓ^* , за якого питомий тиск на поясок напрямної не перевищує придатного значення, а потім побудувати пряму $S_o = H_2 - h + \ell^*$, нижче якої розв'язок існує, а вище – не існує. Цю пряму показано на рис. 5.37, точка перетину якої з прямою S_{min} визначає мінімальне значення H_{min} , за якого виконані умови 4 і 8. Після цього треба перевірити виконання решти обмежень для знайденого значення H_2 .

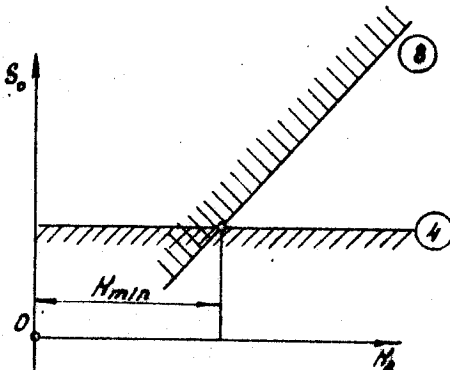


Рис. 5.37

Програми розв'язання задачі оптимізації є аналогічними описаним у процесі проектування механізму типу РТ. Вони містять внутрішній цикл за параметром φ і зовнішній – за параметром S_0 . Розв'язувати задачу можна як на ПМК, так і на будь-якій ЕОМ. Як приклад у п. 5.8.3.2 зображене схему алгоритму визначення S_0 за умови випукlosti /див. рис. 5.35/.

ДОДАТКИ

Додаток I

Програми

I. Описання програм для ПМК

Кожна програма містить таблицю розподілу оперативної пам'яті, текот програми, інструкцію користувачу та контрольний приклад.

Таблиця розподілу пам'яті вказує, які величини зберігаються в ячейках оперативної пам'яті.

Текст програми записується по стовпцях, в яких указується адреса команди й сама команда. Рекомендується в разі використання програми записати також вміст ячейок стекової пам'яті.

Інструкція користувачу визначає послідовність його дій під час роботи з програмою. Вона має визначити положення перемикача "Р/Г", порядок введення вихідних даних і керуючих команд, читання результатів і умови роботи.

Контрольний приклад містить розв'язання задачі для конкретних вихідних даних. За допомогою контрольного прикладу треба перевірити правильність запису програми та розуміння інструкції.

Програма I.I

Кінематичне дослідження шарнірного чотириланковика

Позначення наведені в п. 2.5.3 і зображені на рис. 2.7.
Розподіл пам'яті

0	1	2	3	4	5	6	7	8	9	А	В	С	Д	Е
$\mathcal{G}_1 - \mathcal{G}_2$	$\mathcal{G}_1 - \mathcal{G}_3$	\mathcal{G}_x		$\dot{\varphi}$	φ_1	φ_2	φ	$\tilde{\ell}_2 - \tilde{\ell}_3$	$\tilde{\ell}_2$	$\tilde{\ell}_3$	\tilde{x}_c	$\Delta \mathcal{G}$	$\dot{\varphi}^2$	

Блоки програми

№ п/п	Призначення блока	Команди
1	Обчислення $\tilde{\varphi}, \mathcal{G}_q$	00-26
2	Обчислення \mathcal{G}_2	27-40
3	Обчислення φ_3	41-52
4	Обчислення $\tilde{\omega}_2$	53-66
5.1	Обчислення $\tilde{\omega}_3$	67-80
6.1	Обчислення $\tilde{\mathcal{E}}_3$	81-91
7.1	Організація циклу	92-94
5.2	Обчислення $\tilde{\omega}_2$	67-81
6.2	Обчислення $\tilde{\mathcal{E}}_2$	82-93
7.2	Організація циклу	94-96

Блоки 1-4

00	ИПВ	12	↑	24	2	36	:	48	:	60	ИП2
01	ИП4	13	Fx^2	25	X	37	$Fcos^2$	49	$Fcos^2$	61	ИП6
02	С/П	14	ИП3	26	ИП2	38	±	50	±	62	-
03	ИПС	15	Fx^2	27	ИП8	39	ИП6	51	ИП2	63	ИП
04	X	16	+	28	ИПД	40	С/П	52	С/П	64	$Fsin$
05	ИП5	17	ИП	29	+	41	ИП2	53	ИП5	65	ИП7
06	$Fcos$	18	$F\sqrt{}$	30	ИП7	42	ИП8	54	←	66	:
07	-	19	ИП7	31	2	43	ИПД	55	-		
08	ИП2	20	ИП2	32	X	44	-	56	ИП1		
09	ИП6	21	+	33	ИП7	45	ИП7	57	$Fsin$		
10	$Fsin$	22	:	34	ИП9	46	ИПА	58	ИП9		
II	/-/	23	Ftg^2	35	X	47	X	59	:		

Блоки 5.1, 6.1, 7.1

67	Fx^2	72	-	77	82	ИПД	87	$Fcos$	92	КИП4
68	ИП9	73	И0	78	И7	83	$Fcos$	88	+	93 БП
69	X	74	$Fsin$	79	:	84	X	89	ИП7	94 00
70	ИП5	75	ИП7	80	С/П	85	-	90	:	
71	ИП6	76	ИПА	81	Fx^2	86	ИП0	91	С/П	

Блоки 5.2, 6.2, 7.2

67	С/П	73	X	79	ИПА	85	-	91	X	
68	Fx^2	74	ИП6	80	X	86	ИП1	92	:	
69	ИП9	75	ИП6	81	:	87	$Fcos$	93	С/П	
70	X	76	-	82	Fx^2	88	+	94	КИП4	
71	ИПД	77	$Fsin$	83	ИПА	89	ИП9	95	БП	
72	$Fcos$	78	ИП7	84	X	90	ИП7	96	00	

Інструкція користувачу

1. Ввести до програмної пам'яті блоки І-4, 5.І, 6.І, 7.І.
2. Команди 38, 39 залишать від варіанта окладання. У разі додатного варіанта ввести "+".
3. Занести $\ell_2^2 - \ell_3^2, \tilde{\ell}_2, \tilde{\ell}_3, \tilde{x}_c, \Delta\varphi$ згідно з розподілом пам'яті. В ячейку 4 записати 0.
4. Натиснути "В/0", "С/П". Послідовність виводу: $i, \varphi_2, \varphi_3, \tilde{\omega}_3, \tilde{\epsilon}_3$.
5. Обчислення зупинити при $i = n$.
6. Не вмикаючи ПМК, записати до пам'яті блоки 5.2, 6.2, 7.2.
7. За адресами 40, 51 записати КНОП. Відновити значення 0 в ячейці 4.
8. Натиснути "В/0", "С/П". Послідовність виводу: $i, \tilde{\omega}_2, \tilde{\epsilon}_2$.
9. Обчислення закінчити при $i = n$.

Контрольний приклад: $\tilde{\ell}_2 = \ell_2 / \ell_1 = 6$;

$$\tilde{\ell}_3 = \ell_3 / \ell_1 = 3; \quad \tilde{x}_c = x_c / \ell_1 = 7.$$

i	φ_2	φ_3	$\tilde{\omega}_2$	$\tilde{\omega}_3$	$\tilde{\epsilon}_2$	$\tilde{\epsilon}_3$
0	28,95	104,47	-0,16	-0,16	-0,05	0,35
1	23,88	102,46	-0,1612	0,036	0,0558	0,391
2	19,59	106,40	-0,120	0,216	0,0924	0,282
3	16,71	114,69	-0,0703	0,322	0,0997	0,111

Програма 1.2

Обчислення кінематичних параметрів групи /4, 5/
інерційного транспортера

Позначення наведені в п. 2.5.3 і зображені на рис. 2.14.

Розподіл пам'яті

0	1	2	3	4	5	6	7	8	9	А	В	С	Д	Е
$\ell_4 \cos \varphi_4$	\tilde{y}_3	φ_3	$\tilde{\omega}_3$	$\tilde{\epsilon}_3$	i					$\tilde{\ell}_3$	$\tilde{\ell}_4$	$\tilde{\omega}_4$		

00	ИПБ	13	$F \sin^2$	26	ИПЗ	39	ИПЗ	52	:	65	ИП2
01	С/П	14	$F \cos$	27	X	40	$F x^2$	53	С/П	66	ИП3
02	П4	15	ИПВ	28	ИП0	41	X	54	ИП1	67	$F x^2$
03	С/П	16	X	29	:	42	ИП2	55	X	68	X
04	П3	17	П0	30	/ - /	43	ИП4	57	ИП0	69	-
05	С/П	18	ИП2	31	ИС	44	X	57	ИПС	70	С/П
06	И2	19	$F \cos$	32	С/П	45	-	58	$F x^2$	71	КИП5
07	$F \sin$	20	ИПА	33	ИПЗ	46	ИП1	59	X	72	БП
08	ИПА	21	X	34	-	47	ИПС	60	-	73	00
09	X	22	И2	35	ИП1	48	$F x^2$	61	ИП1		
10	П1	23	+	36	X	49	X	62	ИП4		
11	ИПВ	24	С/П	37	С/П	50	-	63	X		
12	:	25	ИП2	38	ИП1	51	ИП0	64	-		

Інструкція користувачу

1. Запис значення $\tilde{\epsilon}_3 = \epsilon_3/\epsilon_1$; $\tilde{\epsilon}_4 = \epsilon_4/\epsilon_1$, згідно з розподілом пам'яті. В ячейку 5 занести 0.

2. Натиснути клавіші "В/0", "С/П". Після виводу значення \tilde{L} ввести до реєстра x значення $\tilde{\epsilon}_3$, $\tilde{\omega}_3$, φ_3 . Послідовність виводу результатів \tilde{x}_c^* , $\tilde{\omega}_4$, \tilde{v}_c , $\tilde{\epsilon}_4$, $\tilde{\alpha}_c$.

3. Обчислення закінчити при $i = n$.

4. За необхідності повторити обчислення, відновити 0 в ячейці 5 і повернутися до п. 2.

Контрольний приклад: $\tilde{\epsilon}_3 = 1$; $\tilde{\epsilon}_4 = 6$; $\tilde{\epsilon} = 0,34$; $\tilde{\omega}_3 = 1,66$; $\varphi_3 = -72,54^\circ$. Результати: $\tilde{x}_c^* = 6,233$; $\tilde{\omega}_4 = 8,4 \cdot 10^{-2}$; $\tilde{v}_c = 1,664$; $\tilde{\epsilon}_4 = -0,459$; $\tilde{\alpha}_c = -0,105$.

Програма 1.3

Головний модуль у задачі чисельного диференціювання

Позначення наведені в п. 2.9.1.

Розподіл пам'яті

0	1	2	3	4	5	6	7	8	9	А	В	С	Д	Е
j	$\alpha \varphi r$	$f(+)$	$f(\varphi)$	$f(-)$	$\varphi - \theta$									θ

00	3	08	ИНЕ	16	ИП4	24	ИП4	32	:	40	П5			
01	П0	09	+	17	-	25	+	33	С/П	41	БП			
02	5	10	П5	18	ИНЕ	26	ИП3	34	ИП5	42	00			
03	П1	11	FLO	19	2	27	2	35	ИНЕ	43				
04	П3	12	04	20	X	28	X	36						
05	43	13	ИП3	21	:	29	-	37	9-3					
06	КП1	14	С/П	22	С/П	30	ИНЕ	38	X					
07	ИП5	15	ИП2	23	ИП2	31	Fx^2	39	+					

Інструкція користувачу

- Перемикач "Р/Т" - у положенні "Р".
 - Ввести програму та відповідну підпрограму. Початкова адреса підпрограми - 43.
 - Занести $\varphi - \theta$, θ згідно з розподілом пам'яті головного модуля та величини, що використовуються в підпрограмі, згідно з II розподілом пам'яті. Значення $\varphi - \theta$, θ записати в радіанах /рад./.
 - Натиснути "В/О", "С/П". На індикатор послідовно виводяться значення $f(\varphi)$, $f'(\varphi)$, $f''(\varphi)$.
 - Обчислення закінчити при $\varphi = \pi$.
 - За необхідності повторити обчислення, відновити значення φ , $\varphi - \theta$ в ячейках 0 і 5 та повернутися до п. 4.
- Позначення: $f(+)=f(\varphi+\theta)$, $f(-)=f(\varphi-\theta)$ команди 36-37 означають введення числа $\varphi - 3$ з двох цифр.

1.4. Підпрограма визначення кінематичних параметрів довбалного верстата /разом із ІМ 1.3/

Позначення наведені в п. 2.5.5 і зображені на рис. 2.9.

Розподіл пам'яті

5	6	7	8	9	A	B	C	D	E
$\vartheta_o - \Theta$	\tilde{x}_o	\tilde{y}_o	$\tilde{\ell}_B$	$\tilde{\ell}_4$	α	\tilde{x}_A ϑ_B	\tilde{x}_E		Θ

43 ИП7	50 ИП5	57 ИПВ	64 +	71 -	78 ИПВ
44 ИП5	51 Fcos	58 +	65 ИВ	72 ИП9	79 Fsin
45 Fsin	52 +	59 :	66 Fcos	73 :	80 ИП8
46 +	53 ИВ	60 Ftg ⁻¹	67 ИП8	74 Fcos ⁻¹	81 X
47 1	54 Fx ²	61 2	68 X	75 Fsin ⁻¹	82 +
48 Fx ²	55 +	62 X	69 ИПС	76 ИП9	83 В/0
49 ИП6	56 FV	63 ИПА	70 ==	77 X	

Інструкція користувачу

- Перемикач "Р/Г" – у положенні "Р".
- Записати текст програми 1.3 за адресами 00-42. Текот підпрограми записати, починаючи з адресою 43.
- Величини \tilde{x}_o , \tilde{y}_o , $\tilde{\ell}_B$, $\tilde{\ell}_4$, α , \tilde{x}_E , $\vartheta_o - \Theta$, Θ записати до пам'яті згідно з розподілом пам'яті підпрограми та головного модуля. Значення α , $\vartheta_o - \Theta$, Θ – у радіанах.
- Натиснути "В/О", "С/П". На індикаторі прочитати значення \tilde{y}_E , $\tilde{\ell}_E$, $\tilde{\alpha}_E$.
- Обчислення закінчити при $i = 77$.
- За необхідності повторити обчислення та відновити значення $\vartheta_o - \Theta$ в ячейці 5.

І.5. Підпрограма визначення кінематичних параметрів \mathcal{V} -подібного двигуна разом із програмою I.3/
Позначення наведені в п. 2.5.5 і зображені на рис. 2.10.
Розподіл пам'яті

5	6	7	8	9	A	B	C	D	E
$\vartheta_o - \Theta$	$-\tilde{\ell}_2$	$\tilde{\ell}_4$	$\tilde{\ell}_c$	α	$\sin\beta$	$\cos\beta$	\tilde{y}_c	\tilde{x}_c	θ

43 ИПБ	51 FBx	59 \Rightarrow	67 ИПА	75 /-/	83 ИПС
44 Fsin	52 Fsin ⁻¹	60 ИПВ	68 x	76 Fsin ⁻¹	84 ИПА
45 ИП6	53 ИП8	61 x	69 ИПС	77 Fcos	85 x
46 :	54 x	62 ИП5	70 ИПВ	78 ИП7	86 +
47 Fsin ⁻¹	55 ИПБ	63 Fcos	71 x	79 x	87 +
48 ИП9	56 Fsin	64 +	72 +	80 ИПД	88 В/0
49 +	57 +	65 ИД	73 ИПУ	81 ИПВ	
50 Fcos	58 ИС	66 /-/	74 :	82 x	

Інструкція користувачу

1. Перемикач "Р/Г" - у положенні "Р".
2. Записати текст програми I.3 за адресами 00-42. Починаючи з адреси 43 записати текот підпрограми.
3. До ячейок оперативної пам'яті записати $-\tilde{\ell}_2$, $\tilde{\ell}_4$, $\tilde{\ell}_c$, α , $\sin\beta$, $\cos\beta$, $\vartheta_o - \Theta$, θ згідно з розподілом пам'яті підпрограми та головного модуля. Значення α , $\vartheta_o - \Theta$, θ ввести в радіанах.
4. Натиснути "В/0", "С/П". На індикатор послідовно виводяться \tilde{x}_2 , \tilde{y}_2 , \tilde{z}_2 .
5. Обчислення закінчити при $i = n$.
6. За необхідності повторити обчислення та відновити значення $\vartheta_o - \Theta$ в ячейці 5 /див. перерозподіл пам'яті програми I.3/.

Програма I.6

Визначення приведеного моменту технологічних сил,
приведеного моменту інерції та потужності агрегату
з V -подібним двигуном

Розподіл пам'яті /позначення див. у пп. 3.3.1, 3.3.2, 3.3.3/

0	1	2	3	4	5	6	7	8	9	А	В	С	Д	Е
j	$-e_1$	$-e_1/e_2$	φ_2	i	m_n	m_1	S'_n	S'_1	φ_1	α	$\Delta\varphi$	$\Delta\varphi_{3T}$	Σ	

Блоки програми

№ п/п	Призначення блока	Команди
1	Головний модуль	00 - 22
2	Підпрограма І-го рівня. Обчислення M_x і J_x	23 - 60
3	Підпрограма 2-го рівня. Обчислення S	61 - 74

00	III	I3	↑	26	X	→	Ввод	50	Fx^2	63	ИП2
01	24	I4	ИП3	27	П9	39	П9	51	ИП5	64	X
02	ПД	I5	+	28	III	40	C/P	52	X	65	$Fsin^{-1}$
03	КИIO	I6	+	29	61	→	Ввод	53	ИП8	66	П3
04	III	I7	FLO	30	П7	41	ИП8	54	Fx^2	67	-
05	23	I8	02	31	ИП9	42	X	55	ИП6	68	$Fsin$
06	4	I9	FBx	32	ИПA	43	ИП9	56	X	69	ИП3
07	X	20	ИПС	33	-	44	ИП7	57	+	70	$Fcos$
08	ИПД	21	X	34	III	45	X	58	C/P	71	:
09	+	22	C/P	35	61	46	+	59	ИП9	72	ИП1
10	ПД	23	КИП4	36	П8	47	П9	60	B/O	73	X
11	III	24	ИП4	37	ИП4	48	C/P	61	↑	74	B/O
12	23	25	ИПB	38	C/P	49	ИП7	62	$Fsin$		

Інструкція користувачу

1. Перемикач "Р/Г" - у положенні "Р".
2. Ввести до оперативної пам'яті значення $n_i, \ell_i, -\ell_i/\ell_2, m_n, m_i, \alpha, \Delta \varphi, \Delta \vartheta/3T$ згідно з розподілом пам'яті. До ячейки 4 записати 0.
3. Натиснути "В/О", "С/П". Після висвічування номера положення " i " ввести F_n до реєстру X . Натиснути "С/П" і після зупинки ПМК ввести F_A , натиснути "С/П" і прочитати M_r і \mathcal{I}_n для даного положення.
4. Після введення даних для τ_2 положень буде виведено значення P у ватах, якщо F_n і F_A вводились у ньютонах.
5. За необхідності повторити обчислення записати 0 до реєстру 4 і τ_2 до реєстру 0 і перейти до п. 3.

Програма I.7

Дослідження руху машинного агрегату з асинхронним двигуном

Позначення див. у п. 3.4.3.

Розподіл пам'яті

0	1	2	3	4	5	6	7	8	9	A	B	C	D	E
M_{i-1}	M_i	\mathcal{I}_{i-1}	\mathcal{I}_i	i	ω_{i-1}^2	\mathcal{I}_m	n	$\Delta \vartheta$	C	n_{pc}	n_{RH}	$2A$	P_H	

Текот програми

00	2	14	X	28	ИП4	40	КИ4	53	С/П	66	+			
01	F π	15	ПВ	29	ИП8	41	ИП4	→	Ввод	67	ИП3			
02	X	16	:	30	X	42	ИП7	54	П1	68	ИПД			
03	ИП7	17	ИПА	31	ПД	43	-	55	ИП0	69	♦			
04	:	18	ИПВ	32	0	44	F $x=0$	56	+	70	:			
05	П8	19	F x^2	33	П4	45	48	57	ИПС	71	П5			
06	ИПА	20	-	34	С/П	46	0	58	+	72	F \sqrt			
07	ИП9	21	:	→	Ввод	47	П4	59	ИП8	73	С/П			
08	X	22	ПД	35	ИП6	48	ИП4	60	X	74	ИП3			
09	F x^2	23	ИПА	36	+	49	С/П	61	ИП2	75	П2			
10	ПА	24	X	37	П2	→	Ввод	62	ИПД	76	ИП1			
11	ИПД	25	2	38	С/П	50	ИП6	63	-	77	П0			
12	ИПВ	26	X	→	Ввод	51	+	64	ИП5	78	БП			
13	ИП9	27	ПС	39	П0	52	П3	65	X	79	40			

Інструкція користувачу

1. Записати ω_0^2 , T_M , n , C , n_{pc} , n_{ph} , P_H в ячейки оперативної пам'яті згідно з II розподілом. Номінальна потужність двигуна вводиться в ватах.
 2. Натиснути "В/О", "С/П". Після виводу номера положення ввести відповідні значення T_n і M . Прочитати значення ω_e .
 3. Обчислення зупинити після виконання умови періодичності із заданим ступенем точності.
 4. Для виконання повторних розрахунків ввести ω_0^2 , T_M і натиснути БП З2, після чого повернутися до п. 2.
- Контрольні обчислення наведені в дод. 2.

Програма I.8

Визначення чисел зубів триступінчатого редуктора

Розподіл пам'яті

0	1	2	3	4	5	6	7	8	9	A	B	C	D	E
22	ω_0	ω_1	ω_2	ω_3	Z_1	Z_2	Z_3	Z_4		0,5	4/19	Δ	3/2	

Позначення див. у п. 4.2.3.

00	ИПВ	10	ИП1	22	ИП	30	X	40	:	50	С/П			
01	ИП0	11	ИП4	21	54	31	ИП4	41	ИПС	51	КИП4			
02	Fx^y	12	С/П	22	П6	32	+	42	-	52	БП			
03	П3	13	X	23	ИП3	33	Fx^2	43	$Fx < 0$	53	10			
04	ИПД	14	ИП	24	ИП4	34	X	44	51	54	ИПА			
05	\Rightarrow	15	54	25	X	35	:	45	ИП5	55	+			
06	Fx^y	16	П5	26	ИП	36	ИП0	46	С/П	56	К[]			
07	П2	17	ИП2	27	54	37	-	47	ИП6	57	В/0			
08	Fx^y	18	ИП4	28	П7	38	KII	48	С/П					
09	П1	19	X	29	X	39	ИП0	49	ИП7					

Інструкція користувачу

1. Значення τ_1 , \mathcal{Z}_{min} ; 0,5; 4/19; Δ ; 1,5 занести до ячейки згідно з розподілом пам'яті.

2. Натиснути "В/С", "С/П". Виводиться поточне значення \mathcal{Z} . Решта значень чисел зубів виводиться, якщо похибка не перевищує задану.

3. Обчислення закінчти після отримання достатнього числа розв'язків.

Контрольний приклад: $\tau_1 = 25,34$; $\Delta = 0,02$; $\mathcal{Z}_{min} = 15$.

Результати розрахунку

Z_1	15	16	17	18	19	21	22	23	24
Z_2	69	74	79	83	88	97	102	106	111
Z_3	42	44	47	50	53	58	61	64	67
Z_4	30	32	34	36	38	41	43	45	47

Програма I.9
Синтез спільніального редуктора

Позначення див. у п. 4.8.4.

Розподіл пам'яті

0	1	2	3	4	5	6	7	8	9	A	B	C	D	E
τ_1	τ_1'	\mathcal{Z}_2'	e	Z_1	Z_2	Z_3	$\tau_1 - \Delta$	$\tau_1 + \Delta$	Σ	Z_{min}	τ_1'			

00	ИПС	14	I	28	ИПС	42	ПШ	56	$Fx > 0$	70	С/П		
01	ИП1	15	-	29	П4	43	ИША	57	27	71	ИП7		
02	ИП2	16	ИПС ²	30	ИП5	44	+	58	ИПВ	72	С/П		
03	+	17	Fx^2	31	ИП2	45	I	59	ИПД	73	ИП4		
04	X	18	X	32	X	46	+	60	ИП9	74	С/П		
05	ИП1	19	ИП1	33	ИВ	47	:	61	:	75	ИП8		
06	:	20	:	34	ИП5	48	П7	62	I	76	С/П		
07	ИП2	21	ИП2	35	ИП1	49	КИП7	63	+	77	КИП4		
08	:	22	:	36	X	50	ИПВ	64	:	78	БП		
09	2	23	+	37	ИП4	51	ИП7	65	ИП7	79	30		
10	:	24	FV	38	-	52	-	66	-				
11	↑	25	+	39	П8	53	П6	67	$Fx < 0$				
12	Fx^2	26	П5	40	ИП4	54	ИПС	68	77				
13	ИП9	27	КИП5	41	:	55	-	69	ИП6				

Інструкція користувачу

1. Ввести значення $\mu_1, \mu_2, \varepsilon_1 - \Delta, \varepsilon_1 + \Delta, Z_{min}$ до ячейок згідно з розподілом пам'яті.
 2. Натиснути "В/О", "С/П". Числа зубів варіанта, що задовільняє поставленим умовам, виводяться в такій послідовності: Z_1, Z_2, Z_3 .
 3. Обчислення припинити після отримання достатнього числа розв'язків.
 4. За необхідності повторити розв'язування і ввести ϵ_{min} і Z_{min} до ячейок 5 і 6, БП 30.
- Результати обчислень: при $\mu_1 = 2, \mu_2 = 3, \varepsilon_1 - \Delta = 8,07; \varepsilon_1 + \Delta = 8,23; Z_{min} = 17$ наведені в табл. 4.4.

Програма I.10 Синтез планетарного редуктора типу АІ

Розподіл пам'яті

0	1	2	3	4	5	6	7	8	9	A	B	C	D	E
			Z_3	Z_2	Z_1	$\varepsilon_1 - \Delta$	$\varepsilon_1 + \Delta$	Z_{3H}	K					

Позначення див. у п. 4.4.4.

00	КИПБ	07	ИП8	14	ИП5	21	36	28	$Fx=0$	35	С/П			
01	ИП5	08	X	15	-	22	ИП3	29	36	36	КИПЗ			
02	ИП9	09	ПА	16	2	23	ИП5	30	ИП5	37	ИПЗ			
03	X	10	-	17	:	24	+	31	С/П	38	ИПА			
04	K[]	11	$Fx \geq 0$	18	ИП7	25	ИП8	32	ИП7	39	БП			
05	П3	12	00	19	K{}	26	:	33	С/П	40	IO			
06	ИП5	13	ИП3	20	$Fx=0$	27	K{}	34	ИП3					

Інструкція користувачу

1. Занести до пам'яті $Z_{min} - 1, \varepsilon_1 - \Delta, \varepsilon_1 + \Delta$ згідно з таблицею розподілу пам'яті..
2. Натиснути "В/О", "С/П". На індикатор виводяться результати, що задовільняють поставленим умовам, у такій послідовності: Z_1, Z_2, Z_3 .
3. Обчислення зупинити після отримання достатньої кількості розв'язків.

Контрольний приклад: $\mu_1 = 6,29 \pm 0,1; K = 3; Z_{min} = 17$. Результати наведені в табл. 4.8.

Програма I.II

Визначення параметрів зубчастої пари за заданих x_1 і x_2

Блоки програми

п/п	Призначення блока	Команди
1	Визначення $\sin \alpha$	00-20
2	Визначення α_{tw} /розв'язання рівняння методом Ньютона/	21-46
3	Визначення $\alpha_w, \Delta y$	47-67
4	Визначення $r_i, r_w, r_{ai}, r_{fc} (i=1,2)$	68-98

Позначення див. у п. 4.7.3.

Розподіл пам'яті

0	1	2	3	4	5	6	7	8	9	A	B	C	D	E
$\frac{Z_1 + Z_2}{2}$	$\frac{Z_2}{2}$	$\frac{Z_1}{2}$	x_1	$\frac{x_1 + x_2}{2}$	α_z	$\sin \alpha$	$\cos \beta$	α_{tw}	ϵ^2	α_n	$f_a^* + c^*$	m_1	π	180
2	x_2	$\frac{Z_1}{2}$	x_2	$\frac{Z_1}{2}$	r_0	η	m_t	Δy						

00	ИП3	I7	II6	34	-	51	Fcos	68	5	85	X			
01	ИП1	I8	-	35	II9	52	:	69	II0	86	ИП5			
02	+	I9	+	36	FBx	53	II6	70	ИП7	87	+			
03	II6	20	II7	37	Fx^2	54	ИПД	71	КИП0	88	С/П			
04	ИП4	21	I	38	ИПА	55	ИП8	72	X	89	←			
05	ИП2	22	II9	39	-	56	:	73	С/П	90	ИПС			
06	+	23	ИП9	40	$F_x < 0$	57	II7	74	II5	91	-			
07	II0	24	↑	41	23	58	ИП0	75	ИП6	92	ИПД			
08	:	25	Ftg	42	ИП9	59	X	76	X	93	X			
09	ИП8	26	↑	43	ИПЕ	60	X	77	С/П	94	ИП5			
10	Ftg	27	ИП9	44	:	61	С/П	78	КИП0	95	+			
11	X	28	-	45	K ←	62	FBx	79	↑	96	С/П			
12	FBx	29	ИП1	46	С/П	63	-	80	ИП9	97	БП			
13	ИП8	30	-	47	ИП5	64	ИПД	81	-	98	70			
14	:	31	→	48	ИП6	65	:	82	I					
15	↑	32	Fx^2	49	Fcos	66	-	83	+					
16	Ftg^2	33	:	50	ИП9	67	II9	84	ИПД					

Інструкція користувачу

1. Перемикач "Р/Г" - у положенні "Р".
2. Ванести до пам'яті значення $x_2, z_{2/2}, x_1, z_{1/2}, \varepsilon^2, \alpha_n, f_a + C, m_a, \pi/180$ згідно з II розподілом. Значення α_{tw} - у радианах.

3. Натиснути "В/О", "С/П". На індикатор виводяться α_{tw}, α_w і далі r^*, r_w^*, r_a^*, r_f^* спочатку для шестерні, потім для колеса. Значення α_{tw} виводиться в градусах, хвилинах і секундах.

4. Обчислення прининити після одержання параметрів шестерні і колеса.

5. За необхідності повторити обчислення, змінити дані та повернутися до п. 3.



Команда 45 $K \leftarrow$ переведення десятих часток градуса у хвилини, секунди та їх частки.

Контрольний приклад: $z_{1/2} = 7; z_{2/2} = 13,5; x_1 = 0,52; x_2 = 0,31; \cos \beta = \cos \pi/42 = 0,966; \varepsilon^2 = 1 \cdot 10^{-12}; \alpha_n = \pi/9; f_a + C = 1,25.$

Результати обчислень:

$$\begin{aligned}\alpha_{tw} &= 25^{\circ}18'55,54'' / \text{час рахунку} \approx 1 \text{ хв/} \\ \alpha_w &= 109,84 \text{ мм;} \\ r_1 &= 36,234; \quad r_2 = 69,881; \\ r_w &= 37,509; \quad r_a = 72,340; \\ r_{w1} &= 43,418; \quad r_{w2} = 76,014; \\ r_{a1} &= 32,58; \quad r_{a2} = 65,18.\end{aligned}$$

Програма I.12

Обчислення параметрів зубчастих коліс за заданого α_w .

Позначення див. у п. 4.7.3.

№/п	Призначення блока	Команди
1	Обчислення α	00-10
2	Обчислення γ, α_{tw}	II-38
3	Обчислення $x_1 + x_2$	39-50
4	Обчислення $y, \Delta y$	51-57
5	Обчислення $r_i^*, r_{wi}^*, r_{ai}^*, r_{fi}^* (i=1,2)$	58-88

Розподіл пам'яті

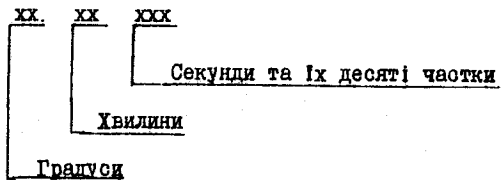
0	1	2	3	4	5	6	7	8	9	А	В	С	Д	Е
α_w	$\frac{z_1+z_2}{2}$	$\frac{z_2}{2}$	α	$z_1/2$	m_t	r_1^*		$\cos\beta$	γ	y	α_{tw}	$x_1 + x_2$	m_n	$\pi/180$
$x_1 + x_2$			x_1			r_2^*								

00 ИПД	15 :	31 :	47 ИПІ	62 X	78 С/П
01 ИП8	16 ПА	32 Fcos ⁻¹	48 X	63 С/П	79 —
02 :	17 ИП0	33 ↑	49 ПО	64 П6	80 ИПС
03 П5	18 ИП3	34 ИПЕ	50 С/П	65 ИП9	81 -
04 ИП2	19 :	35 :	— Ввод	66 X	82 ИПД
05 ИП4	20 П9	36 K ←	51 И3	67 С/П	83 X
06 +	21 ИПВ	37 С/П	52 -	68 КИП0	84 ИП6
07 П1	22 Ftg	38 FQ	53 П1	69 ↑	85 +
08 X	23 ИПВ	39 Ftg	54 ИП0	70 ИПА	86 С/П
09 П3	24 :	40 FBx	55 ИПА	71 -	87 БП
10 С/П	25 ↑	41 -	56 -	72 1	88 60
— Ввод α_w	26 Ftg ⁻¹	42 ↔	57 ПА	73 +	
11 П0	27 -	43 -	58 5	74 ИПД	
12 ИП3	28 FBx	44 ИПВ	59 П0	75 X	
13 -	29 Fcos	45 Ftg	60 ИП5	76 ИП6	
14 ИПД	30 ИП9	46 :	61 КИП0	77 +	

Інструкція користувачу

1. Перемикач "Р/Г" - у положенні "Р".
2. Ввести до пам'яті значення $\alpha_{1/2}$, $\alpha_{1/2}$, $\cos\beta$, α_n , h_a^* , c_a^* , m_n , $\pi/180$ згідно з II розподілом. Значення α_n - у радианах.
3. Натиснути "В/О", "С/П". Порядок виводу: $\alpha_{1/2}$, $x_1 + x_2$. Ввести значення x_1 до реєстру X . Потім виводиться r_1 , r_w , r_a , r_w спочатку для шестерні, потім для колеса. Значення α_{tw} виводиться в градусах, хвилинах, секундах та Іх десятих часток.
4. За необхідності повторити обчислення, змінити вихідні дані і повернутися до п. 3.

Формат виводу



Команда 36 $K \leftarrow$ переведення десятих часток градуса у хвилини та секунди.

Контрольний приклад:

$$\alpha_{1/2} = 7 / 14; \quad \alpha = 106,11 \text{ мм};$$

$$\alpha_{1/2} = 13,5 / 12; \quad \alpha = 110 \text{ мм};$$

$$\beta = 15^\circ \cos\beta \rightarrow PB; \quad \alpha_{tw} = 25^\circ 28' 51,4'' \\ \alpha_n = \pi/9 \rightarrow PB; \quad 70,444 \text{ рад}/;$$

$$h_a^* + c_a^* = 1,25 \rightarrow PC; \quad x_1 + x_2 = 0,866;$$

$$m_n = 5 \text{ мм} \rightarrow PD; \quad x_1 = 0,5;$$

$$\pi/180 \rightarrow PE; \quad r_1 = 36,23; \quad r_2 = 69,88;$$

$$r_{w1} = 37,56; \quad r_1 = 72,44;$$

$$r_w = 43,88; \quad r_{w2} = 76,26;$$

$$r_{f1} = 32,48; \quad r_{f2} = 65,46.$$

Програма I.13

Визначення загальної нормалі прямозубих і косозубих коліс

Позначення див. у п. 4.7.3.3.

п/п	Призначення блока	Команди
1	Обчислення S	00-I2
2	Обчислення S_B	I3-86
3	Обчислення граничного значення W^*	37-45
4	Визначення граничного значення W^{**}	46-56
5	Вибір найменшого значення W	57-62
6	Визначення найбільшого значення $Z_{w_{max}}$	63-76
7	Обчислення довжини загальної нормалі W	77-83

Розподіл пам'яті

0	1	2	3	4	5	6	7	8	9	A	B	C	D	E
x	Z	α_n	m_n		$\frac{r}{W}$	$\cos\alpha$	$\tan\alpha$	$\cos\beta$	β	r_a	$\frac{r}{D}$	S_B	W^*	

00	ИП2	14	ИП3	28	+	42	$F\sqrt{}$	56	ИД	70	X			
01	Ftg	15	2	29	ИП5	43	2	57	ИП5	71	ИВ			
02	И7	16	:	30	ИП2	44	X	58	-	72	:			
03	ИП0	17	X	31	$Fcos$	45	И5	59	$Fx < 0$	73	K[]			
04	X	18	И5	32	И6	46	ИП8	60	63	74	I			
05	2	19	:	33	X	47	I	61	ИИД	75	+			
06	X	20	ИП7	34	ИВ	48	-	62	И5	76	C/II			
07	$F\pi$	21	ИП8	35	X	49	$Fx \neq 0$	63	ИП5	77	I			
08	2	22	:	36	ИС	50	63	64	ИПС	78	-			
09	:	23	1	37	ИПА	51	ИП9	65	-	79	ИПВ			
10	+	24	Ftg^{-1}	38	Fx^2	52	ИП8	66	ИП3	80	X			
11	ИП3	25	-	39	ИПВ	53	$Fcos^{-1}$	67	$F\pi$	81	ИПС			
12	X	26	2	40	Fx^2	54	$Fsin$	68	X	82	+			
13	ИП1	27	X	41	-	55	:	69	ИП6	83	C/II			

Інструкція користувачу

1. Перемикач "Р/Г" - у положенні "Р".
2. Ввести до оперативної пам'яті $x, \mathcal{Z}, \alpha, m_n, \cos\beta, B, r_a$ згідно з її розподілом. Значення α ввести в радіанах.
3. Натиснути "В/О", "С/П". Вивід \mathcal{Z}_{max}, W_z .
4. За бажанням знайти W , що відповідає меншому значенню \mathcal{Z} , ввести \mathcal{Z}_w до реєстру X і натиснути "БП", "76", "С/П". Після цього на індикатор буде виведено знайдене значення W_z .

Контрольний приклад:

$$x = 0,32 \rightarrow \text{П}0$$

$$\mathcal{Z} = 27 \rightarrow \text{П}1$$

$$\alpha = \pi/9 \rightarrow \text{П}2$$

$$m_n = 5 \rightarrow \text{П}3$$

$$\beta = \pi/12 \rightarrow \text{П}8$$

$$B = 40 \rightarrow \text{П}9$$

$$r_a = 76 \rightarrow \text{П}A$$

a

При $B = 40$ мм

$\mathcal{Z}_{max} = 5; W_5 = 69,604$ мм; $S_5 = -10,562$. При $\cos\beta = 1$ і будь-якому \mathcal{Z} $\mathcal{Z}_{max} = 5; W_5 = 69,408; S_5 = 10,36554$.

При $B = 10$ мм

$\mathcal{Z}_{max} = 2; W_2 = 25,322$ мм.

Другий приклад:

$$x = 0,52; \mathcal{Z}_{max} = 3; W = 39,660;$$

$$\mathcal{Z}_1 = 14; \mathcal{Z}_2 = 2; W_2 = 24,899.$$

$$\alpha = \pi/9;$$

$$m_n = 5;$$

$$r_a = 40;$$

$$\cos\beta = 1.$$

Програма I.14

Обчислення ступеня перекриття та перевірка умов відсутності інтерференції

Позначення в п. 4.7.4 і зображені на рис. 4.23.

№ п/п	Призначення блока	Команди
1	Обчислення m_n	00-16
2	Виклик ПІ-І для обчислення L, N_1 і L_2, N_2	17-20
3	Обчислення N_A	21-27
4	Обчислення N_A'	28-33
5	Обчислення $\mathcal{E}_1^2, \mathcal{E}_2, \mathcal{E}$	34-56
6	Підпрограма №2 /обчислення N_L /	57-71
7	Підпрограма №2 /обчислення N_A /	72-81

Розподіл пам'яті

0	1	2	3	4	5	6	7	8	9	А	В	С	Д	Е
$a\rho r$	$x_2 \cdot 2/2$	$x_1 \cdot 2/2 \cos\alpha_t$	r_{α_1}	r_{α_2}	$\cos\beta$	θ	g	$\sin\alpha_t$	m_x	m_n				
00 2	14	ПС	28	ИПА	42	ПО	56	С/П	70	С/П				
01 0	15	5	29	ИП6	43	ИП6	57	КИПО	71	В/0				
02 Ftg	16	ПО	30	Fx^2	44		58	ИПС	72	ИПС				
03 ИП8	17	III	31	ИП4	45	:	59	X	73	X				
04 :	18	57	32	III	46	СП	60	ИПВ	74	ИП6				
05 Ftg'	19	III	33	72	47	ИП9	61	X	75	X				
06 $Fsin$	20	57	34	ИП0	48	ИП8	62	КИПО	76	Fx^2				
07 ПВ	21	ИПА	35	+	49	$Fcos'$	63	I	77	-				
08 FB_x	22	ИП7	36	ИПА	50	Ftg	64	-	78	FV				
09 $Fcos$	23	Fx^2	37	\rightarrow	51	X	65	ИПД	79	-				
10 ИП6	24	ИП2	38	-	52	ИП0	66	X	80	С/П				
11 ИПД	25	III	39	ИПС	53	:	67	ИПВ	81	В/0				
12 ИП8	26	72	40	$F\pi$	54	С/П	68	:						
13 :	27	ПО	41	X	55	+	69	+						

Інструкція користувачу

1. Перемикач "Р/Г" - у положенні "Г".
2. Ввести до оперативної пам'яті величини $x_2 \cdot 2/2$, $x_1 \cdot 2/2$, r_{α_1} , r_{α_2} , $\cos\beta$, θ , g , m_n згідно з таблицею II розподілу.
3. Натиснути "В/0", "С/П". Порядок виводу: $L_1 N_1$, $L_2 N_2$, $N A_1$, $N A_2$, E_1 , E_2 , E_3 , E_4 .
4. Обчислення припинити після отримання значення E .
5. За необхідності повторити обчислення, внести зміни у вихідні дані та повернутися до п. 3.

Контрольний приклад

Вихідні дані

$x_2 = 0,522$	П1
$Z_2/2 = 8,5$	П2
$x_1 = 0,6$	П3
$Z_1/2 = 7$	П4
$r^* = 43,39$	П6
$r^* = 50,765$	П7
$\cos 15^\circ$	П8
$b = 40$	П9
$g = 39,848$	ПА
$m_n = 5$	ПД

Виводи на індикатор

$L_1 N_1 = 7,104 \text{ мм}$
$L_2 N_2 = 8,786 \text{ мм}$
$N_1 A_1 = 10,152 \text{ мм}$
$N_2 A_2 = 12,744 \text{ мм}$
$E_1^* = 1,111$
$E_2^* = 0,659$
$E = 1,771$

Оскільки $L_1 N_1 < N_1 A_1$
і $L_2 N_2 < N_2 A_2$, то ін-
терференція є відсутньою.

Програма I.15

Визначення коефіцієнтів штотого ковзання та штотого тиску
по довжині лінії зачеплення

Позначення див. у п. 7.4.4.

к/п	Призначення блока	Команди
1	Обчислення θ_1	00-12
2	Обчислення θ_2	13-17
3	Обчислення A	18-25
4	Організація циклу	25-31

Розподіл пам'яті

0	1	2	3	4	5	6	7	8	9	А	В	С	Д	Е
P_1	$C - \alpha$	P_2	m	$A P_1$	A									

00 ИП1	06 ИП2	12 С/П	18 ИП4	24 X	30 БП
01 ИП0	07 X	13 ИП6	19 ИП0	25 С/П	31 00
02 С/П	08 :	14 F1/X	20 F1/X	26 ИП0	
03 -	09 П6	15 I	21 ИП3	27 ИП5	
04 П3	10 I	16 +	22 F1/X	28 +	
05 ИП0	11 +	17 С/П	23 +	29 ИП0	

Інструкція користувачу

1. Записати до пам'яті величини ρ , c , α , m , $\Delta\rho$, згідно з II розділом.

2. Натиснути "В/О", "С/П". Порядок виводу: ρ , θ_1 , θ_2 , λ .

3. Обчислення припинити за значень, що є близькими до c .

Контрольний приклад:

$$c = 110; \sin 25^{\circ} 28' 51,4'' = 47,323 \text{ мм};$$

$$m = 5 \text{ мм}; \Delta\rho = 2 \text{ мм}; \alpha = 27/14$$

ρ	θ_1	θ_2	λ
0,5	-47,55	0,979	10,106
2,5	-8,29	0,692	2,11
4,5	-3,93	0,797	1,22
6,5	-2,25	0,692	0,891
8,5	-1,36	0,577	0,717
10,5	-0,818	0,450	0,611
12,5	-0,444	0,307	0,543
14,5	-0,173	0,448	0,494
...
47	0,996	-297	15,17

Програма I.16

Обчислення кінематичних параметрів
за полідинамічного закону руху

Позначення див. у п. 5.2.2.

Загальний вираз для $S^{(\rho)} / \rho = 0, 1, 2/$:

$$S^{(\rho)} = A \kappa^n (q_0 + \kappa (q_1 + \kappa (q_2 + \kappa (q_3 + \kappa (q_4 + \kappa q_4))))).$$

	q_0	q_1	q_2	q_3	q_4	n	A
S	18	-55	78	-56	16	3	h
S'	27	-110	195	-168	56	2	$2h/S_y^2$
S''	27	-165	390	-420	168	1	$4h/S_y^2$

Розподіл оперативної пам'яті

0	I	2	3	4	5	6	7	8	9	A	B	C	D	E
10	<i>Arg</i>	<i>i</i>	<i>n</i>	<i>j</i>	φ_0	φ_1	φ_2	φ_3	φ_4	<i>n</i>	<i>A</i>	ΔK	<i>K</i>	<i>K</i>

00 ИП4	05 ИПА	10 П2	15 +	20 FL3	25	КИП4
01 С/П	06 П3	11 КИП1	16 FL2	21 18	26	БП
02 ИПС	07 ИП0	12 ИПД	17 12	22 ИПВ	27	00
03 X	08 П1	13 X	18 ИПД	23 X		
04 ПД	09 4	14 КИП1	19 X	24 С/П		

N - число відрізків, на які розділено фазовий кут.

Інструкція користувачу

1. Записати величини $N, \varphi_0, \varphi_1, \varphi_2, \varphi_3, \varphi_4, n, A, \Delta K$ згідно з розподілом оперативної пам'яті.
 2. Натиснути "В/О", "С/П". Порядок виводу результатів: $j, S^{(P)}$, де $S^{(P)}$ - переміщення, перша чи друга похідна.
 3. Обчислення припинити після отримання заданого числа значень функції.
 4. За необхідності повторити обчислення відновити значення $j = 0$ в ячейці 4.
- Контрольний приклад: $\varphi_0 = 1; \varphi_1 = 1; A = 1; A' = 2; A'' = 4;$
 $N = 10$.

j	ΔS	S'	S''
0	0,0000	0,0000	0,0000
1	0,0132	0,3557	5,598
2	0,0775	0,9236	5,207
3	0,1927	1,1341	3,1440
4	0,3395	1,5621	1,3130
5	0,5000	1,6250	0,0000

j	ΔS	S'	S''
6	0,6604	1,5621	-1,313
7	0,6072	1,1341	-3,144
8	0,9224	0,9236	-5,207
9	0,9867	0,3557	-5,598
10	1,0000	0,0000	0,000

Програма I.17

Програми обчислення кінематичних параметрів
/сумісні з програмами I.18 і I.19/

Розподіл пам'яті /в одинаковим для всіх програм/.

Позначення див. у п. 5.2.2.

0	1	2	3	4	5	6	7	8	9	A	B	C	D	E
j							ΔS	S'	A''	A'	A	ΔK	K	

I.17.1. Прискорення - поліном Шуна:

$$\Delta S = A_K^3(10 + K(6K - 15));$$

$$A = h;$$

$$S' = A' K^2 (1 + K(K - 2));$$

$$A' = 30h/\varphi;$$

$$S'' = A'' K (1 + K(2K - 3));$$

$$A'' = 60h/\varphi^2.$$

00	ИП0	10	5	20	X	30	X	40	X	50	X			
01	С/П	11	-	21	X	31	+	41	3	51	С/П			
02	I	12	ИПД	22	ИПВ	32	ИПД	42	-	62	FLO			
03	-	13	X	23	X	33	Fx^2	43	ИПД	53	00			
04	ИПС	14	I	24	П7	34	X	44	X					
05	X	15	0	25	I	35	ИПА	45	I					
06	ПД	16	+	26	ИПД	36	X	46	+					
07	6	17	ИПД	27	2	37	П8	47	ИПД					
08	X	18	↑	28	-	38	ИПД	48	X					
09	I	19	Fx^2	29	ИПД	39	2	49	ИП9					

I.17.2. Прискорення - синусоїда:

$$\Delta S = A(2\pi K - \sin 2\pi K);$$

$$A = h/2\pi;$$

$$S' = A(1 - \cos 2\pi K);$$

$$A' = h/\varphi;$$

$$S'' = -A'' \sin 2\pi K;$$

$$A'' = -2\pi h/\varphi^2.$$

00	ИП0	06	ПД	12	$Fcos$	18	П8	24	ИПВ	30	С/П			
01	С/П	07	2	13	I	19	$F2$	25	X	31	FLO			
02	I	08	X	14	↔	20	$Fsin$	26	П7	32	00			
03	-	09	$F\pi$	15	-	21	↑	27	$F2$					
04	ИПС	10	X	16	ИПА	22	FBx	28	ИП9					
05	X	11	↑	17	X	23	-	29	X					

1.17.3. Прискорення - косинусоїда:

$$S'' = A'' \cos \pi \kappa; \quad A'' = \pi^2 h / \varphi_y^2;$$

$$S' = A' \sin \pi \kappa; \quad A' = \pi h / \varphi_y;$$

$$\Delta S = -A(1 - \cos \pi \kappa); \quad A = -h/2.$$

00	ИПО	05	X	10	↑	15	П8	20	X	20	C/П
01	С/П	06	ПД	11	Fx_x	16	Fz_z	21	П7	26	FLO
02	I	07	πR	12	$F \sin$	17	1	22	\rightleftharpoons	27	00
03	-	08	X	13	ИПА	18	-	23	ИП9		
04	ИПС	09	F_{ces}	14	X	19	ИПВ	24	X		

1.17.4. Прискорення - похила пряма:

$$S'' = A''(2\kappa - 1); \quad A'' = -6h / \varphi_y^2;$$

$$S' = A' \kappa (2\kappa - 1); \quad A' = -6h / \varphi_y;$$

$$\Delta S = A \kappa^2 (2\kappa - 3); \quad A = -h.$$

00	ИПО	06	ПД	12	Fx^2	18	I	24	П8	30	ИП9
01	С/П	07	2	13	X	19	-	25	ИПД	31	X
02	I	08	X	14	ИПВ	20	ИПД	26	2	32	C/П
03	-	09	3	15	X	21	X	27	X	33	FLO
04	ИПС	10	-	16	П7	22	ИПА	28	I	34	00
05	X	11	ИПД	17	ИПД	23	X	29	-		

1.17.5. Прискорення кусково-постійне ($S'' = \pm \alpha$):

при $\kappa \leq 0,5$

$$\Delta S = 2A \kappa^2;$$

$$S' = A' \kappa;$$

$$S'' = A'';$$

при $\kappa > 0,5$

$$\Delta S = (1 - 2(\kappa')^2)A;$$

$$S' = A' \kappa';$$

$$S'' = -A'';$$

$$A = h;$$

$$A' = 4h / \varphi_y;$$

$$A'' = 4h / \varphi_y^2;$$

$$\kappa' = 1 - \kappa$$

00	ИП0	09	-	18	↑	27	ИПВ	36	X	45	ИП9
01	С/П	10	$F_x > 0$	19	ИПА	28	X	37	ИП8	46	С/П
02	I	11	34	20	X	29	ИП7	38	ИПД	47	F_x^2
03	-	12	$F_x \neq 0$	21	ИП8	30	ИП9	39	F_x^2	48	00
04	ИПС	13	34	22	F_x^2	31	/-/	40	2		
05	X	14	I	23	F_x^2	32	БП	41	X		
06	ИД	15	↑	24	2	33	46	42	ИПВ		
07	2	16	ИПД	25	X	34	ИПД	43	X		
08	F_1/x	17	-	26	-	35	ИПА	44	ИП7		

Інструкція користувачу

1. Перемикач "Р/Г" - у положенні "Р".
 2. Ввести до оперативної пам'яті $\pi, A'', A', A, \Delta K$ згідно з таблицею II розподілу.
 3. Натиснути "В/О", "С/П". Порядок виводу: j, S'' . Після обчислення S'', S' , ΔS знаходяться в ячейках 8 і 7 та можуть бути викликані на індикатор командами "ИП8" і "ИП7". Вивід виконується в порядку зменшення j , тобто першими обчислюються кінематичні параметри, що відповідають $j = 72$ /кінець віддалення/, останніми - для $j = 1$ /початок віддалення/.
 4. Обчислення закінчити при $j = 1$.
 5. За необхідності повторити обчислення, відновити значення в ячейці 0 і повернутися до п. 3.
- Контрольні приклади виконані для $A'' = 1$; $A' = 1$; $A = 1$; $\Delta K = 0,1$.

j	S''	S'	ΔS	j	S''	S'	ΔS
0	4	0,50	0,000	6	-4	1,6	0,680
1	4	0,40	0,020	7	-4	1,2	0,820
2	4	0,80	0,080	8	-4	0,8	0,920
3	4	1,20	0,180	9	-4	0,4	0,980
4	4	1,60	0,320	10	-4	0,0	1,000
5	4	2,00	0,500				

Поліном Шуна: $K = 0,1$; $S'' = 4,82$; $S' = 0,243$; $\Delta S = 0,008$.

Синусоїда: $K = 0,1$; $S'' = 3,693$; $S' = 0,191$; $\Delta S = 0,006$.

Косинусоїда: $K = 0,1$; $S'' = 4,693$; $S' = 0,485$; $\Delta S = 0,024$.

Програма I.18

Визначення критичних радіусів кривизни КМ типу РТ
/працювати з однією з програм I.17/

Позначення див. у п. 5.3.4.

Розподіл оперативної пам'яті

0	I	2	3	4	5	6	7	8	9	A	B	C	D	E
				ρ_1	ρ_2	S_o	ΔS	S'	A''	A'	A	ΔK	K	

51	ИП7	58	Fx^2	65	ИП7	72	$Fx > 0$	79	И5	86	00		
52	ИП6	59	+	66	$F\sqrt{}$	73	82	80	БП	87	ИП4		
53	+	60	И7	67	ИП7	74	ИП5	81	85	88	С/П		
54	X	61	F_Bx	68	X	75	-	82	ИП4	89	ИП5		
55	F_Bx	62	+	69	$\rightarrow \leftarrow$	76	$Fx < 0$	83	K_{max}	90	С/П		
56	Fx^2	63	$\leftarrow \rightarrow$	70	:	77	85	84	И4				
57	ИП8	64	-	71	И7	78	ИП7	85	FLO				

Інструкція користувачу

- Записати до пам'яті одну з програм I.17 без трьох останніх команд.
- Записати текст програми I.18 починаючи з адреси 51.
- Занести до пам'яті величини $-1 \cdot 10^6$, $+1 \cdot 10^6$, S_o , A'', A', A , ΔK і число точок, для яких виконуються обчислення $(1/\Delta K + 1)$ згідно з таблицею розподілу пам'яті.
- Натиснути "В/О", "С/П". Порядок виводу: j^* / від $\pi + 1$ до 1; потім ρ_1 , ρ_2 .

Контрольний приклад

Закон зміни прискорення – косинусоїда:

$$\Delta K = 1/12; \quad j = 13;$$

$$\rho_1 = -1 \cdot 10^6;$$

$$\rho_2 = 1 \cdot 10^6;$$

$$S_a = 55;$$

$$A' = 90;$$

$$A'' = 30;$$

$$A''' = 10.$$

<i>j</i>	<i>P</i>
13	34,09
12	34,708
11	36,56
10	39,70
9	44,28
8	50,84
7	60,89
6	79,06
5	124,22
4	412,48
3	-258,35
2	-107,21
1	-86,42

Програма I.19

Визначення максимального еквівалентного згинального моменту на кулачковому валу

Позначення див. у п. 5.6.2.

0	1	2	3	4	5	6	7	8	9	A	B	C	D	E
<i>j</i>	\bar{R}	M_E	F_o	c	c_i	S_o	R	S'	A_m^* $\omega^2 \cdot 10^{-3}$	A'	A	ΔK	K	$\ell_j/4$ $-P_c$
50	X	60	ИП6	70	ИП7	80	4	90	3	100	С/П			
51	ИП7	61	+	71	ИП8	81	:	91	:	101	ИП1			
52	ИП4	62	:	72	X	82	+	92	$F10^x$	102	$F\sqrt{ }$			
53	X	63	F_{tg}^{-1}	73	Fx^2	83	$F\sqrt{ }$	93	ИП5	103	X			
54	ИП3	64	$Fcos$	74	ИП3	84	ИП2	94	X	104	С/П			
55	+	65	:	75	ИП8	85	K_{max}	95	С/П					
56	+	66	И7	76	X	86	И2	96	ИП1					
57	ИД	67	ИП1	77	Fx^2	87	FLO	97	$F\sqrt{ }$					
58	ИП8	68	K_{max}	78	3	88	00	98	$F\sqrt{ }$					
59	ИП7	69	И1	79	X	89	F_{tg}	99	X					

Інструкція користувачу

1. Ввести текст однієї з програм I.I7 без трьох останніх команд.
2. Ввести текот програми I.19.
3. Ввести до пам'яті величини $\pi + I; 0,1; 0,1; F_o; c; C_1; S_o$; $A' \cdot 10^{-3}; A; A'; \Delta K; \ell/4$ згідно з таблицею розподілу пам'яті.
4. Натиснути "В/О", "С/П". Порядок виводу: j (від $\pi + I$ до ℓ). Після цього виводиться значення r' . Уводимо значення C_2 до регістру X і натискаємо "С/П". На індикаторі - значення r'' . Уводимо значення C_3 до регістру X і натискаємо "С/П". На індикаторі - значення r_o .
5. За необхідності повторити обчислення, відновити значення 0 і 1 у реєстрах I і 2, $\pi + I$ - у реєстрі 0.

Контрольний приклад за закону руху за косинусоїдою:

$$\pi + I = 13$$

$$\begin{aligned}
 F_o &= 10 \text{ Н} \\
 c &= 9,5 \text{ Н/мм} \\
 S_o &= 55 \text{ мм} \\
 A' \cdot 10^{-3} \omega^2 &= 180 \\
 A' &= 30 \\
 A &= -10 \\
 \Delta K &= 1/12 \\
 C_1 &= 0,2335 \\
 C_2 &= 1,908 \\
 C_3 &= 0,195
 \end{aligned}$$

j	R	M_F	
13	20	500,0	
12	23,01	595,6	
11	32,03	898,7	
10	46,80	1431,1	$r' = 4,05 \text{ мм}$
9	68,68	2182,2	$r'' = 7,05 \text{ мм}$
8	90,31	3071,1	
7	115,64	3974,2	$r_o = 5,21 \text{ мм}$
6	140,02	4734	
5	160,73	5212	
4	175,82	5340	
3	184,83	5170	
2	188,93	48888	
1	190,0	4750	

2. Описання програм для ПМК

Описання містить список ідентифікаторів і текст програми мовою Бейсік. У кінці наведено вказівку на розділ, де використано результати обчислень за даною програмою чи самі результати обчислень.

У більшості програм вивід на друк виконується поетапно. Організацією виводу керує змінна LP , значення якої визначає, результати якого етапу будуть виведені на друк.

У програмах використано двосимвольні ідентифікатори, у більшості аналогічні позначення у тексті, що полегшує читання тексту програми.

Програма 2.1

Призначення цієї програми – виконати кінематичне та динамічне дослідження стругального верстата з верхньою тягою /див. рис. 2.12/; встановити потужність електродвигуна; визначити закон зміни кутової швидкості головного вала, користуючись параболічною апроксимацією характеристики асинхронного електродвигуна.

Список ідентифікаторів програми

Величина	Позначення	
	у тексті	у програмі
I	2	3
<u>Вихідні дані</u>		
Число ділянок	n	N
Довжина кривошипа, м	l	L_1
Ордината центра кривошипа, м	l	$L\emptyset$
Довжина куліси, м	l_c	L_C
Відстань до центра ваги куліси, м	l_s	L_S
Довжина тяги, м	l_4	L_4
Ордината повзуна, м	y_D	Y_D
Момент інерції кривошипа і редуктора, $\text{кг}/\text{м}^2$	J_M	J_M
Момент інерції куліси 3, $\text{кг}/\text{м}^2$	J_3	J_3
Маса повзуна 5, кг	m_5	M_5
Вага куліси 3, Н	G_3	G_3
Потужність двигуна, кВт	P_N	P_N
Частота обертання, хв^{-1} :		
кривошина	n	LIM
ротора номінальна	n_{PH}	NN
синхронна	n^{PC}	NS
Передаточне число редуктора	i_R	zI
Момент інерції ротора електродвигуна, $\text{кг}\cdot\text{м}^2$	J_R	J_R

I	2	3
<u>Масиви</u>		
Безрозмірна сила різання	q	$Q(N)$
Приведений момент сил опору, Н·м	M_c	$M(N)$
Приведений момент інерції, кг·м ²	J_n	$J(N)$
Кутова швидкість початкової ланки, с ⁻¹	ω	$WM(N)$
<u>Прості змінні</u>		
Кут повороту кривошипа, відрахований від крайнього положення, рад	φ	F_1
Кут між кривошипом і віссю ОХ, рад	ϑ	F_1
Початковий кут повороту кривошипа, рад	$\dot{\varphi}$	$F\emptyset$
Координати точки C , м	x_c, \dot{x}_c	xC, yC
Абсциса точки D , м	x_D	xD
Початкове значення x_D , м	x_0	$x\emptyset$
Переміщення точки D від крайнього положення, м	S_D	SD
Відносна швидкість і прискорення повзуна	V_{2-3}, d_{2-3}	VS, AS
Кутова швидкість і кутове прискорення:		
куліси	$\omega_3, \dot{\varepsilon}_3$	$W3, E3$
тяги	$\omega_4, \dot{\varepsilon}_4$	$W4, E4$
Кути повороту куліси та тяги, рад	φ_1, φ_4	$F3, F4$
Швидкість і прискорення точки D , м/с, м/с ²	v_D, a_D	VD, AD
Проекції швидкості точки C , м/с	v_{cx}, v_{cy}	VX, VY
Проекції прискорення точки C , м/с ²	a_{cx}, a_{cy}	AX, AY
Прискорення Коріоліса, м/с ²	a_k	AK
Середня кутова швидкість кривошипа, 1/с	$\bar{\omega}$	W
Приріст кута повороту, рад	$\Delta\varphi$	DF
Кутова швидкість кривошипа, с ⁻¹ :		
номінальна	ω_n	WN
синхронна	ω_s	WS
Коефіцієнти параболи	A, B	A, B
Максимальна та мінімальна кутові швидкості кривошипа, с ⁻¹	$\omega_{max}, \omega_{min}$	WG, WL
Коефіцієнт нерівномірності	δ	D
Момент інерції маховика, кг·м ²	ΔJ	DJ
Час одного оберту, с	T	

Допоміжні величини

$\cos \varphi_3$	$C3$
$\sin \varphi_3$	$S3$
$\operatorname{tg}(\varphi_3/2)$	$U3$
Σ	SI

$\cos \varphi_4$	$C4$
$\sin \varphi_4$	$S4$
$\cos(\varphi_3 - \varphi_4)$	C
$\sin(\varphi_3 - \varphi_4)$	S

Программа 2.1

```

5 PRINT "PROGRAM PR2_1":RESTORE:PI=3.141592654#:P=1
10 N=12
15 READ L0,L1,LC,L4,YD,UM
20 READ JM,J3,M5,G3,LS
25 DATA 0.62,-0.2,1,-0.2,0.29,1,-0.55
30 DATA 186,18,-25,190,0,-35,0.5
31 FO=ATN(-L1/SQR(L0*L0-L1*L1)):W=PI*UM/30:T=60/UM
35 IF P<3 GOTO 60
40 N=24:INPUT "Введите силу резания в кН",K1DM=.0001
45 DIM J(N),M(N),WM(N),Q(N)
50 FOR I=0 TO N:READ Q(I):NEXT I:GOTO 69
55 DATA 0,0,1,1,1,1,1,1,1,1,1,1,0,0,0,0,0,0,0,0,0,0,0,0,0,0
60 PRINT TAB(15); "PART "+P
64 ON P GOTO 65,67,69
65 PRINT TAB(3); "I";TAB(9); "F3";TAB(19); "W3";TAB(29); "E3";
66 PRINT TAB(39); "L3";TAB(49); "V23";TAB(59); "A23":GOTO 69
67 PRINT TAB(3); "I";TAB(9); "F4";TAB(19); "W4";TAB(29); "E4";
68 PRINT TAB(39); "SD";TAB(49); "VD";TAB(59); "AD"
69 DF=2*PI/N
70 FOR I=0 TO N
75 F=I*DF:F1=F+F0:L3=SQR((L1*COS(F1))^2+(L0+L1*SIN(F1))^2)
80 C3=L1*COS(F1)/L3:S3=(L0+L1*SIN(F1))/L3:U3=S3/(1+C3)
85 F3=2*ATN(U3):S=SIN(F1-F3):C=COS(F1-F3)
90 VS=-L1*W*S+W3=L1*W*C/L3:AK=2*W3*VS
95 IF P=3 GOTO 105
100 AS=L3*W3*K3-L1*W*W*C:E3=-(AK+L1*W*W*S)/L3
101 IF P=2 GOTO 105
102 PRINT USING "####";I;
103 PRINT USING "#####.#####";F3*180/PI;W3;E3;L3;VS;AS
104 GOTO 170
105 XC=LC*C3:YC=LC*S3:Y4=YD-YC:X4=SQR(L4*L4-Y4*Y4)
106 S4=Y4/L4:C4=X4/L4:T4=Y4/X4
110 F4=ATN(T4):XD=XC+L4*C4
115 IF I=0 THEN XO=XD
120 SD=XD-XO
125 VX=-LC*W3*S3:VY=LC*W3*C3
130 W4=-VY/(L4*C4):VD=VX-L4*K4*S4
135 IF P=3 GOTO 160
140 AX=(-E3*S3-W3*W3*C3)*LC:AY=(E3*C3-W3*W3*S3)*LC
145 E4=(L4*W4*W4*S4-AY)/(L4*C4)
150 AD=AX-L4*W4*W4*C4-L4*E4*S4
152 PRINT USING "##";I;
153 PRINT USING "#####.#####";F4*180/PI;W4;E4;SD;VD;AD
155 IF P<3 GOTO 170
160 J(I)=JM+J3*(W3/W)^2+M5*(VD/W)^2
165 M(I)=1000*(Q(I)*VD*K-LS*G3*W3*C3)/W
170 NEXT I:P=P+1:STOP
171 IF P<4 GOTO 35
173 PRINT TAB(3); "I";TAB(9); "J(I)";TAB(19); "M(I)";
174 PRINT TAB(34); "I";TAB(40); "J(I)";TAB(50); "M(I)"
175 FOR I=0 TO 11
176 PRINT USING "##";I;
177 PRINT USING "#####.#####";J(I);M(I)/100;
178 PRINT " "

```

```

179 PRINT USING "####";I+13;
180 PRINT USING "####.###";J(I+13);M(I+13)/100
182 NEXT I
183 PRINT " 12";
184 PRINT USING"####.###";J(12);M(12)/100
185 I=0: SI=M(I)
186 I=I+1: SI=SI+4*M(I)
187 IF I=N-1 GOTO 205
200 I=I+1: SI=SI+2*M(I): GOTO 190
205 I=I+1: SI=SI+M(I):PRINT:PRINT
210 PE=ABS(SI*DF/(3*T))/1000
211 PRINT USING"##.##";"          PE=";PE;
212 PRINT "   kW"
215 INPUT "PN=",PN:INPUT"NN=",NN:INPUT"NS=",NS
216 INPUT"JR=",JR:UR=NN/UM:PRINT"UR=";UR;
217 WN=NN*PI/(30*UR):WS=NS*PI/(30*UR):MN=1000*PN/WN
225 PRINT "   MN=";MN;
230 B=MN/(WS^2-WN^2):B=BS*WS:PRINT"A=";A;"   B=";B:PRINT
231 PRINT TAB(25);"PART 4"
235 FOR I=0 TO N:J(I)=J(I)+JR*UR*UR:NEXT I
240 PRINT "   JC=";J(O):DJ=0:Y=1
245 PRINT"      DJ=";DJ:WM(O)=WN
251 STOP
255 FOR I=1 TO N
260 D1=(J(I-1)+DJ-B*DF)*WM(I-1)^2
265 D2=(M(I-1)+M(I)+2#)*DF:D3=J(I)+DJ+B*DF
270 WM(I)=SQR((D1+D2)/D3)
275 NEXT I:PRINT"Y=";Y;WM(O)=";WM(O);WM(N)=";WM(N),WM(N)-WM(O)
280 IF ABS(WM(O)-WM(N))< DM GOTO 290
285 WM(O)=WM(N):GOTO 255
290 WG=0: WL=100: FOR I=0 TO N:PRINT "I=";I,"WM=";WM(I)
295 IF WM(I)>WG THEN WG=WM(I)
300 IF WM(I)<WL THEN WL=WM(I)
305 NEXT I:D=(WG-WL)*2/(WG+WL)
310 PRINT "   WL=";WL;"      D=";D
320 INPUT"Продолжать ли расчет ?      ",Z$
325 IF Z$<>"Y" GOTO 335
330 INPUT "DJ=";DJ: GOTO 245
335 INPUT "Нужна ли распечатка W(I) ?      ",Z1$
340 IF Z1$<>"Y" GOTO 395
345 CLS:PRINT TAB(16);"Главовая скорость кривошипа при "
350 PRINT TAB(19);"установившемся движении ":"PRINT
355 PRINT TAB(17);"I";TAB(22);"W";TAB(33);"I";TAB(38);"W"
360 FOR I=0 TO 11 :PRINT TAB(15);" ";
365 PRINT USING "##";I;
370 PRINT USING "  .####";WM(I);
375 PRINT USING "  ##";I+13;
380 PRINT USING "  .####";WM(I+13):NEXT I
385 PRINT TAB(16);"12";
390 PRINT USING "  .####";WM(12)
395 PRINT TAB(15);"THE END"
400 END

```

Інструкція користувачу

1. Занести до оперативної пам'яті текст програми.
2. Записати в рядках 25 і 30 програми значення $L0, L1, LC, L4, YD, tM, J3, M5, G3, LS$.
3. Запустити програму на виконання. Після закінчення кінематичного аналізу групи /2, 3/ на екран виводиться таблиця значень $F3, W3, E3, L3, VS, AS$. Кут $F3$ виводиться в градусах.
4. Після закінчення кінематичного аналізу групи /4, 5/ на екран виводиться таблиця значень $F4, W4, E4, SD, VD, AD$. Кут $F4$ виводиться в градусах. Після закінчення пп. 3 і 4 ЕОМ зупиняється і результати розрахунку можуть бути роздруковані командою **PRINT SCREEN**.
5. Обчислюються значення приведеного моменту рушійних сил, приведеного моменту інерції та виводяться у вигляді таблиці на екран.
6. Обчислюється та виводиться на екран потужність технологічних сил. За каталогом треба вибрати електродвигун і за запитом ЕОМ ввести такі дані:
 - номінальну потужність двигуна, кВт;
 - його номінальну частоту обертання, I/xv ;
 - синхронну частоту обертання, I/xv ;
 - момент інерції ротора, $kg \cdot m^2$.
7. Після запуску на рахунок на екран виводяться значення $t(R, MN, A, B, JC)$ і починається розрахунок нерівномірності обертання при $W(O) = WN$.
8. Після підрахунку кожного оберта виводяться значення $W(O)$ і $W(N)$, а також різниця $W(O) - W(N)$.
9. За досягнення необхідної точності у виконанні умов періодичності на екран виводиться мінімальне значення WL і коефіцієнт нерівномірності обертання.
10. За запитом ЕОМ "Чи продовжувати розрахунок?" користувач уводить Y або N . Якщо введено Y , видається запит на величину DJ . Користувач уводить її та отримує результати за нового значення JC /повернення до п. 8/.
11. Якщо введено N , то ЕОМ робить запит, чи роздрукувати таблицю значень $WM(I)$ у 24 розрахункових точках. Якщо ввести Y , друкується таблиця значень $WM(I)$. Якщо ввести N , програма завершує роботу.

Програма 2.2

Розв'язання оберненої задачі кінематики манипуляційної системи, що працює в сферичній системі координат у разі руху схвата по окружності заданого радіуса /див. рис. 2.22, 2.23/

Список ідентифікаторів програми

Величина I	Позначення	
	у тексті 2	у програмі 3
<u>Вихідні дані</u>		
Найбільше допустиме прискорення, м/с^2	a_m	AM
Найбільша допустима швидкість, м/с	v_m	VM
Радіус кривизни траекторії, м	R	R
Координати початкової точки траекторії, м	x_1, y_1	$X1, Y1$
Координати кінцевої точки траекторії, м	x_2, y_2	$X2, Y2$
<u>Шукані величини</u>		
Кут повороту руки відносно осі Ox , рад	φ_2	$F2$
Кутова швидкість руки, $1/\text{с}$	ω_2	$W2$
Кутове прискорення руки, $1/\text{с}^2$	ϵ_2	$E2$
Виліт руки, м	l_3	$L3$
Швидкість висування руки, м/с^2	V_{2-3}	VS
Прискорення висування руки, м/с^3	a_{2-3}	AS

I	2	3
<u>Проміжні величини</u>		
Час руху поточний, с	t	T
Повний час руху схвата, с	T	TM
Час розгону, с	t_1	T_1
Час рівномірного руху, с	t_2	T_2
Відстань між початковою та кінцевою точками траекторії, м	d	D
Переміщення схвата, м	s	S
Шлях розгону, м	s_1	S_1
Шлях рівномірного руху, м	s_2	S_2
Ознака напряму руху, м	q	Q
Координати центра траекторії, м	x_c, y_c	XC, YC
Координати схвата, м	x_a, y_a	XA, YA
Кут між прямою $A_1 A_2$ та віссю ОХ, рад	φ_0	$F\emptyset$
Кут між прямими $A_1 A_2$ і $A_1 C$, рад	β	B
Полярні кути початкової та кінцевої точок траекторії, рад	θ_1, θ_2	U_1, U_2
Поточне значення полярного кута, рад	θ	U
Приріст полярного кута, рад	$\Delta\theta$	DU
Швидкість центра схвата, м/с	v	V
Проекції швидкості центра схвата, м/с	v_{AX}, v_{AY}	VX, VY
Прискорення центра схвата, м/с ²	a	A
Проекції тангенціального прискорен- ня, м/с ²	a_x^T, a_y^T	TX, TY
Нормальне прискорення схвата, м/с ²	a_n	AN
Проекції нормального прискорення, м/с ²	a_x^n, a_y^n	NX, NY
Прискорення Коріоліса, м/с ²	a_k	AK
Проекції повного прискорення схва- та, м/с ²	a_x^{2-3}, a_y^{2-3}	AX, AY

Программа. 2.2

```

5 PRINT" PROG 2_2":RESTORE
10 READ X1,Y1,X2,Y2,R,AM,VM,N:INPUT"P=",P:INPUT"K=",K
15 DATA 1.4,-5.,-3.1,-1.9,-3.,24
20 PRINT TAB(15); "PART ";P:PI=3.141592654#
25 D=SQR((X1-X2)^2+(Y1-Y2)^2):SF=(Y2-Y1)/D:CF=(X2-X1)/D
30 F0=2*ATN(SF/(1+CF)):C=SQR(R*R-D*D/4):B=ATN(2*C/D)
35 XC=X1+R*COS(F0+B*K):YC=Y1+R*SIN(F +B*K)
40 SU=(Y1-YC)/R:CU=(X1-XC)/R:U1=2*ATN(SU/(1+CU))
45 SU=(Y2-YC)/R:CU=(X2-XC)/R:U2=2*ATN(SU/(1+CU))
50 Q=SGN(U2-U1):SM=R*ABS(U2-U1)
55 T1=VM/AM:S1=AM*T1/2:S2=SM-2*S1
60 IF S2>0 THEN GOTO 70
65 T1=SQR(SM/AM):TM=2*T1:S2=0:GOTO 75
70 T2=(SM-2*S1)/VM:TM=2*T1+T2
71 DT=TM/N
72 ON P GOTO 73,74,75,77,250
73 PRINT "TM";TM;"U1=";U1;"U2=";U2;"SM=";SM: GOTO 200
74 PRINT:PRINT TAB(3); "I";TAB(7); "A";TAB(15); "V";TAB(23); "S":GOTO 80
75 PRINT:PRINT TAB(3); "I";TAB(9); "XA";TAB(18); "YA";TAB(27); "VX";
76 PRINT TAB(36); "VY";TAB(45); "AX";TAB(54); "AY": GOTO 80
77 PRINT:PRINT TAB(3); "I";TAB(9); "L3";TAB(18); "F2";TAB(27); "W2";
78 PRINT TAB(36); "VS";TAB(45); "AS";TAB(54); "E2"
80 FOR I=0 TO N:T=I*DT
85 IF T>T1 GOTO 95
90 A=AM:V=A*T:S=A*T*T/2: GOTO 115
95 IF S2=0 GOTO 110
100 IF T>TM-T1 GOTO 110
105 A=0:V=VM:S=S1+VM*(T-T1): GOTO 115
110 A=-AM:V=AM*(TM-T):S=SM-(TM-T)^2*AM/2
115 IF "P>2 THEN GOTO 120
116 PRINT USING "###";I;
117 PRINT USING "###.###";A;V;S
118 GOTO 190
120 U=U1+S*Q/R:XA=XC+R*COS(U):YA=YC+R*SIN(U)
125 VX=-Q*V*SIN(U):VY=Q*V*COS(U)
130 TX=-Q*A*SIN(U):TY=Q*A*COS(U)
135 AN=V*V/R:NX=-AN*COS(U):NY=-AN*SIN(U)
140 AX=TX+NX:AY=TY+NY
145 IF P<>3 THEN GOTO 155
146 PRINT USING "###";I;
147 PRINT USING "###.###";XA;YA;VX;VY;AX;AY
148 GOTO 190
155 L3=SQR(XA*X+A*YA):F2=ATN(YA/XA)
165 W2=(VY*COS(F2)-VX*SIN(F2))/L3:VS=VX*COS(F2)+VY*SIN(F2)
175 AK=2*W2*VS:AS=AX*COS(F2)+AY*SIN(F2)+L3*W2+W2
180 E2=(AY*COS(F2)-AX*SIN(F2)-AK)/L3
181 IF P=5 GOTO 187
185 PRINT USING "###";I;
186 PRINT USING "###.###";L3;F2;W2;VS;AS;E2:IF "P>5 GOTO 190
187 XG=CINT(30+XA*MX):YG=CINT(190-YA*MY):N1=1
188 IF T<T1 OR T>TM-T1 THEN N1=2
189 PSET(XG,YG),N1
190 NEXT I

```

```

200 GOTO 310
250 CLS:SCREEN 1:COLOR 0,4
255 FOR I=0 TO 6:GX=30+I*25:GY=65+I*25
260 LINE (GX,65)-(GX,190)
265 LINE (30,GY)-(180,GY):NEXT I
270 MX=100:MY=100
275 XG1=CINT(30+X1*MX):YG1=CINT(190-Y1*MY)
280 XG2=CINT(30+X2*MX):YG2=CINT(190-Y2*MY)
285 LINE (XG1-2,YG1+2)-(XG1+2,YG1-2),1,B
290 LINE (XG2-2,YG2+2)-(XG2+2,YG2-2),1,B
300 LINE(100,70)-(205,130),1,B
305 PAINT(110,120),2,1:STDOP:GOTO 80
310 END
585 PSET(XG1,YG1),1
590 PSET(XG2,YG2),1

```

Інструкція користувачу

1. Ввести до оперативної пам'яті текст програми.
2. У рядку 15 записати значення $X_1, Y_1, X_2, Y_2, R, AM, VM$.
3. За запитом ЕОМ ввести число ділянок, ознаку розташування центра кривизни траекторії. Якщо центр розташовано ліворуч від прямої A, A_2 , то $K = +1$; якщо праворуч, $K = -1$.
4. Ввести номер виконуваної частини:
 1 - вивід значень ТМ U_1, U_2, SM ;
 2 - вивід таблиці значень A, V, S ;
 3 - вивід таблиці значень XA, YA, VX, VY, AX, AY ;
 4 - вивід таблиці значень $L_3, F_2, W_2, VS, AS, E_2$;
 5 - графічне уявлення результатів на екрані.

За графічного уявлення результата на екрані виводиться координатна сітка, габарити перешкоди, початкова та кінцева точки траекторії. Потім траекторія розмічається рівновіддаленими в часі точками. Ділянки розбігу та вибіту помічаються одним кольором, а ділянки усталеного руху іншим.

Контрольний приклад.

При $X_1 = 1,4; Y_1 = 0,5; X_2 = 0,3; Y_2 = 1,0; AM = 3,0;$
 $VM = 1,0; N = 12.$

Розв'язок у точці O :

$L_3 = 1,4866; F_2 = 0,3430; VS = 0; W_2 = 0; AS = -0,1954;$
 $E_2 = 2,0137.$

Програма 2.3

Дослідження розгону машинного агрегату

Дослідження виконується за допомогою рівнянь Лагранжа другого роду. Їх інтегрування виконується методом Рунге - Кутта у модифікації Мерсона, що дає змогу оцінити похибку на кожному кроці інтегрування. Результати наводяться у вигляді таблиці чи графіків.

Оператори, що залежать від виду механізму, винесені до підпрограми. До приведеної підпрограми занесено дані для розрахунку агрегату з виконавчим кривошильно-позвуничним механізмом. У разі розгону сила опору взята такою, що дорівнює нулю і включається після досягнення номінальної кутової швидкості. За усталеного руху взято силу опору

$$P_c = \begin{cases} 0 & \text{при } \vartheta < \vartheta_0 < 2\pi; \\ q g^2 \tau_l & \text{при } 0 \leq \vartheta \leq \vartheta_0, \end{cases}$$

де q - коефіцієнт пропорційності; τ_l - коефіцієнт завантаження агрегату.

Список ідентифікаторів основної програми

Величина I	Позначення	
	у тексті 2	у програмі 3
Число рівнянь	n	N
Незалежна змінна /час/	t	X
Параметр циклу		J
Значення функцій на лівій границі відрізка інтегрування	$y_{j,i}$	$Z(J)$
Значення функцій на правій границі відрізка інтегрування	$y_{j,i+1}$	$Y(J)$
Значення похідних	f_j	$F(J)$
Приrostи функцій на різних етапах розв'язання задачі	k_0, k_1, k_2, k_3	$K0(J), K1(J), K2(J), K3(J), K4(J)$
Крок інтегрування	h	H
Похибка інтегрування	R	M
Найбільша похибка	R_{max}	JM
Функція, для якої похибка є макомільною	f_m^{max}	JM

I	2	3
<u>Список ідентифікаторів підпрограми</u>		
Довжина кривошипа, м	ℓ_1	L1
Відношення довжини шатуна до довжини кривошипа	λ	L
Маса повзуна, кг	m_3	M3
Вага повзуна, Н	G_3	G3
Коефіцієнт, Н/рад	q	Q
Коефіцієнт завантаження	U	U
Постійна складова приведеного моменту інерції, кг·м ²	J_c	JC
Приведений момент інерції, кг·м ²	J_n	J1
Кутова швидкість кривошипа, с ⁻¹ :		
номінальна	ω_n	WH
синхронна	ω_c	WS
поточна	ω	W1, Y(1)
Кут повороту, рад:		
кривошипа	φ	F1, Y(2)
шатуна	φ_1	F2
Аналог, м:		
кутової швидкості шатуна	$\tilde{\omega}_2$	W
швидкості повзуна	S	S1
кутового прискорення шатуна	$\tilde{\epsilon}_2$	E
прискорення повзуна	a_s	A
Номінальний момент на кривошипі, Н·м	M_n	MN
Похідна, кг·м ²	$dJ_n/d\varphi$	D
Приведений момент, Н·м:		
двигуна	M_f	ME
опору	M_c	M
Потужність двигуна, Вт	P	P
Критичне ковзання	S	SM
Коефіцієнт перевантаження	M_k/M_n	KM
Поточне ковзання	S	SK

Програма 2.3

```

5 PRINT"PROG 2_3":PI=3.141592654:DAT$="22 06 91"
10 L1=-.0375:L=3.5:JC=35.6:M3=30:G=300:I0=3040:P=1100
15 WN=10:WS=10.714:SM=.275:KM=2.2:MN=P/WN:INPUT"Tend=",XE
20 PRINT TAB(10); "DATE "; DAT$; INPUT"GR "; GR
25 INPUT"H=", H:N=2:U=0:UM=0:SG=0:ST=0:INPUT "KP=", KP
30 DIM F(N),Y(N),K0(N),K1(N),K2(N),K3(N),K4(N),Z(N)
35 X=0:FOR J=1 TO N:Y(J)=0:Z(J)=Y(J):NEXT J
36 IF GR<>0 GOTO 400
40 PRINT:PRINT TAB(9); "T";TAB(22)"W";TAB(35)"FI";
45 PRINT TAB(48); "R";TAB(58)"UM";TAB(63); "U"
55 PRINT USING "#####.####";X;Y(1);Y(2)
60 IF SG=1 GOTO 67
61 IF Y(1)<=WN GOTO 67
62 IF Y(2)>PI GOTO 67
63 SG=1:U=1
64 IF GR=0 GOTO 67
65 X0=CINT(30+X*MX):LINE(X0,10)-(X0,190),2
66 LINE(X0,175)-(290,190),2,B:PAINT(X0+5,180),3,2
67 ST=ST+1: GOSUB 300
68 FOR J=1 TO N:K0(J)=F(J)*H
70 Y(J)=Z(J)+K0(J)/3:NEXT J
75 X=X+H/3:GOSUB 300
80 FOR J=1 TO N:K1(J)=F(J)*H
85 Y(J)=Z(J)+(K0(J)+K1(J))/6:NEXT J
90 GOSUB 300
95 FOR J=1 TO N:K2(J)=F(J)*H
100 Y(J)=Z(J)+(K0(J)+3*K2(J))/8:NEXT J
105 X=X+H/6:GOSUB 300
110 FOR J=1 TO N:K3(J)=F(J)*H
115 Y(J)=Z(J)+(K0(J)-3*K2(J))/2+2*K3(J):NEXT J
120 X=X+H/2: GOSUB 300
125 FOR J=1 TO N:K4(J)=F(J)*H
130 Y(J)=Z(J)+(K0(J)+4*K3(J)+K4(J))/6:NEXT J
135 IF Y(2)<2*PI GOTO 140
136 Y(2)=Y(2)-2*PI:UM=UM+1
140 RM=0:FOR J=1 TO N
145 R=ABS(9*K2(J)+K4(J)-8*K3(J)-2*K0(J))/30
150 IF R<RM GOTO 160
155 RM=R:JM=J
160 NEXT J
161 IF GR =0 GOTO 164
162 GX=CINT(30+X*MX):GY=CINT(190-Y(1)*MY)
163 PSET (GX,GY),1:GOTO 180
164 IF INT(ST/KP)<ST/KP GOTO 180
165 PRINT USING"#####.###";X;Y(1);Y(2);
166 PRINT " ";
170 PRINT USING"##.###";RM;
175 PRINT USING"###";UM;U
180 FOR J=1 TO N:Z(J)=Y(J):NEXT J
185 IF X<XE GOTO 60
190 STOP
195 IF GR=0 GOTO 205
200 SCREEN 2:SCREEN 0
205 PRINT TAB(20); "THE END"
210 END

```

```

300 W1=Y(1):F1=Y(2)
305 SK=(WS-W1)/WS
310 ME=2*MN*SK*SM*KM/(SK*SK+SM*SM)
315 F2=-ATN(SIN(F1))/SQR(L*L-SIN(F1)*SIN(F1)))
320 W=COS(F1)/(L*COS(F2))
325 S1=-L1*SIN(F1-F2)/COS(F2)
330 E=(SIN(F2)+L*W*W*SIN(F2))/(L*COS(F2))
335 A=-L1*(COS(F1)+L*(E*SIN(F2)+W*W*COS(F2)))
340 J1=JC+M3*S1*S1
345 IF F1>PI GOTO 355
350 M=(Q*U*F1*F1-G)*S1:GOTO 360
355 M=-G*S1
360 D=2*M3*S1*A
365 F(1)=(ME+M-W1*W1*D/2)/J1:F(2)=W1
370 RETURN
400 CLS:SCREEN 1:COLOR 0,4
405 FOR I=0 TO 10:GX=30+I*26
410 LINE (GX,10)-(GX,190):NEXT I
415 FOR I=0 TO 6:GY=10+I*30
420 LINE (30,GY)-(290,GY):NEXT I
425 MX=65:MY=15
430 GOTO 60

```

Інструкція користувачу

1. Ввести програму до пам'яті. У рядках 10 і 15 записати вихідні дані.

2. Пустити програму на виконання. За запитом ЕОМ ввести час закінчення рахунку та ознаку способу наведення результатів GR . При $GR = 1$ виводяться графіки, при $GR = 0$ - таблиці. За запитом ЕОМ треба ввести величину КР, що встановлює кратність друку обчислених даних /при КР = 2 виводиться кожна друга точка/, крок інтергування Н.

3. При $GR = 0$ на друк виводиться значення часу, кутової швидкості, кута повороту, похибки інтегрування, число повних обертів кривошипа та ознака, чи ввімкнено опір.

4. При $GR = 1$ на екран наноситься координатна сітка і виводиться графік кутової швидкості. Момент включення сили опору помічається вертикальною прямою. Відстань між вертикальними прямими дорівнює 0,4 с, між горизонтальними $- 2 \text{ c}^{-1}$.

Контрольний приклад описано в п. 3.4.4.4.

Програма 2.4

Геометричний синтез планетарних редукторів типів АА і АІ. Постановка задачі: знайти числа зубів редуктора, що забезпечують отримання передаточного числа із заданим допуском і задовільняють умови складання, співвісності та сусідства.

Список ідентифікаторів

Величина	Позначення	
	у тексті	у програмі
Числа, що є кратними модулям першого та другого ступенів	μ_1, μ_2	$M1, M2$
Числа зубів коліс ступеня:		
першого	Z_1, Z_2	$Z1, Z2$
другого	Z'_1, Z'_2	$Z2, Z3$
Передаточне число оберненого редуктора	A	D
Допустима похибка передаточного числа	Z_{26}, Z_{2H}	ZB, ZH
Границі значення числа зубів колеса 2 НОД (Z_1, Z_2)	Z_L, Z_H	L, H
Число пар сателітів	K	K
Параметр, що є пропорційним $Z_1 + Z_2$	e	E
Мінімально допустиме число зубів	Z_{min}	ZM
Сума чисел зубів першого ступеня	\sum_1	$S1$
Сума /різниця/ чисел зубів другого ступеня	\sum_2	$S2$
Величина, що використовується для перевірки умови складання	R	R
Ознака типу редуктора /для типу AA маємо $y = 1$, для типу AI маємо - $y = -1$ /	y	Y
Допоміжні величини під час визначення НОД за методом Евкліда	q, a B, r	QE, AE BE, RE
Допоміжні величини у разі визначення e_{min}	P q	PA, PB QA, QB
Мінімальне значення e за умови:		
/4.35/	e'_{min}	EA
/4.36/	e''_{min}	EB

Программа 2.4

```
4 PRINT"PROG 2_4E":DT$="03 07 91"
5 INPUT"Zmax=",F:I=1
6 PRINT TAB(20);DT$:PI=3.141592:PRINT
7 DIM Z1(50),Z2(50),W2(50),Z3(50)
10:M1=d:M2=7:U0=30:29:D=0.5:ZM=17:K=3:Y=-1:V=SIN(PI/K)
15:P=ZM*(M1+Y*M2)/(M1*M2):Q=-ZM*ZM*(U0-Y)/(M1*M2)
20:EA=P/2+SQR(P*P/4-Q):EA=INT(EA)
21:P=(M2*ZM-V-3*M1)/(M1*M2*V):Q=-ZM*(U0+ZM+3)/(M1*M2*V)
22:EB=-P/2+SQR(P*P/4-Q):EB=INT(EB):E=EB
25:IF EA>EB THEN E=EA
26 PRINT TAB(13);"I";TAB(19);"Z1";TAB(26);"Z2";TAB(32);"Z3";
27 PRINT TAB(40);"Z3";TAB(47);"L1";TAB(54);"L2":PRINT
30 E=E+1
35:W2=ZM:S1=E*M2:S2=E*M1
40:Z3=S2-Y*W2
45:ZB=B1/((1+Z3/((U0+D)*W2)):Z2=INT(ZB)
50:Z1=S1-Z2:IF Z1<ZM GOTO 30
55:ZH=S1/((1+Z3/((U0-D)*W2))
60:IF Z2>ZH GOTO 70
65:W2=W2+1:GOTO 40
70:W=Z2*Z3-Y*Z1*W2:BE=Z2:AE=W2
75 GOSUB 575
95 R=W/(K*L)
100:IF R-INT(R)=0 GOTO 110
105:GOTO 65
110:A1=(Z1+Z2)*V:B1=Z2+3
115:IF A1>B1 GOTO 121
120:GOTO 30
121 Z1(I)=Z1:Z2(I)=Z2:W2(I)=W2:Z3(I)=Z3:I=I+1
122 BE=Z2:AE=Z1:GOSUB 575:L1=L
123 BE=Z3:AE=W2:GOSUB 575:L2=L
125 PRINT" "
130 PRINT USING"#####";I;Z1;Z2;W2;Z3;L1;L2
135 IF Z2 > F OR Z3 > F GOTO 145
140 GOTO 65
145 END
575:QE=INT(BE/AE)
580 RE=BE-AE*QE
585 IF RE=0 GOTO 595
590:BE=AE:AE=RE:GOTO 575
595 L=AE
600 RETURN
605 END
```

Інструкція користувачу

1. Ввести текот програми до оперативної пам'яті машини.
2. Вихідні дані записати в рядок 10.
3. Пустити програму на виконання. За запитом ЕОМ ввести значення Z_{max} .

4. Виводиться таблиця значень чисел зубів, що задовольняють умовам, а також НД (Z_1, Z_2) і (Z_2, Z_3) . Це дає змогу вибрати варіанти розв'язань, в яких число зубів немає загальних множників.

Контрольний приклад:

$$Y = -1; \quad U_o = 30,29; \quad \mu_I = 4; \quad \mu_{II} = 7; \quad Z_{min} = 17; \quad K = 3.$$

Результати обчислення наведені в табл. 4.9.

Програма 2.5

Міцнісний розрахунок і визначення критеріїв
оптимальності планетарних редукторів типів АА і АГ

За заданими числами зубів визначається значення модуля, що забезпечує контактну і згинальну витривалість передачі. Потім користувач вводить стандартне значення модуля і переобчислюється необхідна ширина зуба. Після цього визначається приведений момент інерції, сума рухомих мас і габаритний /радіальний/ розмір редуктора.

Список ідентифікаторів

Величина	Позначення	
	у текоті	у програмі
I	2	3
Числа зубів коліс	Z_1, Z_2	Z_1, Z_2
Передаточні числа першого і другого ступенів	Z'_2, Z_3	$ZD, Z3$
Коефіцієнт ширини зуба	U_1, μ_2^{II}	U_1, μ_2^{II}
Коефіцієнти для розрахунку Y_F	B, C^{ed}	B, C
Коефіцієнти форми зуба шестерінок першого та другого ступенів	Y_{F1}, Y_{F2}	Y_1, Y_2

I	2	3
Коефіцієнти для розрахунку на контактну витривалість першого та другого ступенів	A_{H_1}, A_{H_2}	H_1, H_2
Коефіцієнти для розрахунку на згинальну витривалість першого та другого ступенів	A_{F_1}, A_{F_2}	F_1, F_2 Σ, Y, H, F
<u>Формальні параметри підпрограми</u>		
Модуль із розрахунку на контактну та згинальну витривалість, мм	m_H, m_F	MH, MF
Стандартне значення модуля, мм	m_s	MS
Стандартне значення першого та другого ступенів	m_1, m_2	$M1, M2$
Ознака типу редуктора		$W1, W2, W$
Допоміжна величина	q	Q
Коефіцієнт заповнення коліс за масою та моментом інерції	α_1, α_2	$A1, A2$
Плитома маса сталі, кг/мм ³	ρ	GA
Ширина зуба шестерні першого і другого ступенів	ℓ_1, ℓ_2	$B1, B2$
Ширина зуба /формальний параметр підпрограми/	ℓ	BK
Радіус ділильної окружності колеса	r	R
Маси коліс 1, 2, 2', кг	M_1, M_2, M_2'	G_1, G_2, GD
Моменти інерції коліс 1, 2, 2', кг·м ²	I_1, I_2, I_2'	J_1, J_2, JD
Міжосьова відстань, мм	a_w	AW
Габаритний радіальний розмір, мм	D	D
Приведений момент інерції редуктора, кг·м ²	J_n	J
Сума рухомих мас редуктора, кг	M	G

Програма 2.5

```

4:PRINT"PROG 2_5":INPUT "N=",N
5 DIM G(N),D(N),J(N),B1(N),M1(N),B2(N),M2(N)
6 B=3.568:C=201.95:F=0.65:H1=40.58:F1=8.48:H2=40.58:F2=8.48
10 W2=-1:A1=0.434:A2=1.21:K=3
12 GA=7.82E-6:PI=3.1415923
15 FOR I=1 TO N
16 PRINT TAB(15); "I="; I
20:INPUT "Z1=", Z1:INPUT "Z2=", Z2
25 INPUT "Z1'=", ZD:INPUT "Z3=", Z3
27 U1=Z2/Z1:U2=Z3/ZD
30:Z=Z1:U=U1:H=H1:F=F1:Q=1:W=1:PRINT TAB(15); "ST 1",
35:GOSUB 100:M1(I)=MS:B1(I)=BK
40:Z=ZD:U=U2:H=H2:F=F2:Q=U1:W=W2:PRINT TAB(15); "ST 2",
45:GOSUB 100:M2(I)=MS:B2(I)=BK
50:R=M1(I)*Z1/2:G1=PI*R*R*B1(I)*GA:j1=G1*R*R/2
55:R=M1(I)*Z2/2:G2=A1*PI*R*R*B1(I)*GA:J2=A2*G2*R*R/2
60:R=M2(I)*ZD/2:GD=PI*R*R*B2(I)*GA:JD=GD*R*R/2
65:I1=1+W2*U1*U2:I2=1+W2*U2:AW=M1(I)*(Z1+Z2)/2
70:J(I)=(J1*I1+I1+K*((J2+JD)*I2*I2+(G2+GD)*AW*AW))*1E-6
75:G(I)=G1+K*(G2+GD):D(I)=AW*2+M1*Z2
80 NEXT I
82 PRINT TAB(6); "I";TAB(12); "M1";TAB(19); "B1";TAB(26); "M2";
84 PRINT TAB(33); "B2";TAB(41); "M";TAB(48); "J";TAB(56); "D"
86 FOR I=1 TO N:PRINT USING "# #####"; I;
88 PRINT USING "# #####"; M1(I);
90 PRINT USING "# #####"; B1(I);
92 PRINT USING "# #####"; M2(I);
94 PRINT USING "# #####"; B2(I);
96 PRINT USING "# #####"; G(I); J(I);
98 PRINT USING "# #####"; D(I):NEXT I
99 END
100:Y=B+C/(Z*Z):L=LOG((U+W)*Q/U):L1=L/3:MH=H*EXP(L1)/Z
102 L=LOG(Y*Q/(Z*Z)):L1=L/3:MF=F*EXP(L1)
105:IF MH>MF GOTO 115
110:M=MF:PRINT "WIND":GOTO 120
115:M=MH:PRINT "CONT"
120:PRINT USING "# #- #"; "M="; M
125:INPUT "MS=", MS
130:P1=P*(M/MS)^3:BK=INT(P1*M*Z)+1
135:PRINT "B="; BK
137 RETURN
138 END

```

Інструкція користувачу

1. Увести текст програми до пам'яті EOM.
2. Запустити програму на виконання. За запитом EOM ввести число варіантів і числа зубів першого варіанта, що розраховуються.
3. EOM виконує розрахунок першого ступеня, видає більше з двох значень модуля і вказує небезпечний вид навантаження /CON/T чи WIND/. Користувач вводить найближче більше стандартне значення модуля і читає

результат перерахунку ширини зуба. Потім виконується розрахунок другого ступеня /виконуються ті самі дії/.

4. Після розрахунку всіх заданих варіантів на екран виводиться таблиця значень модуля і ширини зуба першого ступеня, модуля і ширини зуба другого ступеня, ваги рухомих деталей, приведеного моменту інерції і радіального габаритного розміру.

Результати контрольного прикладу наведені в табл. 4.15.

Програма 2.6

Геометричний розрахунок з зубчастої пари і визначення координат профілю зuba прямо- і косозубих коліс

Програма складається з головного модуля і чотирьох підпрограм. Підпрограма 1 визначає координати головного профілю. Підпрограма 2 задає значення кута обкату рейки в процесі обчислення координат переходної кривої. Звертається до підпрограми для виконання цих обчислень. Підпрограма 3 - це підпрограма другого рівня. В ній безпосередньо обчислюються координати переходної кривої. Підпрограма 4 слугує для обчислення радіусів окружностей, що використовуються в разі побудови профілю й обчислення довжини загальної нормалі.

Після завантаження та запуску програми користувач задач варіант розрахунку залежно від того, що задано: X_1 , і X_2 чи міжсъюва відстань α_w .

Результати розрахунку основних геометричних параметрів можуть бути виведені на друк чи в разі повторних розрахунків пропущені. За бажанням користувача може бути знайдена довжина загальної нормалі. Під час подальших обчислень можуть бути обчислені координати головного профілю і координати переходної кривої.

Список ідентифікаторів

Величина	Позначення	
	у текоті	у програмі
I	2	3
Числа зубів шестерні і колеса	Z_1, Z_2	$Z1, Z2$
Коефіцієнти зміщення при нарізанні шестерні і колеса	x_1, x_2	$X1, X2$
Кут профілю рейки	α	A

I	2	3
Кут профілю рейки у торцевому перерізі	α_t	AT
Кут нахилу зуба	β	B
Модуль нормальний	m	M
Модуль торцевий	m_t	MT
Ділильна міжсюва відстань	a^t	AD
Міжсюва відстань	a_w	AW
Інволюта кута торцевого профілю	invol _t	IA
Інволюта кута зачеплення	invol _w	IW
Кут зачеплення, рад і град	α_{tw}, α^{tw}	AL, GR
Параметри профілю рейки	h_a, c^*	H, C
Коефіцієнт	η	ET
Коефіцієнт зміщення, що сприймається	y	Y
Коефіцієнт зворотного зсуву	Δy	DY
Ширина колеса	b	BK
Радіус окружності:		
вершин	r_{a_1}, r_{a_2}	A1, A2, RA
западин	r_{f_1}, r_{f_2}	F1, F2, RF
ділильної	r_1, r_2	R1, R2, R
початкової	r_{w1}, r_{w2}	W1, W2, RW
Товщина зуба по дузі ділильної окружності у нормальному перерізі	s	S
Товщина зуба по дузі основної окружності в нормальному перерізі	s_e	SB
Окружний крок	P_t	PT
Крок по основній окружності в нормальному перерізі	P_{en}	PB
Коефіцієнт перекриття:		
торцевий	E_α	EA
осьовий	E_β	EB
повний	E	E
Найбільше значення загальної нормалі, що визначається:		
радіусом окружності вершин	W^*	WA
шириною зуба	W^{**}	WB

I	2	3
Довжина загальної нормалі	W	W
Число зубів, що охоплюються	Z	Z
Відрізки на лінії зачеплення	$L_1 N_1, L_2 N_2, N_1 A_2, N_2 A_1$	U_1, U_2, C_2, C_1
Кут α_{tw} - α_t	δ	GA
Радіус кривизни заокруглення рейки у торцевому перерізі	ρ_t	RT
Кут профілю на окружності вершин	α	AA
Координати центра рейки	x_{ts}, y_{ts}	XS, YS
Кут обкату рейки	φ	FI
Кути	$\theta, \varphi_e, \varphi_a, \varphi_d, \varphi - \delta, r \varphi - x_{ts}$	TE, FL, FA, FD, FG, P
Тригонометричні функції	$\sin(\varphi - \delta), \cos(\varphi - \delta)$	SG, CG
Координати	x_s, y_s	U_1, W
Похідні координат:	x'_s, y'_s	U_1, W_1
перші	x''_s, y''_s	U_2, W_2
другі		
Допоміжні величини:		
$(r \varphi - x_{ts}) \cos(\varphi - \delta)$		CK
$(r \varphi - x_{ts}) \sin(\varphi - \delta)$		SK
Радіус кривизни:		
траекторії центра рейки	ρ	RS
перехідної кривої	ρ_n	RP
Координати:		
перехідної кривої	x, y	X, Y
евольвентної частини профілю	x_t, y_t	XT, YT
Допустима похибка	ε	ED
Межі зміни кута φ у разі побудови перехідної кривої		FB, FE
Крок зміни φ у разі побудови перехідної кривої	$\Delta \varphi$	DF
Число ділянок у разі побудови евольвентної частини профілю	n_e	NE
Номер режиму роботи		M1
Допоміжна величина	$\operatorname{tg}^2 \alpha_{tw}$	K

Программа 2.6

```

5 PRINT TAB(20); "PROGRAM 2-6": ED=1-E: BK=40: PI=3.141593: PRINT
6 PRINT TAB(10); "Введите параметры зубчатой пары"
7 INPUT "Z1=", Z1: INPUT "Z2=", Z2: INPUT "Угол наклона эндо, град ", BG
10 A=PI/9: B=BG*PI/180: M=5: H=1: C=.25: PRINT
15 AT=ATN(TAN(A)/COS(B)): IA=TAN(AT)-AT
16 PRINT TAB(18); "Вариант расчета"
17 PRINT "      1- заданы коэффициенты смешения X1 и X2"
18 PRINT "      2- задано нехсовое расстояние AW"
20 INPUT "      Выберите нужный вариант расчета ", L
21 INPUT "Выводить ли радиусы окружностей ? ", L2
25 IF L=2 GOTO 75
30 INPUT "X1=", X1: INPUT "X2=", X2
35 IW=IA+2*(X1+X2)*TAN(A)/(Z1+Z2): Q=IW: AL=1
40 F=TAN(AL)-AL-Q: K=TAN(AL)*TAN(AL)
45 AL=AL-F/K
50 IF ABS(F/K)>ED GOTO 40
55 GR=AL*180/PI: PRINT USING " #####.###"; "ALW="; GR;
60 ET=COS(AT)/COS(AL): AD=M*(Z1+Z2)/(2*COS(B))
65 AW=AD*ET: PRINT USING " #####.###"; "AW="; AW
70 Y=(AW-AD)/M: GOTO 110
75 AD=(Z1+Z2)*M/(2*COS(B)): PRINT USING " #####.###"; "AD="; AD
80 INPUT "AW=", AW: ET=AW/AD: Y=(AW-AD)/M: PRINT ET
85 CW=COS(AT)/ET: SW=SQR(1-CW*CW): TW=SW/CW
90 AL=ATN(TW): IW=TAN(AL)-AL: GR=AL*180/PI
91 PRINT USING " #####.###"; "ALW="; GR
95 SX=(Z1+Z2)*(IW-IA)/(2*TAN(A))
100 PRINT USING " ##.##"; "X1+X2= "; SX
105 INPUT "X1=", X1: X2=SX-X1: PRINT "X2="; X2
110 DY=(X1+X2)-Y
111 GA=2*(X1+X2)*TAN(A)/(Z1+Z2): RT=M*C/(1-SIN(AT))
115 Z=Z1: X=X1: I=1: GOSUB 500
120 R1=R: W1=RW: A1=RA: F1=RF: B1=RB
125 Z=Z2: X=X2: I=Z: GOSUB 500
126 R2=R: W2=RW: A2=RA: F2=RF: B2=RB
127 PRINT: PRINT " Какой режим вы хотите выбрать ? "
128 PRINT " 1- проверить интерференцию и определить "
129 PRINT " коэффициент перекрытия"
130 PRINT " 2- вычислить координаты главного профиля "
131 PRINT " 3- вычислить координаты переходной кривой "
132 PRINT " 4- окончить работу "
133 INPUT " Режим ", M1
134 ON M1 GOTO 135, 205, 216, 240
135 G=AW*SIN(AL): MT=M/COS(B): PT=PI*MT
140 U1=R1*SIN(AT)+M*(X1-H)/SIN(AT)
145 C1=G-SQR(A2*A2-B2*B2)
150 IF U1>C1 GOTO 175
155 U2=R2*SIN(AT)+M*(X2-H)/SIN(AT)
160 C2=G-SQR(A1*A1-B1*B1)
165 IF U2>C2 GOTO 180
170 PRINT TAB(15); "Интерференция отсутствует": GOTO 185
175: PRINT TAB(15); "Интерференция на колесе 1": GOTO 185
180: PRINT TAB(15); "Интерференция на колесе 2"
185: OA=G-(C1+C2): EA=GA/(PT*COS(AT))
186 PRINT: PRINT USING " ##.##"; "EA="; EA; "      ";
190 EB=BK*TAN(B)/PT: PRINT USING " ##.##"; "EB="; EB; "      ";
195 E=EA+EB: PRINT USING " ##.##"; "EG="; E: GOTO 127

```

```

205 INPUT"Для какого колеса выполнить построение ? ",I
206 IF I=2 GOTO 212
208 Z=Z1:X=X1:RB=B1:RA=A1:R=R1
210 GOSUB 300:GOTO 127
212 Z=Z2:X=X2:RB=B2:RA=A2:R=R2
214 GOSUB 300:GOTO 127
216 INPUT"Для какого колеса выполнить построение ? ",I
218 IF I=2 GOTO 230
219 Z=Z1:X=X1:RB=B1:R=R1
220 GOSUB 342:GOTO 127
221 Z=Z2:X=X2:RB=B2:R=R2
223 GOSUB 342:GOTO 127
240 PRINT TAB(15); "THE END"
245 END
295 REM SUBROUTINE 1
300 CA=RB/RA :SA=SQR(1-CA*CA) :TA=SA/CA:AA=ATN(TA)
301 FA=TAN(AA)-TAN(AT):FL=M*(X-H)/(R*SIN(AT)*COS(AT))
305 XS=M*(X-H)*TAN(AT)-RT*COS(AT):YS=M*(X-H)+RT*SIN(AT)
310 INPUT"NE=";NE:DF=(FA-FL)/NE
311 PRINT TAB(9); "Координаты главного профиля "
312 PRINT TAB(5); "I";TAB(13); "FI";TAB(24); "XT";TAB(37); "YT"
315 FOR J=0 TO NE:FI=FL+J*DF:TE=FI+AT-GA:FG=FI-GA
320 XT=R*(SIN(FG)-FI*COS(AT)*COS(TE))
325 YT=R*(COS(FG)+FI*COS(AT)*SIN(TE))-RB
330 PRINT USING "#####";J;
331 PRINT USING "#####.#####";FI;
332 PRINT USING "#####.#####";XT;
333 PRINT USING "#####.#####";YT:NEXT J:STOP
335 RETURN
341 REM SUBROUTINE 2
342 FL=M*(X-H)/(R*SIN(AT)*COS(AT))
343 XS=M*(X-H)*TAN(AT)-RT*COS(AT):YS=M*(X-H)+RT*SIN(AT)
344 FD=XS/R:PRINT" FL=";FL:PRINT" FD=";FD
345 INPUT"FB=";FB:INPUT"FE=";FE:INPUT"DF=";DF:FI=FB
346 PRINT TAB(8); "Координаты и радиус кривизны переходной кривой"
347 PRINT:PRINT TAB(6); "FI";TAB(16); "XS";TAB(26); "YS";
348 PRINT TAB(36); "X";TAB(46); "Y";TAB(56); "Ro"
350 GOSUB 370:IF FI>FE GOTO 354
352 FI=I+DF:GOTO 350
354 FI=FL:PRINT TAB(26); "Точка L":GOSUB 370
356 FI=FD:PRINT TAB(26); "Точка D":GOSUB 370:stop
358 RETURN
359 REM SUBROUTINE 3
370 P=R*FI-XS:FG=FI-GA:SG=SIN(FG):CG=COS(FG)
375 U=(YS+R)*SG-P*CG:W=(YS+R)*CG+P*SG-RB
385 IF FI<FL OR FI>FD GOTO 430
390 U1=YB*CG+P*SG:W1=-YS*SG+P*CG
395 V=SQR(U1*U1+W1*W1)
400 X=U-RT*W1/V:Y=W+RT*U1/V
410 CK=P*CG:SK=P*SG
415 U2=CK+(R-YS)*SG:W2=-SK+(R-YS)*CG
420 RS=ABS(V*V*V/(U1*W2-U2*W1))
425 RP=RS+RT:GOTO 435
430 X=0:Y=0:RP=0

```

```

435 PRINT USING"#####.####";FI;
436 PRINT USING"#####-####";Ui;
437 PRINT USING"#####.####";Wi;
438 PRINT USING"#####-####";Xi;
439 PRINT USING"#####.####";Yi;
440 PRINT USING"#####.####";RP;
445 RETURN
500 REM SUBROUTINE 4
501 R=M*Z/(2*COS(B)):RW=R*ET
505 RA=R+M*(H+X-DY):RF=R+M*(X-(H+C))
510 RB=R*COS(AT):IF L2=0 GOTO 595
511 PRINT"Параметри колеса ":"I"
515 PRINT USING" #####.###";"R=";R;
516 PRINT USING" #####.###";"RW=";RW;
520 PRINT USING" #####.###";"RA=";RA;
521 PRINT USING" #####.###";"RF=";RF;
522 PRINT USING" #####.###";"RB=";RB;
525 INPUT"Определять ли длину общей нормали ? ",L1
530 IF L1=0 GOTO 595
535 W=2*SQR(RA*RA-RB*RB)
540 IF B=0 GOTO 555
545 WB=BK/SIN(B)
550 IF WB<W THEN W=WB
555 S=M*(PI/2+2*X*TAN(A)):RN=M*Z/2
560 SB=(S/RN+2*IA)*RB*COS(B):PB=PI*M*COS(A)
565 ZM=INT((W-SB)/PB+1)
570 PRINT USING" #####";"ZM=";ZM
575 INPUT"ZW=",Z
580 IF Z=0 GOTO 595
585:W=(Z-1)*PB+SB
590 PRINT USING"#####.###";"W=";W:GOTO 575
595 RETURN
600 END

```

Інструкція користувачу

1. Завантажити програму до оперативної пам'яті та запустити на виконання.
2. За запитом ЕОМ ввести номер варіанта завдання вихідних даних: 1 - якщо задано X_1 і X_2 ; 2 - якщо задано α_w .
3. За запитом ЕОМ задати, чи будуть виводитися результати визначення радіусів окружності /1 - так, 0 - ні/.
4. Якщо висновок потрібен, на екран виводяться результати обчислення r , r_w , r_a , r_f , r_e опочатку для шестерні, потім для колеса.
5. Після виведення радіусів ЕОМ робить запит, чи потрібно визначати довжину загальної нормалі. У разі позитивної відповіді /1/ виводиться найбільше число зубів, які можна охопити вимірювальним інструментом. Користувач вибирає зручне для нього число зубів /менше чи таке, що дорівнює розрахованому/ і дістає відповідне значення W .

За бажанням можна повторити розрахунок і за інших значень \mathcal{Z} . Для цього за зашитом ЕОМ треба вводити $\mathcal{Z}W = 0$. Якщо користувач хоче припинити перебір варіантів, слід ввести 0.

6. Якщо на запит "Чи треба виводити радіус окружностей?" була дана негативна відповідь, радіуси обчислюються, але не виводяться на екран. Обчислення довжини загальної нормалі в цьому випадку не виконується.

7. На запити ЕОМ "Який режим ви хочете вибрати?" користувач повинен ввести одну із цифр від 1 до 4.

8. Якщо вибрано режим 2, ЕОМ робить запит, на скільки частин розбити кут обкату в разі утворення евольвенти, і виводить значення \mathcal{Y}_t, X_t, Y_t в разі зміни \mathcal{S} від \mathcal{S}_e до \mathcal{S}_d .

9. Якщо вибрано режим 3, визначаються і виводяться на екран значення \mathcal{S}_e і \mathcal{S}_d . Користувач задає граничні значення кута обкату FB і FE і крок його зміни DF . Ці межі рекомендується задавати більш широкими, ніж відрізок $[\mathcal{S}_e, \mathcal{S}_d]$, що дасть змогу простежити за характером траєкторії центра заокругленої частини профілю рейки. Координати центра будуть розраховані на всьому вибраному відрізку зміни \mathcal{S} , а координати перехідної кривої та її радіус кривизни - лише для точок, що лежать усередині відрізка $[\mathcal{S}_e, \mathcal{S}_d]$ і на його кінцях, тобто при $\mathcal{S} = \mathcal{S}_e$ і $\mathcal{S} = \mathcal{S}_d$.

10. Робота в режимах 1 - 3 може повторюватися необхідну кількість разів. Для закінчення роботи слід ввести цифру 4.

Програма 2.7

Обчислення параметрів кулачкового механізму типу РК

Призначення програми. Визначення кінематичних і динамічних параметрів для n рівновіддалених положень на ділянці віддалення коромисла.

Роботу програми можна поділити на етапи.

Етап 1. Розподіл аналога кутового прискорення і кутової швидкості коромисла, його кута повороту, головного моменту сил інерції коромисла. У ході цього етапу визначаються також найбільше значення головного моменту і відповідний кут повороту. На підставі цих даних після виходу з циклу визначаються жорсткість і попередня затяжка пружини.

Етап 2. Обчислення координат робочого та центрового профілів, їх радіусів кривизни.

Етап 3. Обчислення моменту сил пружини, сумарного моменту, прикладеного до коромисла, кута тиску, реакції у вищій парі, контактних напружень.

Задача може розв'язуватись для семи наведених у табл. 5.2 законів руху веденої ланки.

Вихідні дані зачаються у програмі у вигляді операторів присвоювання Шифр закону руху, радіус ролика і варіант складання вводяться за запитом ЕОМ.

Етап 4. Обчислення моменту сил пружини, сумарного моменту, прикладеного до коромисла, кута тиску, реакції у вищій парі, контактних напружень.

Задача може розв'язуватись для семи наведених у табл. 5.2 законів руху веденої ланки.

Вихідні дані зачаються у програмі у вигляді операторів присвоювання. Шифр закону руху, радіус ролика і варіант складання вводяться за запитом ЕОМ.

Список ідентифікаторів

Величина	Позначення	
	у тексті	у програмі
I	2	3
Відстань між осями кулачка і коромисла	ℓ	$L\phi$
Довжина коромисла	ℓ_1	L_1
Фазовий кут віддалення	φ_y	FY
Розмах коромисла	ψ	PM
Початкове відхилення коромисла	ψ''	$P\phi$
Номер закону	Z	Z
Число ділянок, на які розбито кут підйому	n	N
Радіус ролика	r	$R2$
Кутова швидкість вала	ω	WB
Ширина ролика	b	B
Приріст кута повороту коромисла	$\Delta\psi$	$D\phi$
Кут між віссю коромисла і лінією центрів	ψ	PS
Аналоги кутової швидкості і прискорення коромисла	ψ', ψ''	$P1, P2$

1	2	3
Координати профілю:		
центрового робочого	x_c , y_c	X, Y
Похідні:	x' , y'	XW, YW
перші	x_c', y_c'	$X1, Y1$
другі	x_c'', y_c''	$X2, Y2$
Радіус кривизни центрового профілю	ρ	RO
Кривизна центрового профілю	K	KR
Кут тиску	θ	TE
Контактні напруження	σ_h	SH
Безрозмірний аргумент	k	K
Кут поворотного кулачка	φ	FI
Реакція у вищій парі	R	R
Допоміжні величини	v	V
	K_θ	KS
	$1 \mp \psi'$	W
	$\ell \sin(\vartheta \mp \psi')$	S
	$\ell \cos(\vartheta \mp \psi')$	C

Інструкція користувачу

1. Ввести текст програми до оперативної пам'яті ЕОМ.
2. У рядках 25-35 записати вихідні дані для заданого механізму.
3. Пустити програму на виконання. За запитом ЕОМ ввести ширф заданого закону руху у вигляді цілого числа від 1 до 7. Ввести радіус ролика і варіант складання $/+1$ чи -1 .
4. ЕОМ виводить послідовно таблиці шуканих величин етапів I-3; після кожного етапу відбувається переривання роботи, що дає змогу візуально аналізувати результати і роздруковувати їх за командою **PRINT SCREEN**. Поновлюються обчислення командою **CONTINUE**.

Программа 2.7

```

5 PRINT TAB(20); "PROGRAM 2.7": PI=3.1415926: PRINT: PRINT
6 PRINT TAB(10); "Выберите шифр закона ускорения коромысла"
7 PRINT TAB(10); "1- синусоида"
8 PRINT TAB(10); "2- косинусоида"
9 PRINT TAB(10); "3- наклонная прямая"
10 PRINT TAB(10); "4- кусочно-постоянное ускорение"
11 PRINT TAB(10); "5- полином Шуна (кубическая парабола)"
12 PRINT TAB(10); "6- две дуги параболы"
13 PRINT TAB(10); "7- полином пятой степени"
14 INPUT " Введите нужный шифр ", Z
15 IF Z>0 AND Z<8 GOTO 25
16 PRINT "Выбранный шифр должен быть числом от 1 до 7": GOTO 14
25 LO=100: LI=100: FY=PI/3: PO=PI/6: PM=PI/6
30 N=10: DK=1/N: L1=L1/LO: WB=100: J=1E-4
31 INPUT "Вариант сборки ( +1 или -1 ) ", LS
35 B=7: EP=2E5: LP=1: INPUT "Радиус ролика ", R2
36 R2=R2/LO: KS=.413*SQR(EP/(B*LO)): KF=1.25
37 PRINT TAB(13); "ЧАСТЬ "; LP; " ЗАКОН "; Z: PRINT
45 ON LP GOTO 46, 48, 50
46 PRINT TAB(5); "I": TAB(10); "FI": TAB(19); "P2": TAB(28); "P1": TAB(37); "D
47 PRINT TAB(46); "PS": TAB(55); "MI": GOTO 54
48 PRINT TAB(5); "I": TAB(10); "XC": TAB(19); "YC": TAB(28); "XW": TAB(37); "Y
49 PRINT TAB(46); "RO": GOTO 54
50 PRINT TAB(5); "I": TAB(10); "TE": TAB(19); "R": TAB(28); "KP": TAB(37); "S
54 MM=-110
55: FOR I=0 TO N: K=I*DK: FI=K*FY
60 ON Z GOSUB 200, 220, 250, 265, 295, 315, 350
61 MI=-J*WB*WB*P2: IF MI=<MM GOTO 65
63 MM=MI: DM=DP
65 PS=PO+DP: IF LP<>1 GOTO 70
66 GOSUB 400: GOTO 160
70 S=L1*SIN(FI-PS*LS): C=L1*COS(FI-PS*LS): W=1-P1*LS
75 X=COS(FI)-C: Y=SIN(FI)-S
80 X1=-SIN(FI)+S*W: Y1=COS(FI)-C*W
85 X2=-COS(FI)+C*W: W=S*P2*LS: Y2=-SIN(FI)+S*W+C*P2*LS
90 V=SQR(X1*X1+Y1*Y1): RO=V*V*/(X1*Y2-X2*Y1)
95 XW=X-R2*Y1/V: YW=Y+R2*X1/V: IF LP<>2 GOTO 130
100 GOSUB 430: GOTO 160
130 MI=-J*WB*WB*P2: MF=-(MO+CF*DP): MC=MI+MF
135 U=(L1*W-COS(PS))/SIN(PS): TE=ATN(U): GT=TE*180/PI
145 R=-MC/(1E-3*L1*LO*COS(TE))
150 KR=RO/(R2*(RO-R2))
155 SH=KS*SQR(R*KR): GOSUB 455
160:NEXT I: IF LP<>1 GOTO 175
165 CF=MM/DM: MO=MM*(KF-1)
170 PRINT: PRINT USING " #####.####"; CF=";CF;" MO=";MO
175 IF LP=3 GOTO 185
180 LP=LP+1: STOP: GOTO 37
185:END
200 AR=2*PI*K: P2=PM*2*PI*SIN(AR)/(FY*FY)
205 P1=PM*(1-COS(AR))/FY: DP=PM*(AR-SIN(AR))/(2*PI)
210 RETURN
220 AR=PI*K: P2=PM*PI*PI*COS(AR)/(2*FY*FY)
225 P1=PM*PI*SIN(AR)/(2*FY): DP=PM*(1-COS(AR))/2
230:RETURN

```

```

250:P2=PM*6*(1-2*K)/(FY*FY):P1=PM*6*K*(1-K)/FY
255:DP=PM*K*K*(3-2*K):RETURN
265:IF K<0.5 GOTO 280
270:K1=1-K:P2=-4*PM/(FY*FY):P1=PM*4*K1/FY
275:DP=PM*(1-2*K1*K1):GOTO 285
280:P2=4*PM/(FY*FY):P1=PM*4*K/FY:DP=PM*2*K*K
285:RETURN
295:P2=PM*60*K*(1+K*(2*K-3))/(FY*FY)
300:P1=PM*30*K*K*(1+K*(K-2))/FY
305:DP=PM*K*K*(10+K*(6*K-15)):RETURN
315:IF K<0.5 GOTO 330
320:K1=1-K:P2=-PM*48*K1*(1-2*K1)/(FY*FY)
325:P1=8*PM*K1*K1*(3-4*K1)/FY:DP=(1-8*K1*K1*K1*(1-K1))*PM:GOTO 340
330:P2=PM*48*K*(1-2*K)/(FY*FY)
335:P1=8*PM*K*K*(3-4*K)/FY:DP=PM*8*K*K*K*(1-K)
340:RETURN
350:S2=4*K*(27+K*(-165+K*(390+K*(-420+168*K)))):P2=S2*PM/(FY*FY)
360:S1=2*K*K*(27+K*(-110+K*(195+K*(-168+56*K)))):P1=S1*PM/FY
370:S=K*K*K*(18+K*(-55+K*(78+K*(-56+16*K)))):DP=S*PM:RETURN
400:PRINT USING "#####"; I;
405:PRINT USING "#####.#####"; FI;
410:PRINT USING "#####.#####"; P2;
415:PRINT USING "#####.#####"; P1;
420:PRINT USING "#####.#####"; DP;
421:PRINT USING "#####.#####"; PS;
425:PRINT USING "#####.#####"; MI:RETURN
430:PRINT USING "#####"; I;
433:PRINT USING "#####.#####"; X*LO;
435:PRINT USING "#####.#####"; Y*LO;
440:PRINT USING "#####.#####"; W*LO;
445:PRINT USING "#####.#####"; V*LO;
450:PRINT USING "#####.#####"; R*LO:RETURN
455:PRINT USING "#####"; I;
460:PRINT USING "#####.#####"; GT;
465:PRINT USING "#####.#####"; R;
470:PRINT USING "#####.#####"; KR;
475:PRINT USING "#####.#####"; SH:RETURN
480:END

```

Програма 2.8

Силовий розрахунок з урахуванням тертя криволінійно-повзунного механізму

Програма дає змогу визначати реакції з урахуванням тертя і виконувати приведення технологічних сил, сил тертя і сил ваги до початкової ланки.

Список ідентифікаторів

Величина	Позначення	
	у тексті	у програмі
I	z	3
Довжина, м: криволінія шатуна	ℓ_1 ℓ_2	L1 L2

I	2	3
Відрізки, що задають положення центра ваги шатуна, м	ℓ_s ℓ_{AS} ω_1, ω_2 ϕ_1, ϕ_2 $\dot{\ell}_s$ $\dot{\omega}_1, \dot{\omega}_2$ $\dot{\phi}_1, \dot{\phi}_2$ v^2 v^B v_y	L_S L_A W_1, W_2 F_1, F_2 E_2 V_B V_Y A_B A_X, A_Y
Кутові швидкості кривошипа і шатуна		
Кути повороту кривошипа і шатуна		
Кутове прискорення шатуна, s^{-2}		
Швидкість повзуна, м/с		
Вертикальна складова швидкості центра ваги шатуна, м/с		
Прискорення повзуна, m/s^2	a_x, a_y	
Складові прискорення центра ваги шатуна, m/s^2		
Маси шатуна і повзуна, кг	m_2, m_3	M_4, M_6
Сили ваги шатуна і повзуна, Н	G_2, G_3	G_2, G_3
Момент інерції шатуна, $kg\cdot m^2$	J_2	J_2
Радіуси пальців шарнірів, м	r_{21}, r_{23}	r_{11}, r_{13}
Коефіцієнти тертя в обертальних і поступальній парах	f_2, f_3	F_4, F_6
Головний вектор сил інерції повзуна, Н	P_3	P_3
Складові головного вектора сил інерції шатуна, Н	P_{2x}, P_{2y}	P_X, P_Y
Моменти сил тертя, Н·м	M_{21}, M_{23}	M_1, M_3
Сила тертя у парі 3,0, Н	F_{30}	F_3
Сила корисного опору, Н	Q_3	Q
Реакція у парі, Н:		
2,1	R_{21}	D_1
2,3	R_{23}	D_2
3,0	R_{30}	$T(5), R(5)$
Складова, Н:		
тангенціальна	R_{21}^T	$T(1), R(1)$
нормальна	R_{21}^N	$T(2), R(2)$
горизонтальна	R_{21}^X	$T(3), R(3)$
вертикальна	R_{21}^Y	$T(4), R(4)$
Плече реакції 3,0, м	R_{23}^{23} R_6	$T(6), R(6)$

I	2	3
Число відрізків, на які розбито кут повороту кривошипа	n	N
Приріст кута повороту, град	$\Delta \varphi$	DF
Допустима похибка	ε	E
Допоміжні величини	c	C
	$\ell_1 \cos \varphi$	$C1$
	$\ell_1 \sin \varphi$	$S1$
	$\ell_2 \cos \varphi$	$C2$
	$\ell_2 \sin \varphi$	$S2$

Інструкція користувачу

1. Увести текот програми до оперативної пам'яті машини. Занести необхідні вихідні дані у рядки 20 і 25.

2. Запустити програму на виконання. За запитом ЕОМ ввести номер етапу, результат якого бажано вивести на екран. При $LP = 1$ виконується тільки кінематичне дослідження і виводиться його результат; при $LP = 2, 3, 4$ - кінематичне дослідження і силовий розрахунок. При $LP = 2$ виводяться значення реакцій, знайдених у результаті ітераційного процесу; при $LP = 3$ - граничні значення моментів і сили тертя. При $LP = 4$ для кожного положення виводиться ряд послідовних наближень моментів і сили тертя до їх граничних значень. При $LP = 3$ виводиться загальне число необхідних ітерацій J , а при $LP = 4$ - номер кожної ітерації. При $LP = 5$ виконується кінематичне дослідження, силовий розрахунок і приведення моментів. Виводяться значення приведених моментів сил ваги, сил корисного опору і сил тертя, а також їх алгебраїчна сума.

Контрольний приклад описано у дод. З.

Программа 2.8

```

5 PRINT TAB(24); "ПРОГРАММА 2-8
10 PRINT TAB(15); "Силовой расчет с учетом трения"
15 PRINT TAB(15); "Кривошипно-ползунный механизм"
20 N=12; W1=5; E=0.03; L1=.0375; L2=.168; PI=3.141592654; FB=210*PI/180
25 Q1=436.6133; F6=.1; F4=.1; LS=.113; LA=.055; M4=12; M6=24; J2=0.055
30; U2=0.025; U3=0.015; DF=2*PI/N; G2=9.81*M4; G3=9.81*M6
31 DIM T(6), R(6)
35 PRINT TAB(10); "Вывести :":PRINT
40 PRINT TAB(8); "1- кинематические параметры"
45 PRINT TAB(8); "2- реакции с учетом трения"
50 PRINT TAB(8); "3- предельные значения моментов и силы трения"
55 PRINT TAB(8); "4- итерационный процесс определения сил трения"
60 PRINT TAB(8); "5- приведенные моменты MG, MF, MC, MS"
61 PRINT TAB(8); "6- окончить работу"
62 INPUT "Выполнить", LP:PRINT
65 ON LP GOTO 70, 85, 95, 105, 115, 305
70 PRINT TAB(18); "Этап 1 Кинематические параметры"
75 PRINT TAB(4); "I"; TAB(10); "XB"; TAB(19); "W2"; TAB(28); "VB"; TAB(37); "E2";
80 PRINT TAB(46); "AB"; TAB(55); "AX"; TAB(65); "AY":GOTO 125
85 PRINT TAB(5); "Этап 2 Реакции с учетом силы и моментов трения"
90 PRINT "I"; TAB(10); "R21T"; TAB(19); "R21N"; TAB(28); "R30"; TAB(37); "R23X"
91 PRINT TAB(46); "R23Y"; TAB(55); "H, mm":GOTO 125
95 PRINT TAB(10); "Этап 3 Моменты и сила трения (предельные значения)"
100 PRINT TAB(16); "I"; TAB(21); "J"; TAB(28); "M21"; TAB(37); "M23";
101 PRINT TAB(46); "F30":GOTO 125
105 PRINT TAB(6); "Этап 4 Итерационный процесс"
110 PRINT TAB(16); "I"; TAB(21); "J"; TAB(28); "M21"; TAB(37); "M23";
111 PRINT TAB(46); "F30":GOTO 125
115 PRINT TAB(6); "Этап 5 Приведенные моменты"
120 PRINT "I"; TAB(10); "MG"; TAB(19); "MC"; TAB(28); "MF"; TAB(37); "MS"
125 FOR I=0 TO N: F1=I*DF: SB=-L1*SIN(F1)/L2*CB=SQR(1-SB*SB): TB=SB/CB
130 F2=ATN(TB): C1=L1*COS(F1): C2=L2*COS(F2)
135 S1=L1*SIN(F1): S2=L2*SIN(F2): XB=C1+C2
140 W2=-W1*C1/C2: VB=-S1*W1-S2*W2: VY=C1*W1+LA*COS(F2)
145 E2=(S1*W1+W1+S2*W2*W2)/C2: AB=-(-C1*W1*W1+C2*W2*W2+S2*E2)
150 AX=-(-C1*W1*W1+LA*(COS(F2)*W2*W2+SIN(F2)*E2))
155 AY=-(-S1*W1*W1+LA*(SIN(F2)*W2*W2-COS(F2)*E2))
160 IF LP>>1 GOTO 170
165 GOSUB 1250:GOTO 300
170 P3=-M6*AB: PX=-M4*AX: PY=-M4*AY: G2:=J2*E2
175 FOR K=1 TO 6: T(K)=0:NEXT K: J=0
180 D1=SQR(T(1)*T(1)+T(2)*T(2)): D3=SQR(T(3)*T(3)+T(4)*T(4))
185 M1=D1*F4*U2: M3=-D3*F4*U3: F3=-ABS(T(5)*F6)
190 IF F1<PI/2 OR F1>3*PI/2 THEN M3=-M3
195 IF F1<PI THEN F3=-F3
200 IF LP=4 THEN GOSUB 1300
210 IF F1>FB GOTO 220
215 Q=0:GOTO 225
220 Q=-Q1*(F1-FB)^2
225 R(1)=(M2+M1+M3-PY*LS*COS(F2)+PX*LS*SIN(F2))/L2
230 R(2)=(R(1)*SIN(F2)-PX-P3-F3)/COS(F2)
235 R(5)=-(R(1)*COS(F2)+R(2)*SIN(F2)+PY-G3)
240 R(3)=-(P3+Q+F3): F(4)=-R(5)+G3: R(6)=1000*M3/R(5): C=0
245 FOR K=1 TO 6:D=0
250 IF R(K)<>0 THEN D=ABS((R(K)-T(K))/R(K))

```

```

255 IF D>E GOTO 265
260 C=C+1
265 T(K)=R(K):NEXT K:J=J+1
270 IF C<6 GOTO 180
272 IF LP<>4 GOTO 275
273 STOP:PRINT
275 IF LP=2 THEN GOSUB 1350
280 IF LP=3 THEN GOSUB 1300
285 IF LP<>5 GOTO 300
290 MF=(F3*VB+M3*W2-M1*(W1-W2))/W1
295 MC=Q*VB/W1:MG=-G3*VY/W1
296 MS=MC+MF+MG:GOSUB 1400
300 NEXT I:STOP:GOTO 35
305 PRINT TAB(24); "T H E   E N D"
310 END
1250 PRINT USING "####"; I;
1255 PRINT USING "####.###"; XB;
1260 PRINT USING "####.###"; W2;
1265 PRINT USING "####.###"; VB;
1270 PRINT USING "####.###"; E2;
1275 PRINT USING "####.###"; AB;
1280 PRINT USING "####.###"; AX;
1285 PRINT USING "####.###"; AY:RETURN
1300 PRINT TAB(13); " ";
1301 PRINT USING "##"; I;
1302 PRINT " ";
1303 PRINT USING "#"; J;
1305 PRINT USING "#####.###"; M1;
1310 PRINT USING "#####.###"; M3;
1315 PRINT USING "#####.###"; F3:RETURN
1350 PRINT USING "##"; I;
1355 FOR Z=1 TO 6:PRINT USING "#####.###"; R(Z);
1360 NEXT Z:PRINT":":RETURN
1400 PRINT USING "##"; I;
1405 PRINT USING "#####.###"; MG;
1410 PRINT USING "#####.###"; MC;
1415 PRINT USING "#####.###"; MF;
1420 PRINT USING "#####.###"; MS:RETURN
1425 END

```

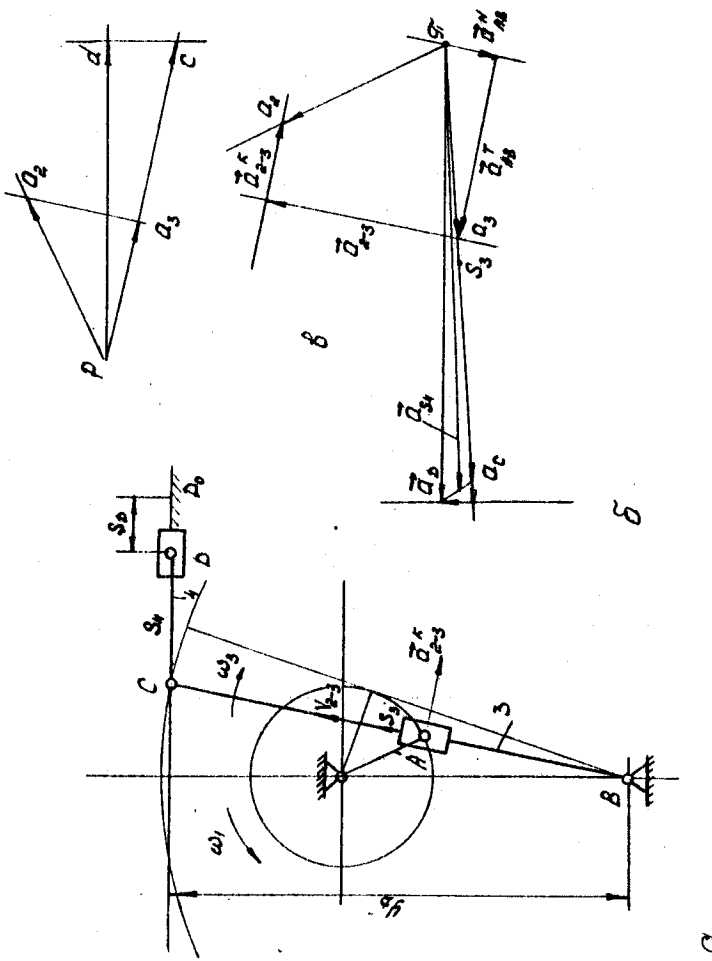
Додаток 2

Приклад розрахунку механізму поперечно-стругального веротата.

I. Формульовання задачі та вихідні дані

I.I. Кінематичну схему механізму зображенено на рис. Д.2.І. Необхідно виконати кінематичне та динамічне дослідження, тобто визначити переміщення, швидкості прискорення характерних точок, кути повороту, кутові швидкості і кутові прискорення ланок; реакції в кінематичних парах; потужність приводного електродвигуна; закон зміни кутової швидкості головного вала й обчислити коефіцієнт нерівномірності його обертання.

Рис. 4.2.1



I.2. Частота обертання початкової ланки OA : $n = 55$ л/хв. Метрика механізму: $\ell_1 = 200$ мм; $\ell_c = 1020$ мм; $\ell_4 = 290$ мм; $\ell_o = 620$ мм; $y_D = 1000$ мм.

Відрізки, що задають положення центрів мас ланок: $BS_3 = 500$ мм; $CS_4 = 120$ мм.

Маси ланок: $m_3 = 55$ кг; $m_4 = 12$ кг; $m_5 = 190$ кг.

Моменти інерції ланок відносно центральних осей: $J_3 = 4,5 \text{ кг}\cdot\text{м}^2$; $J_4 = 0,1 \text{ кг}\cdot\text{м}^2$.

Момент інерції ланки 3 відносно точки B : $J_{3B} = J_3 + m_3 \ell_{BS}^2 = 4,5 + 55 \cdot 0,5^2 = 18,25 \text{ кг}\cdot\text{м}^2$.

Момент інерції маховика $J_M = 186 \text{ кг}\cdot\text{м}^2$.

I.3. Початок відрахування кута φ , беремо в крайньому правому положенні механізму. При цьому кривошип складає з віссю OX кут

$$\varphi = -\arcsin(\ell_1/\ell_o) = -\arcsin(200/620) = -18,819^\circ.$$

Для аналітичного дослідження кінематики механізму і нерівномірності обертання кут повороту кривошипа розбито на 24 рівні частини і отримані положення пронумеровані від 0 до 24 починаючи від крайнього правого положення.

Аналітичне розв'язання задачі силового розрахунку виконане для 12 положень з парними номерами. Графоаналітичне розв'язання задачі кінематики і силовий розрахунок – для положення 21.

Сила корисного опору діє від положення 2 до положення 12: на цьому відрізку беремо її постійною, що дорівнює 1500 Н.

2. Кінематичне дослідження механізму

2.I. Формули, використані в разі аналітичного розв'язання.

Для першого етапу

$$\ell_3 = \sqrt{(\ell_c \cos \varphi_1)^2 + (\ell_o + \ell_c \sin \varphi_1)^2},$$

$$\varphi_3 = \arccos(\ell_c \cos \varphi_1 / \ell_3),$$

$$x_c = \ell_c \cos \varphi_3, \quad y_c = \ell_c \sin \varphi_3,$$

$$\varphi_4 = \arcsin((y_D - y_c) / \ell_4),$$

$$x_D = x_c + \ell_4 \cos \varphi_4,$$

$$S_D = x_D - x_{D0}.$$

2.2. Для другого етапу

$$v_{2-3} = -\ell_c \omega_1 \sin(\varphi_1 - \varphi_3),$$

$$\ell_3 = \ell_c \omega_1 \cos(\varphi_1 - \varphi_3),$$

$$v_{cx} = -\ell_c \omega_3 \sin \varphi_3, \quad v_{cy} = \ell_c \omega_3 \cos \varphi_3,$$

$$\omega_4 = -v_{cy} / \ell_c \cos \varphi_4,$$

$$v_d = v_{cx} - \ell_c \omega_4 \sin \varphi_4.$$

2.3. Для третього етапу

$$\alpha_{2-3}^k = 2 \omega_3 v_{2-3},$$

$$\varepsilon_3 = -\ell_c \omega_1^2 (\sin(\varphi_1 - \varphi_3) + \alpha_{2-3}^k) / \ell_3,$$

$$\alpha_{2-3} = \ell_c \omega_3^2 - \ell_c \omega_1^2 \cos(\varphi_1 - \varphi_3),$$

$$\alpha_{cx} = -\ell_c (\omega_3^2 \cos \varphi_3 + \varepsilon_3 \sin \varphi_3),$$

$$\alpha_{cy} = -\ell_c (\omega_3^2 \sin \varphi_3 - \varepsilon_3 \cos \varphi_3),$$

$$\varepsilon_4 = (\ell_c \omega_4^2 \sin \varphi_4 - \alpha_{cy}) / \ell_c \cos \varphi_4,$$

$$\alpha_d = \alpha_{cx} - \ell_c (\omega_4^2 \cos \varphi_4 + \varepsilon_4 \sin \varphi_4).$$

За чисельного диференціювання використовуються формули для першого етапу.

2.4. Результати кінематичного дослідження методом проектування планів і методом чисельного диференціювання наведені у табл.Д.2.1. На рис. Д.2.2 і Д.2.3 показані графіки кінематичних параметрів ланок 5 і 4.

Таблица II.2.1

I	φ_3	φ_4	S_0/l_1	V_{2-3}/l_{max}	w_0/w_1	w_1/w_0	$V_0/l_1 w_1$	G_{2-3}/l_{min}^2	δ_3/w_1^2	δ_4/w_1^2	δ_5/l_{min}^2	$\sqrt{g_3/k_1 w_1}$	$\sigma_0^*/l_1 w_1^2$
0	71,181	6,838	0	1	0,0000	0	0	0	0,341	-0,388	-1,579	$1,83 \cdot 10^{-4}$	-1,578
1	71,792	6,151	-0,049	6,968	2,0778	-0,070	-0,370	-0,229	0,255	-0,250	-1,340		
2	73,415	4,437	-0,183	0,885	0,1355	-0,136	-0,549	-0,402	0,187	-0,125	-0,953	-0,647	-0,957
3	75,780	2,224	-0,383	0,761	0,1974	-0,159	-0,863	-0,533	0,134	-0,018	-0,722		
4	78,676	-0,028	-0,533	0,609	0,2070	-0,142	-1,035	-0,629	0,093	0,083	-0,537	-1,035	-0,538
5	81,941	-1,982	-0,921	0,434	0,2268	-0,142	-1,150	-0,693	0,059	0,141	-0,321		
6	85,442	-3,316	-1,232	0,246	0,2387	-0,066	-1,215	-0,937	0,032	0,100	-0,496	-1,210	-0,495
7	89,069	-3,928	-1,555	0,050	0,2437	-0,016	-1,241	-0,955	0,006	0,218	-0,003		
8	92,720	-3,727	-1,880	-0,147	0,2421	0,040	-1,229	-0,949	-0,018	0,203	-0,122	-1,229	+0,126
9	96,928	-2,736	-2,196	-0,340	0,2338	0,086	-1,181	-0,720	-0,045	0,171	0,258		
10	99,598	-1,071	-2,494	-0,522	-0,2182	0,129	-1,092	-0,666	-0,075	0,120	0,307	-1,093	+0,399
11	102,801	1,057	-2,765	-0,687	0,1938	0,154	-0,961	-0,587	-0,112	0,043	0,582		
12	105,459	3,341	-2,997	-0,826	0,1586	0,148	-0,798	-0,473	-0,158	-0,062	0,184	-0,982	0,788
13	107,487	5,312	-3,194	-0,931	-0,1095	0,105	-0,541	-0,323	-0,219	-0,185	1,091		
14	108,656	6,649	-3,275	-0,991	0,0424	0,047	-0,211	-0,124	-0,295	-0,328	1,480	-0,213	1,484
15	108,851	8,646	-3,275	-0,991	-0,0467	-0,052	0,231	0,137	-0,386	-0,430	1,937		
16	107,132	4,907	-3,142	-0,913	-0,1585	-0,163	0,795	0,492	-0,491	-0,402	2,345	0,798	2,347
17	103,781	1,850	-2,850	-0,738	-0,2886	-0,247	1,438	0,869	-0,498	-0,132	2,489		
18	98,519	-1,928	-2,391	-0,459	-0,4,099	-0,212	2,043	1,250	-0,383	+0,375	2,008	2,048	2,008
19	91,815	-3,853	-1,800	-0,038	-0,4731	-0,053	2,406	1,458	-0,091	0,998	0,592		
20	84,791	-3,114	-1,182	0,282	-0,4508	0,146	2,317	1,381	0,252	0,641	-1,356	2,300	-1,356
21	78,573	-0,026	-0,633	0,608	-0,3531	0,243	1,765	1,073	0,462	0,110	-2,521		
22	74,331	+3,540	-0,260	0,837	-0,2243	0,213	1,080	0,599	0,497	-0,219	-2,548	1,082	-2,550
23	71,910	6,020	-0,059	0,962	-0,1013	0,011	0,472	0,298	0,432	-0,439	-2,051		
24	71,181	6,838	0	1	0,0000	0	0	0	0,341	-0,388	-1,579	$1,83 \cdot 10^{-4}$	-1,578

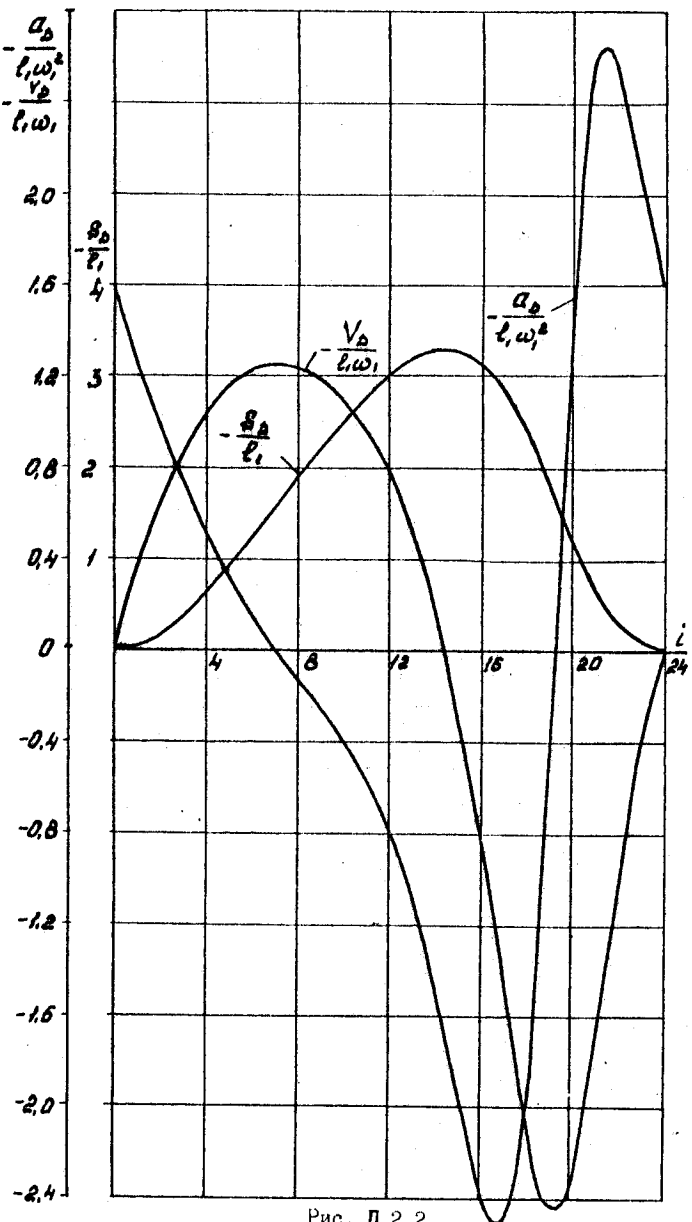


Рис. Д.2.2

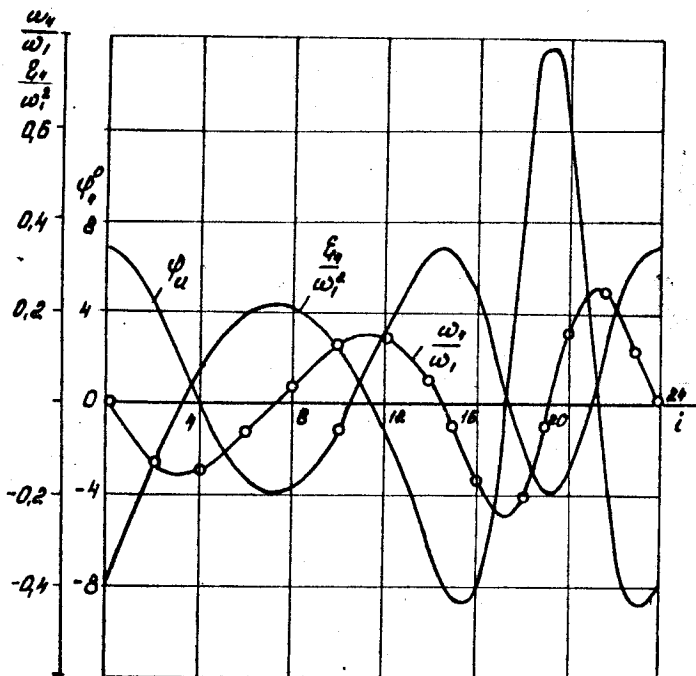


Рис. Д.2.3

У табл. Д.2.1 наведені безрозмірні кінематичні параметри, отримані діленням швидкостей і прискорень відповідно на $\ell_1 \omega_1$ і $\ell_1 \omega_1^2$, тобто на значення швидкості та прискорення точки *A* пальця кривошипа. Це робить результати незалежними від кутової швидкості початкової ланки 1.

У табл. Д.2.1 наведені також результати, отримані методом чисельного диференціювання /останні два стовпчики/. Порівняння відповідних величин показує, що абсолютна похибка чисельного диференціювання не перевищує 0,006, а відносна похибка у визначенні прискорень не перевищує 0,17%, у визначенні швидкостей – не перевищує 0,3%. Такі похибки цілком припустимі в технічних розрахунках.

2.5. Кінематичний аналіз графоаналітичним методом було виконано для положення 21. Кінематичну схему механізму в цьому положенні показано на рис. 2.1, де зображені також план швидкостей і план

прискорень. Для побудови планів використовувались векторні рівняння, наведені в табл. 2.2. У результаті побудови плану швидкостей отримано значення $\frac{\omega_3^2}{\ell_{33}^2} = 1,75$, що на 0,9% відрізняється від знайдено-го аналітично. Побудовою плану прискорень отримано значення $\frac{\omega_4^2}{\ell_{44}^2} = 2,5$, що на 0,8% відрізняється від значення, знайденого аналітично. Такі малі похибки зумовлені ретельністю побудови планів.

3. Силовий розрахунок механізму

3.1. Для визначення складових головних векторів сил інерції використовувались формули

$$P_{3x} = -m_3 \alpha_{33}^x = m_3 \ell_{33} (\omega_3^2 \cos \varphi_3 + \varepsilon_3 \sin \varphi_3);$$

$$P_{3y} = -m_3 \alpha_{33}^y = m_3 \ell_{33} (\omega_3^2 \sin \varphi_3 - \varepsilon_3 \cos \varphi_3);$$

$$P_{4x} = -m_4 \alpha_{44}^x = m_4 (-\alpha_{cx} + \ell_{44} (\omega_4^2 \cos \varphi_4 + \varepsilon_4 \sin \varphi_4));$$

$$P_{4y} = -m_4 \alpha_{44}^y = m_4 (-\alpha_{cy} + \ell_{44} (\omega_4^2 \sin \varphi_4 - \varepsilon_4 \cos \varphi_4)).$$

$$\alpha_{cx} = -\ell_c (\omega_3^2 \cos \varphi_3 + \varepsilon_3 \sin \varphi_3); \quad \alpha_{cy} = -\ell_c (\omega_3^2 \sin \varphi_3 - \varepsilon_3 \cos \varphi_3).$$

Головний вектор сил інерції ланки 5

$$P = -m_5 \alpha_5^x = -m_5 \ell_{55} \omega_5^2 \bar{\alpha}_5,$$

де $\bar{\alpha}_5$ - безрозмірне прискорення точки D .

Результати визначення $P_{3x}, P_{3y}, P_{4x}, P_{4y}, P_5, M_3, M_4$ наведені в табл. Д.2.2. Тут же результати силового розрахунку за таких двох припущеннях: нехтуємо силою ваги ланки 4, моментами сил тертя в обертальних парах.

Друге припущення призводить до того, що реакції в кінематичних парах групи /2, 3/ не потребують уточнення шляхом ітерацій.

3.2. Для визначення реакції у кінематичних парах групи /4, 5/ використані формули, наведені в дод. З. Для силового розрахунку групи /2, 3/ були попередньо знайдено проекції реакції R_{34} на вісь ланки 2 і вісь, перпендикулярну до неї /рис. Д.2.4/. Для цього використовувались формули

$$R_{34}^x = (-R_{43}^N) \cos(\varphi_3 - \varphi_4) + (-R_{43}^T) \sin(\varphi_3 - \varphi_4);$$

$$R_{34}^y = -(R_{43}^N) \sin(\varphi_3 - \varphi_4) + (-R_{43}^T) \cos(\varphi_3 - \varphi_4).$$

Таблица Д.2.2

<i>i</i>	P_{3x}	P_{3y}	M_3	P_{4x}	P_{4y}	M_4	P_5	Q_5
0	297,9	-101,5	-51,5	134,9	-63,9	1,3	2008	0
2	170,04	-33,2	-28,3	75,4	-20,8	0,42	1216	1500
4	92,03	21,9	-14,1	38,9	13,8	-0,28	685	1500
6	33,37	50,1	-4,8	11,6	32,5	-0,63	225	1500
8	-19,70	53,2	2,8	-10,7	33,7	-0,68	-156	1500
10	-75,96	31,6	11,4	-35,9	19,9	-0,40	-506	1500
12	-147,6	-16,7	24,0	-66,4	-10,5	0,21	-1003	1500
14	-259,4	-85,8	44,7	-113,4	-53,8	1,1	-1889	0
16	-422,9	-105,8	91,2	-187,6	-56,5	1,3	-2292	0
18	-372,5	-99,6	57,9	-173,2	62,4	-1,3	-2562	0
20	249,3	165,6	-38,1	102,6	106,4	-2,1	1730	0
22	454,9	-70,3	-95,2	200,7	-50,0	1,0	3252	0
24	297,9	-101,5	-51,5	134,9	-63,9	1,3	2008	0

<i>i</i>	R_{43}^T	R_{43}^N	R_{50}	F_{50}	R_{21}^N	F_{32}	R_{30}^N	R_{30}^T
0	51,1	-2373	2196	219,6	+4111	411	-1635	-1392
2	19,0	-3013	2137	213,69	+4490	449	-1405	-1567
4	-9,1	-2414	1894	189,4	+3224	332	-173	-843
6	-21,6	-1916	1798	179,82	+2429	243	-485	-360
8	-21,6	-1516	1789	178,93	+1869	-187	-378	281
10	-12,6	-1145	1871	187,13	+1412	-141	-355	298
12	4,6	-628	1342	184,25	+744	-74,4	-297	187
14	27,5	1846	1713	171,3	-3310	-331	1225	-27
16	33,8	2663	1701	-170,1	-5276	-527	2130	27
18	-38,0	2934	1964	-196,4	-7329	-733	4064	219
20	-72,8	-1653	1776,4	-177,6	+4321	432	-2439	-755
22	39,9	-3245	2110	-211,0	+7070	707	-3534	-1983
24	51,1	-1936	2143	-214,3	+3487	342	-1345	-1134

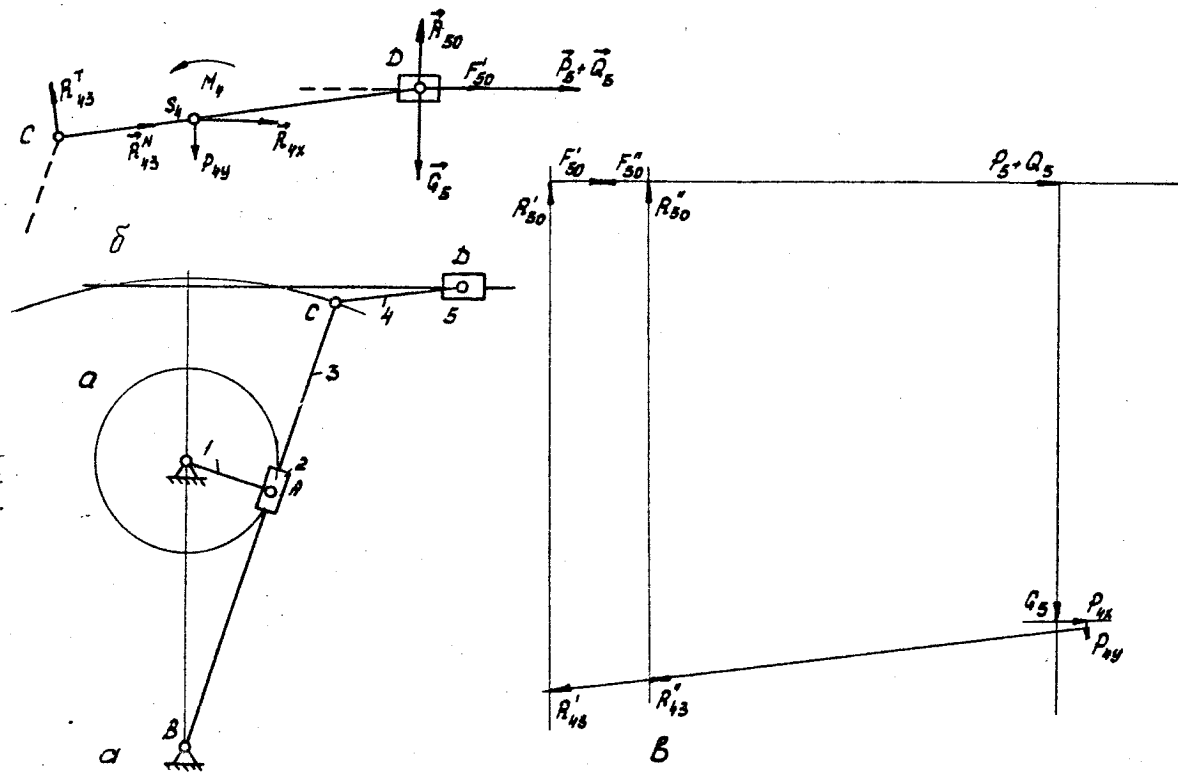


Рис. Д.2.4

Для ілюстрації застосування графоаналітичного методу на рис. Д.2.4 було побудовано план сил групи /4, 5/ для положення О. Оскільки це в крайнім положенні, то сила тертя F_{50} тут стрибко-подібно змінює напрям; на рис. Д.2.4, в показано два значення сили тертя: F_{50}'' - при підході до границі ліворуч і F_{50}' - праворуч. Відповідно отримані також два значення реакцій. Їх значення в разі визначення аналітичним методом наведені в рядках 0 і 24 табл. Д.2.2.

Вимірюванням на плані отримано

$$R' = 2210 \text{ H}; R'' = 2016 \text{ H}; \\ R_{43} = 2370 \text{ H}; R_{45} = 1920 \text{ H}.$$

Найбільша відносна похибка становить 0,7%.

4. Визначення приведених моментів сил корисного опору і сил тертя. Визначення приведеного моменту інерції

4.1. Приведення до початкової ланки сили корисного опору виконується за допомогою формули

$$M_a = Q V_D / \omega_1.$$

Оскільки $Q \neq 0$ у положеннях 2 - 12, розрахування ведеться тільки для цих положень. У решти положень $M_a = 0$.

Результати обчислення M_a наводяться в табл. Д.2.3 і зображені на рис. Д.2.5. Робота сили корисного опору за один оберт початкової ланки

$$A_a = \int_{\varphi_2}^{\varphi_{12}} M_a d\varphi.$$

Оскільки функція M_a задана таблицею значень на відрізку $[\varphi_2, \varphi_{12}]$, інтегрування ведеться чисельним методом Сімпсона, що досить простим, але забезпечує високу точність результатів.

Як відомо,

$$\int_{x_0}^{x_n} y dx = \frac{h}{3} (y_0 + 4y_1 + 2y_2 + \dots + 4y_{n-1} + y_n),$$

де $n = (x_n - x_0)/h$ - крок інтегрування; n - парне число ділянок, на які розбито відрізок $[x_0, x_n]$.

Таблиця Д.2.3

<i>i</i>	Q_3, H	$-M_{Q, \text{НН}}$	$\bar{J}_{\text{БРН}}$	$\omega_x, \text{с}^{-1}$	$\omega_{\bar{x}}, \text{с}^{-1}$	$\omega_x, \text{с}^{-1}$
0	0	0	0	5,565	<u>5,792</u>	5,792
1	0	0	1,115	5,605	<u>5,780</u>	5,750
2	7500	971	3,510	5,643	<u>5,740</u>	5,743
3	7500	1302,6	8,306	5,580	<u>5,805</u>	5,737
4	7500	1552,8	8,921	5,545	<u>5,549</u>	5,736
5	7500	1726,5	11,009	5,516	<u>5,517</u>	5,740
6	7500	1829,1	12,340	5,490	<u>5,499</u>	5,745
7	7500	1866,0	12,846	5,422		5,753
8	7500	1844,2	12,558	5,495		5,760
9	7500	1768	11,563	5,506		5,761
10	7500	1640	9,954	5,524		5,772
11	7500	1452	7,807	5,549		5,777
12	7500	1188	5,229	5,584		5,782
13	0	0	2,302	5,674		5,784
14	0	0	0,379	5,956		5,780
15	0	0	0,457	5,758		5,764
16	0	0	5,307	5,726		<u>5,729</u>
17	0	0	19,929	5,671		<u>5,761</u>
18	0	0	34,920	<u>5,624</u>		<u>5,624</u>
19	0	0	48,107	5,640		<u>5,640</u>
20	0	0	43,948	5,751		<u>5,751</u>
21	0	0	25,981	5,874		<u>5,874</u>
22	0	0	0,623	<u>5,899</u>		<u>5,899</u>
23	0	0	1,881	5,847		<u>5,847</u>
24	0	0	0	5,792		5,792

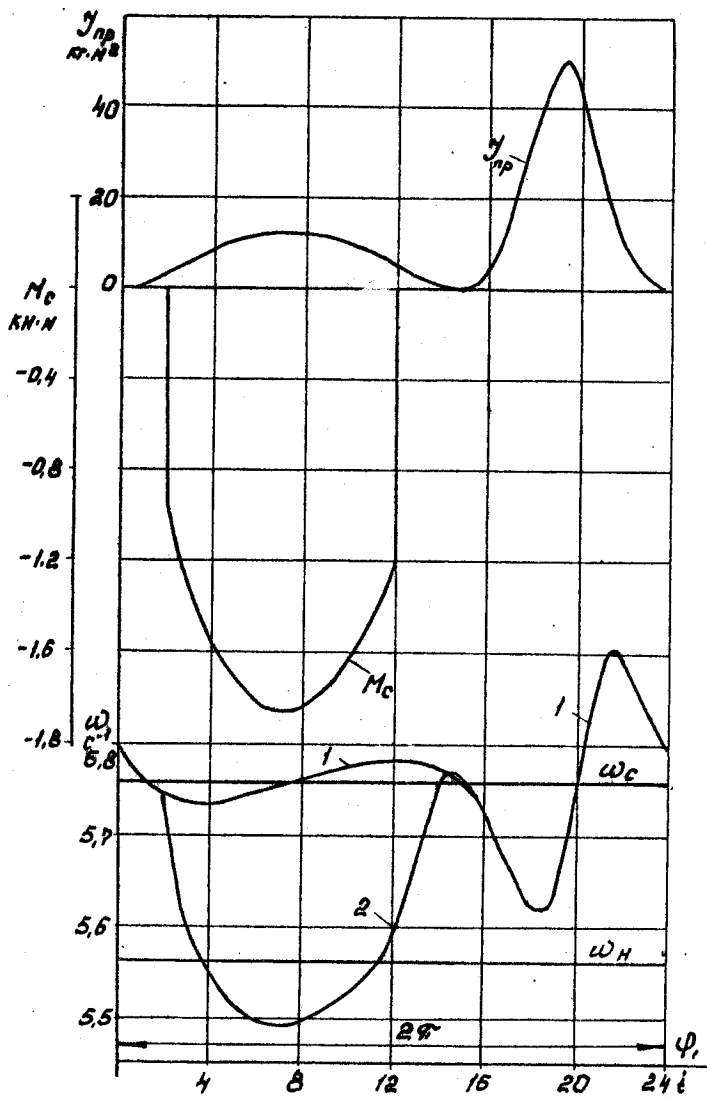


Рис. д.2.5

Використовуючи наведену формулу, знаходимо $A_Q = 4230 \text{ Дж.}$

Аналогічно визначається приведений момент сил тертя:

$$M_F = -(F_{50} V_{50}/\omega_1 + F_{23} V_{23}/\omega_1).$$

Значення приведеного моменту сил тертя записані в табл. Д.2.4. У результаті інтегрування функції M_F знаходимо роботу сил тертя: $A_F = -588 \text{ Дж.}$

Таблиця Д.2.4

i	$F_{50}, \text{Н}$	$F_{23}, \text{Н}$	$-M_F, \text{Н}\cdot\text{м}$
0	219,5	411	82,2
2	213,5	449	116,3
4	189,4	332	87,4
6	177,8	243	58,6
8	178,9	-187	47,5
10	187,1	-141	48,7
12	194,2	-74,4	34,1
14	171,3	-331	70,3
16	-170,1	-377	123,6
18	-196,4	-733	135,9
20	-177,5	432	113,2
22	-211,0	707	177,9
24	-214,4	342	68,4

Повна робота сил опору за один оберт

$$A = A_F + A_Q = -588 - 4230 = -4818 \text{ Дж.}$$

4.2. Тепер можна знайти ККД головного механізму:

$$\eta = \frac{4230}{4818} = 0,877.$$

Отримане значення дещо перевищує дійсне, оскільки тертя в обертальних парах не було враховане. Необхідна потужність двигуна $P > A/T$, де $T = 60/\pi$ - час одного оберту початкової ланки. У даному випадку

$$P = \frac{4818 \cdot 55}{60} = 4406 \text{ Вт} \approx 4,4 \text{ кВт.}$$

Джерелом енергії може бути асинхронний електродвигун серії 4A, типу 4A13254УЗ [18], номінальною потужністю $P_E = 7,5 \text{ кВт}$ і номінальною частотою обертання 1455 л/хв . Двигун вибрано з великим запасом потужності, через те що для розглядуваного агрегату характерні значні коливання навантаження та інерційних сил.

4.3. Якщо знати масами другої та четвертої ланок через їх малість, приведений момент інерції шарнірно-важільного механізму можна визначити за формулou

$$J_n = J_{0,5} \left(\frac{\omega_3}{\omega_1} \right)^2 + m_5 \left(\frac{\omega_D}{\omega_1} \right)^2.$$

Результати обчислення приведеного моменту інерції наведені в табл. Д.2.4 і показані на рис. Д.2.5.

5. Визначення нерівномірності обертання вала двигуна

5.1. Вважатимемо, що постійна складова приведеного моменту інерції агрегату, що включає приведений момент інерції ротора двигуна, редуктора і маховика, становить 250 кг м^2 .

Передаточне число між валом електродвигуна і початковою ланкою шарнірного механізму визначене як відношення номінальних частот обертання цих ланок:

$$\eta_p = \frac{\tau_H}{\tau_h} = \frac{1456}{55} = 26,45.$$

Коефіцієнти A і B характеристики електродвигуна були знайдені за /3.56/.

5.2. Кутова швидкість ω_i у кінці інтервалу $(i-1, i)$ визначається через кутову швидкість на початку інтервалу ω_{i-1} , за /3.57/. Значення кутової швидкості ω_i при $\varphi = 0$ було взято таким, що дорівнює його номінальному значенню $\omega_h = 5,565 \text{ с}^{-1}$. При цьому значенні було знайдено значення ω_i /див. табл. Д.2.4/ протягом одного оберту початкової ланки. Як випливає з таблиці, початкові і кінцеві значення ω_0 і ω_{24} не збігаються. Це результат довільного задання ω_0 .

Тому розрахунок продовжується із значенням ω_0 , що дорівнює кінцевому значенню ω_n для першого оберту, тобто для другого оберту беремо $\omega_0 = 5,792$ /створець ω_0 /. Як випливає з табл. Д.2.4, починаючи з положення 6 значення ω_1 і ω_2 збігаються. Це означає, що дійсним початковим значенням кутової швидкості за усталеного режиму є $\omega_0 = 5,792 \text{ с}^{-1}$.

5.3. Для виявлення причин, що викликали нерівномірність обертання, було виконано розрахунок при $\alpha_g = 0$, тобто на холостому ходу верстата. Цьому випадку відповідає останній стовпець у табл. Д.2.4 і крива 2 на рис. Д.2.5. Як випливає з рис. Д.2.5, обидві причини суттєво впливають на нерівномірність обертання початкової ланки.

Коефіцієнт нерівномірності обертання можна знайти, якщо вибрати з табл. Д.2.4 найбільше і найменше значення.

При роботі під навантаженням $\omega_{max} = 5,899$; $\omega_{min} = 5,422$, тому

$$\delta = \frac{2(\omega_{max} - \omega_{min})}{\omega_{max} + \omega_{min}} = \frac{2(5,899 - 5,422)}{5,899 + 5,422} = 0,0843,$$

що припустимо для металорізальних верстатів.

Додаток 3

Алгоритм і приклад силового розрахунку кривошино-повзунного механізму з урахуванням тертя

I. Розрахункові рівняння

Схему розглядуваного механізму та схему навантаження групи 1/2, 3/ зображенено на рис. Д.3.1.

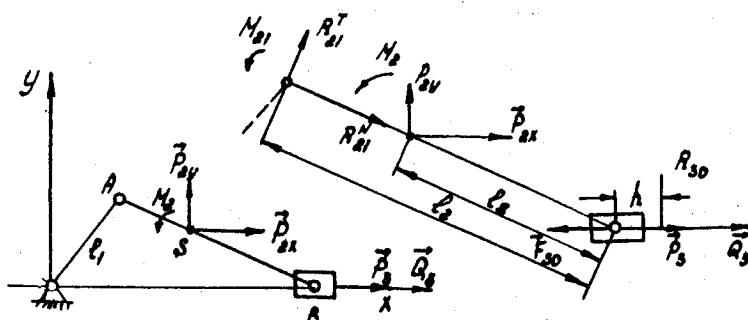


Рис. Д.3.1

При розрахунку слід врахувати силу тертя

$$F_{30} = -|R_{30}| f \operatorname{sign}(v_{3-0}) \quad /Д.3.1/$$

між повзуном і стояком, а також моменти тертя

$$M_{23} = -|R_{23}| f r_{23} \operatorname{sign}(\omega_{2-3}); \quad /Д.3.2/$$

$$M_{21} = -|R_{21}| f r_{21} \operatorname{sign}(\omega_{2-1}). \quad /Д.3.3/$$

Оскільки $v_{30} = 0$ і $\omega_3 = 0$, то $v_{3-0} = v_2$ і $\omega_{2-3} = \omega_2$.

Відносяча кутова швидкість $\omega_{2-1} = \omega_2 - \omega_1$. У розглядуваному механізмі виконується умова $|\omega_2| < |\omega_1|$, тому в усіх положеннях механізму

$$\operatorname{sign}(\omega_{2-1}) = -\operatorname{sign}(\omega_1) = -1.$$

Отже, рівняння /Д.3.3/ набуває вигляду

$$M_{21} = |R_{21}| f r_{21}. \quad /Д.3.4/$$

Складемо рівняння етапу I для визначення R_{21}^T :

$$-R_{212}^T \ell + M_2 - P_{2y} \ell \cos \varphi_2 + P_{2x} \ell \sin \varphi_2 + M_{21} + M_{23} = 0.$$

Звідси

$$R_{21}^T = (M_2 + M_{21} + M_{23} - \ell (P_{2y} \cos \varphi_2 - P_{2x} \sin \varphi_2)) / \ell. \quad /Д.3.5/$$

На етапі 2 складаємо рівняння проекції на осі X і Y усіх сил, що діють на групу /2, 3/:

$$-R_{21}^T \sin \varphi_2 + R_{21}^N \cos \varphi_2 + P_{ex} + P_3 + Q_3 + F_{30} = 0;$$

$$R_{21}^T \cos \varphi_2 + R_{21}^N \sin \varphi_2 + P_{ey} + R_{30} - G_3 = 0.$$

Звідси

$$R_{21}^N = (R_{21}^T \sin \varphi_2 - P_{ex} - P_3 - Q_3 - F_{30}) / \cos \varphi_2;$$

$$R_{30} = -(R_{21}^T \cos \varphi_2 + R_{21}^N \sin \varphi_2 + P_{ey} - G_3). \quad /Д.3.6/$$

Розв'язуючи задачу методом послідовних наближень, у /Д.3.6/ будемо використовувати значення R_{30} попереднього наближення, а при першому розрахунку цим доданком нехтуємо.

На етапі 3 силового розрахунку визначаємо процеси реакції R_{32} . Для цього складаємо рівняння проекцій на осі X і Y сил, що діють на ланку 3:

$$R_{32}^X + P_3 + Q_3 + F_{30} = 0;$$

$$R_{32}^Y + R_{30} - G_3 = 0.$$

Звідси

$$R_{32}^X = -(P_3 + Q_3 + F_{30});$$

$$R_{32}^Y = -R_{30} + G_3.$$

На етапі 4 визначаємо плече f реакції R_{30} . З рівняння моментів відносно точки B сил, що діють на повзун 3, дістаемо

$$f = M_{32} / R_{30}.$$

Для моментів M_{23} і M_{21} визначаємо повні реакції:

$$R_{32} = \sqrt{(R_{32}^X)^2 + (R_{32}^Y)^2};$$

$$R_{21} = \sqrt{(R_{21}^T)^2 + (R_{21}^N)^2}.$$

2. Схема алгоритму

Силовий розрахунок має бути виконаний для n рівновіддалених значень ϑ . Щоб розглянути ці положення, організуємо зовнішній цикл /рис. Д.3.2/ з параметром i - номером положення механізму, який змінюється від 0 до n . Тому поточне значення $\vartheta = i\Delta\vartheta$, де $\Delta\vartheta$ - крок зміни кута повороту кривошипа, $\Delta\vartheta = 2\pi/n$.

У зовнішньому циклі слід визначити кінематичні параметри механізму $\vartheta_2, \omega_2, \dot{\vartheta}_2, \ddot{\vartheta}_2, \alpha_2, \alpha_3, \alpha_{32}$ /блок 3/, які будуть використані для обчислень P_2, P_3, M_2, M_3 задачі силового розрахунку необхідно визначити шість невідомих складових реакцій. У ході обчислень похибок виконуються однотипні обчислення для кожної з цих величин. Для спрощення операцій вихідні й уточнені значення реакцій описано у вигляді масивів, які складаються з шести елементів. Елемент масиву вихідних значень реакцій позначимо $R'(j)$, елемент масиву уточнених значень - $R''(j)$. Індекс j може набувати значень від 1 до 6.

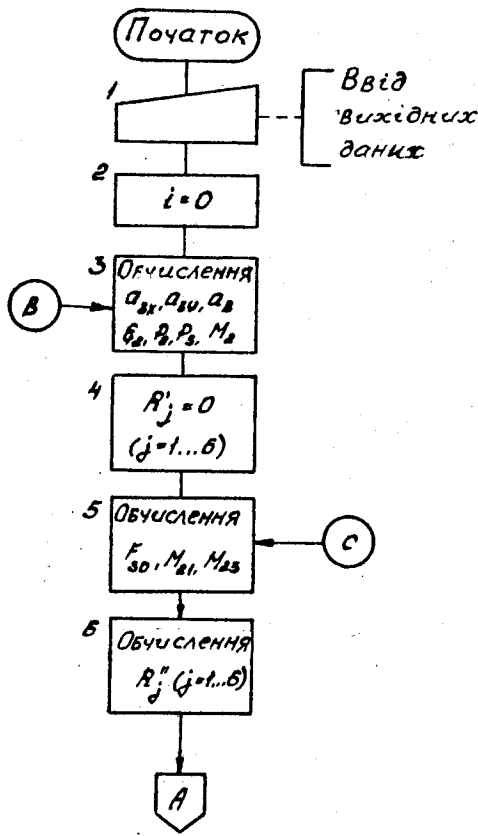


Рис. II.3.2

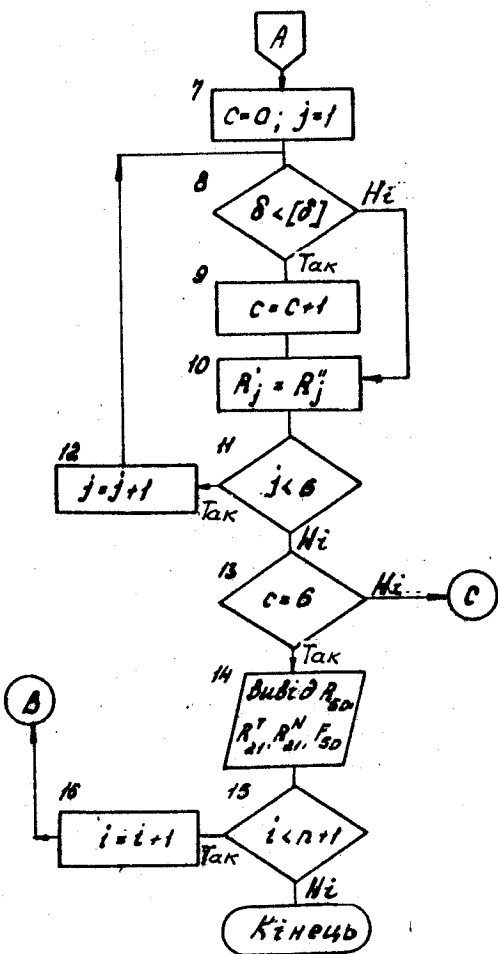


Рис. Д.3.2. Закінчення

Встановимо таку відповідність між позначеннями і елементами масивів R' і R'' , які використовувались раніше:

$$R'_{21} = R(1); R''_{21} = R(2); R'_{23}^X = R(3); R''_{23}^Y = R(4); R'_{30} = R_5; f = R(6).$$

Перед початком силового розрахунку всім елементам масиву R' присвоюємо нульові значення /блок 4/. Природно, що значення F_{30} , M_{21} , M_{23} , які будуть знайдені у блокі 5, за першого виконання ітераційного циклу виявляться такими, що дорівнюють нулю. Потім у блокі 6 буде знайдено елементи масиву R'' , які в реакціями першого наближення. У даному випадку це ідеальні реакції, що виникають у механізмі за відсутності тертя.

Ітераційний процес послідовних уточнень реакцій і сил тертя здійснюється блоками 5 - 13. У блокі 5 обчислюються сила тертя F_{30} і моменти M_{21} , M_{23} чергового наближення, за допомогою яких у блокі 6 уточнюються значення реакцій - визначаються елементи масиву R'' . Блоки 7 - 12 утворюють внутрішній цикл, в якому обчислюються і перевіряються відміни елементів масиву R'' від відповідних елементів масиву R' . Якщо хоч одна з відносних похибок перевищує задане значення, відбувається повернення до блоку 5 для обчислення сил тертя наступного наближення. Для порівняння всіх шести елементів масивів R' і R'' організовано внутрішній цикл за параметром j , який змінюється від 1 до 6. Всередині цього циклу відбувається обчислення похибок і перезадання елементів масиву R' , для чого в блокі 10 елементу $R'(j)$ присвоюється значення $R''(j)$.

Вихід із середнього ітераційного циклу /він вміщує блоки 5-13/ після зменшення всіх похибок нижче припустимого забезпечується за допомогою допоміжної змінної C . Перед початком внутрішнього циклу їй присвоюється значення 0 і при кожній перевірці похибки значення C збільшується на одиницю, якщо похибка, що перевіряється, менша за допустиму. Таким чином, після закінчення внутрішнього циклу $C = 6$ є ознакою, що потрібна точність досягнута для всіх величин. Після виходу із середнього ітераційного циклу блок 14 забезпечує вивід усіх знайдених величин. Блоки 15 і 16 завершують виконання зовнішнього циклу і припиняють розрахунок після розглядання всіх положень механізму.

3. Приклад розрахунку

Як приклад виконаємо розрахунок механізму /див. рис. Д.З.1/ за таких вихідних даних.

Довжина кривошипа $\ell_1 = 0,0375$ м.

Довжина шатуна $\ell_2 = 0,168$ м.

Відрізки, що задають положення центра мас шатуна, $AS_2 = 0,055$ м;
 $BS_2 = 0,113$ м.

Кутова швидкість кривошипа $\omega_1 = 5$ 1/с.

Маса шатуна $m_2 = 12$ кг.

Маса повзуну $m_3 = 24$ кг.

Центральний момент інерції шатуна $J_{s2} = 0,055 \text{ кг}\cdot\text{м}^2$.

Коефіцієнт тертя $f = 0,1$.

Радіус пальця шарніра A $r_a = 25$ мм.

Радіус пальця шарніра B $r_b = 15$ мм.

Сила корисного опору діє при $210^\circ \leq \varphi \leq 360^\circ$.

Залежність сили опору від кута повороту

$$Q_3 = -0,133 (\varphi - \varphi_s)^2,$$

де φ_s — кут, за якого починає діяти сила опору.

Для розв'язання задачі було використано програму 2.8 /див. дод. I/. Ця програма дає змогу знайти значення реакцій, моментів тертя M_{12} і M_{23} , а також сили F_{30} методом послідовних наближень. У цій самій програмі обчислюються значення приведених моментів сили корисного опору, сили ваги та сил тертя.

Розрахунки були виконані для 13 рівновіддалених положень механізму. Початком відрахування кута φ , узято крайнє праве положення механізму.

Значення сил, що задаються, і результати визначення ідеальних реакцій наведені у табл. Д.З.1; значення моментів тертя і реакцій, знайдених з урахуванням тертя, — у табл. Д.З.2. Із цих таблиць випливає, що найсуттєвішим є вплив тертя на реакцію R_{21} . Процес наближення сили F_{30} і моментів M_{21} і M_{23} до їх усталених значень показаний у табл. Д.З.3, з якої випливає, що ітераційний процес швидко сходиться. Після чотирьох-п'яти наближень похибка стає менше припустимої.

Пара /3, 0/ на першій половині оберту навантажена в основному силово ваги повзуну, яка викликає силу тертя в межах 25...27 Н. На другій половині оберту сила корисного опору викликає реакцію в парі /3, 0/, спрямовану протилежно реакції від сили ваги. У результаті пара /3, 0/ розвантажується, що викликає відповідне зменшення сили тертя F_{30} до 1,58 Н у положенні II.

Таблица Д3.1

I	Q_3, H	P_3, H	P_{2x}, H	P_{2y}, H	R_{2x}^T, H	R_{2y}^N, H	R_{30}, H	R_{32}^x, H	R_{32}^y, H
0	0	27,52	12,07	0	79,18	-39,59	273,98	-27,52	-58,54
1	0	22,06	16,16	3,78	74,51	-40,79	270,78	-22,06	-35,34
2	0	8,74	5,21	6,55	71,09	-28,23	271,38	-8,74	-35,06
3	0	-5,15	-0,84	7,56	70,49	-2,99	274,67	5,15	-39,28
4	0	-13,95	-6,035	6,55	72,55	5,89	276,56	13,76	-41,12
5	0	-16,91	-9,32	3,78	75,97	17,86	275,87	16,91	-40,43
6	0	-19,48	-10,43	0	79,18	27,91	273,98	17,48	-38,54
7	0	-16,91	-9,32	-3,78	81,34	35,54	272,08	19,91	-36,64
8	-119,70	-13,95	-6,06	-6,55	82,82	158,49	249,82	133,46	-12,38
9	-478,80	-5,15	-0,84	-7,56	83,89	510,55	163,65	483,95	71,79
10	-1919,23	8,74	5,21	-6,55	84,28	100,39	64,31	1068,55	191,13
11	-1915,21	22,06	16,16	-3,78	82,86	1904,12	62,08	1893,13	193,35
12	-2892,5	27,52	12,07	0	79,18	2952,91	273,98	2954,98	-38,54

Таблица 43.2

I	$M_{21}, H \cdot M$	$M_{23}, H \cdot M$	F_{30}, H	h, MM	R_{21}^T, H	R_{21}^N, H	R_{30}, H	R_{32}^x, H	R_{32}^y, H
0	0.263	0.098	27,18	0.36	81.34	-66.78	271.82	-54.71	-36.38
1	0.255	0.085	26,57	0.32	76.54	-67.76	265.75	-48.63	-30.31
2	0.229	0.065	26,44	0.26	72.86	-55.52	264.38	-35.18	-28.94
3	0.202	-0.058	26,76	0.22	71.33	-37.64	267.66	-21.61	-32.22
4	0.191	-0.056	27,14	-0.21	73.35	-21.84	270.41	-13.281	-34.97
5	0.193	-0.056	27,20	-0.21	76.78	-9.60	272.00	-10.29	-36.56
6	0.243	-0.087	-29,30	-0.32	80.11	+55.21	273.15	44.78	-37.61
7	0.258	-0.081	-26,81	-0.31	82.45	62.63	268.01	43.71	-32.57
8	0.504	-0.825	-24,14	-0.98	84.41	183.42	241.43	157.60	-5.99
9	1.353	-0.759	-15,64	-4.88	89.42	533.41	156.44	499.59	78.89
10	2.793	1.639	-3.64	+44.68	110.67	1109.31	36.68	1072.20	198.75
11	4.799	2.868	-1.58	179.45	128.51	1910.83	15.98	1894.71	219.45
12	7.460	4.488	-20.35	22.13	150.31	2973.25	202.85	2985.33	32.58

$I = 1$				$I = 9$			
j	$M_{21}, \text{Н}\cdot\text{м}$	$M_{23}, \text{Н}\cdot\text{м}$	$F_{30}, \text{Н}$	j	$M_{21}, \text{Н}\cdot\text{м}$	$M_{23}, \text{Н}\cdot\text{м}$	$F_{30}, \text{Н}$
1	0,000	0,000	0,000	1	0,000	0,000	0,000
2	0,212	0,082	27,079	2	1,308	-0,733	-16,364
3	0,255	0,086	26,609	3	1,353	-0,759	-15,639
4	0,255	0,085	26,573	4	1,353	-0,759	-15,639
5	0,255	0,085	26,573				

На основі отриманих даних за формулами

$$M_c = Q_3 V_B / \omega_1$$

i

$$M_F = (M_{c1}(\omega_2 - \omega_1) + M_{23} \omega_3 + F_{30} V_B) / \omega_1$$

були розраховані значення приведених моментів сил корисного опору і сил тертя. Графіки цих функцій показані на рис. Д.3.3. У результаті чисельного інтегрування знайдених функцій було отримано значення роботи сил корисного опору $A_c = -57,285$ Дж і роботи приведеного моменту тертя $A_F = -12,343$ Дж. Отже, ККД шарнірного механізму

$$\eta = \frac{A_c}{A_c + A_F} = \frac{57,285}{57,285 + 12,343} = 0,82.$$

Щоб з'ясувати, наскільки суттєвим є вплив моментів тертя в обертальних парах, було виконано розрахунок, за якого M_{21} і M_{23} узято такими, що дорівнюють нулю. Протікання приведеного моменту тертя у цьому випадку показане пунктиром на рис. Д.3.3, з якого випливає, що в розглядуваному механізмі вплив моментів тертя особливо відбувається на робочому ході механізму $210^\circ < \vartheta < 360^\circ$.

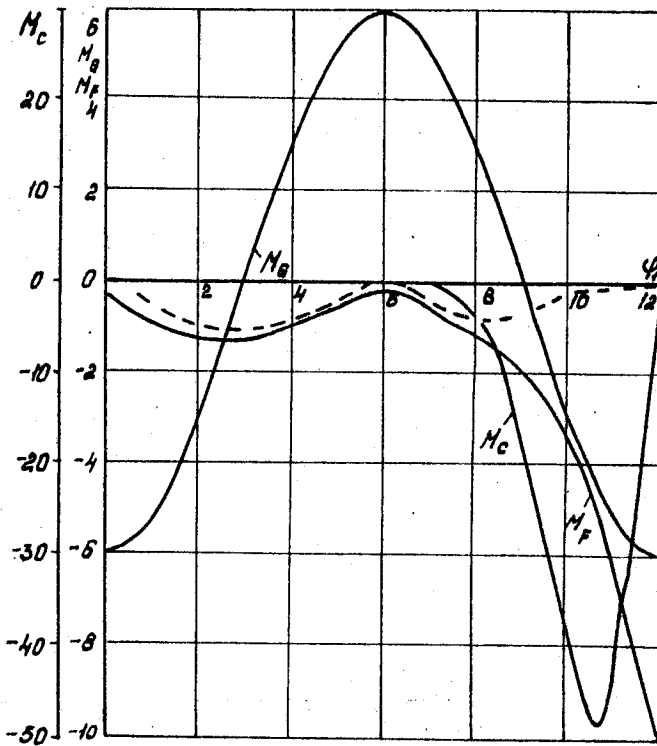


Рис. Д.3.3

Додаток 4

Довідкові матеріали для розрахунку зубчастих коліс

Таблиця Д.4.1

Умови розміщення передачі	$H_1 \text{ и } H_2 \leq HB350$		$H_1 \text{ і } H_2 > HB350$	
	ϵ_H	ϵ_F	ϵ_H	ϵ_F
1. Консольне розташування коліс. Вали на шарикових підшипниках	0,5	1,03	1,12	1,75
2. Те саме. Вали на роликовых підшипниках	0,32	0,69	0,88	1,17
3. Швидкохідний ступінь двоступін- частих рядкових редукторів	0,16	0,31	0,35	0,53
4. Тихохідний ступінь співвісного редуктора	0,11	0,22	0,25	0,33
5. Швидкохідний ступінь співвіс- ного і тихохідний ступінь рядко- вого двоступінчастого редук- торів	0,07	0,16	0,17	0,25
6. Одноступінчастий редуктор	0,05	0,11	0,10	0,20
7. Тихохідний ступінь двоступін- частого редуктора з роздвоєнням потоку потужності на швидкохід- ному ступені	0,04	0,06	0,05	0,1

Таблиця Д.4.2

Розташування коліс відносно опор	ψ_{ed}	
	$H_1 \leq HB350$ чи $H_2 < HB350$	$H_1 > HB350$ чи $H_2 > HB350$
Симетричне /рядки 6 і 7 табл. 2.1/	0,9...1,2	0,7...1,0
Несиметричне /рядки 3 – 5 табл. 2.1/	0,8...1,0	0,6...0,8
Консольне /рядки 1 і 2 табл. 2.1/	0,5...0,7	0,4...0,5

Таблиця Д.4.3

Термообробка і твердість	Марка сталі	σ_f° , МПа	S_F'
Цементація <i>HRC 57...63</i>	20ХН, 20ХНМ, 20Х2НМ, 12ХНЗА 15ХГНТА, 18Х2Н4МА, 18Х2Н4ВА	950 [*] 800	1,55 [*] 1,75
	18ХГТ, 15ХФ 30ХГТ, 20ХГР, 20Х	810 [*] 700	1,6 [*] 1,75
	20ХГТМ і подібні	1000	1,55
	35Х, 25ГТ, 30ХГТ	750	1,55
Нітроцементація <i>HRC 57...63</i>	35ХДА, 35ЛМДА, 38ХЛМДА	300+12M _{HRC} ^{серд.}	1,75
Азотування <i>HV 700...950</i>	40ХФА, 40Х2НМА		
Азотування <i>HV 500...750</i>	Усі сталі	400	1,75
Гартування тільки робочої поверхності TB4. Викрушка має HB200...300	40ХН, 40ХН2М і под.	700	1,75
TB4. <i>HRC 48...58</i>	УОХ, 35ХМ і под.	600	1,75
Гартування об'ємне <i>HRC 45...55</i>	50ХН, 40ХН 40ХН2М	660 [*] 550	1,75 [*] 1,85
	40Х 40ХФА	600 [*] 500	1,75 [*] 1,85
Нормалізація, покращення HB 180...300	40, 45, 40Х, 40ХН, 40ХФА, 40ХН2МА, 18ХГН4ВА, 35ХГС	1,8H _{NB}	1,75

* Чисельник - у разі використання засобів проти зневуглецевування робочих поверхонь, знаменник - без застосування таких засобів.

Таблиця Д.4.4

Способ термічної чи хімічно-термічної обробки	Твердість поверхні зубів	Група сталей	$\sigma_{\text{Нcітв}}$, MPa
Відпал, нормалізація, покрашення	$H \leq HB 350$	Вуглецеві, леговані	$2H_{HB} + 70$
Поверхневе гарячання	$HRC 40 \dots 50$	Вуглецеві, леговані	$17H_{HRC} + 200$
Цементація і нітроцементація	$H \geq HRC 56$	Леговані	$23 HRC$
Азотування	$HV 550 \dots 750$	Леговані	1050

Таблиця Д.4.5

Структура матеріалу зуба	S_H	
	Наслідки руйнування передачі	
	Важкі	Звичайні
Однорідна	1,25	1,1
З поверхневим керуванням	1,35	1,2

Таблиця Д.4.6

Вид заготовки	S_F''	
	Абразивне знослення	
	відсутнє	наявне
Поковки і штамповки	1,0	1,3...1,6
Прокат	1,15	1,5...1,8
Литво	1,3	1,7...2,0

Таблиця Д.4.7

Характер навантаження	Термообробка	K_{FC}
Одностороннє навантаження		I,0
Двостороннє навантаження	Відпал, нормалізація, покрашення	0,65
	Оф'ємне та поверхневе гартування, цементація	0,75
	Азотування	0,9

Таблиця Д.4.8

Ряд	Модулі евольвентних циліндричних коліс (Вибірка з ГОСТ 9563-60)
1	I; I,25; 1,5; 2,0; 2,5; 3; 4; 5; 6; 8; 10; 12; 16; 20; 25; 32; 40
2	I, I25; I,375; I,75; 2,25; 2,75; 3,5; 4,5; 5,5; 7; 9; 11; 14; 18; 22; 28; 36

Таблиця Д.4.9

Розрахунок за контактним напруженням	Розрахунок на згин
1. Розрахунковий крутячий момент $T = \frac{ M_c(\varphi) / \max}{C_1 K}$, де $M_c(\varphi) / \max$ - найбільший за модулем сумарний приведений момент, Н·м /див. табл. Д.3.І/; C_1 - загальне передаточне число між початковою ланкою і розрахованою шестернею; K - число ведених коліс.	
2. Матеріал шестерні, його термообробка і твердість /див. табл. Д.4.3/	
3. Границя контактної витривалості за базового числа циклів $\sigma_{H \text{ limit}}$ /див. табл. Д.4.4/	3. Границя згинальної витривалості за базового числа циклів $\sigma_{F \text{ limit}}$ /див. табл. Д.4.3/
4. Коєфіцієнт безпеки S_H /див. табл. Д.4.5/	4. Коєфіцієнти безпеки у разі згину: S_F - див. табл. Д.4.3; S'_F - див. табл. Д.4.6. 4.1. Коєфіцієнт K_{FC} /див. табл. Д.4.7/
5. Допустимі контактні напруження $\sigma_{HP} = \frac{\sigma_{H \text{ limit}}}{S_H}$	5. Допустимі напруження у разі згину $\sigma_{FP} = \frac{\sigma_{F \text{ limit}} K_{FC}}{S'_F S''_F}$
6. Коєфіцієнт ширини зуба ψ_{ed} визначається залежно від розташування коліс за табл. Д.4.2	
7. $K_{HP} = 1 + \epsilon_H \psi_{ed};$ ϵ_H - див. табл. Д.4.1	7. $K_{FP} = 1 + \epsilon_F \psi_{ed};$ ϵ_F - див. табл. Д.4.1

СПИСОК ЛИТЕРАТУРЫ

- I. Александрова М.Н., Грунауэр А.А. Оптимальное проектирование кулачковых механизмов с толкателем и роликом // Теория механизмов и машин. - Х.: Выща шк., 1988. - Вып. 44. - С. 3-7.
2. Артоболевский И.И. Об определении маховых колес в машинах // Докл. АН СССР. - 1944. - № 5. - С. 138-142.
3. Артоболевский И.И. Теория механизмов и машин. - 3-е изд., перераб. и др. - М.: Наука, 1975. - 683 с.
4. Болотовская Т.П. и др. Справочник по геометрическому расчету эвольвентных зубчатых и червячных передач. - М.: Машигиз, 1963. - 376 с.
5. Вещенский С.Н. Характеристики двигателей в приводе. - М.: Энергия, 1977. - 450 с.
6. Гавриленко Е.А. Основы теории эвольвентной зубчатой передачи. 2-е изд., перераб. - М.: Машиностроение, 1969. - 432 с.
7. Гельфанд А.О. Решение уравнений в целых числах. - М.: Гос. изд-во техн.-теор. лит-ры, 1956. - 62 с.
8. Геронимус Я.Л. Нахождение профиля кулачка по заданному закону движения толкателя // Техника воздушного флота. - 1933. - № 3. - С. 27-29.
9. ГОСТ 16532-70. Передачи зубчатые цилиндрические внешнего зацепления. Расчет геометрии. - М.: Госком. по станд., 1983. - С. 77-114.
10. ГОСТ 21354-75. Передачи зубчатые цилиндрические эвольвентные. Расчет на прочность. - М.: Госком. по станд., 1976. - 60 с.
- II. Грунауэр А.А., Изюмский В.П. Условие монтажа планетарных механизмов с несколькими блоками сателлитов // Теория механизмов и машин. - Х.: Выща шк., 1990. - Вып. 48. - С. 48-51.
12. Грунауэр А.А. Проектирование механизмов и машин с помощью цифровых ЭВМ. - Х.: Выща шк., 1980. - 120 с.
13. Гутьяр Е.М. Уточнение расчета массы маховика по методу проф. Мерцалова // Вестник металлопромышленности. - 1939. - № 3. - С. 47-52.
14. Дьяконов В.П. Справочник по расчетам на микрокалькуляторах. - М.: Наука, 1985. - 221 с.
15. Дьяконов В.П. Справочник по алгоритмам и программам на языке Бейсик для персональных ЭВМ. - М.: Наука, 1989. - 239 с.
16. Заблоцкий В.П., Изюмский В.П. К исследованию движения машинного агрегата, имеющего асинхронный двигатель // Теория механизмов и машин. - Х.: Выща шк., 1967. - Вып. 3. - С. 86-92.

17. Зиновьев В.А. Курс теории механизмов и машин. - М.: Наука, 1975. - 383 с.
18. Иванов М.Н., Иванов В.Н. Детали машин. Курсовое проектирование. - М.: Выш. шк., 1975. - С. 570.
19. Использование численного дифференцирования в задачах кинематики / Сост. А.А. Грунауэр. - Х.: ХПИ, 1988. - 8 с.
20. Келиктин Н.Н. Численные методы. - М.: Наука, 1978. - 512 с.
21. Киркак Н.Ф., Баласанян Р.А. Расчет и проектирование деталей машин. - 2-е изд., перераб. и доп. - Х.: Выща шк., 1987. - 186 с.
22. Ковылин Ю.Я. Геометрический синтез типовых соосных зубчатых механизмов с помощью ЭВМ. - Томск: Изд-во ТПИ, 1981. - 94 с.
23. Кожевников С.Н. Теория механизмов и машин. - 4-е изд., испр. - М.: Машиностроение, 1973. - 590 с.
24. Левитская О.Н., Левитский Н.И. Курс теории механизмов и машин. - 2-е изд., перераб. и доп. - М.: Выш. шк., 1985. - 279 с.
25. Методическая разработка. Программируемые микрокалькуляторы и их применение в учебном процессе средних специальных учебных заведений / Сост. А.А. Грунауэр. - К.: РНМК по ССО, 1984. - 56 с.
26. Механика промышленных роботов: Учеб. пособие для вузов: в 3-х кн. / Под ред. К.В. Фролова, Е.И. Воробьева. - Кг. I. Кинематика и динамика. - М.: Выш. шк., 1988. - 304 с.
27. Мерцалов Н.И. Избранные труды. - Т. 3. Динамика механизмов. - М.: Машгиз, 1952. - 328 с.
28. Методические рекомендации по проектному расчету зубчатых передач с использованием программируемых микрокалькуляторов / Сост. А.А. Грунауэр, В.И. Рудницкий, А.С. Столбовой. - К.: РНМК по ССО, 1987. - 46 с.
29. Мыжкис А.Д. Лекции по высшей математике. - 4-е изд., стер. - М.: Наука, 1973. - 640 с.
30. Петрук А.И. Вопросы синтеза цикловых машин. - К.: Наук. думка, 1981. - 119 с.
31. Писаренко Г.С. и др. Сопротивление материалов. - К.: Выща шк., 1986. - 768 с.
32. Пискунов Н.С. Дифференциальное и интегральное исчисление. - 6-е изд. - М.: 1965. - 548 с.
33. Полидов А.Н. Программные разгружатели цикловых механизмов. - Львов: Выща шк., 1979. - 170 с.
34. Расчеты зубчатых и червячных передач на выносливость и прочность / В.И. Рудницкий. - Х.: ХПИ, 1983. - 68 с.

35. Сакуридин М.А. Определение движения механизма по уравнению кинетической энергии при задании сил функциями скорости и времени // Труды Ин-та машиноведения. Семинар по теории механизмов и машин. - М., 1951. - Вып. 45. - Т. ХП. - С. 83-95.
36. Тарг С.М. Краткий курс теоретической механики. - М.: Наука, 1974. - 478 с.
37. Тир К.В. Механика полиграфических автоматов. - К.: Книга, 1965. - 327 с.
38. Теория механизмов и машин / Под ред. К.В. Фролова. - М.: Выш. шк., 1987. - 496 с.
39. Трегуб А.П. Электротехника. - К.: Выща шк., 1989. - 600 с.
40. Трокименко Я.К., Любич Ф.Д. Инженерные расчеты на программируемых калькуляторах. - К.: Техника, 1985. - 324 с.
41. Щепетильников В.А. Уравновешивание механизмов. - М.: Машиностроение, 1982. - 387 с.
42. Фигурнов В.Э. IBM PC для пользователя. - М.: Финансы и статистика, 1990. - 240 с.
43. Яблонский А.А., Никифорова В.М. Курс теоретической механики. В 2 ч. - 5-е изд., испр. - Ч. I. - М.: Выш. шк., 1977. - 376 с.

ЗМІСТ

Введення	3
I. Етапи проектування механізмів	
та їх особливості	4
I.I. Системний підхід до розв'язання завдань	
проектування	4
I.2. Особливості проектування в разі викорис-	
тання ЕОМ	7
I.3. Основні типи алгоритмів,	
що використовуються	12
2. Кінематичне дослідження шарнірно-важільних	
механізмів із дволанковими групами Ассура	16
2.1. Постановка задачі кінематичного дослідження	16
2.2. Структурний аналіз плоских	
механізмів	17
2.3. Етапи кінематичного дослідження	
груп Ассура	20
2.4. Методи кінематичного дослідження	
механізмів	21
2.5. Перший етап кінематичного дослідження.	
Варіанти складання	23
2.6. Вектори рівняння, що використовуються	
на другому та третьому етапах кінематичного	
дослідження	34
2.7. Другий і третій етапи дослідження	
механізму графоаналітичним методом	39
2.8. Другий і третій етапи кінематичного	
дослідження. Метод проектування планів	43

2.9. Метод чисельного диференціювання в разі виконання другого та третього етапів кінематичного дослідження	49
2.10. Кінематичне дослідження неусталеного руху механізмів. Дослідження маніпуляційних систем роботів	54
3. Динамічні розрахунки машин із шарнірно-важільними механізмами	69
3.1. Задачі динамічного розрахунку машинних агрегатів	69
3.2. Силовий розрахунок механізму	70
3.3. Визначення параметрів одномасової динамічної моделі машинного агрегату	89
3.4. Дослідження усталеного руху машинного агрегату та розрахунок маховика	100
3.5. Зрівноваження мас машини на фундаменті	121
4. Проектування зубчастої передачі	126
4.1. Призначення з зубчастих передач та етапи їх проектування	126
4.2. Визначення чисел зубів коліс редукторів, виконаних за розгорнутою схемою	128

4.3. Проектування співвісних редукторів	134
4.4. Синтез планетарних передач	141
4.5. Розрахунок зубчастих пар двоступінчастого редуктора на контактну та згинальну витривалість	161
4.6. Визначення критеріїв оптимальності	167
4.7. Геометричний синтез пари евольвентних зубчастих коліс зовнішнього зачеплення	174
4.8. Побудова профілів зубів	190
5. Проектування кулачкових механізмів	209
5.1. Постановка задачі оптимального проектування	209
5.2. Визначення положення веденої ланки, її швидкості та прискорення	210
5.3. Визначення координат центрового та робочого профілів кулачків, їх радіусів кривизни в механізмах типів РТ і РК	221
5.4. Визначення кутів тиску в механізмах типів РТ і РК. Синтез цих механізмів за умови обмеження кута тиску	232
5.5. Визначення реакцій у кінематичних парах КМ типів РТ і РК	243

5.6. Функціональні та міцнісні вимоги до кулачкових механізмів	248
5.7. Оптимальне проектування механізмів типу РТ	257
5.8. Синтез механізму з плоским штовхачем	266
Додатки	275
Список літератури	367

Навчальне видання

**Грунауер Олександр Адольфович
Долгих Іван Дмитрович**

**Теорія механізмів і машин
/системний підхід/**

Навчальний посібник

Зв.темплан 1992, поз. 195

Перекладач-редактор І.В.Хронік
Коректори: Ю.М.Сергійко
Н.Ф.Слоніна

Підп. до друку 28.09.92. Формат 60×84 $\frac{1}{16}$. Папір
друк. № 3. Друк офсетний. Ум. др. арк. 21,68 Ум. фарбо-відл. 3,190
Облік-вид. арк. 23,68 Тираж 500
Зам. № 3084 Ціна 1 крб 60 к.

НМК ВО Міністерства освіти України
252070, Київ-70, вул. П. Сагайдачного, 37.

РОВО «Укрвузполіграф».
252151, Київ, вул. Волинська, 60.

Величина	Единица		
	Наименование	Обозначение	
	междунаро-дное	русское	
ОСНОВНЫЕ ЕДИНИЦЫ СИ			
Длина	метр	м	м
Масса	килограмм	кг	кг
Время	секунда	с	с
Сила электрического тока	ампер	А	А
Термодинамическая темпера- тура	кельвин	К	К
Количество вещества	моль	мол	моль,
Сила света	кандела	cd	кд
ДОПОЛНИТЕЛЬНЫЕ ЕДИНИЦЫ СИ			
Плоский угол	радиан	rad	рад
Телесный угол	стерадиан	sr	ср

ПРОИЗВОДНЫЕ ЕДИНИЦЫ СИ, ИМЕЮЩИЕ СПЕЦИАЛЬНЫЕ
НАИМЕНОВАНИЯ

Величина	Единица			Выражение через основ- ные и допол- нительные единицы СИ
	Наимено- вание	Обозначение	междунра- дное	русс- ское
Частота	герц	Hz	Гц	с^{-1}
Сила	ньютон	N	Н	$\text{м}\cdot\text{кг}\cdot\text{с}^{-2}$
Давление	паскаль	Pa	Па	$\text{м}^{-1}\cdot\text{кг}\cdot\text{с}^{-2}$
Энергия	дюйль	J	Дж	$\text{м}^2\cdot\text{кг}\cdot\text{с}^{-2}$
Мощность	ватт	W	Вт	$\text{м}^2\cdot\text{кг}\cdot\text{с}^{-3}$
Количество электричества	кулон	C	Кл	$\text{с}\cdot\text{А}$
Электрическое напряжение	вольт	V	В	$\text{м}^2\cdot\text{кг}\cdot\text{с}^{-3}\cdot\text{А}^{-1}$
Электрическая ёмкость	фарад	F	Ф	$\text{м}^{-2}\cdot\text{кг}^{-1}\cdot\text{с}^4\cdot\text{А}^{-2}$
Электрическое сопротивление	ом	Ω	Ом	$\text{м}^2\cdot\text{кг}\cdot\text{с}^{-3}\cdot\text{А}^{-2}$
Электрическая проводимость	сименс	S	См	$\text{м}^{-2}\cdot\text{кг}^{-1}\cdot\text{с}^3\cdot\text{А}^2$
Поток магнитной индукции	вебер	Wb	Вб	$\text{м}^2\cdot\text{кг}\cdot\text{с}^{-2}\cdot\text{А}^{-1}$
Магнитная индукция	tesла	T	Тл	$\text{кг}\cdot\text{с}^{-2}\cdot\text{А}^{-1}$
Индуктивность	генри	H	Гн	$\text{м}^2\cdot\text{кг}\cdot\text{с}^{-2}\cdot\text{А}^{-2}$
Световой поток	люмен	lm	лм	кд·ср
Освещенность	люкс	lx	лк	$\text{м}^{-2}\cdot\text{кд}\cdot\text{ср}$
Активность радионуклида	беккероль	Bq	Бк	с^{-1}
Поглощенная доза ионизирующего излучения	грэй	Gy	Гр	$\text{м}^2\cdot\text{с}^{-2}$
Эквивалентная доза излучения	зиверт	Sv	Зв	$\text{м}^2\cdot\text{с}^{-2}$

25